



Generalitat de Catalunya  
Departament de Cultura i Mitjans de Comunicació  
**Direcció General del Patrimoni Cultural**  
Servei de Suport Tècnic i Inventari  
Biblioteca del Patrimoni Cultural

1059

La Cova de la Guineu: ocupacions i usos d'una ciutat de la serra de Font-Rubí (Alt Penedès) del 9850 BPA a l'època recent. Memòria de les campanyes realitzades en els anys 1992-1993

Bartrolí, Raül ; Cebrià, Artur ; Mestres, Josep ; Ribé, Genís



**Avis legal**

Aquesta obra està subjecta a una llicència Reconeixement-NoComercial-SenseObresDerivades 2.5 de Creative Commons. Se'n permet la reproducció, distribució i comunicació pública sempre que se'n citi el titular dels drets i no se'n faci un ús comercial. No es pot alterar, modificar o generar una obra derivada a partir d'aquesta obra. La llicència completa es pot consultar a <http://creativecommons.org/licenses/by-nc-sa/2.5/es/legalcode.ca>.

EQUIP GUINEU

LA COVA DE LA GUINEU

OCUPACIONS I USOS D'UNA CAVITAT DE LA SERRA DE FONT-RUBÍ (Alt  
Penedès) DEL 9850 BP A L'ÈPOCA RECENT

MEMÒRIA DE LES CAMPANYES REALITZADES  
EN ELS ANYS 1992-1993

*Barcelona, gener de 1994*

# ***CAMPANYA 1992***

***Volum 1***

Informe elaborat sota la direcció i la coordinació del programa  
**"El Paleolític Superior i les fases de transició a l'Holocè a Catalunya:  
Models d'evolució dels caçadors-recol·lectors del Plistocè final i  
l'Holocè a les serralades pre-litorals i la conca del Segre"**

Josep Maria Fullola  
Pilar García-Argüelles  
M<sup>a</sup> Àngels Petit i Mendizàbal

*Treballs direcció excavacions:*

Raül Bartrolí  
Artur Cebrià  
Josep Mestres  
Genís Ribé

*Estratigrafies:*

Mercè Bergadà  
Equip Guineu

*Fotografia:*

Genís Ribé

*Dibuixos:*

Josep Mestres  
Genís Ribé  
Maria Rosa Senabre

*Fauna:*

Jordi Nadal

*Treballs de restauració:*

Núria Marsol

*Treballs de camp:*

Albert Bacaria, Mercè Bergadà, Lluís Bermudo, Carme Cubero, J.M<sup>a</sup>. Defaus,  
Roser Enrich, Aícia Estrada, David Farell, Isabel Fernández, Annabel Gamarra,  
Lluís Garcia, Sergi López, Xavier Mangado, Salut Marquina, Josep Lluís Martin,  
Pere Masip, Jordi Nadal, Àlvar Piñol, Marta Pujol, , M<sup>a</sup>. Rosa Senabre, Joan Socias

## INDEX

1. Els treballs d'excavació, de laboratori i de restauració.	4
2. La seqüència crono-estratigràfica del Sector Exterior.	11
2.1 Descripció estratigràfica i anàlisi dels talls N-S (F/G) i E-W (9/10).	11
2.2 Els nivells arqueològics.	25
2.3 Anàlisi preliminar de les restes faunístiques.	50
3. El sondeig i la problemàtica geològica.	53
4. Recerca i difusió.	59
5. Consideracions finals.	61
6. Inventari de les mostres de sediment i dels materials.	65
6.1 Mostres de sediment.	66
6.2 Materials.	73
7. Annexes (1 i 2).	

## PREÀMBUL

El procés de recerca arqueològica a la *Cova de la Guineu* ha sofert cinc etapes bàsiques: **a)** Sondeig '83 ; **b)** Intent d'extensió a l'interior del '88 ; **c)** Plantejament a l'exterior '89 ; **d)** Establiment de la sèrie estratigràfica *la-le* (buscant l'enllaç amb el nivell *II interior* de la campanya de J. Mestres '83) en les campanyes de '89 a '91 ; **e)** Extensió de la sèrie descoberta a la fase anterior (per acabar el '94).

Les excavacions de 1992 i 1993 conformen en sí una unitat, en tractar-se principalment de l'ampliació de la sèrie descoberta fins el 1991. Durant aquests dos anys la sèrie estratigràfica localitzada en la part W de l'excavació (quadres F7-9) ha estat resseguida i ampliada, tasca encara per completar en els quadres A i B, situats entre la paret de fons i sota la volta de la cavitat (vegeu FIGURA 5) i per tant tapats pel talús format pels nivells *la* i *lb*. No s'ha profunditzat en la part més alta, en la que en el curs de la campanya passada s'arribà a la base d'*ld*, és a dir en l'excavació d'*le*. Aquest nivell es troba ara destapat en els quadres E i D, intentant preservar-lo dins del possible, i concentrant-nos en l'ampliació de l'excavació dels nivells *la-lb* fins arran paret. (segons els objectius traçats a la Programació del SERP per a les campanyes de 1992-1994).

D'aquí que seguim trobant fragments dels mateixos vasos que anys anteriors , i així completant una visió global d'aquestes ocupacions, alhora que anem fent entenedor i visualitzable la paleotopografia que correspon a cadascuna.

Per aquesta mateixa raó l'estudi preliminar de fauna no aportaria res de nou al de 1992 , i per això hem mantingut les conclusions de l'any passat.

El sondeig E5 també ens mostra la unitat i conveniència de presentar els resultats de les dos campanyes junts per tal de que l'any que ve comencem a explicar el nou cicle, que hem començat a entreveure el 1993. El cicle sedimentari anterior abraça des del nivell III al XI , dins del sondeig però que forma part de tota la sèrie entenent-la com un sòl edàfic, tal com expliquem en les conclusions de la campanya de 1992 .

## 1. INFRASTRUCTURA

El gruix de la campanya d'excavació d'aquest any 1992 s'ha desenvolupat dels dies 18 de juliol al 7 d'agost, però el tancament definitiu dels treballs de camp d'enguany va tenir lloc el dia 11 d'agost amb el dibuix de les seccions globals del jaciment. Apart dels directors, ha intervingut en l'excavació un total de 20 persones, encara que la mitjana diària de participació ha estat d'unes 7-9 persones (vegeu FOTO 1).

Respecte a les darreres campanyes, aquest any han estat menors tant el nombre de gent com els dies de treball de camp en el jaciment. Aquesta circumstància ha estat provocada pel fet que des del Servei d'Arqueologia de la Generalitat es va decidir no continuar subvencionant directament el projecte d'excavació de la Guineu, amb la qual cosa es va haver d'arribar a l'acord de destinar-hi una part de la subvenció del projecte de recerca SERP. Volem expressar des d'aquí la nostra protesta envers aquesta resolució, perquè pensem que la comissió tècnica no ha sabut entendre o reconèixer un treball de recerca que respon a uns plantejaments teòrics, metodològics i pràctics ben definits i ben clars, una investigació el desenvolupament de la qual s'ha pogut seguir, any rera any, amb una presentació d'Informes i Memòries extremadament acurada, rigorosa i força ben documentada. D'altra banda, i això també ens ha provocat sorpresa i desencís a l'hora, el treball ja comença a oferir uns resultats que de ben segur es configuraran com a punt de referència clau per explicar certes fases de l'evolució cronocultural del territori català; aquestes aportacions, pensem, no haurien de ser obviades per l'administració.

Quant a la infraestructura necessària per al desenvolupament de la recerca, cal assenyalar que globalment s'ha mantingut la que ja havia estat endegada en les campanyes anteriors (sistema de corriola per traslladar els cabassos cap a l'àrea de garbell, procés de neteja i inventari de materials en el mateix jaciment, utilització de martell elèctric per trencar i extreure els grans blocs que apareixen en el sediment, etc.) (vegeu FOTO 2). Així mateix hem mantingut la tasca de mostrejar sistemàticament el sediment extret (vegeu el capítol 6 i els QUADRES 1 al 6 del present Informe). Així doncs, hem extret mostres de la sèrie interior i

exterior, a banda de les mostres preses per a l'anàlisi de la micromorfologia de sòls (vegeu el capítol 3).

Pel que fa a la superfície d'excavació cal assenyalar que durant aquesta campanya s'ha ampliat l'àrea excavada: s'han obert els quadres **B7**, **B8** i **B9**, i s'ha començat a coordinar en **C6**, ja preparat de l'any passat. També, i lligat al fet que durant aquesta campanya s'ha arribat a la base del gran bloc de caiguda de sostre que es troba a la zona exterior del jaciment, just en l'angle SW de l'excavació, s'ha reemprendut l'excavació al quadre **F9**, ocupada des de 1989 per la panxa del citat bloc (vegeu **FIGURA 1**).

Una altra tasca que hem desenvolupat durant aquesta campanya ha estat l'establiment d'un sistema de seguretat per a la continuació del sondeig E-5, la fondària del qual en aquests moments és ja d'uns quatre metres. Així, per a evitar la caiguda de blocs i el desmoronament de talls que fan perillós el treballar al fons de sondeig, hem instal·lat un bastida de fusta amb xarxa mosquitera que fixa aquests talls. De la mateixa manera, també s'ha protegit la secció F-G de la zona exterior, secció amb molts blocs, amb puntals de bastida que fixen aquests blocs (vegeu **FOTO 3**).

Per últim, cal assenyalar que en aquesta campanya també s'ha mantingut el conveni amb la Escola-Taller de Restauració del Laberint d'Horta, mitjançant el qual l'alumna de la citada escola-taller, Núria Marsol, ha participat en l'excavació, restaurant materials ceràmics recuperats de la intervenció de l'AECCM (vegeu **FOTO 4**).





**FOTO 1.** Procés d'excavació a la zona exterior de la cova.

**FOTO 2.** Procés d'utilització del compressor per trencar i extreure els grans blocs.

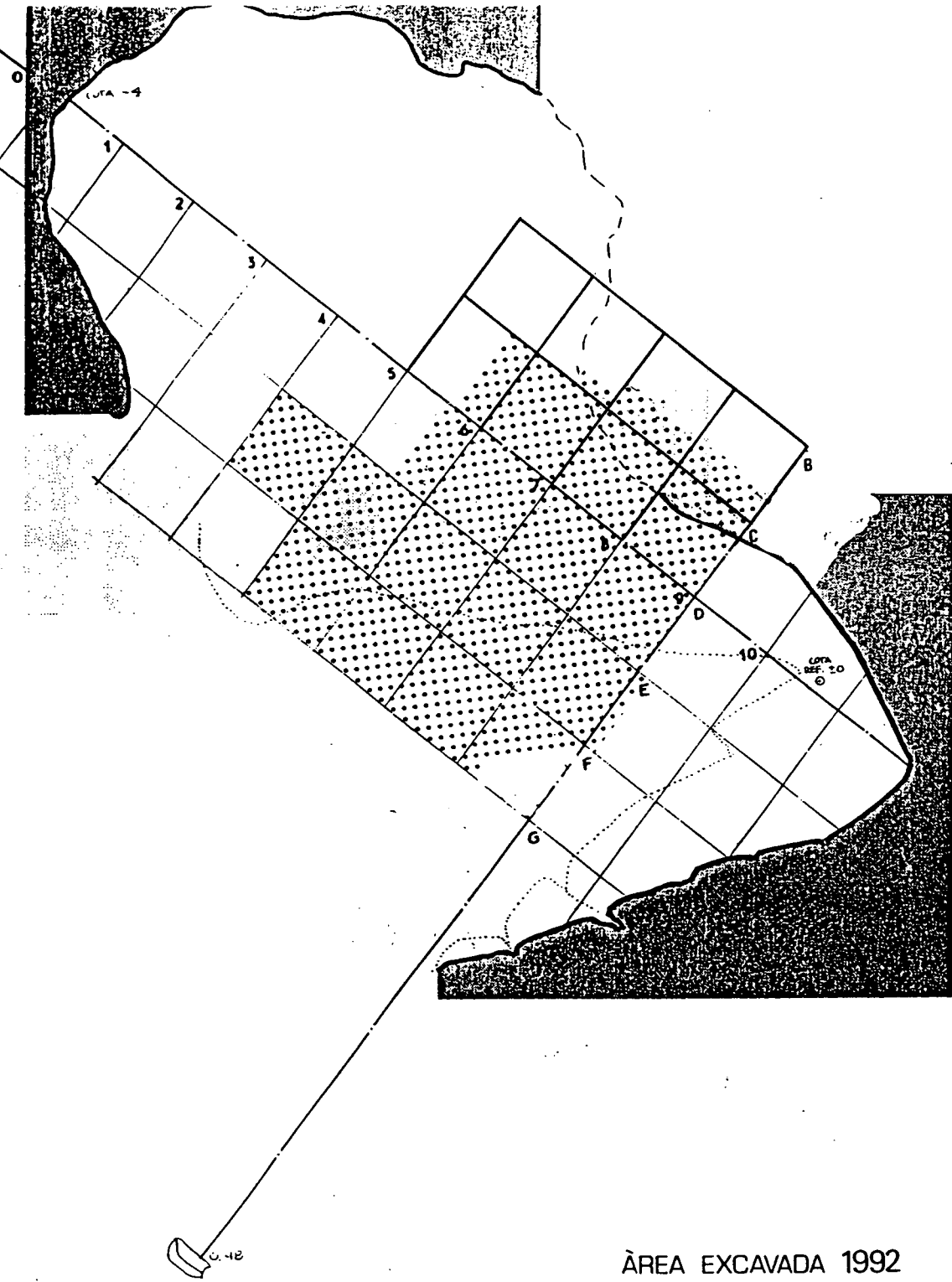


**FOTO 3.** Muntatge de puntals de bastida a la secció F-G.

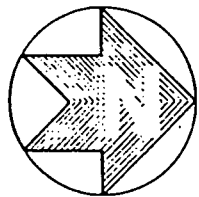


**FOTO 4.** Exemple de materials ceràmics, molt concrecionats, que han estat restaurats durant aquesta campanya.

**FIGURA 1.** Planta de l'àrea excavada durant la campanya de 1992.



ÀREA EXCAVADA 1992



0 1 2  
equidistancia 0.50m.

# COVA DE LA GUINEU

FONTRUBÍ

ALT PENEDÈS

## 2. LA SEQÜÈNCIA CRONOESTRATIGRÀFICA DEL SECTOR EXTERIOR

### *2.1 Observacions Estratigràfiques.*

Al marge del que ja portem descrit en els informes de les campanyes de 1989, 1990 i 1991, cal afegir, pel que fa a la campanya d'enguany: la localització d'un nou nivell, el nivell **1e**; la comprovació -ja definitiva- de la base de la gran caiguda de blocs de sostre de l'exterior (vegeu **FOTOS 5 i 6**); i les observacions de camp fetes en el talls **F-G** (nord-sud) i **9-10** (est-oest), que mostren les complicades gruixàries i perfils que ens aporten noves informacions, més enllà de la seva mera descripció sedimentària (vegeu **FOTO 7 i FIGURES 2 i 3**). Igualment és molt destacable que en tot el sector est de l'excavació -quadres **D9/8, B9/8** i la part est de **C8/C7**- es produeix el fenomen de que en baixar més es va passant sota la volta, i així es va extenent la superfície excavable, si bé entre blocs solts, amb material arqueològic entremig, quasi sense terra. És el talús descrit en anteriors informes (vegeu *Informe de la C. de la Guineu 1991*) i el seu estudi presenta tota la problemàtica que ja es va comentar en el seu moment (*Ibidem*, p. 23).

Enguany, doncs, al marge d'ampliar-se la superfície excavada i l'abast de la seqüència, podem completar la lectura estratigràfica iniciada l'any passat sobre el nivell **1d** i realitzar una descripció preliminar del nou nivell localitzat (vegeu **FIGURES 4, 5 i 6**):

- Nivell 1d. Cotes entre 307-330 cm, però mantenint un fort pendent est-oest. Fracció molt argilosa amb coloració vermellosa, graves i blocs de morfologia sub-arrodonida. No està localitzat encara més enllà de la part W dels quadres **E7-E8**, i passa per sota del gran bloc de sostre caigut. La caiguda de blocs queda així datada "ante-quem" 2.200 aC, és a dir, entre el Bronze antic (datació cultural per l'horitzó campaniforme) del nivell **1c**, i el Neolític antic evolucionat del nivell **1d**, datat sobre el 3900-3600 aC. La superfície de contacte d'aquest nivell amb el superior **1c** és una superfície d'escorrentia, i per tant parcialment erosionada.

- Nivell Ie. Cota superior aproximada en els quadres F a partir d'uns 330 cm. Només ha estat localitzat, ara per ara, a F7-F8-F9; manté semblances amb l'Id, però amb blocs més grossos i amb argiles més compactes que les del nivell superior, més granuloses.



**FOTO 5.** Gran bloc de caiguda de sostre.



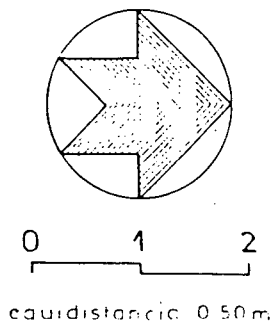
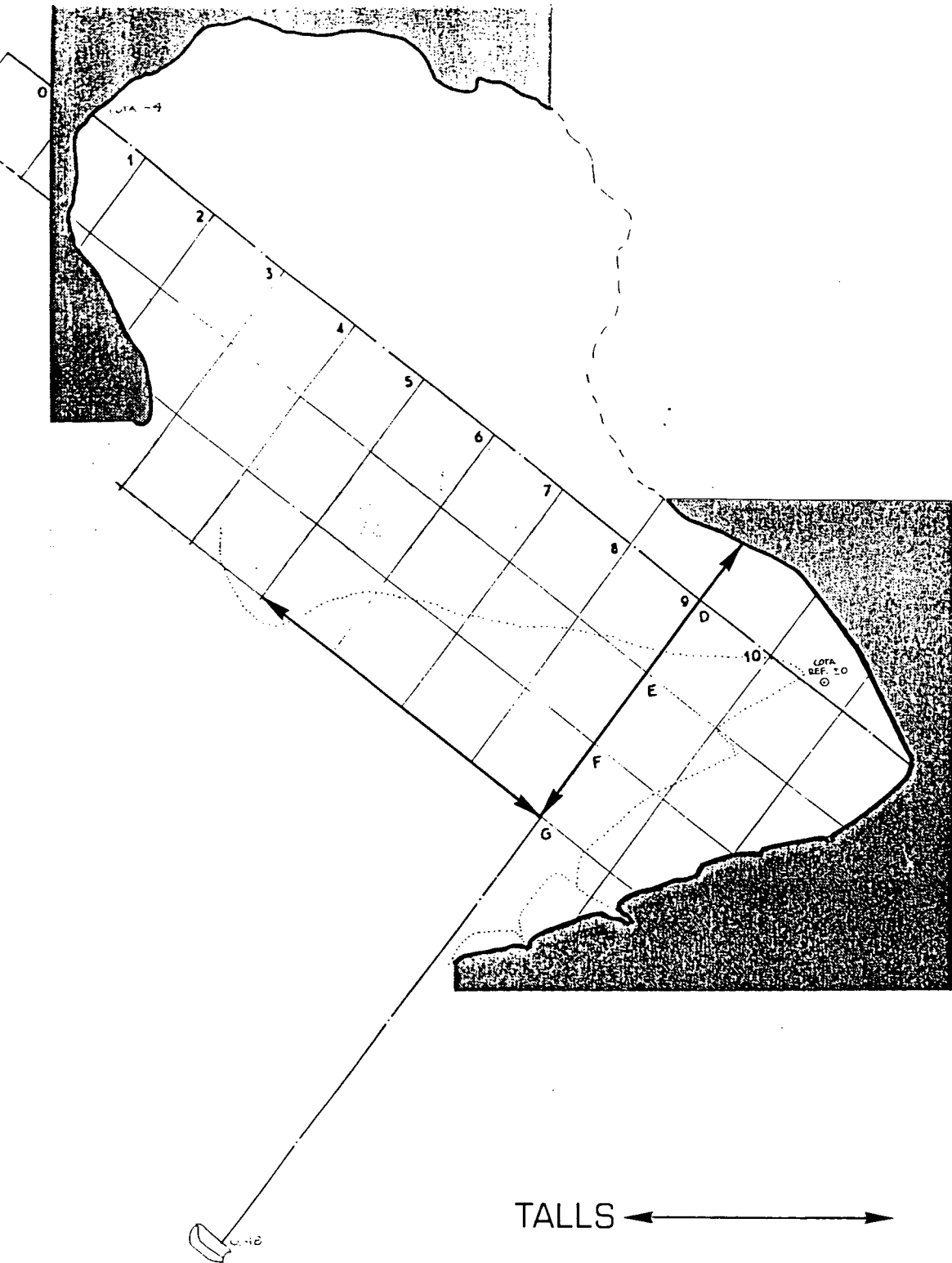
**FOTO 6.** Detall de la part basal del gran bloc. S'observa com aquest es recolza sobre el Nivell Id.





**FOTO 7.** Secció estratigràfica F-G (nord-sud).

**FIGURA 2.** Situació dels talls estratigràfics en planta.



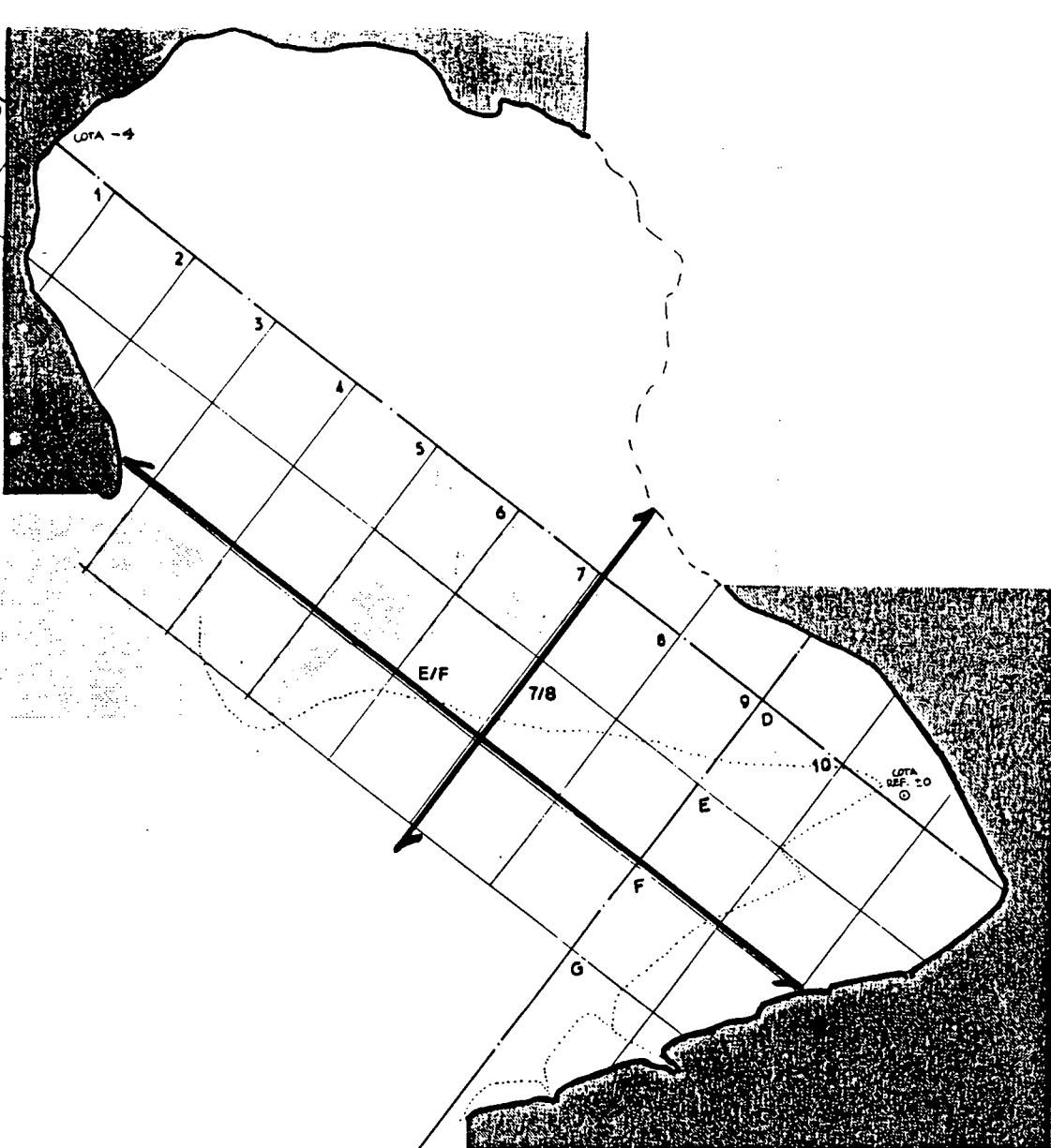
# COVA DE LA GUINEU

FONTRUBÍ

ALT PENEDES

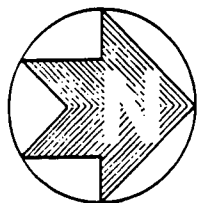
**FIGURA 3.** Talls F/G (nord-sud) i  
9/10 (est-oest).

**FIGURA 4.** Situació de les seccions.



Q.48

SECCIONS



0 1 2

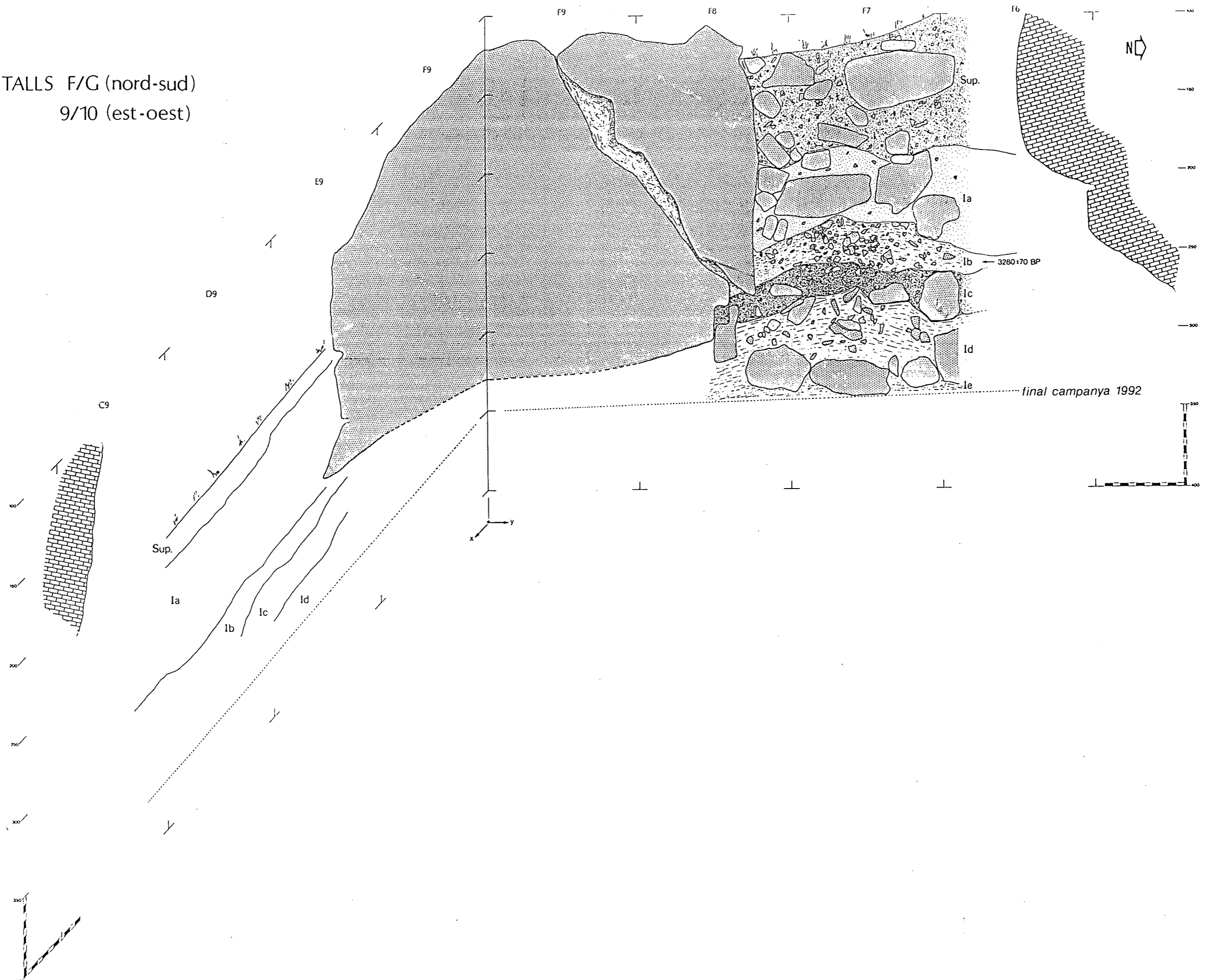
# COVA DE LA GUINEU

FONTRUBÍ

ALT PENEDÈS

**FIGURA 5.** Secció E/F, on podem observar la seqüència global del jaciment, amb l'estratigrafia del sector exterior (simplificada) i la de l'interior (sondeig E5).

TALLS F/G (nord-sud)  
9/10 (est-oest)





**FIGURA 6.** Secció 7/8 on destaca l'ampliació dels quadres en procés d'exca-  
vació (C i B).

## 2.2 Els nivells arqueològics.

En la mida que ens hem extès (vegeu apartat 1) i hem regularitzat els talls, hem tocat estrats ja localitzats i treballats en anys anteriors.

- Nivell Ia. Hem fet Ia a mesura que hem ampliat l'excavació en el talús-pendent cap a l'interior de la cova, trobant en els quadres C8/C7-C6 terra calcificada-travertinitzada pels degotalls de la paret (vegeu FOTO 8). Així mateix, el fenomen del gir de la paret pràcticament en angle recte, ja explicat nombroses vegades, ha fet que si la campanya de l'any passat els quadres C eren adosats a la paret lateral Est de la cavitat, en canvi aquest any haguent baixat una mica s'ens obren nous espais .

Han estat relativament abundants les troballes de ceràmica gris medieval (vegeu FIGURA 7) -entre les que destaca una petita olla de grisa monocroma, amb base plana decorada amb digitacions a la revora, de vora exvasada i superfície externa espatulada<sup>1</sup>, ceràmiques de vernís negre itàlic (abans denominades "campanianes") i bastants ossos d'un èquid petit, en la zona que abans de destapar era el fons de la boca de la cavitat (va ser un animal domèstic abocat en l'època que funcionaven els masos del Coll de la Barraca ?). Aquesta associació sense superposicions, en aquesta zona, de material medieval i d'època ibèrica s'explica per la manca de formació de sediment fora de la línia de gran blocs que marcaven el límit del talús on era retingut Ib (vegeu els informes de les campanyes de 1990 i 1991) , i per l'efecte de quedar escampades les restes pel pendent damunt d'estrats anteriors ja cicatritzats o a mig aflorar (com semblava

---

<sup>1</sup> Aquest tipus de materials és de difícil atribució cronològica, encara que les seves característiques, juntament amb el fet que es tracta de pastes fetes a torn lent i de coccio irregular, se'ns associen amb les troballes localitzades en l'excavació de l'Avinguda de la Catedral de Barcelona, les quals es daten sobre els segles V-VI. Vegeu *L'avinguda de la Catedral: de l'ager de la colònia Barcino a la vilanova dels arcs*, publicat pel Servei d'Arqueologia de la Ciutat/Ajuntament de Barcelona, 1992, pàgs. 74-76. Pendent encara d'un estudi més aprofundit, podríem flexibilitzar el marge cronològic d'aquesta peça a l'entorn de l'alta edat mitjana, com fa Eduard RIU, sobre els segles X-XIII a *Algunas formas de terrissa altmedieval barcelonina*. A: Acta Mediaevalia, Annex. 2. Ceràmica Grisa i terrissa popular de la Catalunya medieval, 1984, pp 29-48.

que estava la cambra interior d'enterraments col·lectius en el moment de ser destapada l'any 1979 per l'AECC de Mediona). Més tard, ja en els segles XVIII i XIX, la boca estava prou tapada com per a que l'escàs material modern no es percolés pel talús.

- **Nivell Ib.** Surt més que res en la rectificació del tall 9-10, sobretot en la correcció de talls de D9/C9. En aquesta acció han aparegut alguns elements d'interès com un fragment d'urna amb acanalats en espiga i un anell de bronze fet moldejant una simple làmina (vegeu FIGURA 8). A hores d'ara, abans de ser restaurada, no es pot apreciar si té algun tipus de decoració; per ara sembla que no. Aquest nivell, en la campanya '92, surt quasi tot en la zona del tall 9-10, perquè en girar la paret lateral est de forma angular quedava retingut (s'adosava a) per aquesta, com ja hem explicat al nivell Ia, i pel nord per la línia de blocs que tancaven la boca. El nivell Ia els supera i llisca pel pendent en haver fet previament Ib de farciment. Així per sota la volta de la paret lateral est hi ha bàsicament Ic tacat per Ia, però quasi no existeixen elements d'Ib (el més destacable és el fragment informe amb acanalats C7/161 i una vora amb decoració ungulada interna -D9/535-).

- **Nivell Ic.** Encara estem, en gran part, treballant en aquest nivell en els sectors C-D 8-9 i E9 donades les grans pendents (vegeu FOTOS 9 i 10). L'assenyalat pels quadres B7/9 també es pot estendre al nivell Ic en la mida que interpretem Ia com lliscat per damunt o fent petites taques. Destaca a E9 el treball fet en la correcció i preparació del tall amb E10 per al seu dibuix, en el curs del qual aparegué un bol hemisfèric llis sense decoració de base plana (vegeu FOTOS 11 i 12 i FIGURA 9), i que hem pogut extreure quasi sencer. Han continuat sortint més fragments d'estil del vas campaniforme -tipus Salomó- a C9 (C9/419, C/421, C9/459), i hem pogut confirmar que es tracta d'un altre bol (també a la FIGURA 9) respecte el que vàrem identificar l'any passat (vegeu l'Informe de 1991, fig. 8. i p. 33). Aquests darrers materials, així com també els fragments d'un gran recipient (segurament de tipus embut), amb decoració de mugrons sota la vora (E9/727 i 723; vegeu FIGURA 10), formen un conjunt material força homogeni i ben englobable en aquesta cronologia tardana del Bronze antic: són ceràmiques amb les pastes fines, ben depurades, desgreixants fins i que s'associarien amb d'altres elements (segurament aixovars), recuperats en anteriors campanyes (punta de fletxa d'os, etc.). A més han aparegut alguns

elements d'indústria lítica: 3 làmines sense retocar i un gratador (vegeu **FIGURA 13: 1-4**).

A mida que hem anat avançant en l'excavació hem pogut anar veient com un gran bloc situat en posició semivertical, entre els quadres **D8/C8** i **D9/C9** (vegeu **FOTOS 13, 14, 15 i 16**) se'ns apareixia cada cop més "sospitosament" vertical. Altres indicis donen suport a la hipòtesi de que aquest bloc pot ser part d'una tanca artificial de la cavitat, i són, per exemple, la direcció de les esquerdes internes i la seva estructura -no corresponent a la direcció natural d'un esllavissament- o el fet de que es recolza lateralment en part de la volta, de forma que tanca tot l'angle de l'entrada (actualment el bloc de que estem parlant és partit en la seva part més alta i el fragment trencat als seus peus) (vegeu **FOTO 17 i FIGURES 11 i 12**). Un cop acabada la campanya, estem a l'espera de poder comprovar la seva base, saber sobre què s'assenta, si està falcada o té una trinxera de sustentació. D'altra banda, tampoc podem tenir massa clar si els altres blocs corresponents a la possible tanca per la seva part W estan ja excavats o no. D'igual manera no sabem si el nivell **Ic** s'adosa a la llosa, passa per sota **Id**, etc.

També com a material antròpic destaca l'aparició de molts fragments de banya de cèrvol, de muda en gran part, sovint cremades i molt disperses per tot el sector exterior. Aquesta aparició de fragments diferenciats, específics i significatius de fauna, recollits intencionalment en un curt període de temps (donada la seva curta durada en la natura, en ser ràpidament reabsorvit pels propis cèrvols) ens sugereixen hipòtesis temptadores sobre la seva aparició en les proximitats d'una tanca funerària. Altres parts cranials i esquelètiques de cèrvid no conformen un ús culinari mínim, el que fa evident la hipòtesi de l'esquarterament i aport diferencial al jaciment (vegeu apartat 2.3). A més, tenim una gran concentració de carbons comparant-ho amb els nivells superiors i inferiors, i sense que es notin o fagin evidents estructures calòriques, de combustió. Si bé algunes concentracions, acumulacions de carbons entre pedres (una a **E9** i una altra a **E8**) fan pensar que s'hagin pogut efectuar alguns focs simples i plans de curta durada.

L'estat actual de l'excavació a **C9-D9** està en que gran part del quadre està ocupat pel que sembla podria ser la part superior de la llosa vertical de tanca de la cova. Aquest bloc està per extreure i per tant per veure quin nivell cobreix. Així es reflecteix en el dibuix del tall **C9-F9**, en el que es pot apreciar com els nivells queden tallats aprop de la paret. Això es degut al bloc en qüestió.

Han continuat apareixent fragments d'ossos humans que tenien en comú la seva grandària (2-3 cms) i que són parts molt resistents (falanges, dents, fragments de crani). Així el seu escàs nombre (una vintena de restes en tot el nivell) no permeten deduir un enterrament exterior dispersat; més aviat ens indueix a pensar en la seva remoció i posterior sortida accidental, amb el pas de l'acció d'efectuar nous enterraments succesius de l'espai interior. Ajuda a aquesta argumentació l'enfocar el nivell del Bronze antic com a un funcionament espacial i funcional dual (ús funerari en l'interior de la cavitat; espai exterior ofrenes i rites simultanis al moment de deixar el difunt a l'espai interior, i desfer i refer la tanca; com a límit de les dos zones: la possible tanca de lloses).

S'han agafat mostres de micromorfologia al quadre Q.E-9. (Z sup = 329 cm; Z inf = 335 cm) i també mostres de sediment per a l'anàlisi del PH a una profunditat de 336-338 cm.

- Nivell Id (vegeu FOTOS 18, 19 i 20). El material aportat consisteix en uns fragments ceràmics molt alterats (vegeu FOTOS 21 i 22), procedents quasi exclusivament de F6-7-8, en la seva part del desgreixant calcari, bé perquè hagin patit probablement el mateix procés de rentat i alteració de la fracció grollera del nivell, bé perquè aquest desgreixant era orgànic i s'ha alterat (cosa poc probable vist els paral.lels de materials de la mateixa época i zona con la Cova del Bolet o el conjunt de cavitats del Fondal de Valldeïlòs de Mediona). Amb dificultat es pot observar, en alguns casos (F7/546, del vas 42 identificat en la campanya passada, i el F8/543f) a la cara externa, un raspallat prou familiar en el Neolític del Penedès: es la fàcies del Neolític Antic Evolucionat Postcardial (fàcies Molinot., abreujadament NAE). Cronològicament ens situariem entre els 3900-3600 segons Josep Mestres<sup>2</sup>. En el Penedès encara no posseïm cap datació absoluta d'aquest període<sup>3</sup>, però estem a punt de rebre'n de dos jaciments a l'aire lliure (Hort d'en

---

<sup>2</sup> MESTRES, Josep. " Cap. III. El Neolític Antigo en Cataluña". Dins: BALDELLOU, V et alii *.El Neolític Antigo.Los primeros agricultores y ganaderos en Aragón, Cataluña y Valencia*. Diputación de Huesca , 1989, pp.15-25.

<sup>3</sup> La referència més propera és la Cova de Can Sadurní de Begues en el Massís del Garraf que no és comarca política del Penedès però si geogràficament en el sentit que l'estudiem en les nostres tesis i estudis. Les datacions radiocarbòniques són

Grimau -Castellví de la Marca- i Turó de la Font del Roure -Font-rubí-) enviades la primavera de 1992 a Tucson (Arizona, USA). Esperem poder tenir aquest marc cronològic ben aviat, perquè ja hem rebut el mes de novembre les datacions fetes en altres jaciments sobre ossos cremats, que no és el cas que ens interessa.

En la indústria lítica destaquen una rascadora, una làmina no massa ben acabada i un matxucador o percutor (vegeu FIGURA 13: 5, 6 i 10). Pel que fa a la ceràmica, destaquen una nansa de cinta (vas 45; F7/392) ja extreta la campanya '91 i en aquesta campanya un fragment petit amb dues crestes (vas 44; F6/152), a banda dels materials amb superfícies raspallades.

També s'han agafat mostres per a l'estudi micromorfològic de sòls al quadre F-8 (Z sup = 315 cm; Z inf = 320 cm), així com mostres per a l'anàlisi del PH a una zeta de 337 cm.

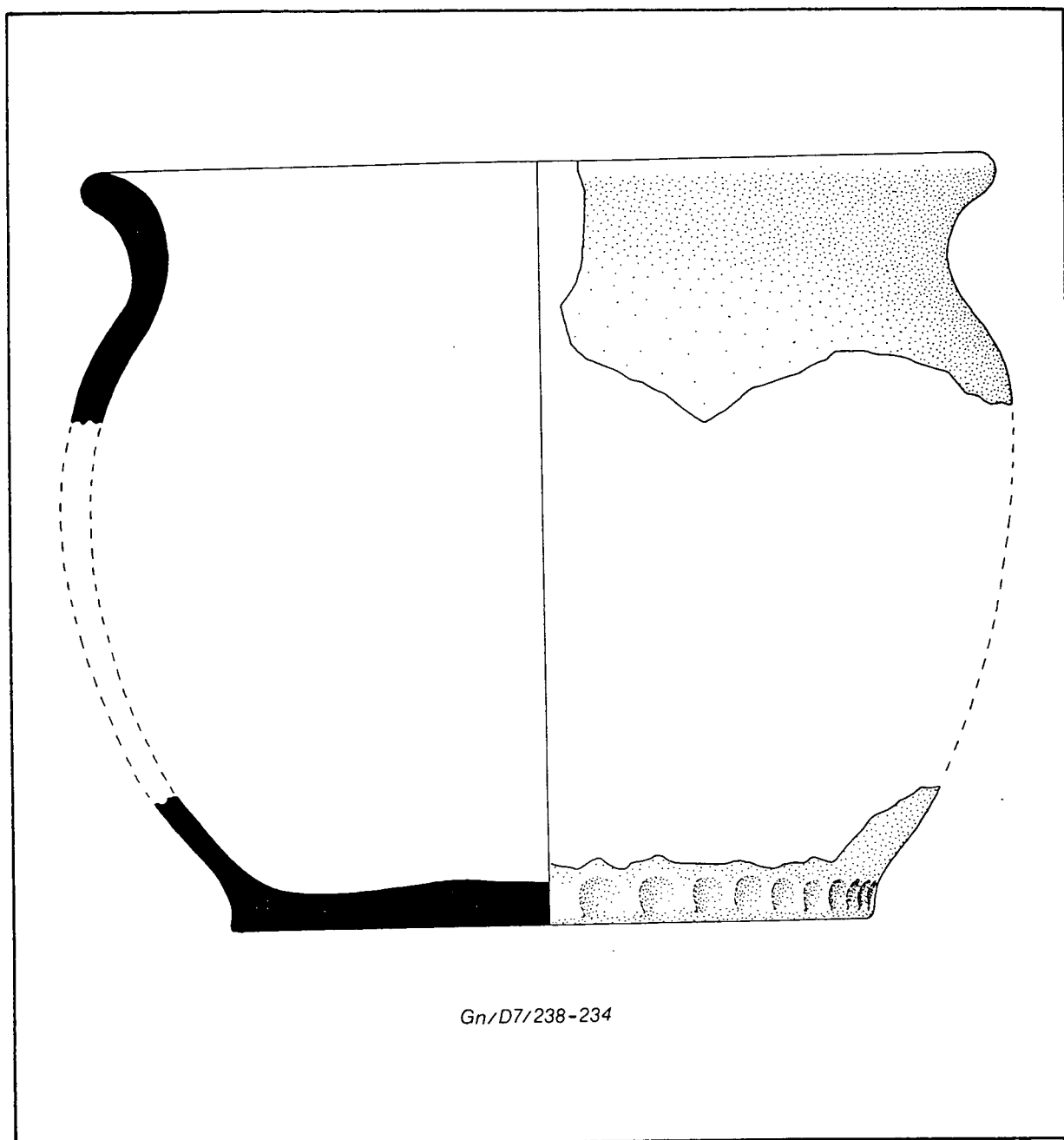
- Nivell Ie. Ha estat molt poc tocat (en tres-quatre m<sup>2</sup> i 5-10 cm de potència) (vegeu FOTO 23) i es correspon pràcticament a la línia del terra de final de campanya (per això a la figura dels talls estratigràfics el seu límit coincideix pràcticament amb el límit de final de campanya) (Veure FIGURA 11). A nivell material ha donat una interessant indústria laminar (FIGURA 13: 7-9) molt més clara i depurada que a l'estrat superior, però amb l'aparició de material silici (tradicció que vé heretada dels nivells epipaleolítics?). En el material ceràmic ha sortit una vora de vas globular amb coll i un cordó, amb decoració cardial (F7/701; vegeu FIGURA 14). Aquesta peça tindria, segurament, doble nansa de cinta, i tipològicament enllaça perfectament amb d'altres recipients localitzats a l'interior de la cavitat en la campanya de 1983, així com també amb materials apareguts en jaciments propers (Cova del Bolet i Cova de la Boira -Fondal de Valldeïllòs-, a Mediona).

---

5800±160 - 3850± 160 BC i 5700±110 - 3750±110 B.C. en el seu estrat III, que A. MARTIN en la seva publicació "Neolítico Antiguo en Cataluña. Trayectoria de su investigación" A: Autor Jean Arnal, Montpellier, 1990c, pp.37-54 calibra segons les Tables de Tucson de 1983 com a 5.070 a 4415 av. J.C. i 4885 a 4405 av. J.C. respectivament. Això envelliria 500 anys tot el quadre cronològic que defensa J. Mestres per al Neolític Antic.

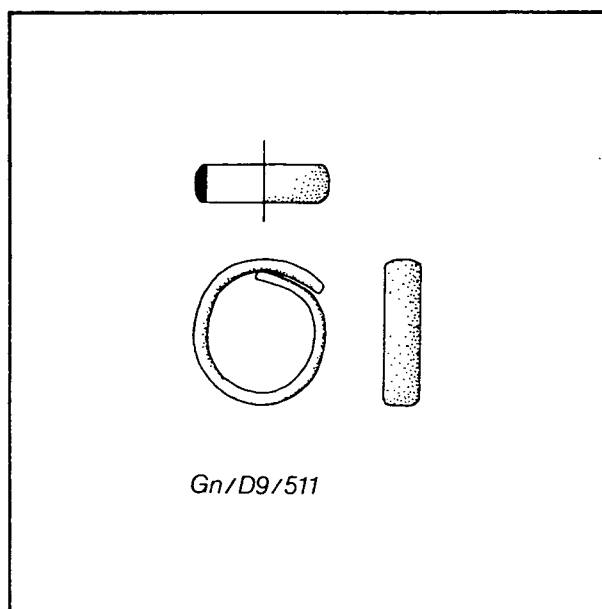


FOTO 8. Calcificacions del sediment per l'acció de degotalls.

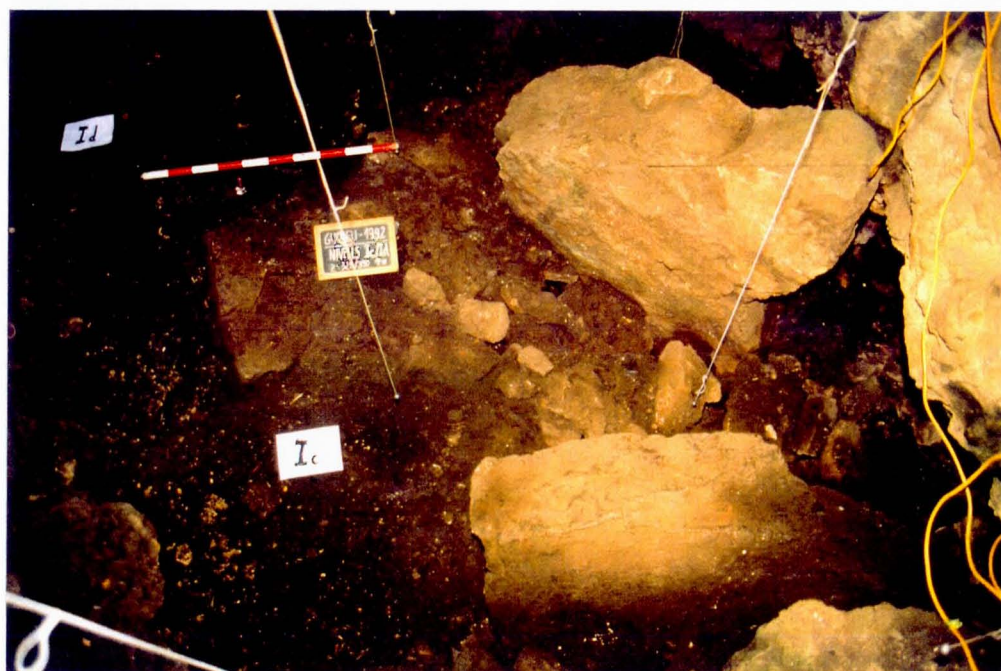
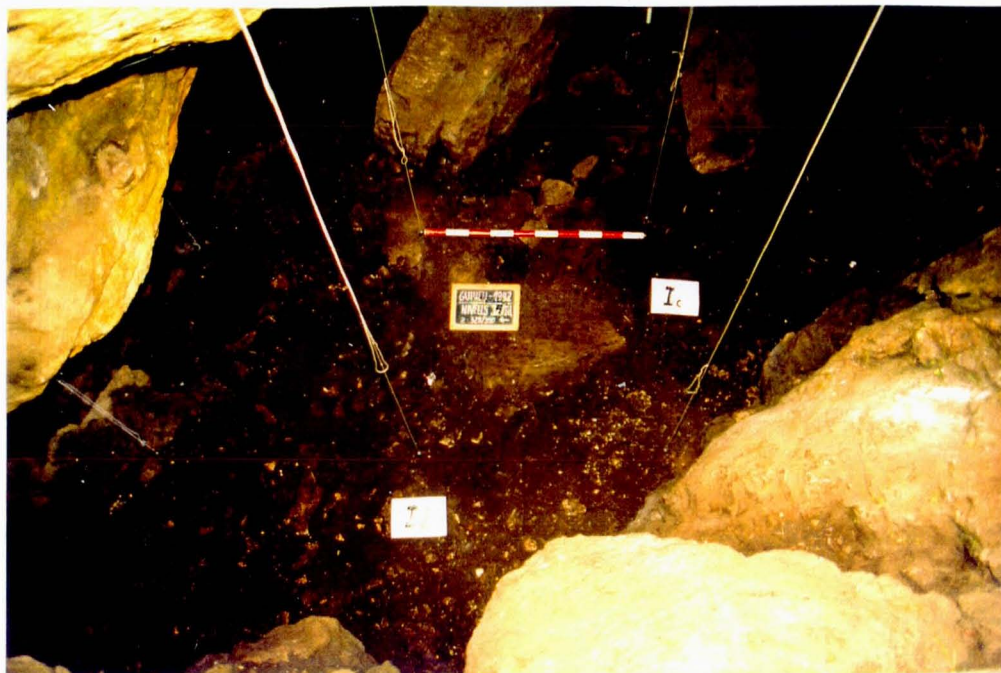


**FIGURA 7.** Olla de ceràmica grisa monocroma medieval, localitzada en el nivell Ia (escala 1:1, un xic reduïda).





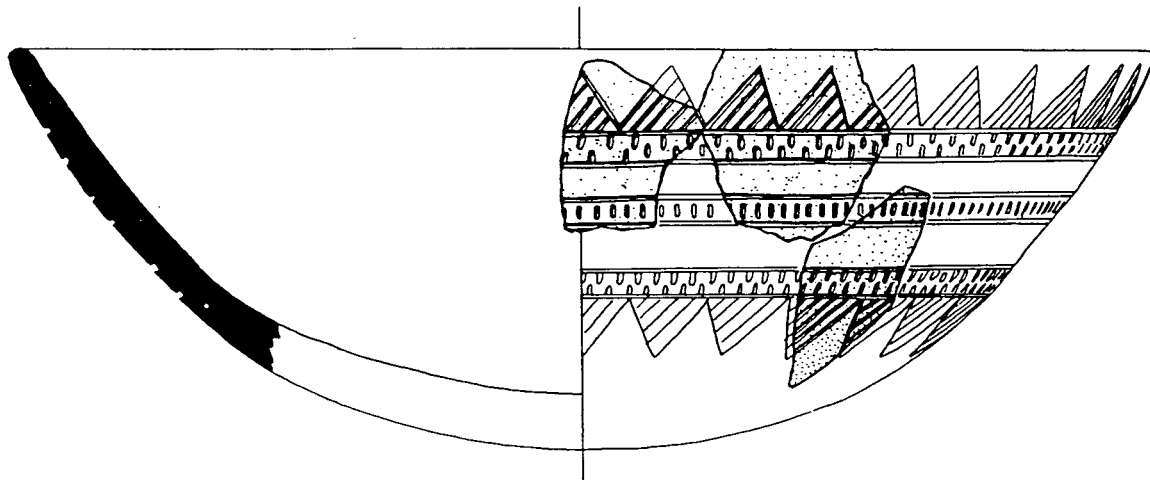
**FIGURA 8.** Anell de bronze; nivell Ib. Atribuïble al Bronze Final (escala 1:1).



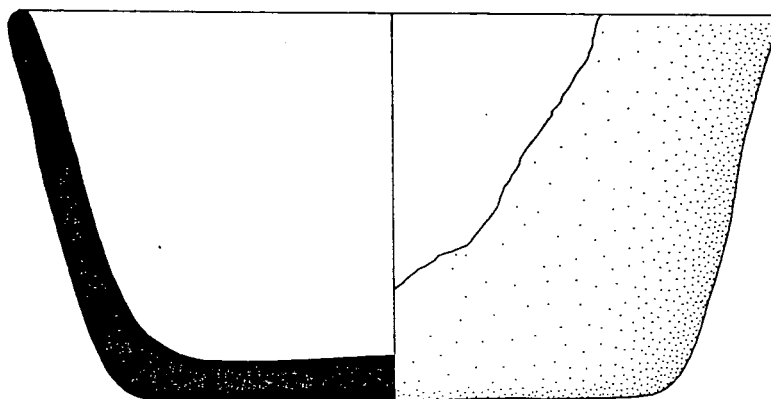
**FOTOS 9 i 10.** Procés d'excavació del nivell Ic. En ambdues imatges podem observar algunes parts de l'excavació on aquest nivell ja ha estat completament excavat, apareixent el següent nivell, l'Id.



**FOTOS 11 i 12.** Aparició d'un bol hemiesfèric dins el nivell Ic i detall del mateix.

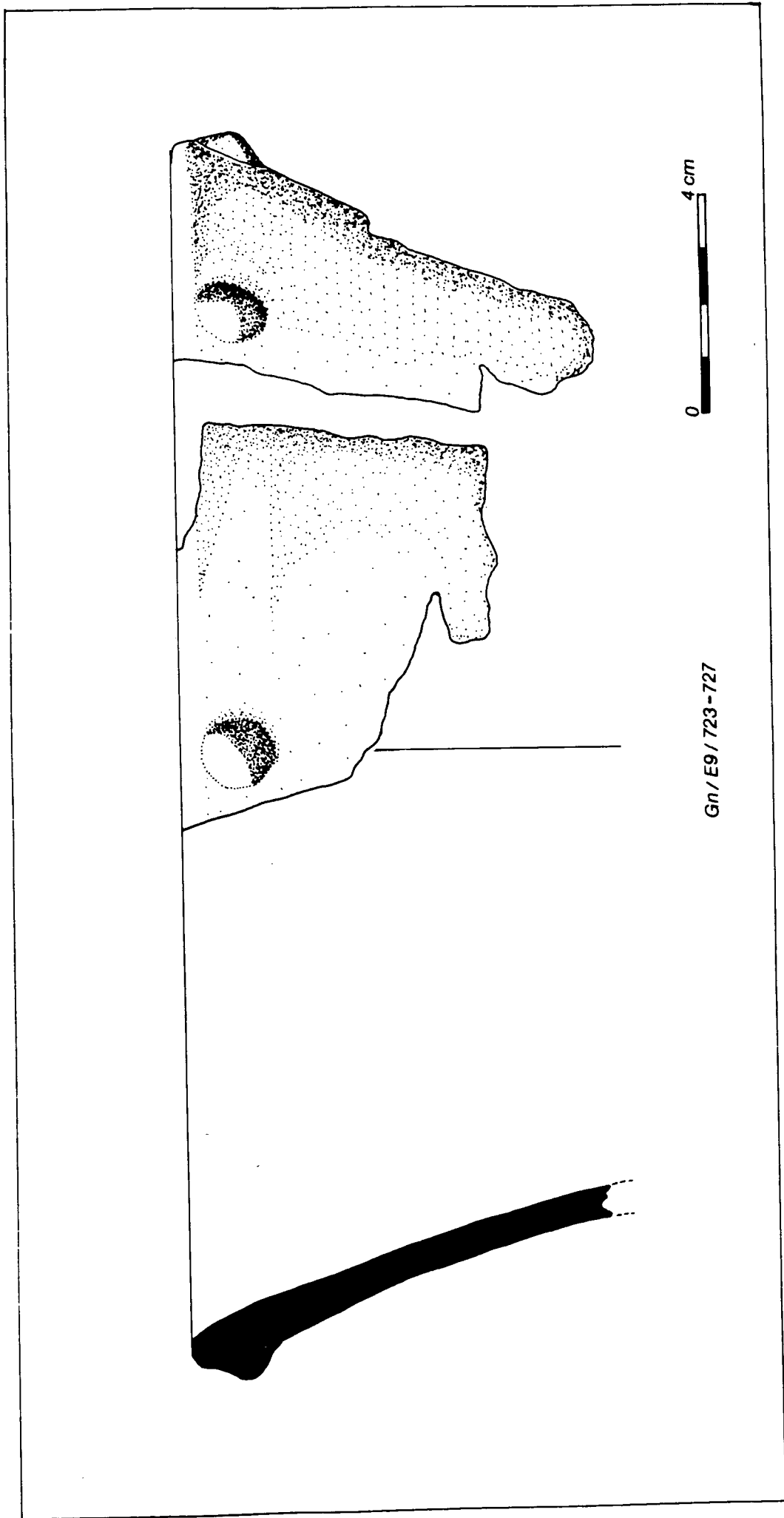


Gn/C9/419-421-459



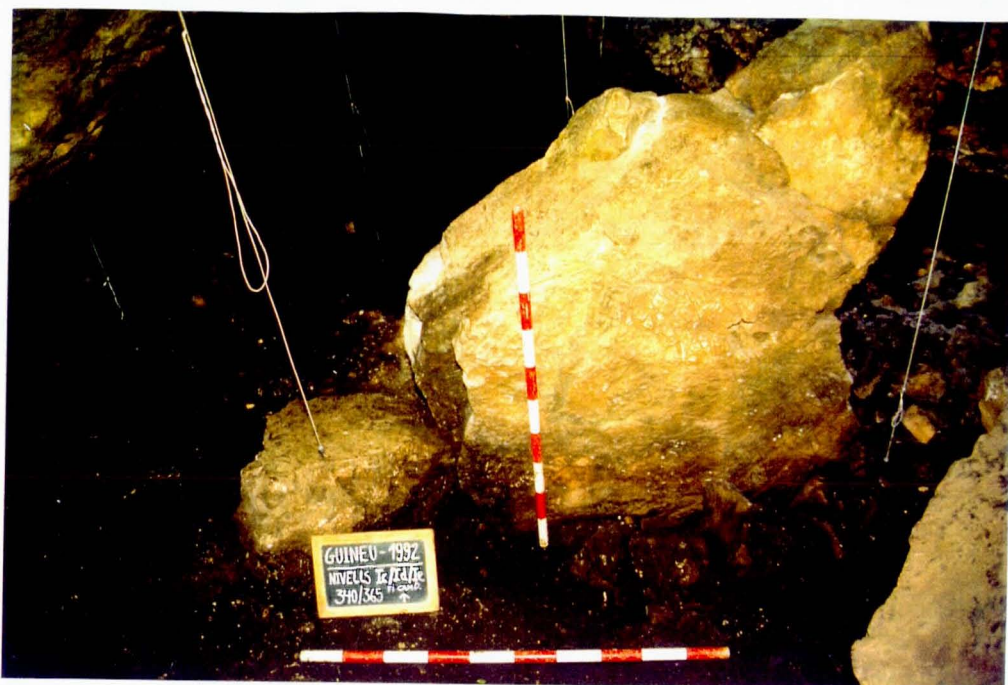
Gn/E10/33

**FIGURA 9.** A dalt: bol campaniforme decorat amb faixes puntillades i resrevades, amb triangles disposats a manera de serrell en la part inferior i superior (decorats amb línies incises obliqües internes). A baix: petit bol llis (sup.: escala 1:1 reduït un xic; inf.:esc. 1:1)

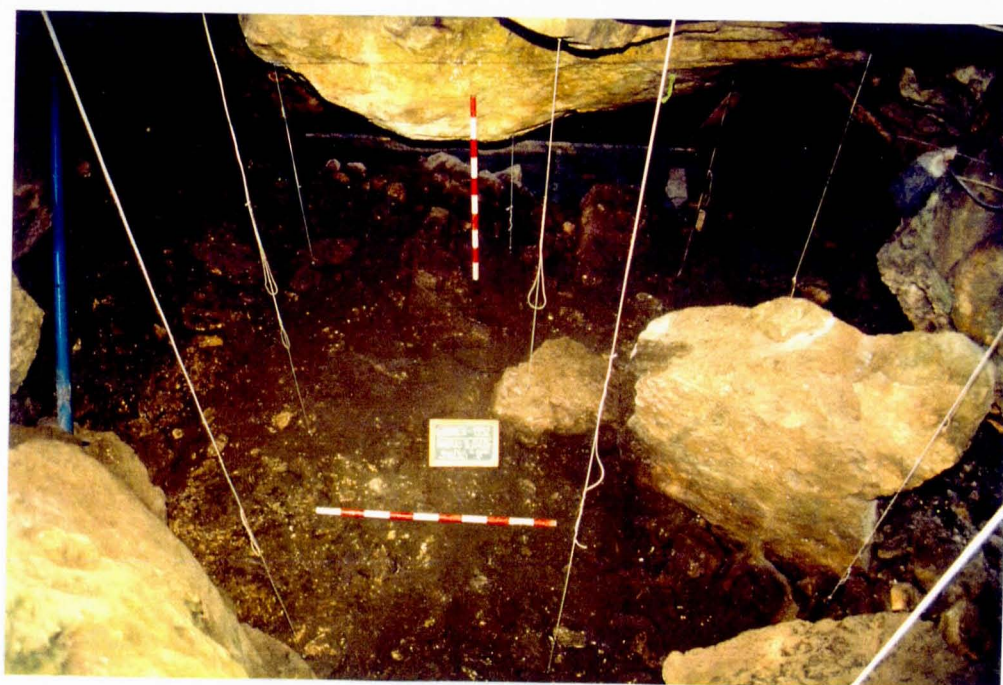


Gn/E9/723-727

**FIGURA 10.** Vas decorat amb mugrons, segurament de forma d'embut. Associat a materials del Bronze antic, nivell Ic.



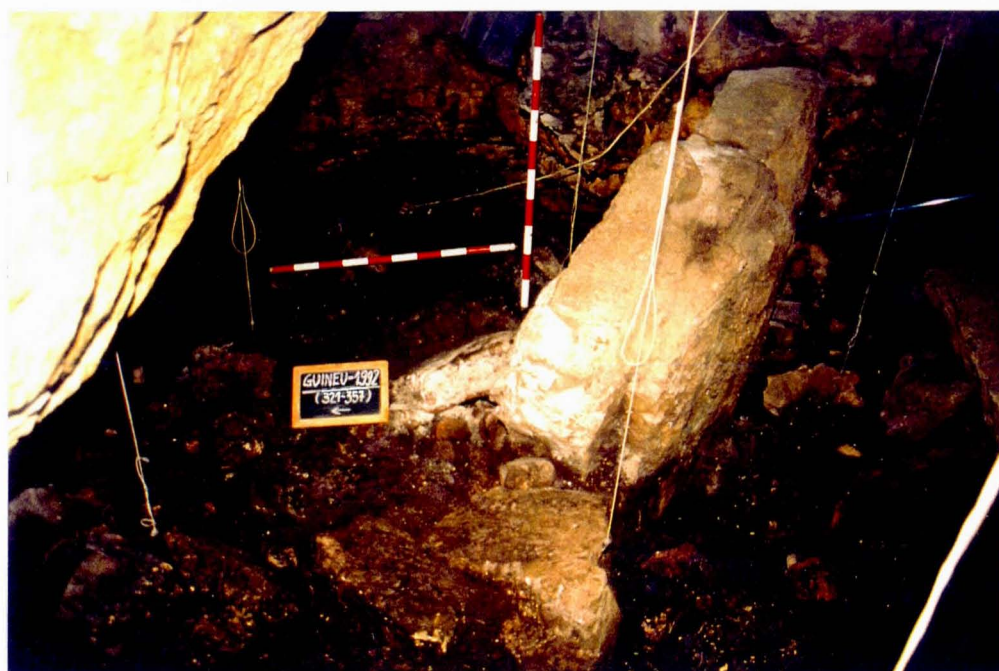
**FOTO 13.** Gran bloc col·locat semi-verticalment; podria tractar-se d'una llosa de tanca de la cavitat sepulcral.



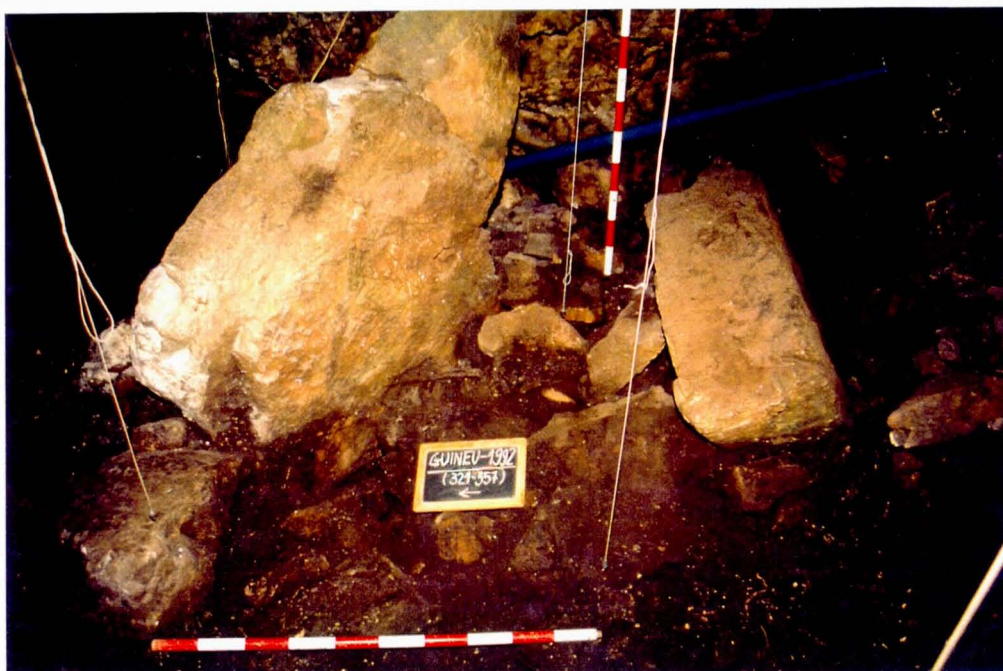
**FOTO 14.** Vista de la mateixa llosa i la seva situació respecte el context general de la zona externa de l'excavació.



**FOTO 15.** Possible llosa vista des del sector interior de la cavitat.



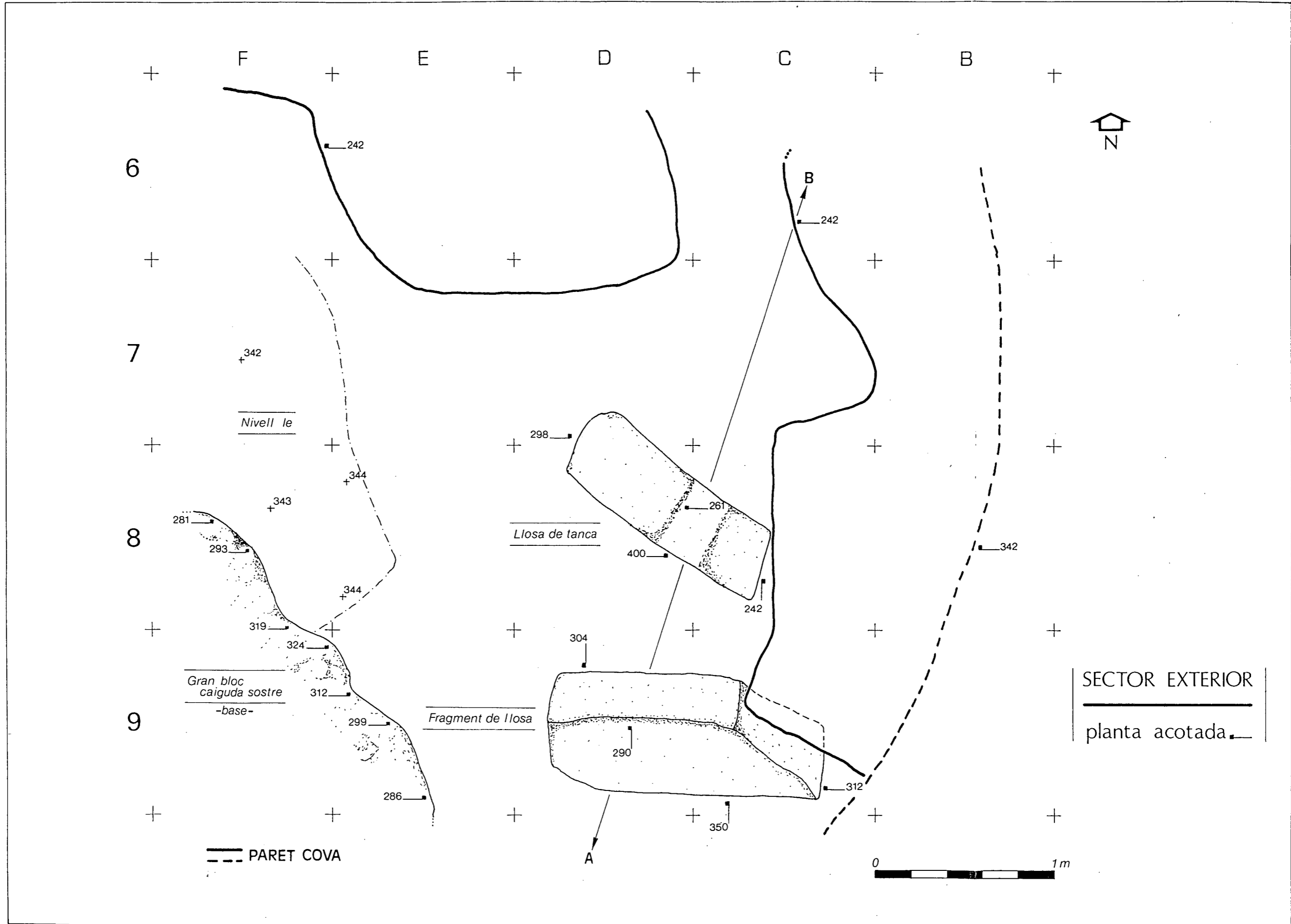
**FOTO 16.** Vista lateral d'aquesta possible llosa, on es pot observar la seva gran regularitat en el seu gruix.



**FOTO 17.** Vista de la possible llosa i, a la dreta, un fragment que s'ha trencat de la part superior de la mateixa.

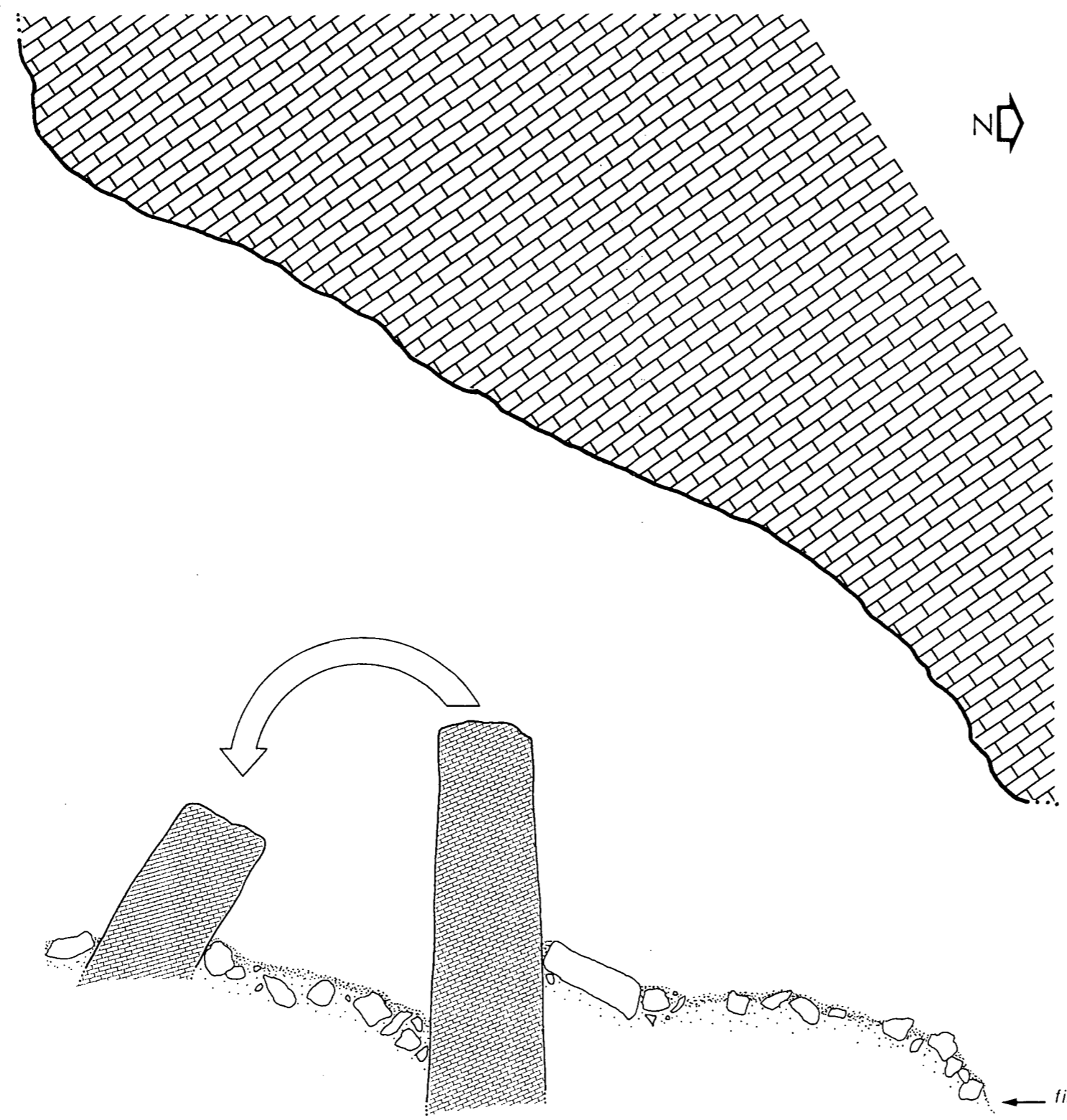


**FIGURA 11.** Panta acotada del sector exterior on s'indica: l'emplaçament de la possible llosa de tanca sepulcral, el perfil de base del gran bloc caigut del sostre i la delimitació del nivell Ie.



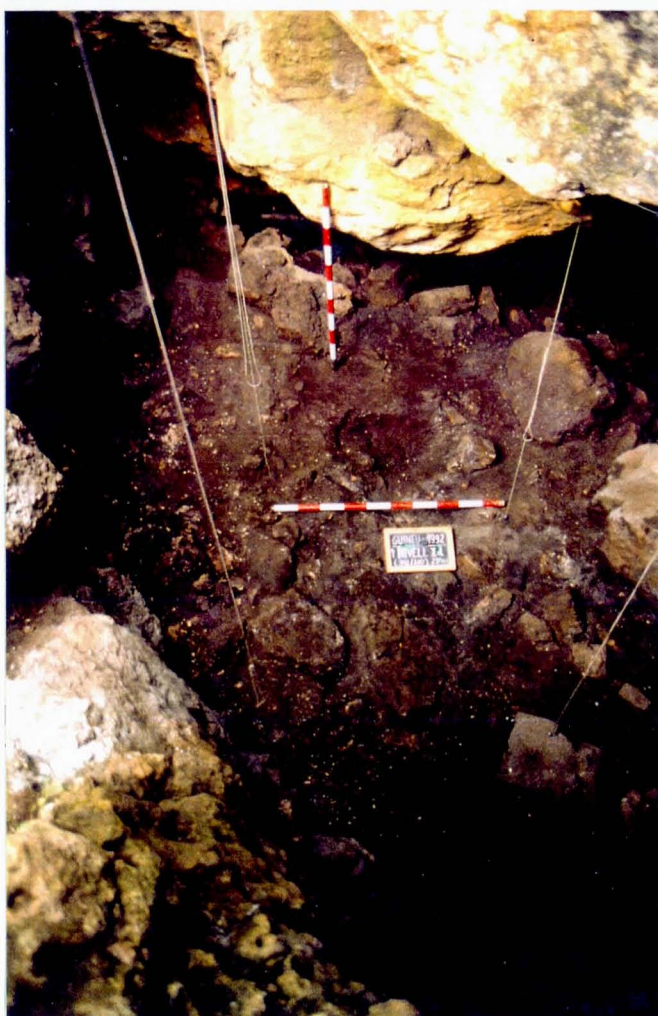
**FIGURA 12.** Perfil A-B realitzat sobre la planta anterior del sector exterior. Interpretació de la fragmentació de la possible llosa de tanca.

0  
100  
200  
300  
400  
cm

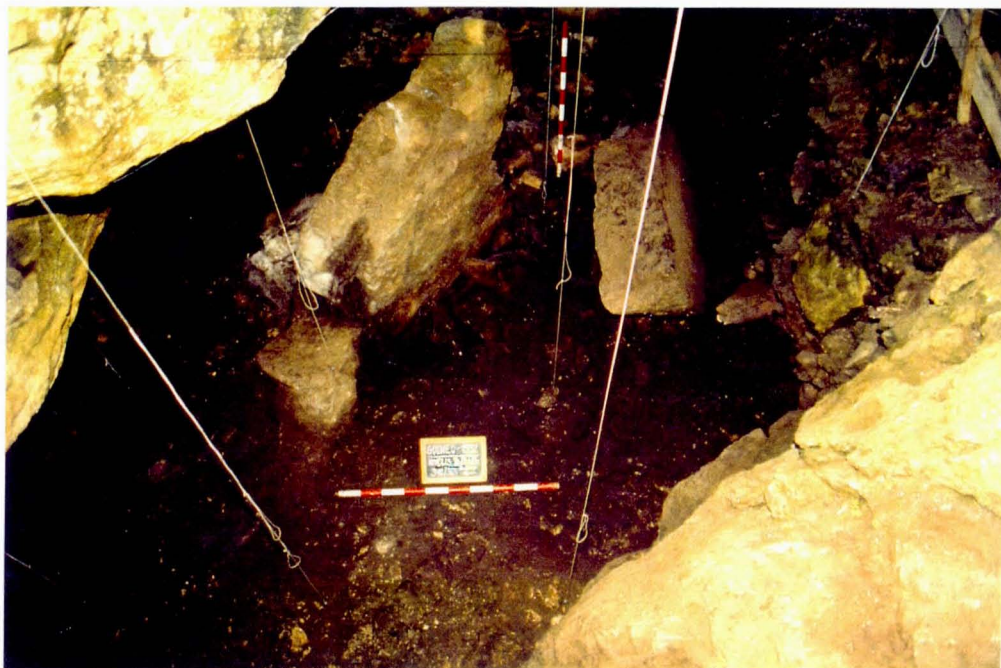


SECTOR EXTERIOR  
perfil A-B

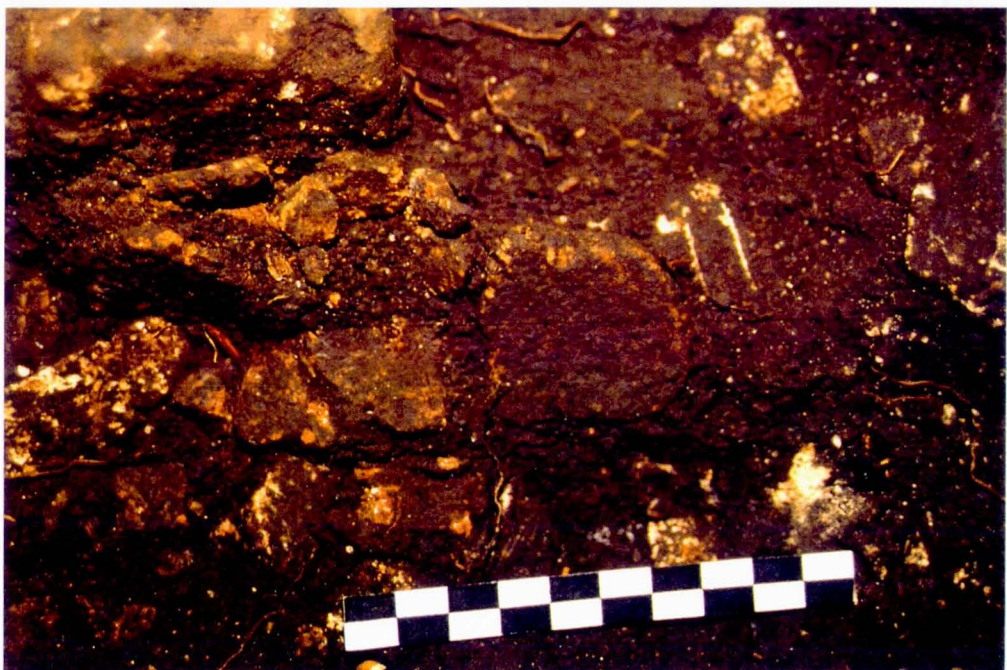
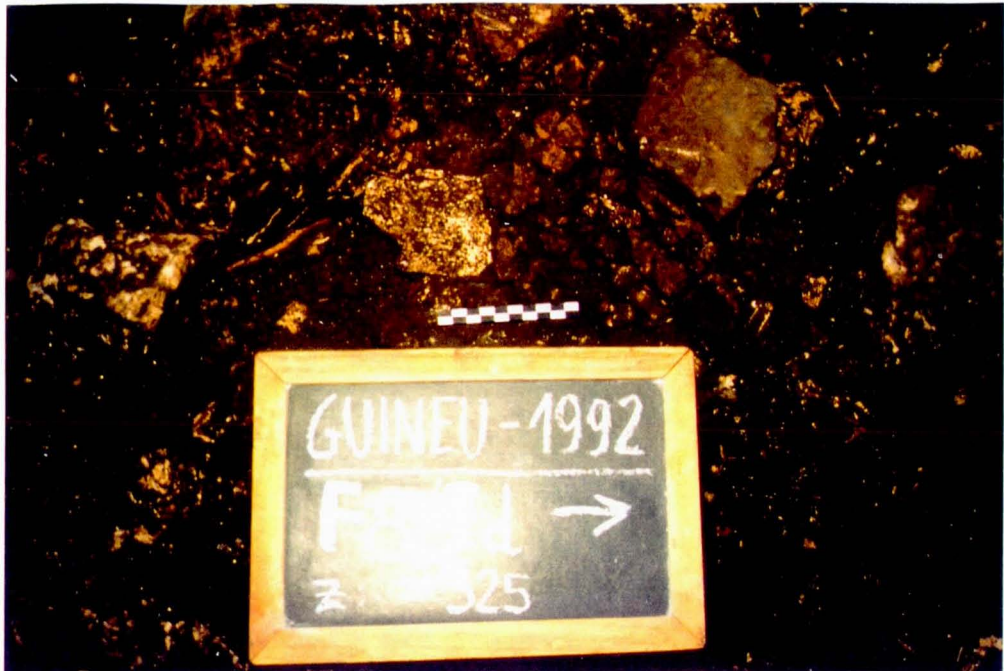
← final campaña 1992  
(croquis)



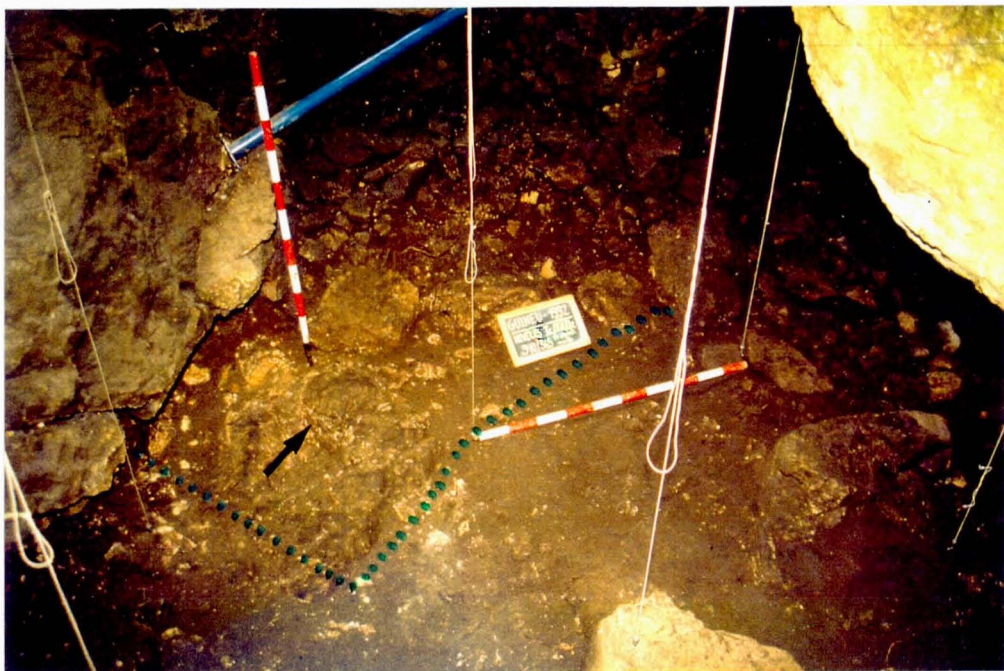
**FOTOS 18 i 19.** Procés d'excavació del nivell Id.



**FOTO 20.** Vista del sector exterior de l'excavació al final de la campanya.



FOTOS 21 i 22. Detalls de l'aparició de material ceràmic en el nivell Id.



**FOTO 23.** La fletxa i l'espai delimitat assenyalen la localització del nivell Ie al final dels treballs.



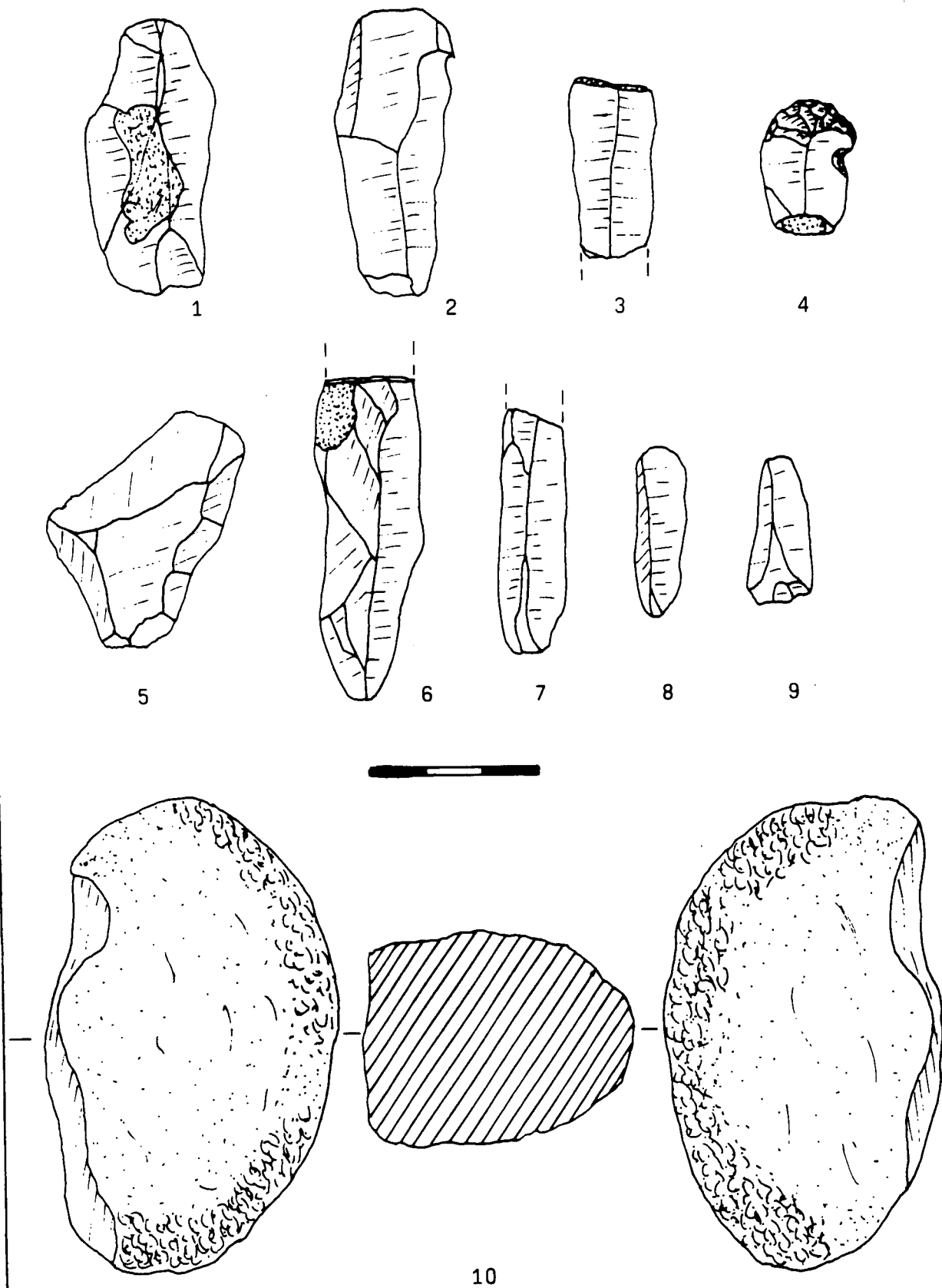
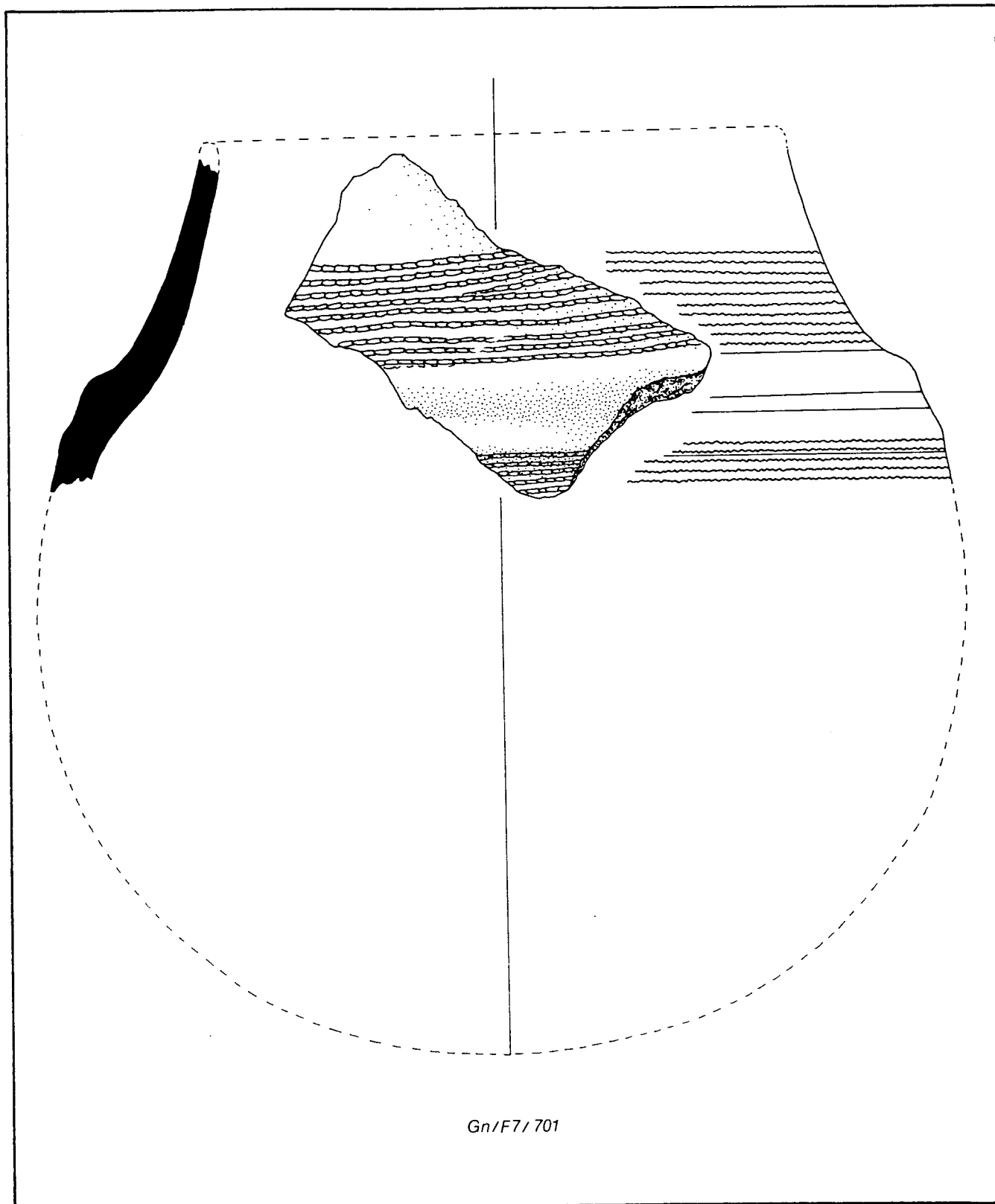


Figura 13 . Indústria lítica. Nivell Ic: 1-4.  
Nivell Id: 5,6 i 10. Nivell Ie: 7-9



**FIGURA 14.** Vas cardial aparegut en el nivell Ie (escala 1:1 un xic reduïda).

### **2.3 Anàlisi de les restes faunístiques**

En aquest apartat oferim les primeres dades obtingudes de l'estudi de les restes òssies aparegudes durant la campanya d'excavacions d'aquest any. El material correspon a diversos quadres excavats i a tres diferents subnivells que per les restes ceràmiques associades podem datar en tres moments culturals: Ic, Bronze antic, Id, Neolític Antic Evolucionat i Ie, Neolític Antic Cardial. La quantitat de restes atribuïdes a cada nivell és bastant desigual:

- Ic: 356 restes.
- Id: 145 restes.
- Ie: 32 restes.

Aquest fet pot explicar-se per l'extensió i profunditat excavada, de moment, dels diferents quadres, i no per una intensitat diferencial en els diferents moments d'ocupació. No obstant volem assenyalar aquestes diferències quantitatives per tal de recordar que la comparació dels valors apareguts en els diferents nivells es veuen mediatitzats per la quantitat de restes amb què hi son representats.

Els resultats taxonòmics són (en número de restes):

#### Nivell Ic:

- Macrofauna no determinada: 175.
- Mesofauna no determinada: 52.
- Microfauna no determinada: 38.
- Rossegadors no determinats: 4.
- Amfibis - rèptils: 7.
- Ocells: 5.
- Sorícids: 1.
- Múrids: 5.
- Arvicòlids: 5.
- *Oryctolagus cuniculus* : 29.
- Carnívors no determinats: 1.
- *Sus* sp. : 6.

- Ovicaprins: 21.
- *Canis* sp.: 1.
- *Felis sylvestris* : 1.
- *Cervus elaphus* : 3.
- *Bos taurus* : 1.

D'aquest material podem parlar d'una predominància de restes d'animals grans. Entre aquests els més abundants serien els domèstics, on els ovicaprins hi dominen, seguits pels suïds (si aquests son considerats com individus domèstics, encara que no hem realitzat de moment un estudi mètric de les restes aparegudes) i en molt poca quantitat el bestiar boví. Pel que fa a la resta de cànid és també de moment de difícil interpretació. Pensem que es tracta d'un gos domèstic, però de considerables dimensions. El conill és un animal força abundant, segurament aportat per la cacera, com així ho podria ser el cèrvol i el gat salvatge. Pel que fa al cèrvol, hem de dir que ha estat determinat únicament en restes fragmentades de banya, que podrien remuntar i que en un cas es tracta d'una muda. D'aquest fet en parlarem més endavant. Les restes de rossegadors i insectívors poden ser degudes a aportacions de tipus natural, com també les restes d'amfibis i rèptils i ocells (d'aquests darrers casos tenim les nostres dubtes).

#### Nivell Id

- Macrofauna no determinada: 90.
- Mesofauna no determinada: 15.
- Microfauna no determinada: 3.
- Amfibis-rèptils : 1.
- Rossegadors :3.
- *Oryctolagus cuniculus* : 5.
- Carnívors indeterminats: 1.
- Ovicaprins: 15.
- *Cervus elaphus* : 8.
- *Sus* sp.:1.
- *Bos taurus* : 3.

Aquest nivell segueix una tònica semblant a l'anterior, amb una certa disminució de mesofauna i de conill, i amb una disminució clara de restes de microfauna. Entre les espècies domèstiques continua predominant les ovelles i les cabres, però segueixen els bovins i no els suïds, encara que tots dos amb una quantitat d'efectius excessivament baixa. En el cas del cèrvol ens trobem amb el mateix problema que abans, ja que possiblement està sobrerrepresentat amb restes de banya que possiblement remunten.

#### Nivell Ie

- Macrofauna no determinada: 19.
- *Oryctolagus cuniculus* :1.
- Mesofauna no determinada: 7.
- *Cervus elaphus* :2.
- *Equus caballus* :2.
- Ovicaprins :1.

El més destacable, és l'escassa quantitat de restes de fauna domèstica, únicament un element corresponent a un ovicaprí. El conill, el cèrvol i el cavall han de considerar-se com animals salvatges. Mentre que conill i cèrvol són prou abundants en altres determinacions faunístiques realitzades a d'altres jaciments culturalment contemporanis, el cavall és molt més rar. A Catalunya només el tenim detectat a dos altres jaciments durant en Neolític Antic: La Timba d'en Bareny i La Caserna de Sant Pau. L'aparició de cavall, no obstant, comença a no ser tan ocasional en jaciments postpliocènic. Les restes de cèrvol tornen a correspondre a fragments de banya cremada. Ens plantejem la problemàtica si aquestes restes tenen alguna relació amb les similars dels nivells anteriors. També cal dir que la sobrerrepresentació de banyes podria estar relacionada amb la dificultat de determinar restes postcranials de la macrofauna, degut al seu importat estat de fragmentació. En tot cas tots els dubtes que ens planteja la fauna corresponent a aquesta campanya es podran solucionar amb una visió global obtinguda de l'estudi complet de les restes recuperades en tot el nivell excavat.

### **3. EL SONDEIG I LA PROBLEMÀTICA GEOLÒGICA**

La revisió dels talls d'E5 en fer-se més rectangular i regular (d'un metre per un metre) ha modificat en part l'estratigrafia elaborada en 1991. Ara hem ajuntat els nivells VII i VIII de 1991 (és l'actual nivell VII), perquè en la revisió no hem vist raons de pes per a mantenir la separació. Així, el que era nivell IX (laminacions de decantació periòdica) abans, passa ara a ser el nivell VIII. D'aquesta manera, actualment la sèrie continua amb (vegeu FOTO 24):

- la capa IX, que seria la de sota VIII; recull el rentat de materials fèrrics de tota la sèrie superior.
- el nivell X, que torna a tenir fracció grollera angular procedent de l'esmicolament de grans blocs de dolomia. Semblants al nivells Ib i Ic, però amb molta menys matèria orgànica i més fracció llimosa.

#### ***Descripció estratigràfica***

**N.VIII.-** potència 115 cm. És un nivell format per una sèrie de laminacions d'argiles, de sorres i llims. També apareixen alguns blocs de considerables dimensions (màxim 35 cm) de morfologia sub-angular i gravetes. Pel que respecte al pendent del nivell cal dir que és el mateix que el dels nivells anteriors.

**N.IX.-** potència 41 cm. Està format també per una sèrie de laminacions però que a diferència del nivell anteriorment descrit, aquestes estan formades per una matriu argilosa. Apareixen entre les laminacions algunes taques d'òxids de Fe. El pendent és el mateix que el del N.VIII.

**N.X.-** potència indeterminada. Està format per graves i blocs de morfologia sub-angular que representen un 75 % de la fracció (vegeu FOTOS 25, 26 i 27). La matriu està composta per llims i argiles. A la base del nivell van aparèixer una sèrie de blocs de dolomies d'unes dimensions que anaven entre 20 i 15 cm.

Pel que fa al pendent segueix essent el mateix que el de la resta dels nivells. En aquest nivell és potser on s'intensifiquen més les taques d'òxids de Fe .

L'excavació d'aquest darrer nivell s'aturat a una cota mitjana de -885 cm (vegeu FOTO 28).

L'interès en la continuació d'aquest sondeig és múltiple, tant pel que fa a la vessant arqueològica com al camp de la geomorfologia.

Des d'un punt de vista arqueològic, encara que els nivells VIII i IX són estèrils, en el nivell X han aparegut dues estelles de conill cremades. Aquest fet demostra que per algun indret del dipòsit hi ha algun tipus d'ocupació. I és probable que pugui haver-hi una ocupació més antiga.

Pel que fa al punt de vista geomorfològic, és important conèixer tot el rebliment d'aquest dipòsit càrstic; així es podrà conèixer i deduir una sèrie de pulsacions paleoclimàtiques i dades paleoecològiques (de moment les úniques a la contrada) de la Serralada Pre-litoral catalana durant el Quaternari recent.

### ***Mostreig***

#### **- pH**

N.X.- z=872 cm

N.IX.-z=862 cm

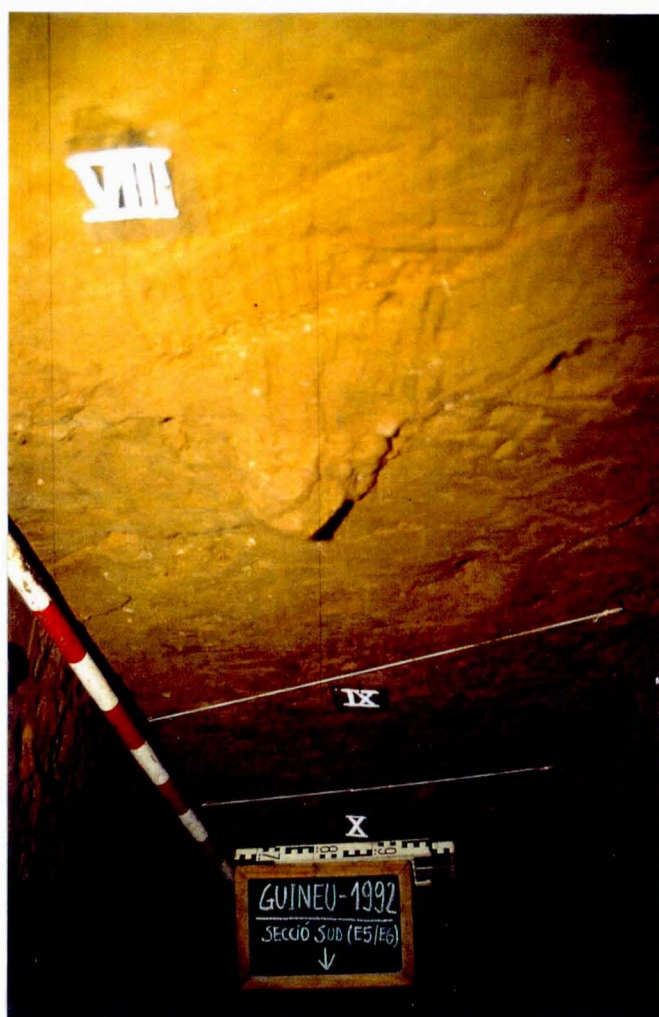
N.VII.-z=687 cm

N.VI.-z=612 cm

N.V.-z=547 cm

N.III.-z=450 cm

N.II.-z=427 cm



**FOTO 24.** Detall de la part final de la seqüència estratigràfica del sondeig E5 (nivells VIII, IX i X), en la secció sud.

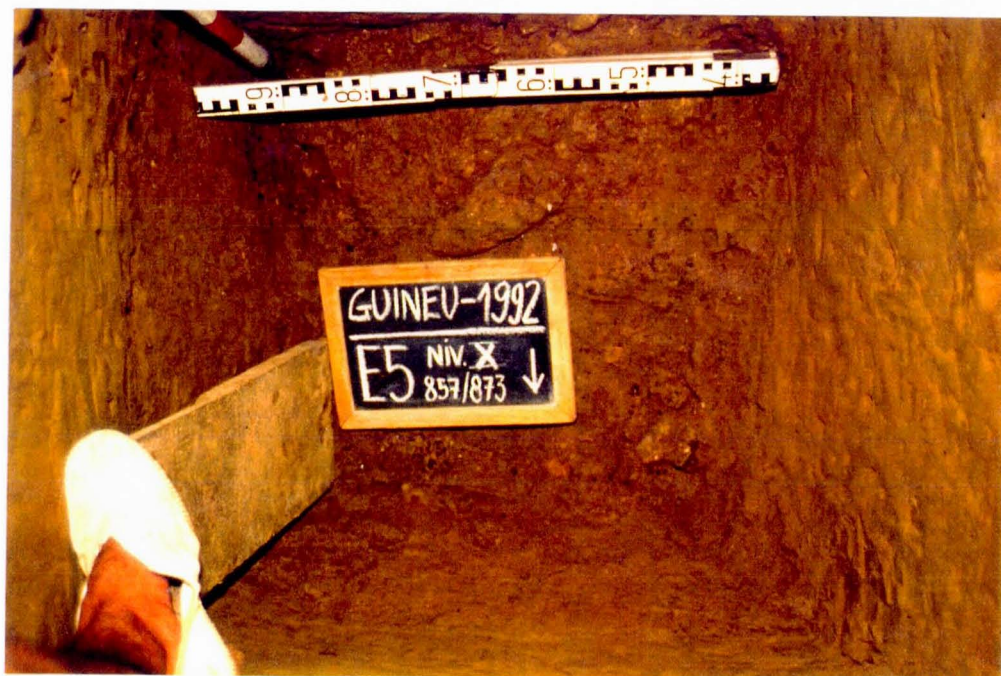




**FOTO 25.** Sondeig E5. Localització del nivell X entre unes cotes de 857/873 cm.



**FOTO 26.** La diferència entre la fracció del nivell X i el superior IX és prou remarcable: el 75% està formada per graves i blocs de morfologia sub-angulosa.



**FOTO 27.** E5: detall del nivell X en planta.



**FOTO 28.** Final de campanya al sondeig E5 (cota mitjana de -885 cm).

#### 4. RECERCA I DIFUSIÓ

Per imperatius legals, l'elaboració i entrega de la Memòria de les campanyes 1988-1991 que tinguérem que presentar el 28 de febrer d'enguany, ens distorsionà força la programació per a l'elaboració de la primera síntesi a nivell científic.

S'ha presentat una comunicació-pòster conjuntament amb D. Campillo, E. Chimenos i Oriol Mercadal (vegeu ANNEXAT 1) al Congrés de Paleopatologia de Barcelona (Setembre de 1992). En aquest treball es comenten les anàlisis paleoantropològiques realitzades sobre les restes esquelètiques humanes localitzades a la Cova de la Guineu durant les intervencions clandestines de l'AECCM i les campanyes sistemàtiques de 1983 i 1988, estudi que ha proporcionat uns resultats força interessants i en algun cas excepcional (paleopatologies excepcionals, etc.); altrament s'ha destacat la importància del nivell sepulcral de la Cova de la Guineu respecte d'altres jaciments de Catalunya, sobretot pel que fa al nombre absolut d'individus identificats fins el moment (més d'una trentena).

També s'ha presentat una comunicació a les 5enes Jornades d'Estudis Penedesencs (Vilanova i la Geltrú, 5-6-7 de juny de 1992), àmbit de Poblament Antic titulada "Cronoestratigrafia de la Cova de la Guineu (Font-rubí). Campanyes 1988-1991" (vegeu ANNEXAT 2).

D'altra banda volem remarcar que s'està treballant en pràctiques d'escanarització de la planimetria de les campanyes 83, 88-92, així com fent pràctiques amb el programa EXCEL tendint a la formació d'un paquet integrat de l'estil de LATTES (interconnexió de Bases de Dades -FILE MAKER PRO-, programes d'anàlisi gràfica -CARTO 2D- i Fulls de Càlcul -EXCEL 3-).

Així mateix, no s'han concretat les converses amb l'Ajuntament de Font-rubí per a donar una conferència i fer una exposició per la Festa Major de Guardiola (15-8-92) en no plasmar-se cap contrapartida. No obstant això estem elaborant un

article per a la revista d'àmbit local (síntesi de prehistòria i món protohistòric-antic del municipi partint del marc del projecte Guineu).

## 5. CONSIDERACIONS FINALS

Aquesta campanya ha ofert una sèrie de respostes a antigues preguntes, alhora que ha generat noves qüestions :

- S'ha confirmat que el nivell Id passa per sota del gran bloc de calçada de sostre.

- La cronologia del nivell Id no es eneolítica, com suposàvem l'any passat , sinó Neolític Antic Evolucionat Postcardial, fàcies Molinot (NAE) i concorda estratigràfica i tipològicament amb la sèrie (amb l'estrat que el cobreix i amb el sostjacent), si bé el contacte entre tots dos no és directe i sembla tenir un clar caràcter d'escorrentia (podria provocar aquesta dinàmica les bossades interiors de II ?).

- Per sota de l'Id apareix un nou nivell, l'Ie, (datable, per la ceràmica cardial apareguda, com a Neolític Antic Cardial), amb unes característiques totalment diferents (vegeu apartat 2.1 del present Informe) a les constatades a l'interior de la cavitat els anys 1983 i 1988. Aquest nivell, anomenat II, recordem-ho, era:

(...) "Terra gris fosca, flonja, amb abundants blocs de gran tamany, amb freqüent presència de punts de carbó i taques lenticulars de cendres blanquinoses que correspondrien a un mínim documentat de dues llars la superfície de contacte entre e.II i e.III és la base sobre la que s'assenten els grans blocs descrits... contenen material arqueològic amb barreja de restes del NAE i del NAC" (...) Memòria Campanya 1983, p.33

Això ens planteja com correlacionar estratigràficament les restes neolítiques cardials i postcardials localitzades a l'interior i a l'exterior (on segons el que hem vist fins ara, es presenten en dos nivells diferenciats).

- S'ha pogut veure en els talls de les seccions E-W i N-S que gran part del jaciment és encara, en planta, a Ic ( part E i SE).

- A mida que ens anem eixamplant en l'excavació en extensió (obertura B7/B8/B9 ), ens trobem en la superfície del talús Ia i per sota d'Ic, confirmant la descripció feta en l'Informe de la Campanya passada (vegeu p.24 de l'*Informe de la campanya de 1991 de la C.de la Guineu*).

- El nivell del Bronze antic pot funcionar en dos estrats correlacionables: a l'interior el que l'any 1983 anomenàrem I i el que hem individualitzat a l'exterior com Ic, separats per una tanca de blocs que delimitaria així dos móns: l'interior de la cavitat com a zona d'ús funerari i l'exterior com a zona dels rites derivats de cadascún dels enterraments succesius o visites rituals. Rastrear ofrenes funeràries exteriors o restes d'òbols funeraris es fa difícil, però el plantejar-lo no es més que assumir la complexitat de comportaments que els grups humans projecten en el món funerari, més enllà de la mera tipologia enterraments i dels catxarros. En les nostres contrades s'està començant a plantejar l'estudi de les necròpolis en termes d'*Arqueologia de la Mort*, i ja s'han començat a fer aplicacions a altres èpoques d'aquest caire, com les de Núria Rafel al món ibèric o la tesis de X. Aquilué en els aixovars de les necròpolis de Tarraco o les recents troballes de Can Trullàs (Granollers).

- El sondeig a E-5 actualment es mostra lluny d'arribar a la base. Entre les moltes hipòtesis que podem elaborar a partir de les dades de què disposem, els estudis geoarqueològics de na Mercé Bergadà, supervisats pel Dr. David Serrat, ens permetrien enfocar l'estratigrafia com un sòl al menys en els 3 primers metres de la estratigrafia exterior, del total d'uns vuit metres de potència.

- Els nivells I (a-e) de l'exterior funcionarien com un sòl, però amb més fracció grollera del normal per les caigudes i esmicolaments dels blocs de parets i antics sostres ;

- Encara hem de deixar en blanc l'enllaç amb el nivell III de l'interior, perquè a hores d'ara no l'hem pogut connectar ;

- Els nivells III-VII funcionen com una sèrie prou homogènia i es formarien com a conseqüència d'entrades periòdiques i torrencials a la cavitat amb un fort pendent al'E i al N.

- Els nivells VIII i IX, en canvi, són fruit d'entrades lentes d'aigua que forma unes sedimentacions laminars de forma periòdica. Cadascuna d'aquestes té unes característiques pròpies: més o menys carbons, cargols i/o sorres, però cap amb material arqueològic. El progressiu rentat dels minerals de ferro de la fracció grollera (lixiviació?) des dels nivells superiors (a Id ja estan alterats els blocs) fa que aquests es retinguin en una base sotsjacent impermeable. Des del nivell VI es comencen a notar aquestes senyals; semblen fer a partir d'aquest nivell el paper de base edafològica per la seva component argilosa i les taques d'òxids descrites (ara per ara és la possibilitat més versemblant sobre la seva formació, si bé poden haver altres orígens com la formació coetània a la del propi sediment ).

- En canvi al nivell X la seva morfologia torna a ser semblant a la dels nivells I, a nivell de fracció grollera subangulosa, pràcticament sense alterar químicament, però amb una composició més notable de llims i lògicament menys matèria orgànica que els nivells I tant húmics i recents.



Com a conseqüència del descrit podem emetre la hipòtesi de que els nivells I-IX corresponen a un cicle geomorfològic, per sota, a X, podríem estar documentant un altre. Respecte a la seva datació tenim alguna pista en la dinàmica d'inundació periòdica (no necessàriament estacional) que conformen els nivells VIII i IX. Un dels possibles orígens apuntat és una dinàmica combinada de gel-desgel de la part d'entrada de la sedimentació el que comportaria inundacions lentes, i crearia un ambient sedimentari d'inundació tranquil·la que donaria com a morfologia aquest sediment laminat. No implica això un gel-desgel amb sedimentació anual, i recordem l'altura de la cova (734 m) a més de 700 m.s.n.m., que segons alguns paleoclimatòlegs podien estar amb certa permanència de neu tot l'any al període tardiglaciari *Dryas*, almenys a les obagues. Creiem que aquesta sèrie pot documentar tot l'Holocè des del Tardiglaciari (encara ben poc conegut al vessant S. dels Pirineus, si exceptuem algun cas<sup>3</sup>), convertint aquesta sèrie en un registre autènticament excepcional.

El nivell X en aquest cas podria ser del Plistocè final, i les seves restes antròpiques secundàries magdalenianes ?. Els resultats de les anàlisis en procès i de la profundització del sondeig ens faran avançar en la confirmació o refutació de les hipòtesis exposades.

---

<sup>3</sup> Vegeu, al respecte:

BERGADA, M<sup>a</sup> Mercè. *Aproximació a l'estudi sedimentològic-paleoclimàtic d'un assentament prehistòric: la Cova del Parco (Alòs de Balaguer, La Noguera)*. Tesi de Llicenciatura inèdita. Facultat de Geografia i Història de la UB, 1989, 287 p.

BERGADA, M<sup>a</sup> Mercè. "Aproximació a l'estudi sedimentològic i paleoclimàtic d'un assentament prehistòric : la Cova del Parco (Alòs de Balaguer, la Noguera)", *Cypselà* IX, Centre d'Investigacions Arqueològiques de Girona, 1991, pp.33-48.

BERGADA, M.M, J.M. FULLOLA, D. SERRAT, J. MONTSERRAT i J.M. VILAPLANA. "Aproximación a la evolución paleoecológica del pasado Tardiglaciario y Postglaciario del sector occidental de Catalunya". *Reunión Internacional de Geoarqueología*, 1990.

MONTSERRAT, J.M. *Evolución glaciario y postglaciario del clima y la vegetación en la vertiente sur del Pirineo: estudio palinológico*. CSIC (Monografías del Instituto Pirenaico de Ecología, 6), 147 p.

**6. INVENTARI DE LES MOSTRES DE SEDIMENT I DELS  
MATERIALS**

**6.1 MOSTRES DE SEDIMENT**

DATA	QUADRE	NIVELL	CABASSOS
21/VII/92	D-7	Ib/Ic	3
	F-8	Ic	0,5
	E-8	Ic	1
	F-6	Id	1
22/VII/92	E-9	Ic	3
	D-7	Ib/Ic	1
	D-7	Ic	1,5
	F-8	Ic/Id	2,5
	E-8	Ic	0,5
	D-6	Ic	1
	E-7	Ic	0,5
E-6	Ic/Id	0,5	
23/VII/92	E-8	Ic	3,5
	E-9	Ic	1
	F-8	Ic	1
	D-7	Ic	1
25/VII/92	E-6	Ic	0,5
	C-9	Ib/Ic	1
	E-9	Ic	1
	E-8	Ic/Id	0,5
	D-7	Ic/Id	1
26/VII/92	D-8	Ic	0,5
	E-5	VIII	4,5
	F-7	Id	2
	F-8	Id	1
	E-7	Id	2,5
27/VII/92	E-5	VIII	7
	F-7	Id	2
	D-7	Id	0,5
	F-8	Id	1
	E-7	Id	1,5
	C-9	Id	0,5
	C-7	Ic	0,5

Quadre 1. Volum de sediment garbellat i guardat com a mostra

DATA	QUADRE	NIVELL	CABASSOS
28/VII/92	E-5	VIII	7
	F-7	Id	3,5
	F-8	Id	2
	C-9	Ic	1
	C-7	Ic	1
29/VII/92	C-9	Ic/Id	0,5
	F-7	Id	3
	E-5	VIII	2
	E-9	Ic	1
	F-8	Id	1,5
	E-8	Ic	1
	C-7	Ic	0,5
	E-7	Id	2,5
	C-8	Ic	0,5
	D-9	Ic	2
30/VII/92	F-7	Id	0,5
	E-5	VIII	4
	C-7	Ic	0,5
	E-8	Ic	2
	F-6	Id	3
	E-9	Id	2
	C-9	Ic	1
	D-7	Id	2
	F-8	Id	3
	E-8	Id	2
	1/VIII/92	E-9	Ic
D-9		Ic	0,5
E-7		Id	4
F-8		Id	3
F-7		Id	4,5
E-6		Id	3
E-6		Ia	0,5
E-8		Id	3,5

Quadre 2. Volum de sediment garbellat i guardat com a mostra

DATA	QUADRE	NIVELL	CABASSOS
2/VIII/92	E-6	Id	0,5
	D-7	Ic/Id	2
	D-7	Id	0,5
	C-7	Ic/Id	1
	C-7	Ia/Ic	1
	D-8	Ic	1
	E-9	Ic	2
	E-8	Ic/Id	0,5
	C-9	Id	0,5
	D-6	Id	1
	3/VIII/92	E-9	Ic/Id
E-7		Id	2
D-9		Ic	0,5
E-7		Ie	2,5
F-7		Ie	6
D-7		Id	2
E-5		IX	2,5
E-9		Ic/Id	0,5
F-8		Ie	4,5
E-6		Ic/Id	0,5
D-9		Id	2
C-9		Ic-Id	1
F-6		Id	1
F-9		Id	1
E-8		Ie	1
E-5		X	2
E-7	Ie	1	
5/VIII/92	F-7	Ie	5,5
	E-5	X	1
	E-8	Ie	1
	E-8	Id	1
	F-8	Ie	2,5
	E-6	Id	1
	D-9	Ic/Id	1
	D-8	Ic/Id	2
	F-8	Ie	4
	F-6	Ie	1

Quadre 3. Volum de sediment garbellat i guardat com a mostra

DATA	QUADRE	NIVELL	CABASSOS
21/VII/92	F7-E7	Neteja	1
	E-6	Ib-Ic	1
2/VII/92	C-9	Neteja	0,5
	D-9	Net.blocs	3
	E-5	Rect.tall	4
23/VII/92	E-9	Ic	0,5
	D-9	Ib	4
	E-5	VIII	11.5
	C-9	Ib	0,5
26/VII/92	C-9	Ic	1,5
	C-7	Ib	1
	E-5	VIII	9,5
	F-8	Id	0,5
	E-9	Ic	2
	C-8	Ia	1
27/VII/92	E-5	VIII	10,5
	F-8	Ic	0,5
	E-9	Ic	2
	C-7	Ib-Ic	0,5
	C-9	Id	0,5
28/VII/92	D-9	Ic	1
	E-5	VIII	12
	E-9	Rect.tall	1,5
30/VII/92	F-7	Id	1
	E-7	Id	1
	E-5	VIII	8
	C-9	Ib-Ic	1
	E-8	Ic-Id	1
	D-9	Ib-Ic	0,5

Quadre 4. Volum de sediment garbellat i no guardat com a mostra.

DATA	QUADRE	NIVELL	CABASSOS
1/VIII/92	D-9	Ib/Ic	1
	F-8	Id	0,5
	F-7	Ic-Id	1
	D-7	Id	1
	E-8	Id	0,5
	C-9	Ib/Ic	1
	2/VIII/92	E-5	IX
E-5		Neteja	1
3/VIII/92	E-9	Ic/Id	4,5
	F-8	Id	0,5
	E-7	Id	1
	E-5	IX	9
	C-7	Ia	1
	C-7	Ic/Id	3,5
	D-6	Id	1
	E-8	Ic/Id	2
	D-7	Ic/Id	1
	-	Net.gen.	1
4/VIII/92	D-6	Id	0,5
	E-5	IX	1,5
	C-7	Ib-Ic	2
	D-9	Ic	1
	E-5	X	1
	F-6	Id/Ie	1
5/VIII/92	F-6	Id/Ie	3
	C-7	Ia-Ic	3
	E-5	X	3
	D-9	Ic-Id	2
	E-9	Ic/Id	2
	E-7	Id/Ie	1
	E-6	Id	2,5
	D-8	Ic/Id	1
	C-6	Ia/Ic	1,5
E-8	Id/Ie	0,5	

Quadre 5. Volum de sediment garbellat i no guardat com a mostra



<u>VOLUM DE SEDIMENT</u> <u>GARBELLAT I GUARDAT</u> <u>COM A MOSTRA</u>	<u>182 Cabassos</u>
<u>VOLUM DE SEDIMENT</u> <u>GARBELLAT I NO GUARDAT</u> <u>COM A MOSTRA</u>	<u>140,5 Cabassos</u>
<u>VOLUM TOTAL DE SEDIMENT EXCAVAT</u> <u>322,5 Cabassos</u>	

Quadre 6. Volum total de sediment excavat

**6.2 INVENTARI DE MATERIALS**

Nivell	Q.a.	Q.n.	Nº	Matèria	Sup.	Taló	Cort.	Alt.	Conc.	Long.	Amp.	Gruix	X	Y	Z	Orient.	Pend	Tipus prim.	Formes cer.	Observacions
la	B	7	1	os	micro								10,0	43,0	340,0	NE-SW	P	conill		estella
la	B	7	2	os	micro								15,0	50,0	340,0		P	conill		vèrtebra
la	B	7	3	os	Macro								4,0	40,0	340,0	N-S	P			frag. costella
la	B	7	4	os	micro								11,0	34,0	338,0	N-S	P	conill		det.
la	B	7	5	os	micro								13,0	46,0	339,0	NE-SW	SW	conill		det.
la	B	7	6	carbó																
la	B	7	7	os	micro								15,0	33,0	343,0			conill		det.

Nivell	Q.a.	Q.n.	Nº	Matèria	Sup.	Taló	Cort.	Alt.	Conc.	Long.	Amp.	Gruix	X	Y	Z	Orient.	Pend	Tipus prim.	Formes cer.	Observacions
lb/lc	B	8	1	os	Macro								7,0	13,0	329,0					vertebra
lb/lc	B	8	2	ceràmica	mà					35	33	6	30,0	99,0	349,0				vora	

Nivell	Q.a.	Q.n.	Nº	Matèria	Sup.	Taló	Cort.	Alt.	Conc.	Long.	Amp.	Gruix	X	Y	Z	Orient.	Pend	Tipus prim.	Formes cer.	Observacions
lb/lc	B	9	1	ceràmica	mà					58	38	11	5,0	70,0	330,0				Informe	llengüeta amb digitacions. Ar
lb/lc	B	9	2	os	micro								10,0	38,0	306,0	N-S	P	conill		tibia. Arran paret
lb/lc	B	9	3	os	Macro								3,0	77,0	346,0	E-W	P			estella diàlisi

GUINEU-C6

Nivell	Q.a.	Q.n.	Nº	Matèria	Sup.	Taló	Cort.	Alt.	Conc.	Long.	Amp.	Gruix	X	Y	Z	Orient.	Pend	Tipus prim.	Formes cer.	Observacions
Ia/Ic	C	6	1	os	micro								71,0	33,0	357,0					Determ.
Ia/Ic	C	6	2	os	micro								74,0	32,0	356,0					Determ.
Ia/Ic	C	6	3	os	Macro								11,0	14,0	353,5					Frag. epifisi
Ia/Ic	C	6	4	os	Macro								27,0	30,0	363,5					Estella
Ia/Ic	C	6	5	os	Macro															Frag. indet

Nivell	Q.a.	Q.n.	Nº	Matèria	Sup.	Taló	Cort.	Alt.	Conc.	Long.	Amp.	Grutx	X	Y	Z	Orient.	Pend	Tipus prim.	Formes cer.	Observacions	
Ia/Ic	C	7	92	os	Macro								6,0	4,0	292,0					estella	
Ic	C	7	93	os	micro								5,0	67,0	304,0			conill		os det.	
Ic	C	7	94	os	Macro								15,0	65,0	304,0	NE-SW	N			frag. costella	
Ic	C	7	95	os	micro								0,0	18,0	323,5					estella	
Ic	C	7	96	Malacologia	cargó								45,0	35,0	320,0					1 frag.	
Ic	C	7	97	carbó									13,0	50,0	333,5						
Ic	C	7	98	carbó									7,0	34,0	337,0						
Ic	C	7	99	os	micro								30,0	25,0	321,0					os det.	
Ic/Ic	C	7	100	cargol	cargó								13,0	16,5	328,0						
Ia(cros	C	7	101	os	Macro													èquid		Frag de maxilar amb 4 dents	
Ia	C	7	102	os	Macro															epifisi	
Ia	C	7	103	ceràmica	torn					39	12	9						gris medieval	Informe		
Ia	C	7	104	ceràmica	torn					40	20	10						gris medieval	Informe	concrecionada	
Ia	C	7	105	ceràmica	torn					65	30	7						gris medieval	Informe		
Ia	C	7	106	ceràmica	torn					42	20	8						gris medieval	Informe		
Ia	C	7	107	ceràmica	torn					57	28	8						gris medieval	Informe		
Ia	C	7	108	ceràmica	torn					32	30	6						gris medieval	Informe		
Ia	C	7	109	ceràmica	mà					26	20	5							Informe		
Ia	C	7	110	mostra mineral	gres					41	37	14									
Ia	C	7	111	os	Macro													èquid		dent	
Ia	C	7	112	os	Macro															diàfisi	
Ia	C	7	113	os	Macro															diàfisi	
Ia	C	7	114	os	Macro															fragment de costella	
Ic	C	7	115	os	Macro										328,0					estella	
Ic	C	7	116	os	micro										328,0			conill		estella	
Ia	C	7	117	os	Macro															encastat en mostra travertí	
Ia	C	7	118	ceràmica	mà					33	26	6							Informe		
Ia	C	7	119	Malacologia	cargó																4 fragments
Ib	C	7	120	carbó																	
Ic	C	7	121	Malacologia	cargó																
Ic	C	7	122	carbó																	
Ib/Ic	C	7	123	carbó									35,0	20,0	323,5						
Ib/Ic	C	7	124	os	Macro								37,0	24,0	321,5	E-W	SW			estella diàfisi	
Ib/Ic	C	7	125	os	micro								39,5	22,0	323,0	E-W	SW	conill		epifisi	
Ib/Ic	C	7	126	carbó									49,0	22,0	320,0						
Ib/Ic	C	7	127	ceràmica	torn					32	21	4	67,0	35,0	321,0	SW-NE	NE	gris medieval?	Informe	Ia ?	
Ib/Ic	C	7	128	carbó									79,0	32,5	325,0						
Ib/Ic	C	7	129	Malacologia	cargó								9,0	18,0	330,5						
Ib/Ic	C	7	130	os	micro								27,0	2,0	336,0					frag. epifisi	
Ib/Ic	C	7	131	Malacologia	cargó								22,0	11,0	334,5						
Ib/Ic	C	7	132	os	micro								20,0	36,0	333,0					estella	
Ib/Ic	C	7	133	Malacologia	cargó								40,0	25,0	333,0						
Ib/Ic	C	7	134	os	micro								62,0	7,0	314,5					epifisi	
Ib/Ic	C	7	135	Malacologia	cargó								60,0	36,0	317,0						
Ib/Ic	C	7	136	Malacologia	cargó																

Nivell	Q.a.	Q.n.	Nº	Matèria	Sup.	Taló	Cort.	Alt.	Conc.	Long.	Amp.	Gruix	X	Y	Z	Orient.	Pend.	Tipus prim.	Formes cer.	Observacions
Ic	C	7	137	os	micro								37,0	27,0	322,0					varis ossos determ.
Ic	C	7	138	os	micro								47,0	21,0	321,0					molts ossos determs
Ic	C	7	139	os	micro								46,0	29,0	323,0					3 ossos dets.
Ic	C	7	140	os	Macro								49,0	24,0	323,5					frag. det.
Ic	C	7	141	carbó									53,0	30,0	320,0					
	C	7	142	carbó									48,0	9,0	318,0					
	C	7	143	carbó									55,0	10,0	317,0					
	C	7	144	carbó									53,0	32,0	320,0					
Ia Talú	C	7	145	carbó									71,0	54,0	326,0					
Ia Talú	C	7	146	os	Macro								73,0	55,0	326,0	NE-SW	SW			estella
Ia Talú	C	7	147	carbó									83,0	51,0	333,0					
Ia Talú	C	7	148	carbó									89,0	60,0	333,0					
Ia Talú	C	7	149	os	Macro								90,0	40,0	332,0					estella
	C	7	150	os	micro															2 frags determ.
Ic	C	7	151	carbó									26,0	40,0	332,0					
Ic	C	7	152	os	micro								38,0	39,0	331,0			conill?		metàpode
Ic	C	7	153	os	micro								47,0	30,0	324,0					escàpula
	C	7	154	carbó																varis
Ic	C	7	155	os	micro										330,0					5 frags.
Ic	C	7	156	carbó																varis
Ic/Id	C	7	157	ceràmica	mà					32	28	6	19,0	83,0	340,0	NW-SE	N		Informe	
	C	7	158	os	Macro								80,0	33,0	332,0	SE-NW	P			epífisi
	C	7	159	carbó									78,0	34,0	332,0					
	C	7	160	os	micro								75,0	37,0	331,0	E-W	P	conill		determinable
	C	7	161	ceràmica	mà					47	30	7	80,0	42,0	331,0	NW-SE		Bronze Final		acanalats externs
	C	7	162	carbó									82,0	43,0	331,0					
	C	7	163	os	micro								80,0	46,0	336,0	NW-SE	P			frag. determinable
	C	7	164	Malacologia	cargó								80,0	62,0	336,5					
	C	7	165	os	Macro								80,0	33,0	335,0					frag. diáfisi falange
	C	7	166	carbó									85,0	34,0	335,0					
	C	7	167	carbó									84,0	42,0	337,0					
	C	7	168										88,0	54,0	337,0					
Ia	C	7	169	ceràmica	torn					26	20	5	87,0	39,0	335,0			Vernis roig catà	carena	
	C	7	170	os	Macro								87,0	30,0	335,0					determinable
	C	7	171	carbó									95,0	43,0	334,0					
	C	7	172	carbó									92,0	50,0	334,0					
	C	7	173	carbó									93,0	52,0	334,0					
	C	7	174	os	micro															conill
	C	7	175	ceràmica	mà					13	9	3							Informe	
Ia/Ic	C	7	176	ceràmica	torn					9	5	7							vernís roig catà	vora
Ia/Ic	C	7	177	carbó									98,0	20,0	341,0					
Ia/Ic	C	7	178	os	micro								84,0	39,0	344,0	N-S	P	conill		frag. epífisi
Ia/Ic	C	7	179	os	micro								94,0	47,0	343,0	E-W	W	conill		determ.
Ia/Ic	C	7	180	os	micro								94,0	53,0	344,0	N-S				frag. det.
Ia/Ic	C	7	181	os	micro								84,0	60,0	348,0	N-S	P	conill		frag. det.



Nivell	Q.a.	Q.n.	Nº	Matèria	Sup.	Taló	Cort.	Alt.	Conc.	Long.	Amp.	Gruix	X	Y	Z	Orient.	Pend	Tipus prim.	Formes cer.	Observacions	
Ia/Ic	C	7	182	os	micrd								87,0	38,0	342,0	N-S	P			frag. escàpula	
Ia/Ic	C	7	183	os	Macrd								89,0	60,0	348,0	E-W	P				
Ia/Ic	C	7	184	ceràmica	mà					27	22		50,0	71,0	338,0		P		informe		
Ia/Ic	C	7	185	ceràmica	mà					31	30		63,0	87,0	338,0		P		informe		
Ia/Ic	C	7	186	os	micrd								84,0	49,0	345,0	N-S	N			diàfisi	
Ia/Ic	C	7	187	os	micrd								92,0	50,0	345,0	NW-SE	P			epífisi	
Ic/Ic	C	7	188	os	micrd								13,0	70,0	345,0	N-S	P			determ.	
Ia/Ic	C	7	189	os	micrd													conill		determinable	
Ia/Ic	C	7	190	ceràmica	mà					22	13	9							informe		
Ia/Ic	C	7	191	ceràmica	torn					26	19	4						gris medieval	informe		
Ia/Ic	C	7	192	mostra mineral	gres															crostra	
Ia	C	7	193	os	micrd															os det. (frag. crostra)	
Ia	C	7	194	os	micrd															3 dents i 2 ossos	
Ia	C	7	195	os	Macrd															vèrtebres	
Ia	C	7	196	os	Macrd															vèrtebra	
Ia	C	7	197	os	Macrd															vèrtebre	
Ia	C	7	198	ceràmica	mà					45	37	7							informe	4 frags enganxats	
Ia	C	7	199	os	Macrd															vèrtebra	
Ic	C	7	200	carbó																	
Ic	C	7	201	Malacologia	cargó																varis
Ia	C	7	202	carbó																	
Ia/Ic	C	7	203	ceràmica	mà					29	11	5									
Ia/Ic	C	7	204	os	Macrd								100,	38,0	340,0			conill		determinable	
Ia/Ic	C	7	205	os	micrd								98,0	51,0	339,0			conill		determinable	
Ia/Ic	C	7	206	os	Macrd								73,0	74,0	352,0					frag. diàfisi ( 2 frags enganxats )	
Ia/Ic	C	7	207	os	micrd								80,0	98,0	340,0					2 Ossos dets.	
Ia/Ic	C	7	208	os	micrd								81,0	100,	345,0			conill		frag. diàfisi	
Ia/Ic	C	7	209	ceràmica	torn					78	45	17	56,0	77,0	360,0	NE-SW	P	vernís negre ità	Base		
Ia/Ic	C	7	210	os	micrd								86,0	27,0	347,0					frag. diàfisi	
Ia/Ic	C	7	211	os	micrd								51,0	48,0	357,0					estella	
Ia/Ic	C	7	212	os	micrd								62,0	76,0	364,0					epífisi	
Ia/Ic	C	7	213	os	micrd								66,0	77,0	364,0					epífisi det.	
Ia/Ic	C	7	214	os	Macrd								64,0	77,0	365,0					estella ( 2 frags enganxats )	
Ia/Ic	C	7	215	os	Macrd															Frag. costella	
Ia/Ic	C	7	216	os	micrd													ictiofauna		vèrtebra	
Ia/Ic	C	7	217	os	micrd								33,0	48,0	363,0					determinable	
Ia/Ic	C	7	218	os	micrd								64,0	55,0	361,0					falange	
Ia/Ic	C	7	219	os	micrd								57,0	53,0	360,0			conill		frag. mandíbula	
Ia/Ic	C	7	220	os	micrd								83,0	100,	366,5					determ.	
Ia/Ic	C	7	221	Malacologia	càrgo															varis cargols	
Ia/Ic	C	7	222	os	micrd															determ.	
Ia/Ic	C	7	223	os	micrd															determ.	
Ia/Ic	C	7	224	os	Macrd															frag. costella	
Ia/Ic	C	7	225	os	micrd															determ.	
Ia/Ic	C	7	226	os	micrd															epífisi	

Nivell	Q.a.	Q.n.	Nº	Matèria	Sup.	Taló	Cort.	Alt.	Conc.	Long.	Amp.	Grux	X	Y	Z	Orient.	Pend	Tipus prim.	Formes cer.	Observacions
1a/lc	C	7	227	os	micrò															diàlisi
1a/lc	C	7	228	carbó																
1a/lc	C	7	229	Malacologia	cargó															varis

Nivell	Q.a.	Q.n.	Nº	Matèria	Sup.	Taló	Cort.	Alt.	Conc.	Long.	Amp.	Gruix	X	Y	Z	Orient.	Pend	Tipus prim.	Formes cer.	Observacions	
Id?	D	6	57	os	micro								12,0	6,0	322,0					mandibula	
Id?	D	6	58	os	micro								22,0	8,0	324,0					os determinable	
la	D	6	59	ceràmica	torn					15	8	4	50,0	23,0	331,0			gris medieval	Informe		
	D	6	60	ceràmica	torn					15	12	5						gris medieval	Informe		
	D	6	61	os	Macro															fragment costella	
lc	D	6	62	malacologia	càrrega																
lc/ld	D	6	63	ceràmica	mà					85	57	12	85,0	9,0	332,0		P			base	
	D	6	64	ceràmica	mà					52	37	9	15,0	5,0	331,0		V			Informe	
	D	6	65	ceràmica	mà					55	35	7	20,0	23,0	333,0		S			Informe	
	D	6	66	os	micro								14,0	37,0	328,0			conill		fragment diàfisi (estella)	
ld	D	6	67	ceràmica	mà					28	19	5	70,0	0,0	336,0		V			Informe	
	D	6	68	os	Macro															estella	
	D	6	69	os	micro													conill		fragment diàfisi	
	D	6	70	os	micro													conill		falange	
	D	6	71	os	micro													conill		frag. determinable	
	D	6	72	ceràmica	mà					30	24	5								Informe	
	D	6	73	carbó																	
	D	6	74	malacologia	càrrega																varis
la	D	6	75	ceràmica	torn					46	20	5	100,	15,0	351,0	NW-SE	P	gris ibèrica	Informe	brunyida (talús)	
la	D	6	76	os	Macro								39,0	39,0	342,5	NW-SE	P			estella	
ld	D	6	77	os	micro															determinable	
la	D	6	78	os	micro															epífisi	
la?	D	6	79	carbó																	
la?	D	6	80	malacologia	càrrega																varis

Nivell	Q.a.	Q.n.	Nº	Matèria	Sup.	Taló	Cort.	Alt.	Conc.	Long.	Amp.	Gruix	X	Y	Z	Orient.	Pend	Tipus prim.	Formes cer.	Observacions
Ib/Ic	D	7	156	os	macr								24,0	41,0	316,0					estella diàfisi
Ib/Ic	D	7	157	os	humà								20,0	65,0	320,0					dent
Ib/Ic	D	7	158	os	humà								26,0	70,0	319,0					dent
Ib/Ic	D	7	159	os	humà								27,0	77,0	319,0					falange
Ib/Ic	D	7	160	carbó									44,0	69,0	316,0					
Ib/Ic	D	7	161	os	macr								22,0	34,0	320,0					estella
Ib/Ic	D	7	162	ceràmica	mà					56	45	10	30,0	32,0	322,0	NE-SW	NW		inf	2 fragments
Ib/Ic	D	7	163	os	macr								25,0	85,0	319,0	N-S				estella diàfisi
Ib/Ic	D	7	164	silici									23,0	81,0	318,0					mostra mineral
Ib/Ic	D	7	165	sorrenca									15,0	78,0	320,0					mostra mineral
Ic	D	7	166	os	macr								10,0	79,0	317,0					estella diàfisi
Ic/Ib	D	7	167	os	macr								7,0	83,0	317,0					dent
Ib/Ic	D	7	168	carbó									98,0	16,0	320,0					
Ib/Ic	D	7	169	ceràmica	mà					27	25	9	45,0	13,0	324,0				inf	
Ib/Ic	D	7	170	os	micr								68,0	3,0	323,0			conill		fragment diàfisi
Ib/Ic	D	7	171	carbó																
Ib/Ic	D	7	172	malacologia	carg															varis fragments
Ib/Ic	D	7	173	os	macr															6 estelles
Ib/Ic	O	7	174	os	micr													conill		1 fragment dent
Ic/Id	D	7	175	os	micr								2,0	70,0	325,0			conill		4 fragments
Ic/Id	D	7	176	ceràmica	mà					24	16	4	16,0	37,0	327,0				inf	
Ic/Id	D	7	177	sorrenca									37,0	23,0	327,0					mostra mineral
Ic/Id	D	7	178	os	macr								100,0	100,0	335,0					estella
Ic/Id	D	7	179	os	micr								13,0	95,0	321,0			conill		fragment escàpula
Ic/Id	D	7	180	os	micr								56,0	67,0	325,0					os determinable
Ic/Id	D	7	181	os	macr															estella
Ic/Id	D	7	182	os	micr													conill		fragment determinable
Ic/Id	D	7	183	ceràmica	mà					46	32	4	88,0	80,0	306,0	NE-SW	W		fragment ba	revora decorada amb petites
Ic/Id	D	7	184	ceràmica	mà					37	35	6	84,0	24,0	305,5	E-W	v		informe	
Ic	D	7	185	os	macr								78,0	80,0	306,0					
Ic/Id	D	7	186	ceràmica	mà					60	53	6	56,0	100,0	305,0	E-W	N		informe	
Ic/Id	D	7	187	os	micr								42,0	100,0	329,5			reptil		5 fragments de mandíbula
Ic/Id	D	7	188	malacologia	carg								38,0	100,0	329,5					3 fragments
Ic/Id	D	7	189	ceràmica	mà					37	26	5	18,0	92,0	320,5				informe	
Ia	D	7	190	carbó																

Nivell	Q.a.	Q.n.	Nº	Matèria	Sup.	Taló	Cort.	Alt.	Conc.	Long.	Amp.	Gruix	X	Y	Z	Orient.	Pend.	Tipus prim.	Formes cer.	Observacions
Ic	D	8	414	os	Macro								5,0	94,0	320,5					estella calcinat
Ic	D	8	415	ceràmica	mà					33	28	7	9,0	92,0	322,0				informe	
Ic	D	8	416	sílex	F					14	9	2	31,0	98,0	323,5	E-W	E			
Ic	D	8	417	ceràmica	mà										337,0					3 frags ( z aprox. )
Ic	D	8	418	ceràmica	mà					19	2	5			337,0					( z aprox. )
Ic	D	8	419	ceràmica	mà					17	15	6			337,0					( z aprox. )
Ic	D	8	420	ceràmica	mà					15	11	5			337,0					( z aprox. )
Ic	D	8	421	carbó																
Ic	D	8	422	Malacologia	càrgeg															2 frags
Ic	D	8	423	os	Macro															dent ( neteja mallada )
Ic	D	8	424	os	micro								35,0	69,0	340,0					diàfisi
Ic	D	8	425	ceràmica	mà					23	17	8	70,0	8,0	353,0				carena	( ha sortit sota un bloc )
Ic	D	8	426	ceràmica	mà					30	30	8	72,0	12,0	351,0				informe	( ha sortit sota un bloc )
Ic	D	8	427	sílex	F		CM			33	30	14	74,0	9,0	348,0					( ha sortit sota un bloc )
Ic	D	8	428	ceràmica	mà					25	19	8	29,0	26,0	341,0				vora	( ha sortit sota un bloc )
Ic	D	8	429	os	Macro								19,0	48,0	344,0					frag. diàfisi
Ic	D	8	430	os	Macro								15,0	84,0	339,0					epífisi ( cremada )
Ic	D	8	431	ceràmica	mà					36	23	15	48,0	62,0	344,0				informe	dec. de mugrons (entre blocs)
Ic	D	8	432	os	Macro															estella
Ic	D		433	os	micro													conill		
Ic	D	8	434	ceràmica	mà					14	7	5							informe	fractura recent
Ic	D	8	435	os	Macro															estella ( cremada )
Id	D	8	436	os									28,0	86,0	345,0					estella ( cremada )
Id	D	8	437	ceràmica	mà					38	24	7	43,0	74,0	347,0	NW-SE			informe	
Id	D	8	438	carbó									10,0	25,0	349,0					
Id	D	8	439	os	Macro								13,0	90,0	352,0					estella
Ic	D	8	440	ceràmica	mà					29	17	8	25,0	89,0	349,0	E-W	E		informe	
Id	D	8	441	ceràmica	mà					39	30	9							informe	
Ic	D	8	442	os	Macro															frag. ( cremat )
Ic	D	8	443	os	Macro															estella ( cremat )
Ic	D	8	444	os	micro															estella
Ic	D	8	445	ceràmica	mà					15	13	8							informe	molts frags. siglats a,b,c
Ic	D	8	446	ceràmica	mà					13	11	3							informe	
Ic	D	8	447	carbó																
Ic	D	8	448	Malacologia	càrgeg															varis
Ic	D	8	449	ceràmica	mà					29	25	8	73,0	3,0	353,0				informe	sota bloc
Id?	D	8	450	carbó									7,0	6,0	344,5					
Ic	D	8	451	os	Macro								11,0	6,0	343,0	N-S	S			frag. diàfisi ( cremat )
Ic	D	8	452	os	Macro								37,0	9,0	344,0		V			estella
Ic	D	8	453	ceràmica	mà					39	58	8	55,0	0,0	356,0				vora	4 frags enganxats(a-d). Sota b
Ic	D	8	454	os	Macro								45,0	9,0	353,0	N-S	S			estella
Ic	D	8	455	os	Macro								47,0	19,0	347,0	E-W	P	ovicapri		dent
Ic	D	8	456	os	Macro								15,0	85,0	351,0	NW-SE	P			estella. 3 frags enganxats
Ic	D	8	457	os	Macro								24,0	80,0	351,0	E-W	E			frag. diàfisi tibia
Ic	D	8	458	ceràmica	mà					50	38	12	58,0	27,0	366,0	N-S			informe	

GUINEU-D8

Nivell	Q.a.	Q.n.	Nº	Matèria	Sup.	Taló	Cort.	Alt.	Conc.	Long.	Amp.	Grux	X	Y	Z	Orient.	Pend	Tipus prim.	Formes cer.	Observacions	
D	8	8	459	ceràmica	mà					34	17	17	29,0	52,0	375,0					vora	
D	8	8	460	ceràmica	mà					30	22	9	41,0	54,0	374,0					Informe	
D	8	8	461	ceràmica	mà					37	25	9	43,0	65,0	373,0					Informe	
D	8	8	462	ceràmica	mà					30	26	6	45,0	62,0	373,0					vora	
D	8	8	463	ceràmica	mà					38	20	9	35,0	80,0	374,0					Informe	
D	8	8	464	ceràmica	mà					37	21	7	2,5	9,0	353,0	N-S	N			vora	
D	8	8	465	os	Macro								37,0	19,0	359,0	N-S	N				determ. cremat ( a,b )
D	8	8	466	ceràmica	mà					8	5	5	2,0	92,0	352,0	SW-NE	SW			Informe	varis frags
D	8	8	467	os	Macro								15,0	91,0	359,0	NW-SE	SW				estella
D	8	8	468	ceràmica	mà					33	29	8								Informe	
D	8	8	469	os	micro								9,0	92,0	359,0	NW-SE	SE				frag. diàfisi
D	8	8	470	os	Macro																estella
D	8	8	471	os	micro																frag. diàfisi
D	8	8	472	os	micro																frag. diàfisi
D	8	8	473	os	micro																frag. diàfisi
D	8	8	474	os	micro																frag. estella
D	8	8	475	Mostra mineral	Gres																
D	8	8	476	ceràmica	mà					29	20	6								Informe	
D	8	8	477	ceràmica	mà					23	14	5								Informe	
D	8	8	478	ceràmica	mà					10	4	4								Informe	
D	8	8	479	ceràmica	mà					16	14	6								Informe	
D	8	8	480	malacologia	càrgeg																2 frags
D	8	8	481	malacologia	càrgeg																varis

Nivell	Q.a.	Q.n.	Nº	Matèria	Sup.	Taló	Cort.	Alt.	Conc.	Long.	Amp.	Grutx	X	Y	Z	Orient.	Pend	Tipus prim.	Formes cer.	Observacions	
la	D	9	481	ceràmica	mà					18	15	6							Vora	Pertany a la campanya '90	
la	D	9	482	Malacologia	càrgo															Pertany a la campanya '90	
la	D	9	483	carbó																Pertany a la campanya '90	
la	D	9	484	os	Macro															estella ( Gr'90 )	
la	D	9	485	os	micro															estella ( Gr'90 )	
la	D	9	486	os	micro															frag mandíbula ( Gr'90 )	
lb	D	9	487	os	Macro								91,0	3,0	281,0					2 frags epífisi ( a,b )	
lb/lc	D	9	488	carbó									65,0	6,0	300,0						
lb	D	9	489	ceràmica	mà								54,0	5,0	297,0			Brunyida BF	informe	dec.inter.acanalats en espiga	
lb	D	9	490	ceràmica	mà					48	31	10	49,0	4,0	288,0				informe		
lb	D	9	491	os	micro													conill		frag diàfisi	
	D	9	492	os	micro															determ.	
lb	D	9	493	os	Macro																
lb	D	9	494	os	Macro																
lb	D	9	495	os	Macro																
lb/lc	D	9	496	ceràmica	mà					60	48	9	2,0	28,0	311,0	NE/SW	V	superf. rugoses	informe	2 frags enganxats	
lb	D	9	497	os	Macro															estella	
lb	D	9	498	os	micro															frag. determinable	
	D	9	499	os	micro															2 estelles	
	D	9	500	os	micro															frag. epífisi	
lb	D	9	501	carbó																	
lb	D	9	502	Malacologia	càrgo																
	D	9	503	ceràmica	mà					14	13	6						campaniforme	informe	frag	
	D	9	504	os	Macro													ovicaprí		dent	
lc	D	9	505	os	Macro								15,0	57,0	320,0					estella	
lc	D	9	506	carbó									13,0	57,0	320,0						
lc	D	9	507	carbó									25,0	40,0	321,0						
lc	D	9	508	ceràmica	mà					22	14	6	19,0	42,0	323,5	N-S	P		informe		
lc	D	9	509	ceràmica	mà					12	10	7	50,0	14,0	328,5				informe		
lc	D	9	510	os									51,0	18,0	328,5					dent incisiva	
lb/lc	D	9	511	objecte metàl.l	bronz								95,0	17,0	322,0						
lc	D	9	512	carbó																	
lc	D	9	513	Malacologia	càrgo																2 càrgols
lc	D	9	514	Malacologia	càrgo																12 càrgols
lc	D	9	515	os	Macro								98,0	2,0	328,0					dent	
lc	D	9	516	os	Humà								95,0	15,0	330,0	E-W	W			diàfisi ( a i b )	
lc	D	9	517	os	Macro								96,0	20,0	330,0	E-W	W			estella	
lc	D	9	518	os	mà					64	61	9	97,0	2,5	327,0				informe		
lc	D	9	519	carbó									98,0	2,5	327,0						
lc	D	9	520	carbó									53,0	19,0	330,0						
	D	9	521	ceràmica	mà					24	19	9	57,0	10,0	330,5				carena		
lb	D	9	522	ceràmica	mà					71	52	10	62,0	5,0	338,0	NE-SW	V		informe	decorada amb cordó digitat	
lb	D	9	523	os	micro								59,0	20,0	335,0	NE-SW	P			frag diàfisi	
lb	D	9	524	os	micro								32,0	8,0	331,5					estella	
lb	D	9	525	ceràmica	mà					29	22	7	30,0	7,0	330,0		N		informe		

Nivell	Q.a.	Q.n.	Nº	Matèria	Sup.	Taló	Cort.	Alt.	Conc.	Long.	Amp.	Gruix	X	Y	Z	Orient.	Pend.	Típus prim.	Formes cer.	Observacions
Ic	D	9	526	ceràmica	mà					43	29	10	58,0	7,0	338,0	NW-SE	V		Informe	enganxa amb el nº522'
Ic	D	9	527	ceràmica	mà					50	28	10	69,0	0,0	338,0		P		Informe	mateix vas que nos 522/526
	D	9	528	Malacologia	càrgo															
	D	9	529	Malacologia	càrgo															11 càrgols
Ib/Ic	D	9	530	carbó																
	D	9	531	ceràmica	mà					26	20	6	94,0	9,0	332,0				Informe	
	D	9	532	os	micrò								93,0	9,0	332,0					vertebra
	D	9	533	ceràmica	mà					21	20	10	16,0	79,0	345,0				Informe	5 frags(a-e). a-d siglats
	D	9	534	ceràmica	mà					16	13	8	22,0	78,0	340,0				Vora	
Ib/Ic	D	9	535	ceràmica	mà					36	46	7	39,0	17,0	338,0				Vora	Vora bisellada amb impresio
	D	9	536	carbó									30,0	25,0	338,0					
Ic	D	9	537	ceràmica	mà					9	8	5							Informe	
	D	9	538	os	Macro															estella
	D	9	539	os	Macro															dent
	D	9	540	os	Macro															costella cremada
	D	9	541	os	Macro															frag diàfisi
	D	9	542	ceràmica	mà					22	17	8	28,0	72,0	347,0				Informe	
	D	9	543	sílex	F		NC	B		15	8	4	20,0	65,0	347,5					
	D	9	544	os	Humà								32,0	55,0	344,0					frag. determinable
	D	9	545	sílex	A	L	NC	B		18	23	6	29,0	44,0	342,5					
	D	9	546	carbó																
	D	9	547	Malacologia	càrgo															varis
	D	9	548	os	Macro								82,0	54,0	357,0					frag costella
	D	9	549	sílex	A	Ind	NC	B		16	15	4	0,0	95,0	348,5					
	D	9	550	os	Macro								17,0	85,0	350,0					frag cremat estella
	D	9	551	mostra mineral	calci								22,0	78,0	346,0					
	D	9	552	os	Macro								37,0	58,0	345,0					estella diàfisi
Ic	D	9	553	os	Macro															estella cremat
Ic	D	9	554	os	Macro															estella
Ic/Id	D	9	555	ceràmica	mà					17	15	8	37,0	60,0	341,0				Informe	
Ic/Id	D	9	556	os	Macro								40,0	64,0	339,0	E-W	V			frag. costella
Ic/Id	D	9	557	os	Humà								41,0	69,0	339,0					epifisi
Id	D	9	558	os	Humà								39,0	60,0	344,0					determinable
Ic/Id	D	9	559	os	Humà								39,0	63,0	343,0					frag. diàfisi
Ic/Id	D	9	560	os	Mà					34	23	7	45,0	65,0	344,0				Informe	
Ic/Id	D	9	561	os	Mà					21	18	7	45,0	66,0	344,0				Informe	
Ic/Id	D	9	562	os	Humà								57,0	87,0	353,0					dent ( molar )
Ic/Id	D	9	563	os	Macro								32,0	85,0	353,0				P	estella diàfisi
Ic/Id	D	9	564	Mostra mineral	Quars								59,0	90,0	352,5					crystal de quars
Ic/Id	D	9	565	ceràmica	mà					14	13	6	39,0	100,	357,5				Informe	
Ic/Id	D	9	566	ceràmica	mà					21	17	8	33,0	83,0	354,0					carena
Ic/Id	D	9	567	os	Macro								37,0	64,0	347,0					frag., cremat
Ic/Id	D	9	568	ceràmica	mà					37	25	5	37,0	90,0	356,5				Vora	2 frags ( a,b )
Ic/Id	D	9	569	ceràmica	mà					15	11	5	63,0	85,0	360,0				P	Informe
Ic/Id	D	9	570	ceràmica	mà					20	17	4	57,0	82,0	360,0				Informe	



Nivell	Q.a.	Q.n.	Nº	Matèria	Sup.	Taló	Cort.	Alt.	Conc.	Long.	Amp.	Gruix	X	Y	Z	Orient.	Pend	Tipus prim.	Formes cer.	Observacions
Ic/Id	D	9	571	ceràmica	mà					31	20	6	55,0	74,0	358,0				Informe	
Ic/Id	D	9	572	os	micro								49,0	78,0	358,5	N-S	P	conill		Pelvis
Ic/Id	D	9	573	Malacofauna	càrrega								40,0	86,0	358,5					fragment
Ic/Id	D	9	574	os	micro								37,0	94,0	357,0					mandíbula
Ic/Id	D	9	575	os	Macro								6,0	70,0	354,5					3 frags
Ic/Id	D	9	576	os	Macro								8,0	51,0	352,0					estella
Ic/Id	D	9	577	os	Macro								8,0	8,0	332,0		P			2 frags
Ic/Id	D	9	578	ceràmica	mà					72	63	9	44,0	20,0	348,0		P		Informe	
Ic/Id	D	9	579	ceràmica	mà					13	12	5							Informe	
Ic/Id	D	9	580	os	micro															2 frags cremats i 1 estella

Nivell	Q.a.	Q.n.	Nº	Matèria	Sup.	Taló	Cort.	Alt.	Conc.	Long.	Amp.	Grux	X	Y	Z	Orient.	Pend	Tipus prim.	Formes cer.	Observacions
E		51.524		material silici	F															rectificació tall
E		51.525		material silici	F															rectificació tall
E		51.526		os	micro													conill		frag. costella; rectificació ta
E		51.527		mostra mineral																cristall quars
E		51.528		cargol	malac								70,0	80,0	781,0					2 microcargols
E		51.529		material silici									65,0	40,0	806,0					
E		51.530		cargol	malac										827,0					
IX	E	51.531		cargol	malac										862,0					
IX	E	51.532		os	micro								40,0	50,0	861,0			conill		crema; coordenades aprox.
IX	E	51.533		carbó											873,0					
IX	E	51.534		mostra mineral																
	E	51.535		mostra mineral																

GUINEU-E6

	Nivell	Q.a.	Q.n.	Nº	Matèria	Sup.	Taló	Cort.	Alt.	Conc.	Long.	Amp.	Gruix	X	Y	Z	Orient.	Pend.	Tipus prim.	Formes cer.	Observacions	
1	la	E	6	6	ceràmica	torn					20	13	5							sigil.lata ?	I	
2	la	E	6	7	os	macr																estella
3	la	E	6	8	os	humà																frag. det.
4	la	E	6	9	cargol	malac																
5	lc	E	6	10	cargol	malac								60,0	10,0	288,0						
6	lc	E	6	11	cargol	malac								65,0	20,0	283,0						
7	lc	E	6	12	os	macr																2 estelles (a-b) enganxades
8	lc	E	6	13	os	macr								74,0	37,5	327,0						ulna
9	lc	E	6	14	os	micro								56,0	41,0	320,0						frag.
10	lc	E	6	15	carbó									48,0	36,0	328,0						
11	lc	E	6	16	cargol	malac																
12	lc	E	6	17	os	micro										325,0						os det.; z aprox.
13	lc	E	6	18	cargol	malac																
14	ld	E	6	19	carbó									27,0	4,0	322,0						
15	ld	E	6	20	carbó									39,0	5,0	317,5						
16	ld	E	6	21	cargol	malac								44,0	31,0	304,0						
17	ld	E	6	22	carbó									13,0	12,0	327,0						
18	ld	E	6	23	carbó									37,0	24,0	327,0						
19	ld	E	6	24	os	micro								67,0	3,0	329,0						dent
20	ld	E	6	25	cargol	malac								80,0	1,0	330,0						
21	ld	E	6	26	os	macr								20,0	45,0	327,0						costella
22	ld	E	6	27	os	macr								34,0	46,0	329,0						indet.
23	ld	E	6	28	carbó									54,0	46,0	337,0						
24	ld	E	6	29	os	micro								63,0	55,0	338,0						dent
25	ld	E	6	30	cargol	malac								69,0	98,0	333,0						
26	ld	E	6	31	os	macr								64,0	39,0	333,0						diàfisi
27	ld	E	6	32	cargol	malac								69,0	14,0	328,0						
28	ld	E	6	33	os	macr								47,0	49,0	335,0						det
29	ld	E	6	34	os	macr								65,0	44,0	336,0						frag. costella
30	ld	E	6	35	os	macr								72,0	31,0	334,0						estella
31	ld	E	6	36	os	micro								83,0	33,0	333,0						det.
32	ld	E	6	37	cargol	malac								85,0	43,0	335,0						
33	ld	E	6	38	os	macr								88,0	15,0	327,0						2 frags. (a-b); a, desaparegut
34	ld	E	6	39	cargol	malac																1 sencer i 4 frags.
35	ld	E	6	40	os	macr																estella banya ?
36	ld	E	6	41	os	macr																estella banya ?
37	ld	E	6	42	os	macr																estella banya ?
38	ld	E	6	43	os	macr																estella banya ?
39	ld	E	6	44	ceràmica	mà					20	15	10								I	
40	ld	E	6	45	sílex	F			B		12	10	6									
41	ld	E	6	46	material sílici																	
42	ld	E	6	47	os	macr																det. banya ?
43	ld	E	6	48	os	macr																2 frags.
44	ld	E	6	49	os	macr																estella banya ?
45	la	E	6	50	vidre						9	9	1									sup. talú.

	Nivell	Q.a.	Q.n.	Nº	Matèria	Sup.	Taló	Cort.	Alt.	Conc.	Long.	Amp.	Grux	X	Y	Z	Orient.	Pend	Típus prim.	Formes cer.	Observacions	
46	ld	E	6	51	ceràmica	mà					45	30	10	70,0	3,0	326,0		P		I		
47	ld	E	6	52	carbó																	
48	ld	E	6	53	carbó																	
49	ld	E	6	54	cargol	malat															varis	
50	ld	E	6	55	carbó									95,0	25,0	336,0						
51	ld	E	6	56	os	macr								90,0	40,0	339,0					estella	
52	ld	E	6	57	os	macr								82,0	15,0	343,0					estella	
53	ld	E	6	58	carbó																	
54		E	6	59	os	humà								22,0	32,0	339,0					dent; talús ?	
55	ld	E	6	60	os	micro								50,0	23,0	338,0					2 frags.	
56	ld	E	6	61	os	macr								12,0	12,0	336,0					dent	
57	ld	E	6	62	os	macr								77,0	35,0	336,0					estella	
58	ld	E	6	63	os	macr								55,0	37,0	332,0	NW-SE	SE			det.	
59		E	6	64	vidre									92,0	39,0	339,0					talús ?	
60	ld	E	6	65	os	micro								75,0	58,0	334,0					estella	
61	ld	E	6	66	carbó									100,	24,0	344,0						
62	ld	E	6	67	os	micro																
63	ld	E	6	68	síllex	FA		NC	B		13	5	1									
64	ld	E	6	69	os	macr														cèrvol		frag. banya
65	ld	E	6	70	os	micro																falange
66	ld	E	6	71	os	micro																estella
67	ld	E	6	72	os	micro																det.
68	ld	E	6	73	os	micro																det.
69	ld	E	6	74	os	micro																det.
70	ld	E	6	75	ceràmica	mà					16	12	5									I
71	ld	E	6	76	ceràmica	mà					22	17	7									I
72	ld	E	6	77	ceràmica	mà					7	6	4									I
73	ld	E	6	78	cargol	malat																varis
74	ld	E	6	79	carbó																	

Nivell	Q.a.	Q.n.	Nº	Matèria	Sup.	Taló	Cort.	Alt.	Conc.	Long.	Amp.	Gruiu	X	Y	Z	Orient.	Pend	Tipus prim.	Formes cer.	Observacions
Id	E	7	268	cargol	malac								80,0	65,0	319,0	E-W	P			varis
Id	E	7	269	os	macr								8,0	27,0	315,0					frag. epifisi metàpode
Id	E	7	270	carbó									30,0	61,0	32,0					
Id	E	7	272	carbó									20,0	71,0	318,0					
Id	E	7	273	carbó									41,0	66,0	319,0					
Id	E	7	274	carbó									54,0	69,0	321,0					
Id	E	7	275	carbó									63,0	66,0	319,0					
Id	E	7	276	carbó									67,0	69,0	319,0					
Id	E	7	277	carbó									68,0	64,0	319,0					
Id	E	7	278	carbó									30,0	84,0	320,0					
Id	E	7	279	ceràmica	mà					18	11	5	35,0	80,0	322,0				I	
Id	E	7	280	carbó									65,0	65,0	322,0					
Id	E	7	281	carbó									66,0	69,0	321,0					
Id	E	7	282	carbó									78,0	65,0	321,0					
Id	E	7	283	carbó									99,0	89,0	324,0					
Id	E	7	284	cargol	malac								18,5	10,0	318,0					
Id	E	7	285	cargol	malac								7,0	24,0	317,0					
Id	E	7	286	cargol	malac								9,0	71,0	316,0					
Id	E	7	287	carbó									2,0	82,0	312,0					
Id	E	7	288	carbó									35,5	96,0	321,5					
Id	E	7	289	carbó									39,0	98,0	321,0					
lc/ld	E	7	290	carbó									58,5	97,0	325,0					
lc/ld	E	7	291	carbó									45,0	63,0	322,0					
lc/ld	E	7	292	carbó									51,0	63,0	322,5					
lc/ld	E	7	293	carbó									59,0	65,5	322,0			conill		frag. diàfisi
lc/ld	E	7	295	cargol	malac								65,5	66,5	322,5					
Id	E	7	296	ceràmica	mà					71	36	8	63,0	73,5	325,0			V		2 frags. enganxats
la	E	7	297	cargol	malac															varis frags.
la	E	7	298	carbó									45,5	57,0	324,0					
Id	E	7	299	carbó									61,5	68,0	322,5					
Id	E	7	300	carbó									68,5	21,5	328,0					2 estelles enganxades diàfisi
Id	E	7	301	os	macr															
Id	E	7	302	ceràmica	mà					38	24	9						I		
Id	E	7	303	cargol	malac								0,0	21,0	316,0					
Id	E	7	304	carbó									14,0	5,0	317,0					
Id	E	7	305	cargol	malac								16,0	7,5	320,0					
Id	E	7	306	cargol	malac								36,0	85,5	321,0					
Id	E	7	307	carbó									48,5	65,0	323,0					
Id	E	7	308	ceràmica	mà					31	20	5	74,0	40,0	326,0			V		superfícies brunyides
Id	E	7	309	carbó									76,0	30,0	324,0					
Id	E	7	310	carbó									9,5	23,0	324,0					
Id	E	7	311	carbó									97,0	34,0	326,0					
Id	E	7	312	carbó									15,0	15,0	320,0					

## GUINEU-E7

Nivell	Q.a.	Q.n.	Nº	Matèria	Sup.	Taló	Cort.	Alt.	Conc.	Long.	Amp.	Gruix	X	Y	Z	Orient.	Pend	Tipus prim.	Formes cer.	Observacions
Id	E	7	313	carbó									94,0	19,0	326,0					
Id	E	7	314	carbó									11,0	7,5	320,0					
Id	E	7	315	os	macr								9,5	14,0	320,0					2 frags. (1 frag. diàfisi crem)
Id	E	7	316	carbó									13,5	13,0	321,0					
Id	E	7	317	carbó									25,0	19,0	322,0					
Id	E	7	318	carbó									35,0	69,5	323,0					
Id	E	7	319	cargol	malac								43,5	70,0	324,0					
Id	E	7	320	ceràmica	mà								53,5	60,0	324,0				I	
Id	E	7	321	os	macr								60,5	56,0	324,0			ovicapri		2 dents (a-b)
Id	E	7	322	carbó									80,5	62,0	328,0					
Id	E	7	323	os	macr								83,5	74,5	326,0					estella
Id	E	7	324	os	macr										324,0					estella
Id	E	7	325	os	macr										324,0					estella
Id	E	7	326	carbó									39,0	65,0	323,0					
Id	E	7	327	cargol	malac								38,0	66,5	323,5					
Id	E	7	328	carbó									36,0	69,0	322,0					
Id	E	7	329	ceràmica	mà					37	32	6	65,0	61,0	325,0				I	
Id	E	7	330	cargol	malac								64,0	97,0	323,0					
Id	E	7	331	carbó									99,0	76,0	327,0					
Id	E	7	332	carbó									17,0	0,0	322,0					
Id	E	7	333	os	micro								19,0	25,0	323,0					dent
Id	E	7	334	os	micro								20,0	63,0	323,5					dent incisiva
Id	E	7	335	os	micro								77,0	63,0	325,5					det.
Id	E	7	336	carbó									82,0	95,0	321,0					
Id	E	7	337	os	macr															vèrtebra
Id	E	7	338	cargol	malac															
Id	E	7	339	cargol	malac															
Id	E	7	340	carbó																
Id	E	7	341	carbó									35,0	100,	319,0					
Id	E	7	342	os	macr								32,0	56,0	329,0					5 frags. (2 enganxats)
Id	E	7	343	carbó									44,0	59,0	328,0					
Id	E	7	344	os	macr								65,0	59,0	328,0					10 frags. dent (a-j; a-e sigla)
Id	E	7	345	os	micro								42,0	62,0	329,0					estella
Id	E	7	346	os	macr								77,0	97,0	329,0					3 frags. estella
Id	E	7	347	cargol	malac															8 frags.
Id	E	7	348	carbó																
Id	E	7	349	os	macr								6,0	5,0	330,0					dent
Id	E	7	350	mostra mineral									26,0	20,0	332,0	E-W	P			"sorrenca" (gres)
Id	E	7	351	os	macr								49,0	47,0	339,0	NW-SE	SE			8 frags. diàfisi
Id	E	7	352	carbó									44,0	89,0	327,0					
Id	E	7	353	mostra mineral									38,0	25,0	340,0					"sorrenca" (gres)
Id	E	7	354	ceràmica	mà					30	15	7	23,0	54,0	332,0				I	
Id	E	7	355	ceràmica	mà					22	20	10	60,0	55,0	338,0				I	3 frags. a (- b-c), 2 enganxat
Id	E	7	356	os	macr								69,0	59,0	330,0					estella
Id	E	7	357	cargol	malac															

GUINEU-E7

Nivell	Q.a.	Q.n.	Nº	Matèria	Sup.	Taló	Cort.	Alt.	Conc.	Long.	Amp.	Gruix	X	Y	Z	Orient.	Pend.	Tipus prim.	Formes cer.	Observacions	
Id	E	7	358	os	macr															frag.	
Id	E	7	359	ceràmica	mà					11	10	7							I		
Id	E	7	360	os	macr															frag.	
Id	E	7	361	ceràmica	mà					20	15	6									
Id	E	7	362	os	micro															4 estelles	
Id	E	7	363	mostra mineral									79,0	3,0	337,0					2 frags.	
Id	E	7	364	os	macr								83,0	10,0	336,0					2 frags. estella	
Id	E	7	365	os	macr								78,0	7,0	337,0					2 frags. estella	
Id	E	7	366	ceràmica	mà					31	23	8	65,0	11,0	334,5		P		I		
Id	E	7	367	ceràmica	mà					23	19	7	72,0	18,0	336,0		P		I		
Id	E	7	368	ceràmica	mà					23	20	6	75,0	25,0	332,0		P		V		
Id	E	7	369	os	macr								89,0	29,0	33,0					frag. cremat	
Id	E	7	370	ceràmica	mà					36	31	8	98,0	29,0	330,0		P		I		
Id	E	7	371	os	macr								75,0	45,0	340,0					4 frags. enganxats 2 frags.	
Id	E	7	372	cargol	malac																
Id	E	7	373	ceràmica	mà					14	11	4								I	
Id	E	7	374	os	macr																dent
Id	E	7	375	sílex	F		NC	B		12	8	2									
Id	E	7	376	ceràmica	mà					14	10	4									I
Id	E	7	377	ceràmica	mà					13	11	5									I
Id	E	7	378	os	macr																estella cremada epifisi
Id	E	7	379	os	micro																
Id	E	7	380	ceràmica	mà					43	28	7	77,0	98,0	329,0	E-W	P		I		
Id	E	7	381	ceràmica	mà					34	23	9	81,0	23,0	330,0	E-W	P		I		
Id	E	7	382	ceràmica	mà					54	35	7	63,0	57,0	334,0					I	
Id	E	7	383	os	macr								67,0	53,0	341,0						frag. costella (enganxa amb 3
Id	E	7	384	ceràmica	mà					39	19	8	55,0	75,0	338,0						3 frags. enganxats
Id	E	7	385	os	macr								51,0	77,0	340,0						estella
Id	E	7	386	os	macr								91,0	63,0	339,0						fragment banya
Id	E	7	387	carbó									84,0	36,0	336,0						
Id	E	7	388	os	micro								92,0	35,0	334,0			conill			estella
Id	E	7	389	os	micro								29,0	62,0	337,0						estella
Id	E	7	390	carbó									76,0	76,0	335,0						
Id	E	7	391	os	micro								81,0	79,0	336,0			conill			estella
Id	E	7	392	carbó									91,0	61,0	338,0						
Id	E	7	393	carbó									93,0	54,0	337,0						
Id	E	7	394	os	macr								84,0	41,0	337,0			ovicapri			dent
Id	E	7	395	os	macr								71,0	44,0	339,0						frag. costella (enganxa amb 3
Id	E	7	396	carbó									65,0	46,0	341,0						
Id	E	7	397	carbó									66,0	38,0	340,0						
Id	E	7	398	os	macr								69,0	43,0	340,0						estella
Id	E	7	399	carbó									77,0	40,0	340,0						
Id	E	7	400	carbó									67,0	35,0	338,0						
Id	E	7	401	ceràmica	mà					41	24	10	56,0	37,0	342,0					I	
Id	E	7	402	ceràmica	mà					25	18	8	54,0	25,0	340,0					I	

GUINEU-E7

Nivell	Q.a.	Q.n.	Nº	Matèria	Sup.	Taló	Cort.	Alt.	Conc.	Long.	Amp.	Gruix	X	Y	Z	Orient.	Pend	Tipus prim.	Formes cer.	Observacions	
Id	E	7	403	cargol	malac								65,0	21,0	344,0						
Id	E	7	404	carbó									74,0	77,0	336,0						
Id	E	7	405	carbó									75,0	67,0	336,0						
Id	E	7	406	carbó									58,0	60,0	336,0						
Id	E	7	407	carbó									32,0	31,0	334,0						
Id	E	7	408	carbó									31,0	25,0	336,0						
Id	E	7	409	carbó									30,0	22,0	335,0						
Id	E	7	410	carbó									38,0	23,0	337,0						
Id	E	7	411	carbó									35,0	20,0	338,0						
Id	E	7	412	ceràmica	mà					20	18	6	77,0	24,0	342,0						
Id	E	7	413	ceràmica	mà					29	14	8	63,0	21,0	341,0						
Id	E	7	414	ceràmica	mà					20	18	6	65,0	12,0	339,0						
Id	E	7	415	carbó									74,0	9,0	341,0						
Id	E	7	416	ceràmica	mà					36	28	9	54,0	3,0	351,0					3 frags. enganxats	
Id	E	7	417	ceràmica	mà					28	23	7	54,0	3,0	351,0						
Id	E	7	418	ceràmica	mà					41	28	10									
Id	E	7	419	ceràmica	mà					17	16	7									
Id	E	7	420	ceràmica	mà					20	18	8									
Id	E	7	421	ceràmica	mà					13	11	3								4 frags. a (només siglat a)	
Id	E	7	422	os	macr															vàries estelles	
Id	E	7	423	os	macr																estella
Id	E	7	424	sillex	FA		NC	B/M		10	10	5									
Id	E	7	425	os	micro																estella
Id	E	7	426	carbó									16,0	70,0	333,0						
Id	E	7	427	carbó									22,0	66,0	332,0						
Id	E	7	428	carbó									30,0	68,0	333,0						
Id	E	7	429	ceràmica	mà					15	8	10	12,0	53,0	330,0					3 frags. a (- b-c)	
Id	E	7	430	ceràmica	mà					49	37	10	69,0	46,0	342,0						
Id	E	7	431	os	macr								82,0	35,0	330,0						estella cremada
Id	E	7	432	os	macr								66,0	91,0	339,0						estella
Id	E	7	433	ceràmica	mà					32	21	10	93,0	68,0	337,0						
Id	E	7	434	os	macr																frag. banya
Id	E	7	435	carbó																	
Id	E	7	436	cargol	malac																varis
Id	E	7	437	carbó									28,0	86,0	335,0						
Id	E	7	438	carbó																	
le	E	7	439	os	macr								55,0	47,0	343,0						frag. escapula ?
le	E	7	440	carbó									20,0	21,0	334,0						
le	E	7	441	carbó									13,0	19,0	336,0						
le	E	7	442	carbó									12,0	11,0	344,0						
le	E	7	443	ceràmica	mà					34	22	8									2 frags. enganxats
le	E	7	444	ceràmica	mà					12	8	5									
le	E	7	445	sillex	A	L		B		41	33	10	18,0	76,0	340,0						
Id/le	E	7	446	os	macr								43,0	74,0	336,0						banya cremada
le	E	7	447	os	micro																frag. diáfisi



## GUINEU-E7

Nivell	Q.a.	Q.n.	Nº	Matèria	Sup.	Taló	Cort.	Alt.	Conc.	Long.	Amp.	Gruix	X	Y	Z	Orient.	Pend	Tipus prim.	Formes cer.	Observacions		
1e	E	7	448	mostra mineral																	dolomies rodades	
1e	E	7	449	mostra mineral																		dolomies rodades
1e	E	7	450	carbó																		
1e	E	7	451	cargol	malas																	varis frags.

Nivell	Q.a.	Q.n.	Nº	Matèria	Sup.	Taló	Cort.	Alt.	Conc.	Long.	Amp.	Gruix	X	Y	Z	Orient.	Pend	Tipus prim.	Formes cer.	Observacions
Ic	E	81.047	carbó										12,0	79,0	322,0					
Ic	E	81.048	carbó										14,0	66,0	324,0					
Ic	E	81.049	carbó										50,0	89,0	323,0					
Ic	E	81.050	os	macr									62,0	81,0	333,0					2 frags.
Ic	E	81.051	carbó										71,0	91,0	338,0					
Ic	E	81.052	ceràmica	mà						25	18	7	91,0	53,0	337,0				Informe	
Ic	E	81.053	os	macr									99,0	44,0	326,0					2 frags.
Ic	E	81.054	ceràmica	mà						32	31	7	77,0	2,0	326,0				Informe	
Ic	E	81.055	ceràmica	mà						16	12	18							Informe	
Ic	E	81.056	os	micro																mandíbula
Ic	E	81.057	carbó																	
Ic	E	81.058	carbó										63,0	95,0	331,5					
Ic	E	81.059	carbó										97,0	91,0	328,5					
Ic	E	81.060	carbó										30,0	0,0	333,0					
Ic	E	81.061	carbó										27,0	12,0	330,0					
Ic	E	81.062	ceràmica	mà						27	26	7	11,0	90,0	330,0	N-S	N		Informe	
Ic	E	81.063	os	macr																2 estelles cremades
Ic	E	81.064	os	macr																frag. dent
Ic	E	81.065	os	macr									87,0	8,0	333,0					frag. craní?
Ic	E	81.066	ceràmica	mà						12	7	5								sup. brunyides/Z±333
Ic	E	81.067	os	macr																a i b estelles calcinades
Ic	E	81.068	os	macr																2 estelles
Ic	E	81.069	os	macr																frag. diàfisi
Ic	E	81.070	os	macr																frag. det. (?)
Ic	E	81.071	os	macr																frag. indet.
Ic	E	81.072	malacologia	cargó																
Ic	E	81.073	carbó																	
Ic	E	81.074	carbó										27,0	29,0	333,0					
Ic	E	81.075	carbó																	
Ic	E	81.076	carbó										37,0	98,0	332,0					
Ic	E	81.077	carbó										52,0	87,0	334,0					
Ic	E	81.078	os	humà									54,0	97,0	332,0					1 dent
Ic	E	81.079	carbó										85,0	94,0	334,0					
Ic	E	81.080	carbó										93,0	91,0	333,0					
Ic	E	81.081	carbó										96,0	99,0	331,0					
Ic	E	81.082	ceràmica	mà						32	22	10	99,0	82,0	335,0	N-S	E		Informe	
Ic	E	81.083	carbó										88,0	58,0	338,0					
Ic	E	81.084	carbó										74,0	68,0	339,0					
Ic	E	81.085	os	macr									80,0	45,0	338,0					cremat (a,b,c siglats)
Ic	E	81.086	ceràmica	mà						29	21	6	100,0	42,0	339,0				Informe	
Ic	E	81.087	ceràmica	mà						27	24	4	98,0	16,0	339,0			P	C	
Id?	E	81.088	os	macr									11,0	75,0	333,0	N-S	V	ovicapri		dent (2 frags. enganxats a,b)
Id?	E	81.089	ceràmica	mà						23	15	9	48,0	3,0	336,0					
Id?	E	81.090	ceràmica	mà						29	22	6	1,0	39,0	333,0			P	Informe	a,b,c. (a,b siglats)
Id?	E	81.091	carbó										32,0	23,0	334,0					

Nivell	Q.a.	Q.n.	Nº	Matèria	Sup.	Taló	Cort.	Alt.	Conc.	Long.	Amp.	Gruiu	X	Y	Z	Orient.	Pend.	Tipus prim.	Formes cer.	Observacions
Id	E	81.092	os	macr									65,0	10,0	339,0					
Id	E	81.093	os										71,0	17,0	338,0					
Ic	E	81.094	ceràmica	mà						23	22	8								Informe
Ic	E	81.095	ceràmica	mà						20	16	8								Informe
Ic	E	81.096	ceràmica	mà						24	21	8								Informe
Ic	E	81.097	ceràmica	mà						15	15	8								Informe
Ic	E	81.098	gres																	2 frags. a,b,c siglats
Ic	E	81.099	ceràmica	mà						24	20	7								Informe
Ic	E	81.100	gres																	mostra mineral
Ic	E	81.101	ceràmica	mà						14	12	5								vora
Ic	E	81.102	ceràmica	mà						25	21	9								Informe
Ic	E	81.103	gres																	mostra mineral
Ic	E	81.104	gres																	mostra mineral
Ic	E	81.105	gres																	mostra mineral
Ic	E	81.106	gres																	mostra mineral
Ic	E	81.107	gres																	mostra mineral
Ic	E	81.108	gres																	4 mostres minerals
Ic	E	81.109	sílex	F		NC	B			20	15	7								
Ic	E	81.110	sílex	AF	L	NC	B			19	17	5								
Ic	E	81.111	sílex	AF	L	NC	B			11	18	2								
Ic	E	81.112	os	macr																cremat
Ic	E	81.113	carbó																	
Ic	E	81.114	malacologia	cargó																
Ic	E	81.115	ceràmica	mà						27	17	6								Informe
Ic	E	81.116	os																	2 frags. enganxats frag. indet.
Id	E	81.117	ceràmica	mà						25	23	7	7,0	71,0	339,0	N-S	V			Informe
Id	E	81.118	os	macr									12,0	98,0	335,0					a,b,c,d. Siglats a,b
Id	E	81.119	mostra mineras																	
Id	E	81.120	sílex	A	L	NC	B			18	10	4								
Id	E	81.121	ceràmica	mà						14	11	8								Informe
Id	E	81.122	os	macr									48,0	82,0	348,0					4 frags. (a,b,c,d)
Ic/Id	E	81.123	ceràmica							55	52	7	57,0	77,0	350,0	NE-SW	SW			vora
Ic/Id	E	81.124	os	humà									68,0	77,0	349,0					estella diáf.
Ic	E	81.125	ceràmica																	Informe
Ic/Id	E	81.126	ceràmica	mà						8	7	5								Informe
Id	E	81.127	gres																	
Id	E	81.128	ceràmica	mà						26	24	8	74,0	34,0	344,5					Informe
p	E	81.129	os	macr									89,0	35,0	344,5					epifisi cremada
Id	E	81.130	malacologia	cargó									83,0	92,0	347,0					
Id	E	81.131	ceràmica	mà						22	15	7	92,0	92,0	344,0					Informe
Id	E	81.132	ceràmica	mà						20	18	7	92,0	89,0	346,0					Informe
Id	E	81.133	sílex	A	C	CD				12	33	16	90,0	90,0	346,0	E-W				
Id	E	81.134	ceràmica	mà						35	31	7	99,0	90,0	346,0	N-S	W			Informe
Id	E	81.135	os	macr									78,0	37,0	338,0	N-S				estella diáf.
Id	E	81.136	os	humà									84,0	45,0	338,0	NE-SW	SW			frag. diáf / ENGANXA 1146

Nivell	Q.a	Q.n	Nº	Matèria	Sup.	Taló	Cort.	Ait.	Conc.	Long.	Amp.	Gruix	X	Y	Z	Orient.	Pend	Tipus prim.	Formes cer.	Observacions
Id	E	81.137	os	macr						22	18	7	83,0	47,0	350,0					cremat
Id	E	81.138	ceràmica	mà						23	19	6	82,0	87,0	348,0				Informe	
Id	E	81.139	ceràmica	mà						21	19	7	82,0	94,0	348,0				Informe	
Id	E	81.140	carbó										80,0	92,0	348,0					
Id	E	81.141	carbó										81,0	86,0	348,0					
Id	E	81.142	carbó										89,0	89,0	348,0					
Id	E	81.143	os	macr									67,0	29,0	347,0	NW-SE				estella, varis frags.
Id	E	81.144	carbó										81,0	27,0	351,0					
Id	E	81.145	carbó										75,0	29,0	351,0					
Id	E	81.146	os	humà									82,0	45,0	350,0					frag. diáf. / ENGANXA 1136
Id	E	81.147	os	macr									79,0	53,0	351,0	E-W				diáf.
Id	E	81.148	os	humà									90,0	81,0	350,0					2 dents (a,b)
Id	E	81.149	ceràmica	mà						17	14	7	97,0	91,0	351,0	S-W	V		Informe	5 frags. siglats a,b
Id	E	81.150	os	macr									62,0	2,0	350,0					estella
Id	E	81.151	mostra mineral	sorre																
Id	E	81.152	sílex	FA		NC	B			15	9	2								
Id	E	81.153	os	micro																estella
Id	E	81.154	os	micro																estella
Id	E	81.155	ceràmica	mà						24	19	6							Informe	
Id	E	81.156	os	macr																estella cremada
Id	E	81.157	os	macr																
Id	E	81.158	carbó																	
Id	E	81.159	malacologia	cargó																varis
Id	E	81.160	ceràmica	mà						15	14	8							Informe	
le	E	81.161	carbó										12,0	25,0	345,0					
le	E	81.162	carbó										27,0	43,0	342,0					
le	E	81.163	os	macr									44,0	22,0	350,0					molts frags.
le	E	81.164	carbó										32,0	85,0	350,0					
le	E	81.165	ceràmica	ma						22	22	5	18,0	18,0	346,0				Informe	
le	E	81.166	carbó										11,0	58,0	351,0					
le	E	81.167	ceràmica	mà						15	13	5	35,0	65,0	349,0				Informe	2 frags. enganxats
le	E	81.168	carbó										42,0	44,0	340,0					
le	E	81.169	ceràmica	mà						21	19	5	0,0	26,0	344,0				Informe	
le	E	81.170	os	macr									10,0	40,0	341,0					estella cremada
le	E	81.171	carbó										8,0	46,0	341,0					
le	E	81.172	os	micro																frag. diáf.
Id/le	E	81.173	os	micro									93,0	32,0	352,0					2 frags. estella. Guardat a Id
Id/le	E	81.174	ceràmica	mà						12	11	7	90,0	30,0	354,0				Informe	Guardat a Id
Id/le	E	81.175	ceràmica	mà						28	8	7							Informe	Guardat a Id
Id	E	81.176	malacologia																	
Id	E	81.177	carbó																	
Id	E	81.178	carbó																	

Nivell	Q.a.	Q.n.	Nº	Matèria	Sup.	Taló	Cort.	Alt.	Conc.	Long.	Amp.	Grux	X	Y	Z	Orient.	Pend	Tipus prim.	Formes cer.	Observacions
Ic	E	10	32	ceràmica									64,0	93,0	312,0					
Ic	E	10	33	ceràmica									64,0	96,0	314,0				vora	
Ic	E	10	34	ceràmica									71,0	93,0	315,0					
Ic	E	10	35	ceràmica									64,0	95,0	315,0					
Ic	E	10	36	ceràmica	ma					23	18	6	97,0	97,0	322,0				informe	
Ic	E	10	37	os	micro								60,0	97,0	322,0					estella cremada

Nivell	Q.a.	Q.n.	Nº	Matèria	Sup.	Taló	Cort.	Alt.	Conc.	Long.	Amp.	Gruix	X	Y	Z	Orient.	Pend	Típus prim.	Formes cer.	Observacions
lb	F	6	147	os	micro															frag. det.; raconada
lb	F	6	148	cargol	malac															varis; raconada
ld	F	6	149	carbó									62,0	7,0	308,5					
ld	F	6	150	os	micro								82,0	16,0	307,5					epífisi
ld	F	6	151	ceràmica	mà					13	11	5	61,0	8,0	308,0		V		I	
ld	F	6	152	ceràmica	mà					19	15	7	62,5	8,0	310,0		V		I	2 cordons
ld	F	6	153	carbó									76,0	14,0	312,0					
ld	F	6	154	carbó																
ld	F	6	155	sílex	FA			B		16	14	4								
ld	F	6	156	ceràmica	mà					10	10	4								
ld	F	6	157	os	macr															estella
ld	F	6	158	os	macr															frag. diàfisi
ld	F	6	159	cargol	malac															1 sencer i 4 frags.
ld	F	6	160	carbó																
ld	F	6	161	os	macr															frag. indet.
ld	F	6	162	ceràmica	mà					9	9	5								I
ld	F	6	163	sílex	AF	L	NC	R		12	5	3								
ld	F	6	164	os	macr															estella
ld	F	6	165	cargol	malac															
ld	F	6	166	mostra mineral									44,0	33,0	309,0					"sorrenca" (gres)
ld	F	6	167	carbó									87,0	7,0	326,0					
ld	F	6	168	carbó									80,0	12,0	326,0					
ld	F	6	169	os	macr															frag. diàfisi
ld	F	6	170	ceràmica	mà					31	15	8	98,0	32,0	340,0				I	
ld	F	6	171	os	macr								95,0	20,0	335,0			cèrvol		banya cremada
ld	F	6	172	os	macr															estella
ld	F	6	173	os	macr															3 estelles
ld	F	6	174	ceràmica	mà					15	14	5							I	
ld	F	6	175	mostra mineral																"sorrenca" (gres)
ld	F	6	176	os	macr													cèrvol		banya cremada
ld	F	6	177	os	macr															det.
ld	F	6	178	os	macr															frag.
le	F	6	179	os	macr															
le	F	6	180	os	macr															
le	F	6	181	os	macr															
ld	F	6	182	os	macr															
ld	F	6	183	os	macr															
ld	F	6	184	os	macr															
ld	F	6	185	cargol	malac															
ld	F	6	186	carbó																

	Nivell	Q.a.	Q.n.	Nº	Matèria	Sup.	Taló	Cort.	Alt.	Conc.	Long.	Amp.	Gruix	X	Y	Z	Orient.	Pend.	Tipus prim.	Formes cer.	Observacions	
1	Id	F	7	550	carbó									70,0	53,0	312,0						
2	Id	F	7	551	carbó									47,0	49,0	312,0						
3	Id	F	7	552	carbó									57,0	53,0	313,5						
4	Id	F	7	553	carbó									71,0	61,0	313,0						
5	Id	F	7	554	carbó									62,0	73,5	311,0						
6	Id	F	7	555	carbó									17,0	57,0	305,0						
7	Id	F	7	556	silex	F		CM	B		29	21	11	14,0	58,0	299,0	E-W	P				
8	Id	F	7	557	os	macr								7,0	65,0	305,0					dent; 3 frags.	
9	Id	F	7	558	carbó									47,0	45,0	312,0						
10	Id	F	7	559	carbó									35,0	46,5	300,0						
11	Id	F	7	560	carbó									13,0	77,5	300,0						
12	Id	F	7	561	ceràmica	mà					16	13	10	69,0	49,0	315,0				I	2 frags. enganxats	
13	Id	F	7	562	mostra mineral									78,0	75,0	312,0					"sorrenca" (gres) estella cremada	
14	Id	F	7	563	os	macr								43,0	83,0	312,0						
15	Id	F	7	564	carbó									44,0	92,0	312,0						
16	Id	F	7	565	os	macr								25,0	90,0	308,0					dent	
17	Id	F	7	566	ceràmica	mà					21	15	10	75,0	53,0	314,0				I	2 frags. enganxats	
18	Id	F	7	567	ceràmica	mà					21	13	5									
19	Id	F	7	568	cargol	màl																4 frags.
20	Id	F	7	569	carbó																	
21	Id	F	7	570	os	macr																estella
22	Id	F	7	571	ceràmica	mà					14	11	5								I	
23	Id	F	7	572	os	macr																estella cremada
24	Id	F	7	573	ceràmica	mà					11	6	4	76,0	79,0	311,0						
25	Id	F	7	574	ceràmica	mà					23	20	7	67,0	64,0	314,0						4 frags. a: 3 frags. enganxa
26	Id	F	7	575	carbó									62,0	52,0	313,0						
27	Id	F	7	576	ceràmica	mà								68,0	48,0	314,0						6 frags. a: 5 frags. enganxa
28	Id	F	7	577	carbó									71,0	45,0	314,0						
29	Id	F	7	578	carbó									38,0	43,0	309,0						
30	Id	F	7	579	ceràmica	mà					20	15	5	83,0	80,0	313,0						4 frags. a (+ b-d)
31	Id	F	7	580	carbó									87,0	77,0	312,0						
32	Id	F	7	581	carbó									90,0	71,0	308,0						
33	Id	F	7	582	carbó									62,0	49,0	313,0						
34	Id	F	7	583	carbó									87,0	41,0	316,0						
35	Id	F	7	584	cargol									79,0	38,0	317,0						
36	Id	F	7	585	carbó									32,0	52,0	311,0						
37	Id	F	7	586	carbó									40,0	41,0	309,0						
38	Id	F	7	587	os	macr								93,0	4,0	318,0	NE-SW					3 frags. diàfisi (a-c)
39	Id	F	7	588	carbó									22,0	56,0	312,0						
40	Id	F	7	589	carbó									94,0	28,0	322,0						
41	Id	F	7	590	carbó									20,0	50,0	313,0						
42	Id	F	7	591	carbó									11,0	59,0	313,0						
43	Id	F	7	592	os	macr								46,0	79,0	314,0						estella cremada
44	Id	F	7	593	silex						78	47	35	68,0	58,0	319,0						percutor
45	Id	F	7	594	ceràmica	mà					38	27	10	68,0	62,0	317,0				I		

	Nivell	Q.a.	Q.n.	Nº	Matèria	Sup.	Taió	Cort.	Ait.	Conc.	Long.	Amp.	Gruix	X	Y	Z	Orient.	Pend.	Tipus prim.	Formes cer.	Observacions		
46	Id	F	7	595	ceràmica	mà								64,0	65,0	317,0				I	2 frags. a i b siglats i enganxats		
47	Id	F	7	596	ceràmica	mà					27	26	10	71,0	62,0	317,0				I	3 frags. a, b i c siglats; b i c enganxats		
48	Id	F	7	597	ceràmica	mà					22	22	8	77,0	68,0	319,0	N			I	4 frags. a-d siglats		
49	Id	F	7	598	ceràmica	mà					25	24	7	78,0	66,0	316,0				I	2 frags. a i b siglats		
50	Id	F	7	599	ceràmica	mà					44	22	7	81,0	65,0	318,0				I	4 frags. a-d (a i b enganxats)		
51	Id	F	7	600	ceràmica	mà					25	18	7	100,0	48,0	315,0				I			
52	Id	F	7	601	os	macr										315,0					estella cremada		
53	Id	F	7	602	os	macr										315,0					estella cremada		
54	Id	F	7	603	ceràmica	mà					34	31	8	55,0	1,0	318,0				I	9 frags. a-i (siglats fins la base)		
55	Id	F	7	604	carbó									59,0	75,0	317,0							
56	Id	F	7	605	carbó									36,0	66,0	316,0							
57	Id	F	7	606	ceràmica	mà					19	13	7	58,0	58,0	318,0						2 frags. (a i b)	
58	Id	F	7	607	carbó									34,0	48,0	308,0							
59	Id	F	7	608	carbó									42,0	27,0	314,0							
60	Id	F	7	609	carbó									55,0	21,0	322,0							
61	Id	F	7	610	carbó									62,0	20,0	320,0							
62	Id	F	7	611	carbó									48,0	10,0	323,0							
63	Id	F	7	612	carbó									47,0	4,0	319,0							
64	Id	F	7	613	carbó									50,0	2,0	321,0							
65	Id	F	7	614	os	macr																estella	
66	Id	F	7	615	os	macr																dent	
67	Id	F	7	616	os	macr								27,0	79,0	317,0						estella cremada	
68	Id	F	7	617	carbó									80,0	77,0	319,0							
69	Id	F	7	618	carbó									92,0	69,0	320,0							
70	Id	F	7	619	carbó									74,0	64,0	320,0							
71	Id	F	7	620	carbó									79,0	57,0	322,0							
72	Id	F	7	621	carbó									70,0	54,0	321,0							
73	Id	F	7	622	ceràmica	mà					27	18	7	89,0	55,0	320,0							
74	Id	F	7	623	carbó									62,0	53,0	322,0							
75	Id	F	7	624	carbó									67,0	46,0	321,0							
76	Id	F	7	625	ceràmica	mà					21	16	7									7 frags. a (+ b-g); a-c siglats	
77	Id	F	7	626	os	macr								55,0	89,0	319,0						2 frags. estella cremada	
78	Id	F	7	627	carbó									68,0	76,0	323,0							
79	Id	F	7	628	os	macr								74,0	64,0	324,0						estella cremada	
80	Id	F	7	629	carbó									72,0	49,0	322,0							
81	Id	F	7	630	carbó									43,0	45,0	316,0							
82	Id	F	7	631	carbó									48,0	36,0	317,0							
83	Id	F	7	632	mostra mineral	calçà																	
84	Id	F	7	633	sil·lex	FA		CM	B		15	17	2									long.(15)	
85	Id	F	7	634	ceràmica	mà																	
86	Id	F	7	635	sil·lex	F		NC			11	7	4										
87	Id	F	7	636	os	macr																estella	
88	Id	F	7	637	carbó									83,0	60,0	322,0							
89	Id	F	7	638	carbó									74,0	54,0	34,0							
90	Id	F	7	639	carbó									26,0	41,0	320,0							



	Nivell	Q.a.	Q.n.	Nº	Matèria	Sup.	Taló	Cort.	Alt.	Conc.	Long.	Amp.	Gruix	X	Y	Z	Orient.	Pend	Tipus prim.	Formes cer.	Observacions	
91	Id	F	7	640	carbó									47,0	37,0	316,0						
92	Id	F	7	641	carbó									26,0	32,0	315,0						
93	Id	F	7	642	carbó									27,0	21,0	318,0						
94	Id	F	7	643	carbó									63,0	24,0	325,0						
95	Id	F	7	644	carbó									52,0	21,0	321,0						
96	Id	F	7	645	carbó									42,0	1,0	318,0						
97	Id	F	7	646	carbó									37,0	43,0	316,0						
98	Id	F	7	647	sílex	F	CD	B			35	22	21									
99	Id	F	7	648	carbó									89,0	74,0	322,0						
100	Id	F	7	649	carbó									51,0	57,0	325,0						
101	Id	F	7	650	carbó									48,0	49,0	323,0						
102	Id	F	7	651	carbó									52,0	38,0	324,0						
103	Id	F	7	652	carbó									50,0	28,0	324,0						
104	Id	F	7	653	carbó									48,0	20,0	320,0						
105	Id	F	7	654	carbó									94,0	6,0	322,0						
106	Id	F	7	655	carbó									41,0	80,0	323,0						
107	Id	F	7	656	carbó									82,0	100,	315,0						
108	Id	F	7	657	carbó									70,0	92,0	321,0						
109	Id	F	7	658	carbó									66,0	82,0	318,0						
110	Id	F	7	659	carbó									42,0	68,0	325,0						
111	Id	F	7	660	carbó									48,0	11,0	320,0						
112	Id	F	7	661	cargol																2 cargols	
113	Id	F	7	662	carbó																	
114	Id	F	7	663	ceràmica	mà					19	19	5									
115	Id	F	7	664	carbó																	
116	Id	F	7	665	os	macr								0,0	48,0	282,0					frag. costella cremada	
117	Id	F	7	666	carbó									10,0	50,0	306,0						
118	Id	F	7	667	carbó									15,0	31,0	305,0						
119	Id	F	7	668	ceràmica	mà					31	23	8	12,0	26,0	299,0						
120	Id	F	7	669	carbó									20,0	15,0	309,0						
121	Id	F	7	670	carbó									20,0	7,0	308,0						
122	Id	F	7	671	pedra polida									46,0	29,0	319,0					esquiria de dretal	
123	Id	F	7	672	carbó									18,0	46,0	311,0						
124	Id	F	7	673	carbó									18,0	26,0	313,0						
125	Id	F	7	674	sílex	FA			B		56	18	6	20,0	32,0	316,0					làmina; long. (56)	
126	Id	F	7	675	carbó									33,0	19,0	320,0						
127	Id	F	7	676	carbó									45,0	36,0	323,0						
128	Id	F	7	677	carbó									16,0	44,0	318,0						
129	Id	F	7	678	os	macr								37,0	34,0	322,0					dent	
130	Id	F	7	679	mostra mineral									92,0	20,0	330,0					"sorrenca" (gres)?	
131	Id	F	7	680	mostra mineral																"sorrenca" (gres)	
132	Id	F	7	681	sílex	AF	L	NC	B		21	17	6								long. (21)	
133	Id	F	7	682	carbó									35,0	50,0	314,0						
134	Id	F	7	683	carbó									42,0	3,0	325,0						
135	Id	F	7	684	os	micro																estella cremada

	Nivell	Q.a.	Q.n.	Nº	Matèria	Sup.	Taló	Cort.	Alt.	Conc.	Long.	Amp.	Gruix	X	Y	Z	Orient.	Pend.	Tipus prim.	Formes cer.	Observacions	
136	Id	F	7	685	mostra mineral																"sorrenca" (gres)	
137	Id	F	7	686	silex	F		NC	B		38	32	6									
138	Id	F	7	687	os	micro																estella
139	Id	F	7	688	os	micro																estella
140	Id	F	7	689	os	micro																fragment
141	Id	F	7	690	carbó																	
142	le	F	7	691	carbó									48,0	4,0	329,0						
143	le	F	7	692	carbó									46,0	16,0	329,0						
144	le	F	7	693	carbó									48,0	28,0	329,0						
145	le	F	7	694	silex	A	L	NC	B/C		9	17	5	25,0	26,0	327,0						
146	le	F	7	695	carbó																	
147	le	F	7	696	carbó									80,0	73,0	329,0						
148	le	F	7	697	carbó									75,0	70,0	328,0						
149	le	F	7	698	carbó									55,0	65,0	325,0						
150	le	F	7	699	silex	FA		NC	B		20	14	5	88,0	76,0	325,0						long. (20)
151	le	F	7	700	silex	A	L	NC	B		10	7	4	92,0	68,0	328,0						
152	le	F	7	701	ceràmica	mà					85	77	11	55,0	87,0	331,0	NE-SW	V	NAC	coll		3 frags. enganxats; cardial (a)
153	le	F	7	702	carbó									70,0	64,0	334,0						
154	le	F	7	703	carbó									86,0	40,0	331,0						
155	le	F	7	704	mostra mineral									53,0	72,0	332,0						
156	le	F	7	705	carbó									50,0	57,0	333,0						
157	le	F	7	706	ceràmica	mà					25	16	5	88,0	74,0	331,0				I		2 frags.
158	le	F	7	707	carbó									69,0	18,0	334,0						
159	le	F	7	708	carbó									60,0	15,0	332,0						
160	le	F	7	709	mostra mineral									48,0	22,0	330,0						estalactita cremada
161	le	F	7	710	ceràmica	mà					18	14	5							I		
162	le	F	7	711	os	macr																estella cremada
163	le	F	7	712	carbó									80,0	56,0	340,0						
164	le	F	7	713	carbó									94,0	48,0	339,0						
165	le	F	7	714	os	macr								97,0	24,0	338,0						2 frags. estella enganxats
166	le	F	7	715	os	macr								96,0	11,0	336,0						frag. diàfisi cremada
167	le	F	7	716	carbó									83,0	17,0	339,0						
168	le	F	7	717	carbó									73,0	20,0	335,0						
169	le	F	7	718	mostra mineral									73,0	22,0	333,0						"sorrenca" (gres)
170	le	F	7	719	mostra mineral									91,0	56,0	342,0						"sorrenca" (gres)
171	le	F	7	720	carbó									49,0	22,0	336,0						
172	le	F	7	721	carbó									61,0	27,0	338,0						
173	le	F	7	722	ceràmica	mà								75,0	78,0	338,0				I		enganxa amb 724 (mides allà)
174	le	F	7	723	ceràmica	mà								85,0	78,0	338,0				I		enganxa amb 726 (mides allà)
175	le	F	7	724	ceràmica	mà					42	32	7	94,0	76,0	339,0				I		enganxa amb 722
176	le	F	7	725	ceràmica	mà					25	18	9	85,0	74,0	342,0				I		
177	le	F	7	726	ceràmica	mà					51	37	7	79,0	90,0	328,0				I		enganxa amb 723
178	le	F	7	727	ceràmica	mà					86	65	19	73,0	99,0	331,0	E-W	V		I	fons	fons cònic
179	le	F	7	728	ceràmica	mà					21	14	8							I		
180	le	F	7	729	silex	FA		NC	B		17	17	6									

## GJINEU-F7

	Nivell	Q.a.	Q.n.	Nº	Matèria	Sup.	Taló	Cort.	Alt.	Conc.	Long.	Amp.	Grutx	X	Y	Z	Orient.	Pend.	Típus prim.	Formes cer.	Observacions	
181	le	F	7	730	carbó									45,0	12,0	342,0						
182	le	F	7	731	os	macr								61,0	65,0	342,0			ovicaprí		dent; x=61 o 81 ??	
183	le	F	7	732	os	macr																dent
184	le	F	7	733	mostra mineral																	"sorrenca" (gres)
185	le	F	7	734	ceràmica	mà					17	16	7									
186	le	F	7	735	carbó																	

Nivell	Q.a.	Q.n.	Nº	Matèria	Sup.	Taló	Cort.	Alt.	Conc.	Long.	Amp.	Gruix	X	Y	Z	Orient.	Pend	Tipus prim.	Formes cer.	Observacions
lc/lid	F	8	440	carbó									92,0	19,0	317,5					no datació!
lc/lid	F	8	441	carbó									81,0	23,0	317,0					no datació!
lc/lid	F	8	442	carbó									65,0	27,0	315,5					no datació!
lc/lid	F	8	443	carbó									76,0	36,0	318,0					no datació!
lc/lid	F	8	444	carbó									55,0	40,0	316,5					no datació!
lc/lid	F	8	445	ceràmica	mà														v	
lc/lid	F	8	446	os	macr															
lc/lid	F	8	447	carbó																
lc/lid	F	8	448	cargol	malac															varis
lb	F	8	449	carbó																pendent de Gn'90
lb	F	8	450	ceràmica	mà					19	13	9								pendent de Gn'90
lc/lid	F	8	451	carbó									92,0	0,0	321,0					
lc/lid	F	8	452	carbó									91,0	21,0	320,5					
lc/lid	F	8	453	ceràmica	mà					17	13	8	49,0	56,0	320,0				l	
lc/lid	F	8	454	ceràmica	mà								62,0	68,0	323,0					molts frags. d'un sol frag.
lc/lid	F	8	455	ceràmica	mà					34	25	9	74,0	75,0	317,0	NW-SE			l	
lc/lid	F	8	456	ceràmica	mà								40,0	83,0	318,0		V		l	molts frags. petits
lc/lid	F	8	457	ceràmica	mà					12	11	5	77,0	55,0	319,0		P		l	
lc/lid	F	8	458	ceràmica	mà					27	19	6	76,0	61,0	319,0	N-S	P		l	2 frags. enganxats
lc/lid	F	8	459	ceràmica	mà					15	9	5	82,0	67,0	317,0		P		l	
lc/lid	F	8	460	ceràmica	mà								64,0	53,0	320,0				l	varis frags.
lc/lid	F	8	461	ceràmica	mà					30	27	7	80,0	60,0	320,0	N-S	V		l	
lc/lid	F	8	462	os	macr															estella
lc/lid	F	8	463	os	macr															estella
lc/lid	F	8	464	ceràmica	mà					24	18	7	80,0	60,0	320,0				l	
lc/lid	F	8	465	carbó									81,0	8,0	321,0					
lc/lid	F	8	466	ceràmica	mà					34	25	7	95,0	30,0	325,0	E-W	S		l	
lc/lid	F	8	467	ceràmica	mà					8	8	3			320,0					z aprox.
lc/lid	F	8	468	os	macr										320,0					z aprox.
lc/lid	F	8	469	cargol	malac										320,0					varis; z aprox.
lc/lid	F	8	470	carbó											320,0					z aprox.
ld	F	8	471	ceràmica	mà					30	19	7	67,0	83,0	320,5				l	
ld	F	8	472	carbó									38,0	97,0	313,0					
ld	F	8	473	carbó									33,0	96,0	314,0					
ld	F	8	474	ceràmica	mà					14	10	4	28,0	70,0	317,5				l	
lc	F	8	475	carbó									6,0	69,0	282,0					situat al tall
ld	F	8	476	ceràmica	mà					36	23	5	68,0	52,0	323,0				l	
ld	F	8	477	carbó									31,0	94,0	315,0					
lc/lid	F	8	478	ceràmica	mà															2 frags. correcció tall
ld	F	8	479	cargol	malac															varis frags.
ld	F	8	480	carbó																
ld	F	8	481	carbó									79,0	16,0	323,0					
ld	F	8	482	ceràmica	mà					23	22	4	72,0	49,0	322,0		V		l	2 frags. enganxats
lc	F	8	483	os	macr								72,0	75,0	329,0	N-S	SW			frag. dent calcinada
lc	F	8	484	os	macr								72,0	85,0	325,0					2 frags. enganxats dent

Nivell	Q.a.	Q.n.	Nº	Matèria	Sup.	Taló	Cort.	Alt.	Conc.	Long.	Amp.	Gruix	X	Y	Z	Orient.	Pend	Tipus prim.	Formes cer.	Observacions
Id	F	8	485	ceràmica	mà					21	20	6	68,0	52,5	323,0				I	2 frags. enganxats
Id	F	8	486	ceràmica	mà					31	24	6	68,0	53,0	323,0				I	2 frags. enganxats
Id	F	8	487	ceràmica	mà					28	19	7	40,0	57,0	317,0				I	
Id	F	8	488	ceràmica	mà					9	6	4	35,0	8,0	317,0				I	
Id	F	8	489	carbó									23,0	15,0	319,0					
Id	F	8	490	ceràmica	mà								61,0	47,0	320,0					desapareguda
Id	F	8	491	carbó									83,0	8,0	324,0					
Id	F	8	492	carbó									86,0	13,0	325,0					
Id	F	8	493	carbó									72,0	26,0	323,0					
Id	F	8	494	ceràmica	mà					28	17	5	82,0	57,0	323,0					
Id	F	8	495	carbó									63,0	82,0	324,0					
Id	F	8	496	ceràmica	mà					31	27	7	75,0	69,0	322,0				I	3 frags. enganxats
Id	F	8	497	carbó									22,0	86,0	319,0					
Ic	F	8	498	ceràmica	mà					11	11	5			320,0				I	
Id	F	8	499	os	macr								60,0	13,0	322,0					estella
Id	F	8	500	os	macr								42,0	20,0	319,0					estella
Id	F	8	501	os	macr								38,0	32,0	314,0					estella
Id	F	8	502	ceràmica	mà					18	13	7	67,0	34,0	327,0				I	
Ia	F	8	503	ceràmica	torn					23	15	3							I	procedent d'un caul
Id	F	8	504	os	macr															frag. costella
Id	F	8	505	carbó									41,0	93,0	317,0					
Id	F	8	506	ceràmica	mà					29	25	6							I	
Id	F	8	507	ceràmica	mà					21	12	7							I	
Id	F	8	508	ceràmica	mà					24	18	6							I	
Id	F	8	509	os	macr															estella
Id	F	8	510	os	macr															estella
Id	F	8	511	carbó									60,0	34,0	324,0					
Id	F	8	512	os	macr								77,0	0,0	327,0	E-W	E			estella banya
Id	F	8	513	ceràmica	mà					18	16	5	100,	35,0	328,0					6 frags. a (+ b-f)
Id	F	8	514	ceràmica	mà					21	17	8	90,0	75,0	321,0		V		I	4 frags. a (+ b-d)
Id	F	8	515	ceràmica	mà					18	15	6	70,0	41,0	326,0					
Id	F	8	516	ceràmica	mà					19	14	6	72,0	28,0	325,0				I	2 frags. a (+ b)
Id	F	8	517	ceràmica	mà								82,0	44,0	326,0	E-W	E			
Id	F	8	518	ceràmica	mà					32	16	6	86,0	44,0	339,0				I	4 frags. enganxats (a-c + un s
Id	F	8	519	ceràmica	mà								92,0	47,0	330,0					
Id	F	8	520	ceràmica	mà					20	14	6	67,0	51,0	329,0				I	3 frags. a (+ b-c); a-b siglats
Id	F	8	521	ceràmica	mà					23	23	5	73,0	49,0	323,0					
Id	F	8	522	ceràmica	mà					22	22	5	72,0	47,0	325,0					4 frags. a (+ b-d); a-c siglats
Id	F	8	523	ceràmica	mà					18	13	6	76,0	53,0	325,0				I	5 frags. a (+ b-e)
Id	F	8	524	ceràmica	mà					27	24	6	77,0	49,0	324,0	E-W	P		I	8 frags. a (+ b-h)
Id	F	8	525	ceràmica	mà					24	19	7	80,0	51,0	326,0				I	4 frags. a (+ b-d)
Id	F	8	526	ceràmica	mà								92,0	47,0	327,0					
Id	F	8	527	ceràmica	mà					41	37	5	82,0	59,0	323,0		V		I	4 frags. a (+ b-d)
Id	F	8	528	ceràmica	mà					38	34	8	85,0	57,0	325,0				I	3 frags. a (+ b-c)
Id	F	8	529	ceràmica	mà					28	27	6	87,0	54,0	326,0					

Nivell	Q.a.	Q.n.	Nº	Matèria	Sup.	Taló	Cort.	Alt.	Conc.	Long.	Amp.	Gruix	X	Y	Z	Orient.	Pend.	Tipus prim.	Formes cer.	Observacions
Id	F	8	530	ceràmica	mà					47	40	10	86,0	59,0	326,0		V			2 frags. enganxats
Id	F	8	531	carbó																
Id	F	8	532	cargol	malac															
Id	F	8	533	ceràmica	mà					26	21	7	98,0	63,0	334,0		P	I		2 frags.
Id	F	8	534	sillex	FA		NC			38	19	4	100,	58,0	338,0	E-W	W			color blau fosc
Id	F	8	535	ceràmica	mà					22	17	5	17,0	37,0	343,0		V	I		5 frags. a (- b-e), a l b siglat
Id	F	8	536	carbó									15,0	46,0	345,0					
Id	F	8	537	carbó									32,0	78,0	342,0					
Id	F	8	538	ceràmica	mà					45	42	5	39,0	49,0	343,0			I		
Id	F	8	539	carbó									66,0	70,0	346,0					
Id	F	8	540	ceràmica	mà					33	21	5			325,0			I		z aprox.
Id	F	8	541	ceràmica	mà					18	13	8			325,0			I		
Id	F	8	542	carbó											343,0					
Id	F	8	543	carbó																
Id	F	8	544	ceràmica	mà					23	17	5						I		
Id	F	8	545	ceràmica	mà					11	10	5						I		
Id	F	8	546	ceràmica	mà					20	14	7						I		
Id	F	8	547	ceràmica	mà					19	11	6						I		
Id	F	8	548	sillex	FA		NC	B		17	5	2								
Id	F	8	549	ceràmica	mà					38	18	6						I		
Id	F	8	550	ceràmica	mà					16	15	5						I		
Id	F	8	551	ceràmica	mà					11	9	4						I		
Id	F	8	552	ceràmica	mà					13	13	7						I		
Id	F	8	553	ceràmica	mà					35	38	1	92,0	47,0	332,0			I		28 frags. a (+ b-w); a-g sigla
Id	F	8	554	ceràmica	mà					50	27	10	82,0	48,0	332,0			I		8 frags. a (+ b-h), a-d siglats
Id	F	8	555	ceràmica	mà					13	10	8	44,0	60,0	335,0			I		
Id	F	8	556	ceràmica	mà					36	27	7	96,0	67,0	335,0			I		3 frags. enganxats
Id	F	8	557	sillex	F		CD			31	23	9	84,0	87,0	333,0					
Id	F	8	558	carbó									84,0	6,0	331,0					
Id	F	8	559	material sillici	A		NC	B		17	12	7	87,0	65,0	335,0					
Id	F	8	560	ceràmica	mà					22	12	7	98,0	70,0	336,0			I		
Id	F	8	561	sillex	FA		NC	B		19	15	5	92,0	77,0	336,0					retocat (gratador); alt. foc
Id	F	8	562	carbó									98,0	80,0	336,0					
Id	F	8	563	carbó									81,0	87,0	334,0					
Id	F	8	564	carbó									88,0	84,0	334,0					
Id	F	8	565	ceràmica	mà					31	20	10	86,0	21,0	335,0	N-S	V	I		
Id	F	8	566	os	macr								85,0	24,0	335,0					dent
Id	F	8	567	ceràmica	mà					17	11	4	85,0	29,0	336,0			I		2 frags. enganxats
Id	F	8	568	os	macr								92,0	29,0	334,0					cremat
Id	F	8	569	carbó									73,0	81,0	332,0					
Id	F	8	570	os	macr								45,0	0,0	333,0				ovicapri	2 frags. dent
Id	F	8	571	os	macr								85,0	24,0	335,0					estella (4 frags.)
Id	F	8	572	material sillici																
Id	F	8	573	material sillici																
Id	F	8	574	ceràmica	mà					15	10	6						I		

Nivell	Q.a.	Q.n.	Nº	Matèria	Sup.	Taló	Cort.	Alt.	Conc.	Long.	Amp.	Gruix	X	Y	Z	Orient.	Pend	Tipus prim.	Formes cer.	Observacions
Id	F	8	575	ceràmica	mà					14	10	10							I	
Id	F	8	576	sílex	F		CD			23	14	11								
Id	F	8	577	ceràmica	mà					13	11	5							I	
Id	F	8	578	ceràmica	mà					13	10	5							I	
Id	F	8	579	cargol	mala															
Id	F	8	580	ceràmica	mà					12	6	5							I	
Id	F	8	581	ceràmica	mà					9	9	3							I	
Id	F	8	582	argila cuïta ?																
Id	F	8	583	ceràmica	mà					28	18	8							I	2 frags. enganxats
le	F	8	584	carbó									80,0	66,0	336,0					
le	F	8	585	carbó									76,0	76,0	336,0					
le	F	8	586	carbó									45,0	76,0	332,0					
le	F	8	587	carbó									40,0	80,0	332,0					
le	F	8	588	carbó									41,0	80,0	332,0					
le	F	8	589	os	macr								53,0	71,0	334,0	E-W	P			estella cremada
le	F	8	590	carbó									46,0	46,0	333,0					
le	F	8	591	carbó									70,0	43,0	337,0					
Id	F	8	592	carbó																
le	F	8	593	carbó																
le	F	8	594	ceràmica	mà					17	11	5							I	
le	F	8	595	ceràmica	mà					49	35	8	68,0	15,0	333,0			NAE		2 frags. enganxats; crestes
le	F	8	596	carbó									70,0	5,0	337,0					
le	F	8	597	carbó									66,0	19,0	328,0					
le	F	8	598	carbó									68,0	24,0	328,0					
le	F	8	599	carbó									62,0	48,0	335,0					
le	F	8	600	carbó									30,0	61,0	335,0					
le	F	8	601	carbó									32,0	42,0	335,0					
le	F	8	602	carbó									75,0	8,0	338,0					
le	F	8	603	carbó									90,0	91,0	338,0					
le	F	8	604	carbó									80,0	89,0	337,0					
le	F	8	605	mostra mineral									62,0	94,0	339,0					òxid de ferro
le	F	8	606	mostra mineral									55,0	82,0	337,0					"sorrenca" (gres)
le	F	8	607	carbó									53,0	85,0	337,0					
le	F	8	608	carbó									75,0	10,0	340,0					
le	F	8	609	os	macr								91,0	9,0	350,0		V	bòvid		dent
le	F	8	610	carbó									92,0	90,0	339,0					
le	F	8	611	carbó									70,0	82,0	338,0					
le	F	8	612	carbó									56,0	84,0	337,0					
le	F	8	613	carbó									48,0	77,0	339,0					
le	F	8	614	os	macr															estella
le	F	8	615	carbó									54,0	3,0	342,0					
le	F	8	616	os	macr								61,0	65,0	341,0					frag. diàfisi
le	F	8	617	ceràmica	mà					31	21	6							I	
le	F	8	618	sílex	A	L	NC			23	9	4								talla laminar
le	F	8	619	os	micro															conill

Nivell	Q.a.	Q.n.	Nº	Matèria	Sup.	Taló	Cort.	Ait.	Conc.	Long.	Amp.	Gruix	X	Y	Z	Orient.	Pend.	Tipus prim.	Formes cer.	Observacions	
le	F	8	620	os	micro														conill ?		epifisi
le	F	8	621	sílex	A		NC	B/C		22	15	7									
le	F	8	622	sílex	AF		NC	B		26	8	2									long. (26); talla laminar
le	F	8	623	os	micro															conill	estella diáfisi cremada
le	F	8	624	sílex	F		NC	B		13	9	3									retocs marginals
le	F	8	625	ceràmica	mà					18	9	6									
le	F	8	626	os	macro																estella costella
le	F	8	627	os	micro															conill ?	estella diáfisi
le	F	8	628	os	micro															conill ?	frag. diáfisi
le	F	8	629	os	micro															conill ?	diáfisi
le	F	8	630	carbó																	



Nivell	Q.a.	Q.n.	Nº	Matèria	Sup.	Taló	Cort.	Alt.	Conc.	Long.	Amp.	Gruix	X	Y	Z	Orient.	Pend	Tipus prim.	Formes cer.	Observacions
lb	F	9	81	cargol	malad															pertany a Gn'90
lb	F	9	82	carbó																pertany a Gn'90
			83	ceràmica	mà					14	9	6								
ld	F	9	84	os	macr								98,0	48,0	336,0					sota gran bloc; estella diàfis
ld	F	9	85	os	macr								96,0	54,0	336,0					sota gran bloc; 2 frags (a-b s
le	F	9	86	ceràmica	mà					27	20	9	91,0	97,0	336,0				I	
			87	sflex	AF	L	NC	B		41	11	3	92,0	90,0	337,0					talla laminar
			88	carbó									84,0	95,0	337,0					
			89	carbó									87,0	91,0	339,0					
			90	os	macr								96,0	85,0	340,0			ovicapri		dent

**7. ANNEXES**

**ANNEXE 1. Resum i textos de la comunicació-pòster presentada al "Congrés de Paleopatologia" de Barcelona (Museu Arqueològic, setembre de 1992).**

**Resum****PATOLOGIA DE LA POBLACIÓ ENTERRADA A LA "COVA DE LA GUINEU" (FONT-RUBI, ALT PENEDES, BARCELONA). (PÒSTER)**

**Oriol MERCADAL I FERNÁNDEZ\***  
**Domènec CAMPILLO I VALERO\*\***  
**EQUIP GUINEU**

Es mostra un recull de la variada patologia observada a les restes òssies de la població estudiada.

La "Cova de la Guineu" presenta una llarga ocupació humana que abasta des de l' Epipaleolític (9.850±80 BP) fins a l' època ibèrica (s. I aC. aprox.), tot i que només va ser utilitzada com a lloc funerari durant el Calcolític i l'Edat del Bronze, molt probablement.

Els individus foren inhumats i, en poques ocasions, cremats, observant-se una important reutilització de l' espai en forma d' enterrament col·lectiu de tipus primari i/o secundari.

El conjunt de patologies analitzades és diversificat, agrupant-se genèricament, en el següent: processos traumàtics, afeccions reumàtiques, osteopaties anèmiques i patologia oral. També es mostra algun exemple de pseudopatologia.

---

\* Paleoantropòleg i arqueòleg, col·laborador del Laboratori de Paleoantropologia i Paleopatologia (Museu Arqueològic de Barcelona) .

\*\* Cap del Laboratori de Paleoantropologia i Paleopatologia (Museu Arqueològic de Barcelona) .

**PATHOLOGICAL REMAINS FROM THE BURIALS AT THE  
"GUINEU CAVE" (FONT-RUBI, ALT PENEDES, BARCELONA).**

**Oriol MERCADAL I FERNÁNDEZ\***  
**Domènec CAMPILLO I VALERO\*\***  
**EQUIP GUINEU**

We show a synthesis of the pathology observed between the population coming from the "Cova de la Guineu". This cave presents a flat human occupation which rises during the Epipaleolithic period ( $9.850 \pm 80$  BP) and finishes with the Iberian culture (here, about 100 BC). However, it was only used like a grave during the Copper Age and Bronze Age. Individuals were inhumated and, sometimes, cremated.

Pathology, we have found, is very diversified: traumatical processes, rheumathological diseases, anemias and oral pathology. Some pseudopathological sample is also showed.

---

\*Paleoanthropologist and archaeologist, collaborator of the "Laboratori de Paleontologia i Paleopatologia" (Museu Arqueològic de Barcelona).

\*\*Director of the "Laboratori de Paleontologia i Paleopatologia" (Museu Arqueològic de Barcelona).

### Textos del pòster

El jaciment arqueològic de la Cova de la Guineu es localitza al nord-est de la Península Ibèrica, prop de Barcelona i més concretament al nord-oest de la comarca vitivinícola de l'Alt Penedès.

La cavitat s'obre dins la Serra de Font-rubí, en el puig de la Plana de la Pineda (730 m.) i sobre la Font de Llinars, a uns 30 km. de la línia actual de la costa.

El substrat geològic d'aquest sector configura el relleu característic del triàsic-juràssic, amb morfologies càrstiques que afecten les calcàries i les dolomies del Muschelkalk. La xarxa de drenatge que modela aquesta zona és la de la conca del riu Foix, eix hidrogràfic principal del sector sud-oest del Penedès.

*The site of "Guineu Cave" is located in north-east of the Iberian Peninsula, near Barcelona and more exactly in north-west of Alt Penedès, a wine-producing region.*

*The cave is opened in the Font-rubí chain, on the summit of Plana de la Pineda (730 meters) and over Llinars fountain. The coast is 30 km. from here.*

*The geological substratum of this zone forms a typical triassic and jurassic relief, with karstical morphologies wich affects the calcareous and dolomithic stones of Muschelkalk. The Foix river is the most important fluvial axis in this south-western area of the Penedès.*

El jaciment fou descobert l'any 1961 per Pere GIRÓ. L'any 1979 els membres de l'Associació d'Estudis Científics i Culturals de Mediona (AECCM) iniciaren el buidatge de la cova i hi treballaren, intermitentment, fins el 1982. Aquesta actuació afectà, principalment, els nivells ceràmics de l'interior i, sobretot, la fase sepulcral col·lectiva de l'Eneolític/Bronze antic.

El 1983 es realitzà un sondeig (Josep Mestres) i es localitzaren uns nivells d'ocupació que s'adscriuen a l'Epipaleolític.

A partir d'aquest moment s'estructura un equip de treball que l'any 1988 es consolida amb la incorporació del jaciment en el programa "El Paleolític i l'Epipaleolític a la catalunya Meridional i de Ponent" coordinat pel Seminari d'Estudis i Recerques Paleolítiques (SERP) de la Universitat de Barcelona, a càrrec del Dr. J.M. FULLOLA i la Dra. P. GARCÍA-ARGÜELLES. Fins enguany s'han realitzat 5 campanyes d'excavacions sistemàtiques.

*The site was discovered at 1961 by Pere GIRÓ. At 1979 the AECCM's members began an uncontrolled archaeological excavation since 1982. Mainly this action affected to the interior pottery levels and overcoat to the Eneolithic/Ancient Bronze Age collective burial.*

*At 1983 was made a controlled drilling (by Josep MESTRES) and were located some occupation levels from the Epipaleolithic period.*

*From now a working team is structured wich at 1988 is consolidated with the inorporation of the site in the project "The Paleolithic and Epipaleolithic in southern and western Catalunya", coordinated by SERP (Paleolithic Studies and Research Seminary) from University of Barcelona, guided by Dr. J.M. FULLLOLA and Dr. P. GARCÍA-ARGÜELLES. In the last 5 years we have made five field interventions.*

---

Fins el moment s'ha documentat la següent seqüència crono-estratigràfica / *At the moment we have recorded this chrono-stratigraphical sequence:*

- **Nivell Superficial:** èpoques moderna i medieval.  
*Surface level: modern and medieval times.*
- **Nivell Ia:** Ibèric Tardà (finals del segle II-principis de l'I aC).  
*Ia level: Late Iberian period (from the end of the IInd century to the beginning of the Ist century BC).*
- **Nivell Ib:** Bronze mitjà (3280 ±70 BP) amb intrusions del Bronze Final.  
*Ib level: Middle Bronze Age (3280 ±70 BP) and Final Bronze Age intrusions.*
- **Nivell Ic:** Bronze antic (Ic-2).  
*Ic level: Ancient Bronze Age (Ic-2).*
- **Nivell Id:** Neolític antic evolucionat.  
*Id level: Ancient Evolutionated Neolithic.*
- **Nivell Ie:** Neolític antic cardial.  
*Ie level: Ancient Cardial Neolithic.*
- **Nivell II (interior):** Eneolític i Neolític antic.  
*II level (interior): Eneolithic and Ancient Neolithic.*
- **Nivell III:** 5 sòls d'ocupació superposats i associats a estructures de foc corresponents a l'Epipaleolític Microlaminar (9850 ±80 BP).  
*III level: 5 occupation soils in relation of fire structures wich belong to "Microlaminar" Epipaleolithic (9850 ±80 BP).*

---

A la "Cova de la Guineu" va inhumar-se un mínim de trenta individus, entre els que hi havia infants i adults d'ambdós sexes, vers el segon mil.lenni aC.

La patologia trobada és diversa. Algunes d'elles com l'artrosi, els traumatismes, etc. han estat usuals a tots els grups al llarg del temps. Altres, en canvi, foren menys comunes i presenten un interès adicional.

Hem agrupat les patologies segons la seva etiologia, sobretot:

- a) Processos traumàtics,
- b) Malalties reumatològiques,
- c) Anèmia,
- d) Patologia oral,

i hem seleccionat una mostra significativa. Mentre la patologia oral resta poc nombrosa, els traumatismes i l'artrosi són els grups millor representats.

**About thirty individuals were inhumated at the "Guineu Cave". Infants and adults of both sexes composed the population dated about second millennium B.C.**

**The pathology we found is diversified. Some of them like arthrosis/arthrits, trauma, etc. were usual in each group all through the time. However, other have been less common and present and additional interest.**

**This pathology has been divided into different groups in relation to their etiology, overcoat:**

- A. Traumatological processes,**
- B. Rheumatological diseases,**
- C. Anemia,**
- D. Oral pathology.**

**We've selected a meaningful sample. Oral pathology is present in a low number whereas trauma and arthrosis are the best represented.**

.....

**Pòster confeccionat per / poster made by:**

Oriol MERCADAL (Col. del Lab. de Paleoantropologia del MAB).

Domènec CAMPILLO (Cap del Lab. de Paleoantropologia del MAB).

**EQUIP GUINEU (Mercè BERGUEDA, Raül BARTROLI, Artur CEBRIÀ i Genís RIBÉ).**

**Fotografies blanc i negre: Oriol CLAVELL/Julià MARTINEZ (MAB).**

**Fotografies color i dibuixos: Genís RIBÉ.**

.....



### **Peus de fotografies**

Dos exemples de *cribra orbitalia* en un infant i un home adult. Es tracta d'una patologia força freqüent aquí. L'etiologia més probable és una anèmia per deficiència de ferro.

*Two samples of cribra orbitalia in an infant and an adult man. It's quite frequent among this population. The etiology more probable is an iron deficiency anemia.*

Diverses vèrtebres que presenten osteofitosis, perforació del teixit compacte i eburnació, signes típics de l'espondiloartrosi.

*Some different vertebrae showing osteophytosis, bone pitting and eburnation, typical signs of the spondylarthrosis.*

Fractura localitzada al terç mig d'una costella. Hom observa una línia transversa i un call ossi al seu voltant.

*A fracture placed in the medial part of a rib. We can observe a transverse line and the bone callus.*

Cúbits pertanyents a dos individus. Les imatges mostren una fractura de tipus incomplet denominada "en tall verd", acompanyada d'alguns signes com desviació de la diàfisi, reaccions secundàries, etc.

*Ulnae belonging to two different persons. The images show an incomplete fracture type called "greenstick fracture" with some signs like deviation of the diaphysis, secondary reaction, etc.*

Branques medials del pubis i isqui, amb una forta reacció exostòtica a nivell del pubis. La radiografia mostra una important reacció òssia amb una cavitat en el teixit esponjós en forma de condensació. Aparentment, es tracta d'una fractura isquio-pubiana ben cicatritzada.

*Pubis and ischium medial limb; the first shows a very important exostosis and the radiography presents a condensation. Probably, a fracture of the pubic bone.*

Fèmur que mostra una fosseta al solc intercondili, amb un augment de la vascularització interna. El seu caràcter és anormal i l'etiologia, incerta.

*Little pit located in the intercondyleous sulcus of a femur with an interior vascularization growth. It's an abnormal character and we doubt about its etiology.*

Primer metatarsià que presenta una important exòstosi al cap, un fort desgast del teixit compacte i signes d'eburnació. Tot això, a més de la seva localització fa pensar que pot tractar-se d'un cas de "gota" o artritis hiperuricèmica.

*First metatarsal which shows some important exostosis on the head, a strong wear and eburnation. We think about a case of gouty arthritis on the basis of these characters and its localization.*

Exemple de cinquè metatarsià que presenta una important fractura. Es pot veure una desviació de la diàfisi i un creixement anòmal de la cortical. La guarició és bona.

*Example of a fracture placed in a fifth metatarsal. Can be observed a deflection of the diaphysis and an abnormal cortical growth.*

Osteòfit localitzat aprop del cap d'un cinquè metatarsià. La seva etiologia és incerta, tot i que creiem com a més probable una reacció secundària a un traumatisme o una qüestió de tipus congènit.

*Fifth metatarsal showing an osteophyte. The ethiology is uncertain and we think about a post-traumatological reaction or a congenital question.*

Fragment d'os que recorda la forma del trapezoide amb una excrescència afegida. Probablement, es tracti d'una fusió entre aquest os i el trapezi o bé el segon metacarpí. Pot tractar-se d'una anomalia congènita però, l'etiologia resta incerta.

*A piece of bone wich reminds trapezoidal shape with an exostosis. Probably, a fusion among trapezoidal and trapezium bones or the second metacarpal took place. It could be a congenital anomaly.*

Cúbit que presenta una petita exòstosi a la part baixa de la diàfisi. L'origen de la lesió podria relacionar-se amb algun tipus d'activitat laboral.

*Ulna wich presents a little exostosis in the lower end of the diaphysis. Its origin could be relationned with a determinated sort of work.*

Primera falange de la mà que mostra una exòstosi en la seva part distal. Podria ser el resultat d'una artritis.

*Proximal phalanx of the hand showing an exostosis in the distal end. It could be the result of an rheumatoid arthritis.*

Primera falange de la mà. Per la desviació que s'observa i les petites línies exostòtiques, podria tractar-se d'una fractura.

*Proximal phalanx of the hand. A deviation and some exostotic lines are the signs of a probable fracture.*

Mostra de periostitis en una tibia. Aquesta patologia és força freqüent a la nostra població.

*Sample of periostitis in a tibia. This pathology is quite frequent among our population.*

Exemple de pseudopatologia. Pel tipus de marques registrades cal pensar en l'acció d'un rossegador.

*Example of pseudopathology. Very probably, the short and parallel marks were made by a little rodent mammal.*

Hom pot observar un solc de fractura a la cara articular per a l'astràgal i una línia exostòtica cicatricial a la del peroné, entre altres signes. Sembla ser el resultat d'un arrancament del maleol tibial.


*We can see a fracture wrinkle in the articular surface for the talus and also, an exostotic line on the same one for the fibula. It seems to be the result of a snatching of the tibial malleolus.*


**ANNEXE 2. Comunicació presentada a les 5enes Jornades de l'IEP. Juny de 1992.**


Lloc de celebració: Societat Cultural La Gran Penya  
Rambla Principal, 52, 3r pis  
Vilanova i la Geltrú


Organitza:  Institut d'Estudis Penedesencs

Col·laboren:  Ajuntament de Vilanova i la Geltrú

 Consell Comarcal del Garraf

 Consell Comarcal de l'Alt Penedès

 Consell Comarcal del Baix Penedès

 Generalitat de Catalunya  
Departament de Cultura

Patrocinen:



SOCIETAT CULTURAL  
LA GRAN PENYA

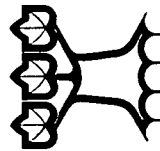
Caixa  Renedès

ENES

# JORNADA D'ESTUDIS PENEDESENCS

VILANOVA I LA GELTRÚ  
5-6-7 DE JUNY DE 1992

## PROGRAMA



DISSABTE, 6 DE JUNY

**Àmbit Primer:**  
**CIÈNCIES NATURALS I MEDI AMBIENT**  
 Auditori Eduard Toldrà, de 5 a 2/4 de 7 de la tarda.

- JOSEP ANTON HERRERA I SANCHO  
 «Aspectes botànics del futur parc natural del Foix».
  - HUMBERT SALVADÓ I CABRÉ  
 «Fauna del futur parc natural del Foix».
  - JOSEP MIRÓ I ILLA  
 «Particularitats climàtiques del Gran Penedès».
  - NEUS BENAVENT I VALLÉS  
 «Parcs i jardins de la comarca del Garraí - 1a part».
  - ANTONI SALVADÓ I CABRÉ  
 «El Foix. Fisonomia del territori».
  - JAUME MARSE I FERRER  
 «La recollida selectiva en origen: una solució ecològica al problema de les deixalles urbanes del Penedès».
- Debat de les comunicacions presentades.  
 Coordinador: Vicenç Carbonell i Virella.  
 Secretària: Maria Providència Garcia i Segarra.

**Àmbit Segon:**  
**POBLAMENT ANTIC**  
 Auditori Eduard Toldrà, de 2/4 de 7 a les 9 del vespre

- GENER AYMANI I DOMINGO  
 «Notes sobre la bibliografia de la Cova Fonda de Salomó».
- GENIS RIBÉ I MONGE, ARTUR CEBRIÀ I ESCUER I  
 RAÚL BARTROLI I SANTA  
 «Cronoestratigrafia de la cova de la Guineu (Font-rubi). Campanyes 1988-1991».
- LLUÍS MORMENEO DE NAJAS  
 «Estudi i valorització del material arqueològic de la cova de la Carretera (Rocacrespa-Cubelles)».
- JOSEP M<sup>a</sup> MACIAS I SOLÉ  
 «El jaciment ibèric del barranc del Prat (la Juncosa del Montmeil)».
- ALBERT LÓPEZ I MULLOR I XAVIER FIERRO I MACIÀ  
 «La ceràmica ibèrica de Darró».
- MONTERRAT GUMÀ I MARQUÉS  
 «Un relleig de sol trobat al poblat ibèric de Darró».
- JOSEP M<sup>a</sup> MACIAS I SOLÉ  
 «Anàlisi de l'habitat d'època ibero-romana a la zona de l'Albornar (Santa Oliva-Baix Penedès)».
- MONTERRAT DURAN I CAIXAL  
 «Ceràmiques comunes romanes procedents d'ofrenes a la vila romana de Darró».
- CARME BARROSO EXPOSITO  
 «Àntores romanes imperials procedents del jaciment de Darró».
- JAUME RUART I GÜIXENS  
 «Algunes notes històriques sobre l'Arc de Berà».

JOAN GARCIA TARGA, A. AGUILERA MARTÍN I ESTHER ALACID  
 «Santa Tecla - la Gravassa: estudi arqueològic i antropològic de tres enterraments humans».

DAVID FARRELL, JOAN-CARLES ALAY I JAUME ENRIC ZAMORA  
 «El patrimoni històrico-arqueològic a Vilanova i la Geltrú: estat actual».

MAGÍ MIRET I MESTRE  
 «Joan Bellmunt i Poblet i l'arqueologia penedesenca».

Debat de les comunicacions presentades.  
 Coordinador: Joan Garcia i Targa  
 Secretària: Natàlia Moragas i Segura.

**Àmbit Tercer:**  
**ÈPOCA MEDIEVAL**  
 Sala dels Escacs, de 5 a 8 de la tarda.

- ROSA M<sup>a</sup> URPI I CASALS, PEDRO SIMÓN ABELLÁN I J.A. RESINA NAVAS  
 «El Penedès a l'Alta Edat Mitjana. Ocupació de l'espai i continuïtat poblacional. Una proposta».
- SALVADOR LLORAC I SANTÍS  
 «Els hospitals medievals catalans. Un cas polèmic: l'Hospital d'Olesa de Bovesvalls».
- ROSA M<sup>a</sup> URPI I CASALS, PEDRO SIMÓN ABELLÁN I J.A. RESINA NAVAS  
 «El Penedès medieval i les formes d'exploració econòmiques».
- RAMON ROVIRA-TUBELLA  
 «Un mas de l'Ordre del Temple a Gelida».
- PEDRO SIMÓN ABELLÁN, ROSA M<sup>a</sup> URPI I CASALS I JOAN A. RESINA NAVAS  
 «La microdivisió administrativa del Penedès als segles X-XIII».
- XAVIER MIRET I MESTRE  
 «El Phorat de St. Pere de Cubelles».
- JOAN A. RESINA NAVAS, ROSA M<sup>a</sup> URPI I CASALS I PEDRO SIMÓN ABELLÁN  
 «La Marca del Penedès (segles X al XIII) i l'ocupació del territori».
- JÚLIA MIQUEL I LÓPEZ  
 «La venda de la jurisdicció civil i criminal del Vendrell (1380)».
- XAVIER MIRET I MESTRE  
 «La Torre Barona de Castelldefels».
- JOAN A. RESINA NAVAS, ROSA M<sup>a</sup> URPI I CASALS I PEDRO SIMÓN ABELLÁN  
 «Aproximació a l'organització religiosa del Penedès medieval».
- ANNA CASTELLANO TRESSERRA I ÀLVAR CAIXAL MATA  
 «Darró en l'època medieval i moderna».
- MÀRIA CLUA I MERCADAL  
 «Circulació monetària de l'Alt Penedès. Les monedes del Santuari de Santa Maria del Foix (segle XIII-XX)».
- XAVIER INGLÉS I BO  
 «Estudiem la història a partir del nostre entorn més proper».

Debat de les comunicacions presentades.  
 Coordinador: Miquel Angel Martínez i Rodríguez.  
 Secretària: Griselda Serra i Serra.



EQUIP GUINEU

LA COVA DE LA GUINEU

OCUPACIONS I USOS D'UNA CAVITAT DE LA SERRA DE FONT-RUBÍ (Alt  
Penedès) DEL 9850 BP A L'ÈPOCA RECENT

MEMÒRIA DE LES CAMPANYES REALITZADES  
EN ELS ANYS 1992-1993

*Barcelona, gener de 1994*

# ***CAMPANYA 1993***

***Volum 2***

Memòria elaborada sota la coordinació del programa:

**"El Paleolític Superior i les fases de transició a l'Holocé a Catalunya : Mòdels d'evolució dels caçadors recol·lectors del Plistocé Final i l'Holocé a les Serralades Prelitorals i a la Conca del Segre "**, dirigit pels Drs. Josep M<sup>º</sup> FULLOLA ; Dra. Pilar GARCÍA-ARGÜELLES i Dra Ma Àngels PETIT (Seminari d'Estudis i Recerques Prehistòriques, UB)

Elaboració de la Memòria:

**Raül Bartroli**

**Artur Cebrià**

**Josep Mestres**

**Genís Ribé**

Treballs de direcció de les excavacions:

**Raül Bartroli (1992 i 1993) Artur Cebrià (1992 i 1993)**

**Josep Mestres (1992 i 1993) Genís Ribé (1992 i 1993)**



Dibuixos:

**Raül Bartrolí**

**Josep Mestres**

**Genís Ribé**

Fotografies:

**Genís Ribé**

**Raül Bartrolí**

Estudis i treballs especialitzats:

**Mercè Bergadà (sedimentologia i micromorfologia de sòls)**

**Jordi Nadal (macrofauna)**

Col.laboradors i Treballs de camp :

**Daniel Amigó, Albert Bacaria, Jaume Badias, Rafel Bartrolí, Lluís Bermudo, Núria Castells, Elisabeth Chimisanas, Roser Enrich, Alicia Estrada, David Farell, Jordi Ferrer, Isabel Fernández, Annabel Gamarra, Lluís Garcia, Marta Garcia, Montse Graupera, Mercé Gual, Sandra López Sergi López, Xavier Mangado, Josep Lluís Martin, Salut Marquina, Pere Masip, Teresa Nyelles, Eva Orri, Diana Otero, Alvar Piñol, Sílvia Prats, Marta Pujol, Marta Rodríguez, Soledad Sánchez, Maria Rosa Senabre, Joan Socias,**

# INDEX

<b>1.- ELS TREBALLS D'EXCAVACIÓ I DE LABORATORI.....</b>	<b>6</b>
<b>2.- L'EXCAVACIÓ DEL SECTOR EXTERIOR.....</b>	<b>18</b>
<b>2.1.-Objectius de la Programació 1992-1994: plantejament de l'excavació en extensió.....</b>	<b>30</b>
<b>2.2.- El material arqueològic.....</b>	<b>32</b>
<b>2.3.- Observacions i delimitacions estratigràfiques.....</b>	<b>47</b>
<b>3.- SONDEIG ESTRATIGRÀFIC E5.....</b>	<b>67</b>
<b>3.1. Descripció estratigràfica.....</b>	<b>67</b>
<b>3.2. Nivells IX a XII. Comença un nou cicle sedimentari?.....</b>	<b>68</b>
<b>3.3. Mostreig micromorfològic.....</b>	<b>68</b>
<b>4.- RECERCA I DIFUSIÓ.....</b>	<b>72</b>
<b>5.- INVENTARIS.....</b>	<b>83</b>
<b>5.1. Mostres de sediment.....</b>	<b>84</b>
<b>5.2. Materials arqueològics.....</b>	<b>92</b>

## PREÀMBUL

El procés de recerca arqueològica a la *Cova de la Guineu* ha sofert cinc etapes bàsiques: **a)** Sondeig '83 ; **b)** Intent d'extensió a l'interior del '88 ; **c)** Plantejament a l'exterior '89 ; **d)** Establiment de la sèrie estratigràfica *la-le* (buscant l'enllaç amb el nivell *ll interior* de la campanya de J. Mestres '83) en les campanyes de '89 a '91 ; **e)** Extensió de la sèrie descoberta a la fase anterior (per acabar el '94).

Les excavacions de 1992 i 1993 conformen en sí una unitat, en tractar-se principalment de l'ampliació de la sèrie descoberta fins el 1991. Durant aquests dos anys la sèrie estratigràfica localitzada en la part W de l'excavació (quadres **F7-9**) ha estat resseguida i ampliada, tasca encara per completar en els quadres **A** i **B**, situats entre la paret de fons i sota la volta de la cavitat (vegeu FIGURA 5) i per tant tapats pel talús format pels nivells **la** i **lb**. No s'ha profunditzat en la part més alta, en la que en el curs de la campanya passada s'arribà a la base d'**ld**, és a dir en l'excavació d'**le**. Aquest nivell es troba ara destapat en els quadres **E** i **D**, intentant preservar-lo dins del possible, i concentrant-nos en l'ampliació de l'excavació dels nivells **la-lb** fins arran paret. (segons els objectius traçats a la Programació del SERP per a les campanyes de 1992-1994).

D'aquí que seguim trobant fragments dels mateixos vasos que anys anteriors , i així completant una visió global d'aquestes ocupacions, alhora que anem fent entenedor i visualitzable la paleotopografia que correspon a cadascuna.

Per aquesta mateixa raó l'estudi preliminar de fauna no aportaria res de nou al de 1992 , i per això hem mantingut les conclusions de l'any passat.

El sondeig **E5** també ens mostra la unitat i conveniència de presentar els resultats de les dos campanyes junts per tal de que l'any que ve comencem a explicar el nou cicle, que hem començat a entreveure el 1993. El cicle sedimentari anterior abraça des del *nivell III* al *XI* , dins del sondeig però que forma part de tota la sèrie entenent-la com un sòl edàfic, tal com expliquem en les conclusions de la campanya de 1992 .

## 1. TREBALLS D'EXCAVACIÓ I DE LABORATORI

La campanya d'excavació d'aquest any 1993 s'ha desenvolupat dels dies 10 al 31 de juliol, i la preparació de la mateixa es va portar a terme els dies 8 i 9 del mateix mes. Apart dels directors, ha intervingut en l'excavació un total de 28 persones (algunes llicenciades i d'altres, la major part, estudiants tant de la Universitat de Barcelona com de la Universitat Autònoma de Barcelona), encara que la mitjana diària de participació a la *Cova de la Guineu* ha estat d'unes 8-10 persones (vegeu FOTOS 1 i 2). El mateix nombre mitjà<sup>1</sup> de persones ha excavat a la *Cova del Toixó*, en la primera fase de treball, la qual s'ha portat a terme paral·lelament a la *Guineu* i compartint les dues excavacions el mateix camp base (can Manel de l'Obaga).

Quant a la infraestructura necessària per al desenvolupament de la recerca, cal assenyalar que globalment s'ha mantingut la que ja havia estat endegada en les campanyes anteriors (sistema de corriola per traslladar els cabassos cap a l'àrea de garbell, procés de neteja i d'inventari de materials en el mateix jaciment, utilització de martell elèctric per trencar i extreure els grans blocs que apareixen en el sediment, etc.).

Durant aquesta campanya hem mantingut les instal·lacions de seguretat que vàrem col·locar durant la campanya passada; concretament, la bastida de fusta

---

<sup>1</sup>Les persones que han intervingut en el procés d'excavació, a part dels directors, han estat: Daniel Amigó, Jaume Badias, Mercè Bergadà, Lluís Bermudo, Elisabeth Chimisanas, Roser Enrich, Àlicia Estrada, David Farell, Jordi Ferrer, Annabel Gamarra, Marta García, Montse Graupera, Mercè Gual, Sandra López, Xavier Mangado, Josep Lluís Martín, Pere Masip, Jordi Nadal, Teresa Nyelles, Marc Parra, Eva Orrí, Diana Otero, Àlvar Piñol, Sílvia Prats, Marta Rodríguez, Soledad Sánchez, Maria Rosa Senabre, Joan Socias.

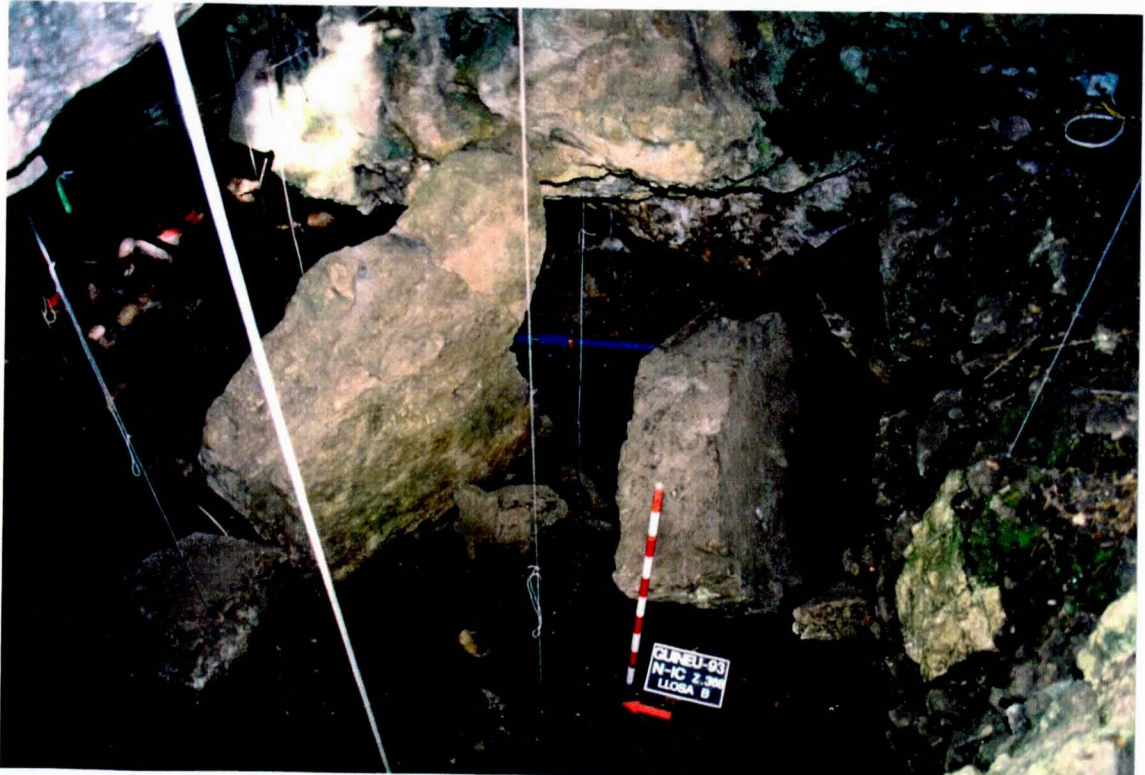
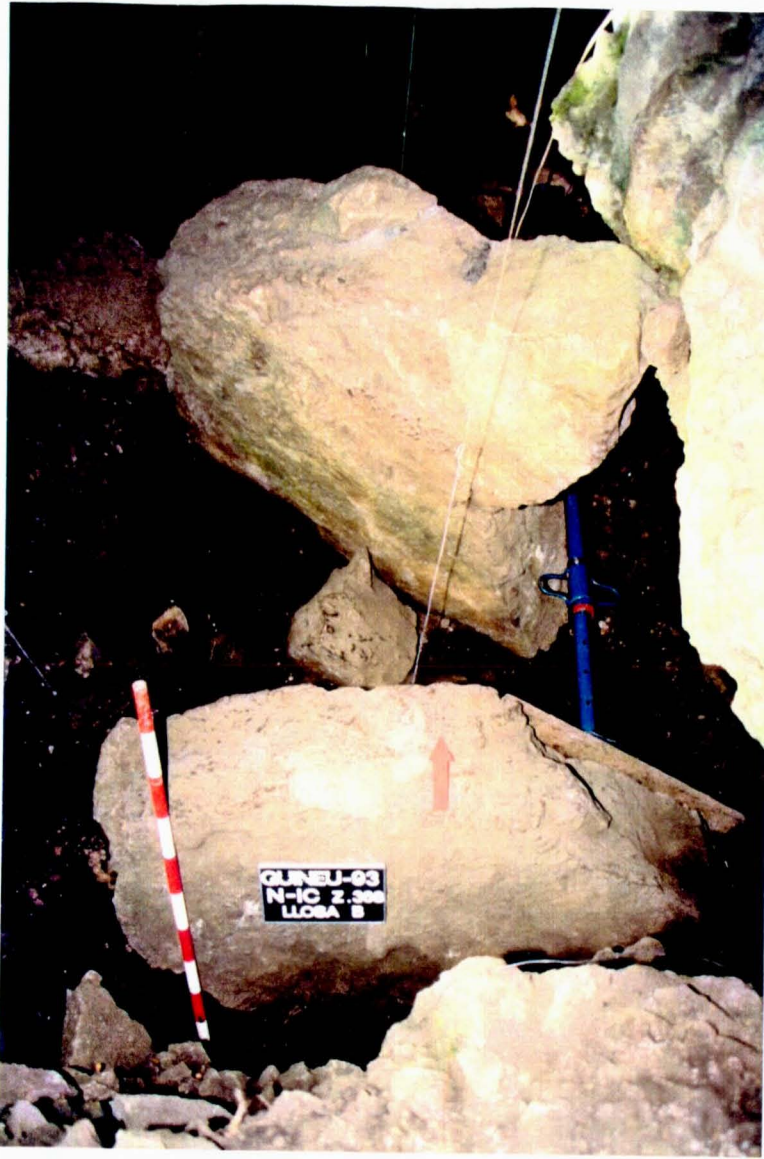


FOTOS 1 i 2. Dos moments dels treballs d'excavació de la campanya de 1993.

amb xarxa mosquitera que fixa els talls que es situen damunt el sondeig E-5 i evita la caiguda de blocs i el desmoronament de talls que fan perillós el treball al fons d'aquest sondeig (vegeu FOTO 36). De la mateixa manera, també s'ha mantingut la protecció de la seccions F-G i de la 9-10 (quadres C-E) de la zona exterior, secció amb molts blocs, amb puntals de bastida que fixen aquests blocs (vegeu FOTOS 3 i 4).

Una tasca que també ha centrat els treballs d'aquesta campanya ha estat la documentació i extracció d'una sèrie de blocs o fragments de lloses que formarien part d'una tanca del nivell sepulcral de la *Cova de la Guineu*, de la mateixa manera com s'ha localitzat a altres coves del Penedès (*Cova de la Masia, Cova del Batllell, Cova de la Font del Molinot*). Totes aquestes lloses o fragments han estat identificats (lletres A a l'E) i dibuixats molt acuradament en les seves quatre cares, a escala 1: 5, per tal de poder realitzar posteriors remuntatges (vegeu FOTOS 5 a la 11). Un cop finalitzada aquesta tasca de dibuix i després d'haber estat fotografiades, s'han extret trencant-les amb el compressor elèctric.

També hem mantingut la tasca de mostrejar sistemàticament el sediment extret (vegeu el capítol 6 i els QUADRES 1 al 6 de la present Memòria). Així doncs, hem extret mostres de la sèrie interior i exterior, a banda de les mostres preses per a l'anàlisi de la micromorfologia de sòls. Dins d'aquest camp i en col.laboració amb l'Institut Paleontològic de Sabadell s'ha fet un rentat amb aigua en una columna de garbells de les mostres de terres, bàsicament de les campanyes des de 1989 a 1992, durant el mes de març per part de dos membres de l'equip (David Farell i Jordi Nadal). Ens queda aproximadament el 50% de les restes com a reserva per a altres anàlisis.



FOTOS 3 i 4. Dues vistes de l'emplaçament original de la llosa B i del sistema d'apuntalament.





FOTO 5. Detall de la cara superior de la llosa B un cop extreta.



FOTOS 6 i 7. A dalt: emplaçament original de la llosa C.  
A sota: cara inferior de la mateixa llosa abans de procedir a la seva documentació gràfica i a la seva extracció.



FOTO 8. Emplaçament in situ de les llosets D i E.



FOTOS 9 i 10. Detalls de diferents angles de la llosa D en el seu emplaçament original.

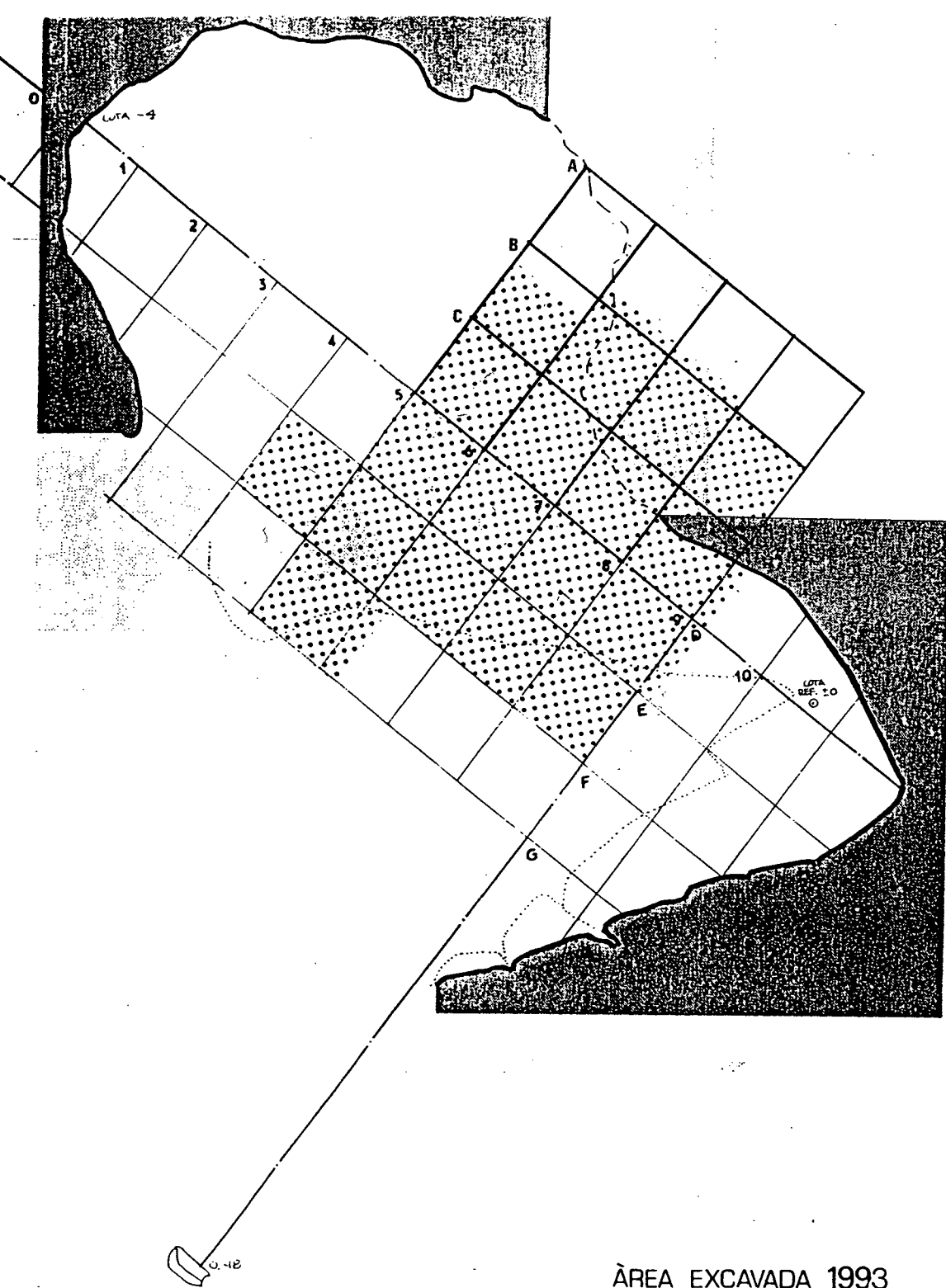


FOTO 11. Detall de la cara superior de la llosa E, en context primari.

Peri que fa a la superfície d'excavació al sector exterior, cal assenyalar que durant aquesta campanya s'ha ampliat l'àrea excavada: s'han obert els quadres **A7, A8, B6** (vegeu FIGURA 6), **C10** i **D10**, així com s'ha entrat en tota la part est dels quadres **B7-8-9** (vegeu FIGURA 1). Quant al sector interior, també hem continuat baixant el Quadre - Sondeig **E5**, el qual, al final d'aquesta campanya, ha estat aprofundit aproximadament uns trenta centímetres més, i amb la qual cosa s'han localitzat dos nous nivells estratigràfics ( *XI* i *XII* ).

Una altra tasca que hem desenvolupat durant aquesta campanya ha estat la finalització de la introducció total de les dades d'excavació i d'anàlisi al banc de dades informàtic de l'Equip Guineu. Respecte a aquesta qüestió, quedaven pendents encara la conversió i introducció de dades provinents dels primers treballs d'excavació a la *Cova de la Guineu* (anys 83 i 88 i remenats interior i exterior).

FIGURA 1. Planta de l'àrea excavada  
durant la campanya de 1993.

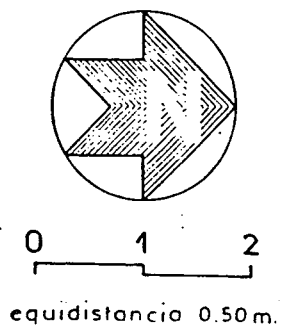


ÀREA EXCAVADA 1993

# COVA DE LA GUINEU

FONTRUBÍ

ALT PENEDE'S





## 2. EXCAVACIÓ DEL SECTOR EXTERIOR

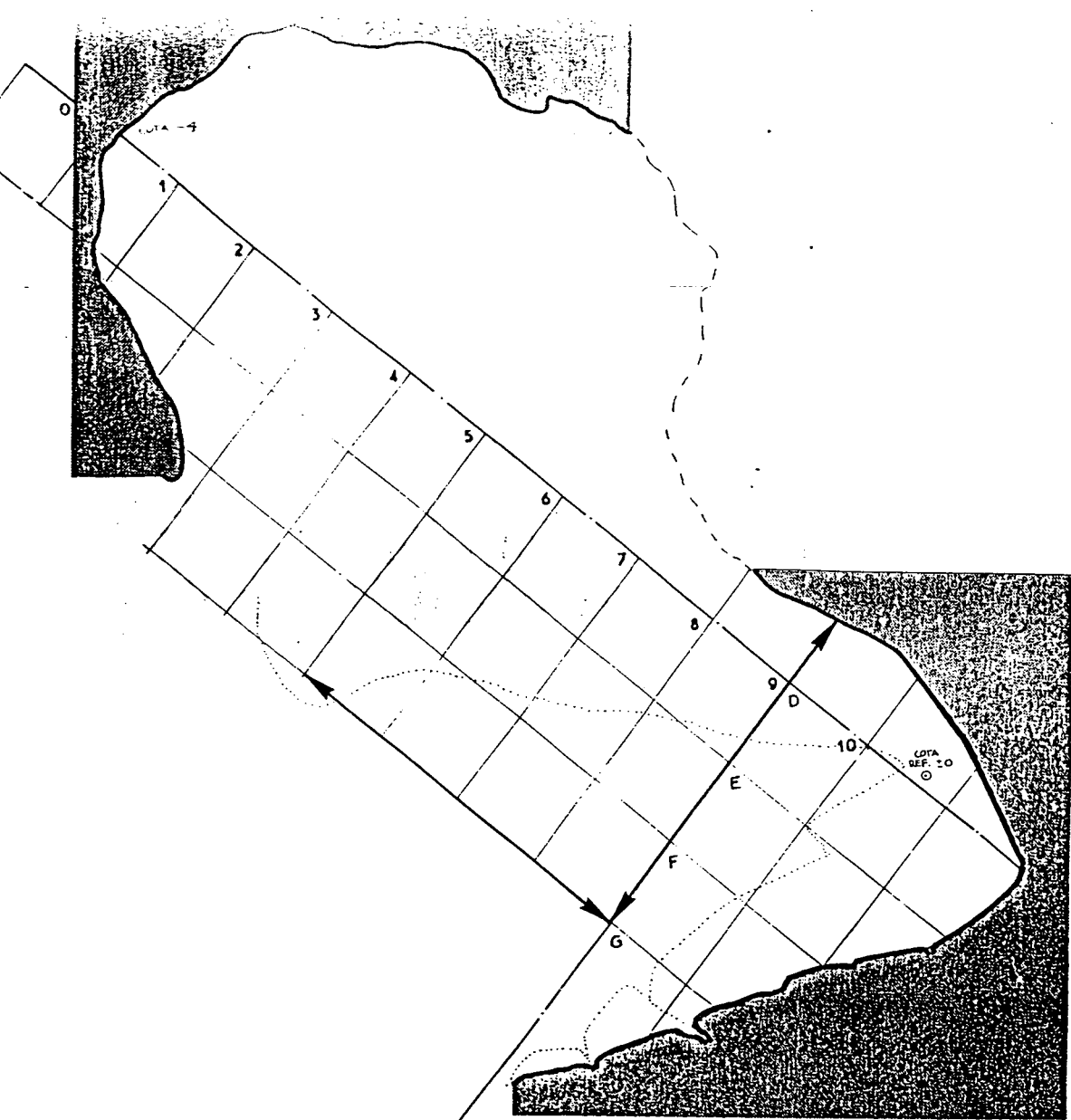
Com hem assenyalat al preàmbul estem fent una habilitació per a poder excavar en extensió, i no podem afegir en el sector exterior cap nova fase segura a la columna estratigràfica definida des del '91. En tot cas, assenyalar que en el sector **C9-D9** es dóna una potent estratificació del nivell *Ic* que, combinat amb el graó que fa el *nivell Id* en la part E de **D9** (vegeu FIGURA 3 i FOTOS 38 i 39), fa que apareguin ceràmiques del *Bronze final* a cotes certament profundes (380 cm). Les conclusions són força provisionals però pensem en la possibilitat de dues fases dins del nivell *Ic*, en tot cas una zona amb més gruix de nivell com a conseqüència d'un rebaix antròpic, o producte del pas. L'accés a l'interior de la cavitat sembla condicionat per la caiguda del gran bloc de sostre, i des d'aleshores fins el moment de la nostra arribada s'accedeix per la zona dels quadres **9**.

Cal destacar alguns aspectes concrets :

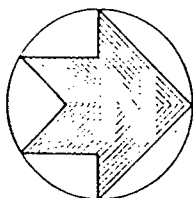
**- la complexitat de la separació de dos conjunts diferents (*interior* i *exterior*) i que no acabem de correlacionar sedimentàriament, ja que sí culturalment.**

Per una banda hem estat observant des de 1989, l'anomenat *Sector Exterior*, que hem baixat tres metres i mig i escaig, i que a final de l'última campanya ja empalma per cotes absolutes amb el *Sector Interior*. La seva superfície abraçaria des de la línia dels quadres **11** i **12** - per excavar- fins aproximadament, i amb variacions a cada quadre, a la meitat S de la línia dels 6 (vegeu FIGURA 1).

FIGURA 2. Situació dels talls  
estratigràfics en planta.



TALLS ← →



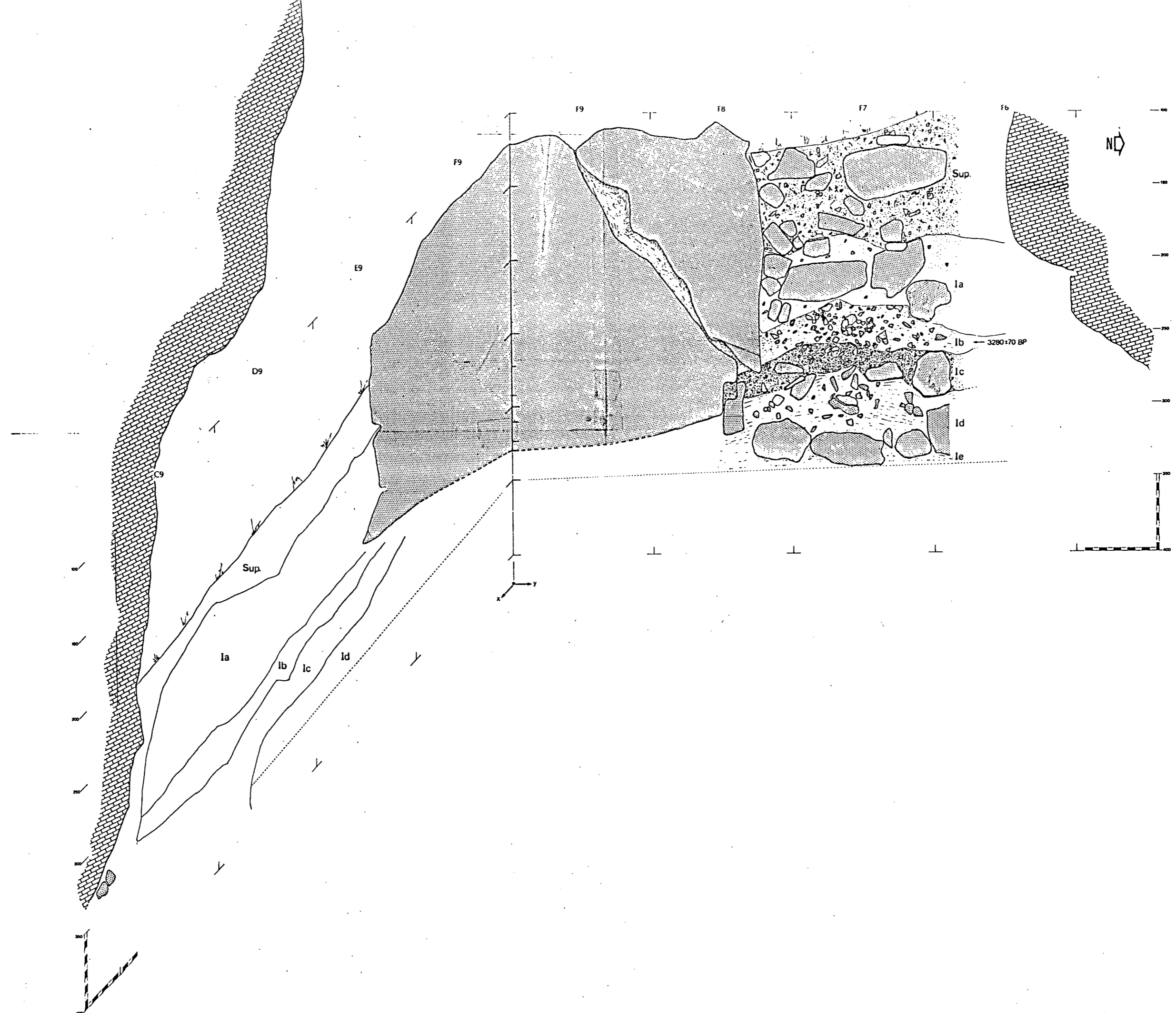
0 1 2  
cauidistancia 0 50m

# COVA DE LA GUINEU

FONTRUBÍ

ALT PENEDÈS

FIGURA 3. Talls F/G (nord-sud) i  
9/10 (est-oest).



Per *Sector Interior* anomenem tot el sediment sota la volta de la cavitat, deixant aquesta en principi indelimitada frontera de la visera, que després d'excavar delimitem de la part N de la línia dels quadres 6 fins la paret de fons 1 i O segons els quadres.

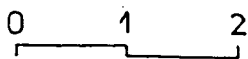
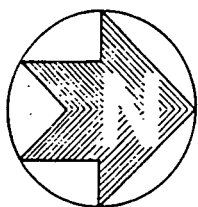
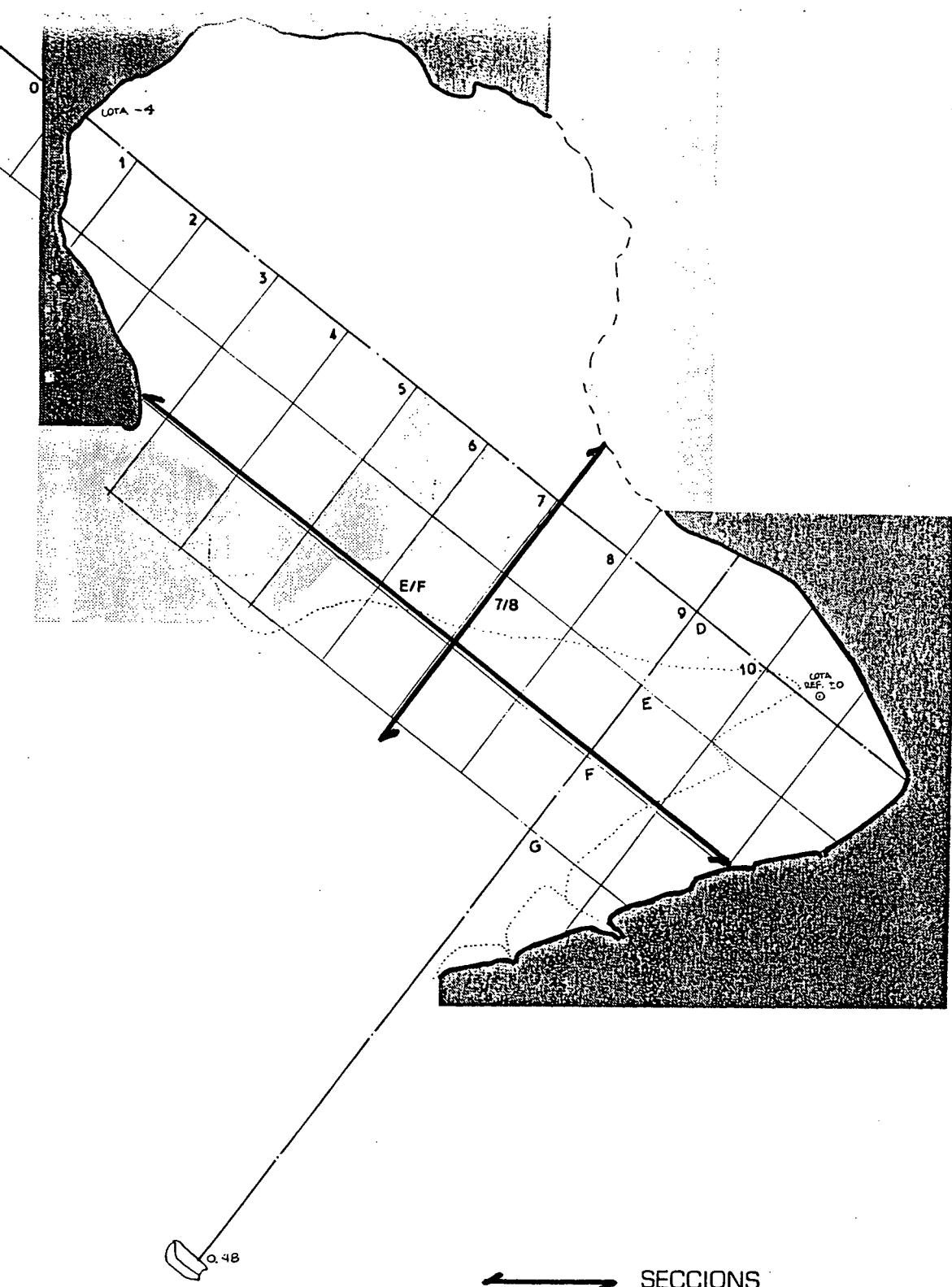
- la visualització de les grans pendents cap al NE (vegeu FIGURES 3 i 5).

- la identificació d'un nivell de caiguda de blocs damunt del *nivell Id*, coetània a la caiguda del gran bloc de sostre (quadres D a G 10-12) que descansa sobre el nivell *Id* (vegeu FIGURA 3)

- Alguns d'aquests blocs s'aprofiten o es transformen per a fer un mur de pedra seca o ser clavats verticalment, per tal de tancar i delimitar l'accés a l'interior de la cova, d'ús funerari en aquells moments (com a mínim des del *Bronze antic*). De moment n'hem localitzat 5 (batejades de l'A a l'E) de segures (vegeu FOTOS 3 a 11). Per a documentar-les hem desenvolupat una metodologia específica ja explicada al capítol anterior.

Així mateix, afloren en *Id* blocs de grandària generalment més petita que les lloses de tanca funerària, amb alteracions de superfície prou específiques, i encastats dins del nivell *Ie* (*Neolític antic cardial*) o del sotsjacent, podent-se confirmar la primera percepció de 1983, en el tall C5-D5, (vegeu Memòria de la campanya de 1983, p. 32) d'una caiguda de blocs damunt del contacte estratigràfic entre II i III.

FIGURA 4. Situació de les seccions  
en planta.



# COVA DE LA GUINEU

FONTRUBÍ

ALT PENEDES



FIGURA 5. Secció E/F. Seqüència global del jaciment, amb l'estratigrafia del sector exterior (simplificada) i la de l'interior (sondeig E5).

FIGURA 6. Secció 7/8 on destaca l'ampliació dels quadres en procés d'excavació (A, B i C).

## **2.1. Objectius segons la Programació de 1992-1994: plantejament d'una excavació en extensió.**

La transformació, en el Sector Exterior, dels objectius de la recerca des de que ens plantejarem la seva obertura, ha estat contínua. Buscàvem una sèrie cronoestratigràfica que ens permetés entendre la seqüència superior de l'interior de la cavitat que l'acció dels clandestins, i segurament la de molts segles de caus de bèsties, havien malmès i regirat notablement. Per a això es plantejà una cala de 2 m (lletres D i E) x 3 m (números 7-8-9) que empalmés amb els quatre quadres principals oberts el '83, ampliant quan es pugués sota la volta als quadres 6. En obrir-los el gran nombre de blocs mitjans i grans ens féu ampliar una nova línia buscant un tall segur en què es recolzés l'excavació.

Però l'interacció entre el registre i l'equip d'excavadors ha fet que per entendre millor les distribucions de materials anéssim buscant estendre'ns per tal de reconstruir les complicades pendents, entendre les superposicions de nivells, remuntar el material i entendre l'ús de la cavitat en base a la seva paleotopografia sincrònica -que haurem de reconstruir nosaltres-. A més, la formació geològica amb un brusc gir de la volta producte de la formació de la cavitat per erosió diferencial, fa que aquesta tingui pràcticament una aresta en angle recte. En pocs centímetres al estendre's l'excavació es passa a guanyar alguns metres, canviant per la pendent a nivells superficials.

No és freqüent en jaciments amb sedimentologia complexa, que ajunta factors de dinàmica de vessant, dissolució, inundació, caiguda de blocs (deguda a la sismicitat, en part al menys ) que l'equip d'excavadors pretengui esbrinar més enllà de l'establiment de l'estratigrafia de base. Des d'un primer moment es dibuixaren els blocs de més de 20 cm a 1: 10, i en adonar-nos de possibles

distribucions d'origen antròpic passarem a una nova escala de treball, més precisa i gran : E1: 5. La descoberta fa dos campanyes d'arranjaments de blocs com a possible tanca de la cavitat , s'ha anat mostrant com a més i més viable, i provocat l'ús de noves eines i sistemàtiques com ja hem explicat al capítol 1. Enguany la cristallització del concepte de tanca ens ha portat al d'accés (és a dir no s'entra per qualsevol banda sinó per un lloc determinat que fa les vegades de porxada natural) el que ens obliga a treballar en una zona no programada inicialment (quadres **C-D 10-12** ).

No es tracta només de guanyar en superfície sinó a més plantejar àmbits, usos d'espais, distribucions sedimentàries i interrelacionar-ho. La dificultat més seriosa es troba en la pendent de l'estratigrafia que fa molt difícil que l'excavació es mogui en uns paràmetres estrictes de sincronia , ja que la diferència de cotes és molt gran entre **F i A** , entre **9 i 6** .

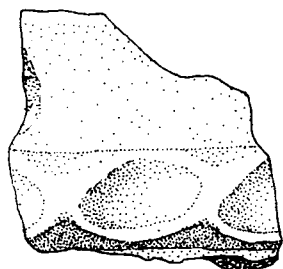
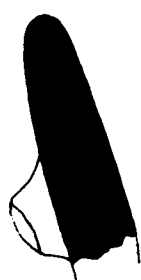
## 2.2. El material arqueològic

Els materials que han aparegut aquesta campanya són emmarcables dins del context d'anys anteriors: ceràmica molt fragmentada en les parts més estratificades, més sencera entre els blocs de sota la volta. També apareix indústria lítica més clara i abundant quan més profunditzem. És a dir, pràcticament inexistent a *la*, comença a haver alguna peça sense restes de talla a *lb*, i peces més complexes i amb restes de talla en el contexte funerari de *lc*; en el terreny on s'ha rebaixat *ld* és francament menys present i molt més alterada la ceràmica i augmenten molt les peces lítiques, apareixent per primer cop el misteriós "material silici", més present als nivells sotsjacents, la procedència del qual encara no hem sabut identificar.

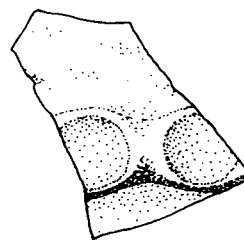
### 2.2.1. La ceràmica.

La revisió preliminar dels materials ceràmics recuperats en aquesta campanya ens permet destacar :

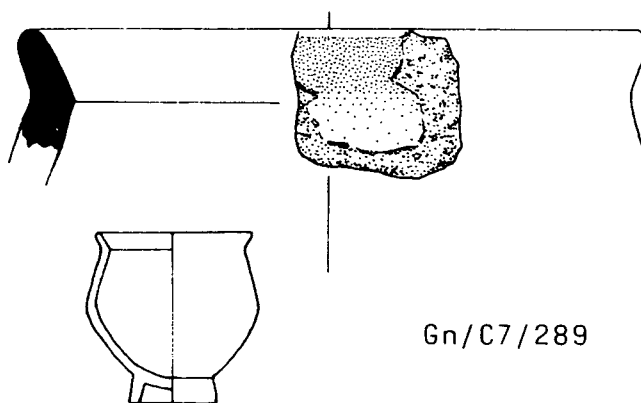
- Amb l'excavació en extensió s'han exhumat materials de sectors de talús-blocalla solta-espais "no estratificats", sense sediment, on es tornen a detectar elements ceràmics elaborats a torn: terrissa moderna (**A7, D9, C8...**), grisa medieval (**B7...**), campaniana d'època ibèrica (**B7...**), fragments d'un vas, probablement amb peu anular (C7/289; vegeu FIGURA 7) i vasos amb cordons digitats (vegeu FIGURA 7) del tipus a l'aparegut en el nivell *la* (vegeu Informe 1990, fig. 6, p.269, **C7,...**).



Gn/D9/674



Gn/C9/602



Gn/C7/289

0 3 cm

FIGURA 7. Materials ceràmics del Bronze final/Ferro I.  
El fragment C9/602 podria pertànyer a un moment més tar-  
dà (Ibèric antic?).

Del *Bronze final* tenim una urna bicònica, i vora convexa exvasada, (vegeu FIGURA 8 ) probablement carenada i de base plana, al ser asimilable aquesta forma dins de la **forma I**<sup>2</sup> dels *campes d'urnes antics del NE* , amb superfícies brunyides i decoracions amb acanalats de semicercles al coll i rombos a la carena. Podria ser també una forma intermitja amb la del camps d'urnes recents .Trobaríem els principals paral·lels a *Can Missert* , segons J. Mestres, del *Bronze Final I* , formant motius complexes .

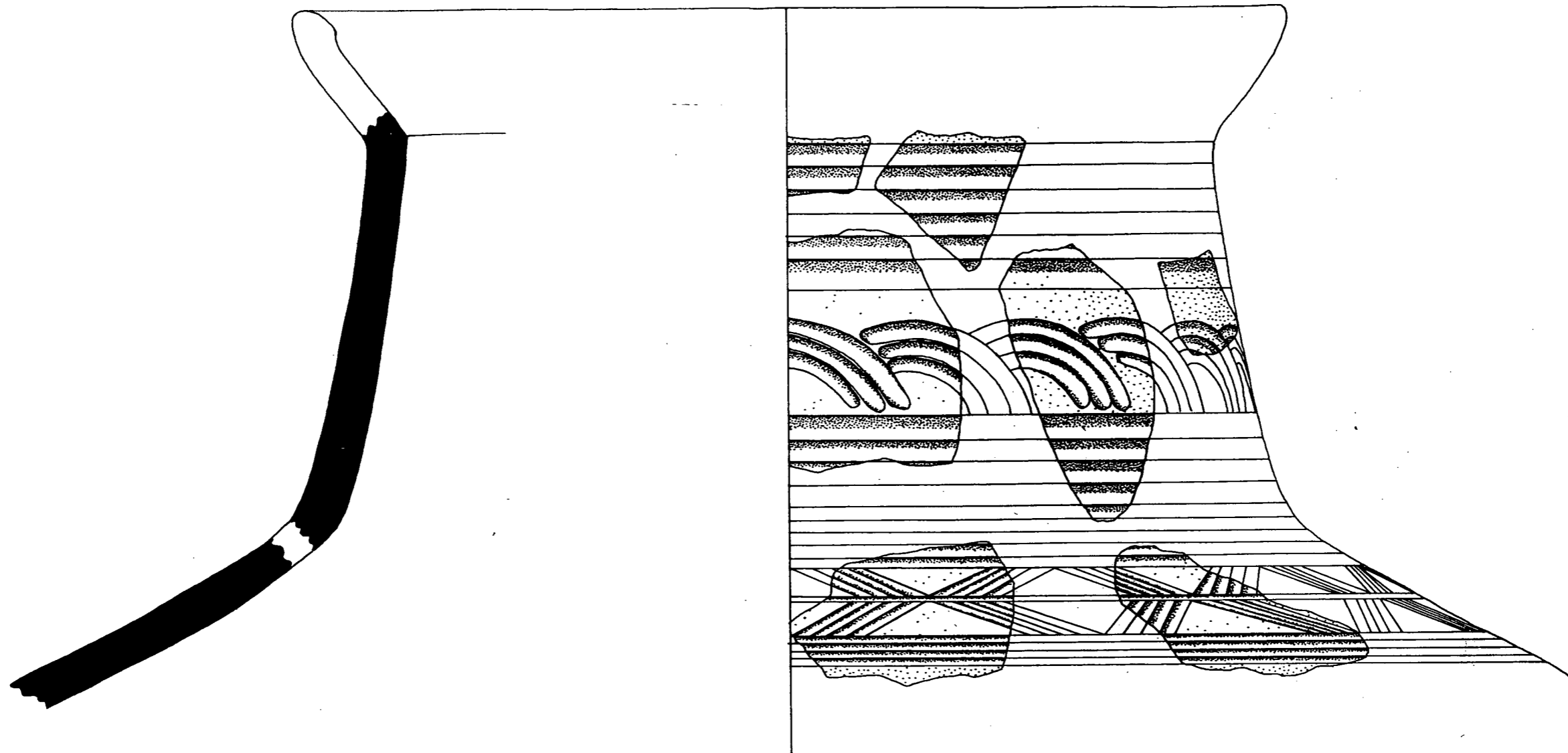
Tot i el problema de distingir les cronologies per la difícil lectura estratigràfica, en total hem identificat més d'una vintena de peces pertanyents als tipus "bols" i "vasets carenats", de cronologia, però, molt ampla i imprecisa.

- L'aparició, en els quadres **B7, C7, C8, C9, D6, D8, E6, E7**, entre d'altres, de conjunts atribuïbles al *Bronze antic-mitjà* , majoritàriament doncs pertanyents al que serien els nivells *Ib-Ic* , i al *Bronze final* , en menor grau (*nivell Ia* , percolacions *Ib* ). Entorn del *Bronze mitjà*, potser *final* , trobat en un context de blocs solts ( *Ia/Ib* ) serien materials amb les superfícies rugoses (B8/156-157-158) (vegeu FIGURES 9 i 10), a més de recipients llisos de dimensions mitjanes-petites (bols, vasos carenats...), decoracions digitals, etc. (vegeu FIGURES 11 a la 13).

- Ha sortit un fragment de fang cru a D6/144.

- Han continuat apareixent fragments dels vas i del bol campaniformes documentats en campanyes anteriors. En el cas del vas, començat a exhumar el 1991 (vegeu *Informe de la campanya '91*, fig.8, p.33), hem extret un nou fragment: C9/720. Per al bol campaniforme de 1992 (vegeu *Informe*

<sup>2</sup> Segons RUIZ ZAPATERO,G. *Los campos de urnas del NE de la Península Ibérica* , Madrid, Ed. de la Univ. Complutense, 1985.p.-716-730, figs. 213 i 216.



Gn/B7/110  
GN/C6/41-42, 53 i 59  
Gn/E6/181

0 5 cm

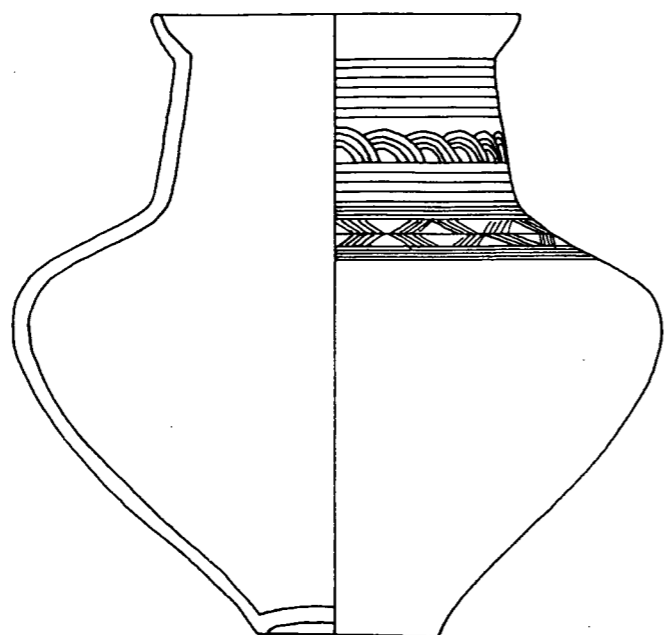
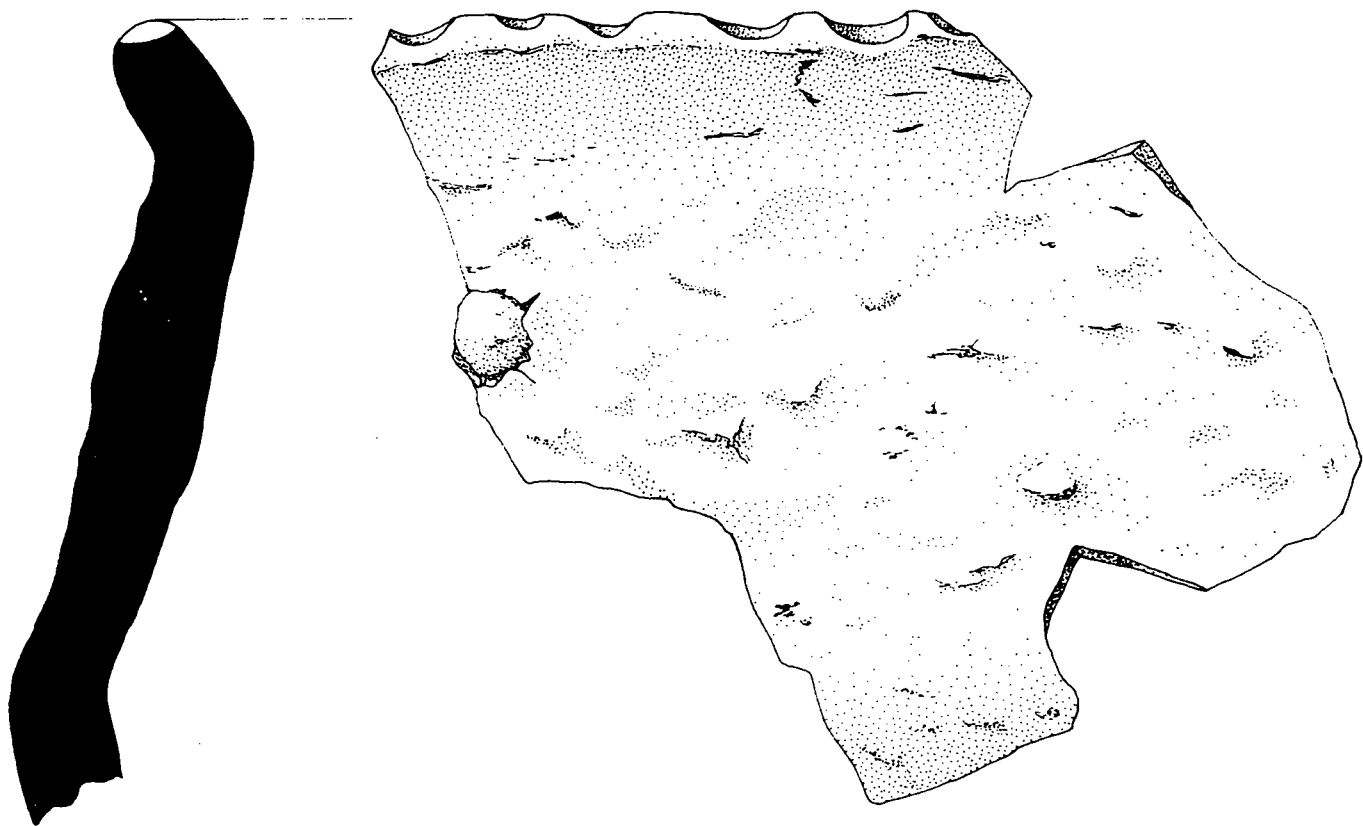


FIGURA 8. Varis fragments decorats amb acanalats, pertanyents als nivells Ia/Ic-talús, han permès de reconstruir part d'una urna del Bronze Final.





Gn/B8/156-158

0 3 cm

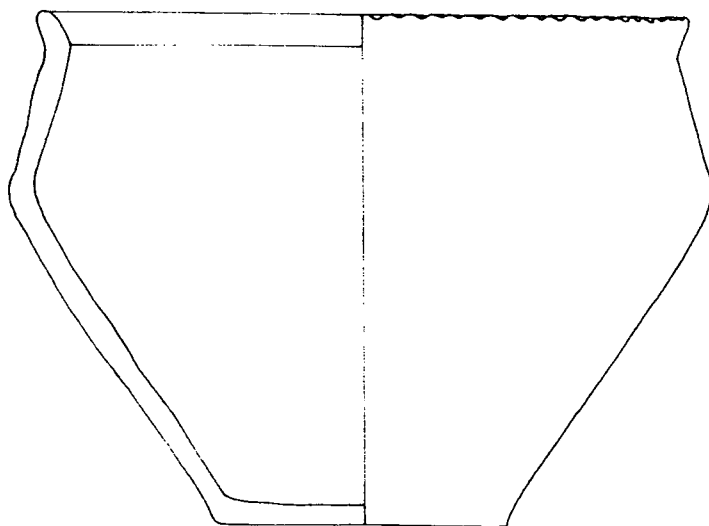
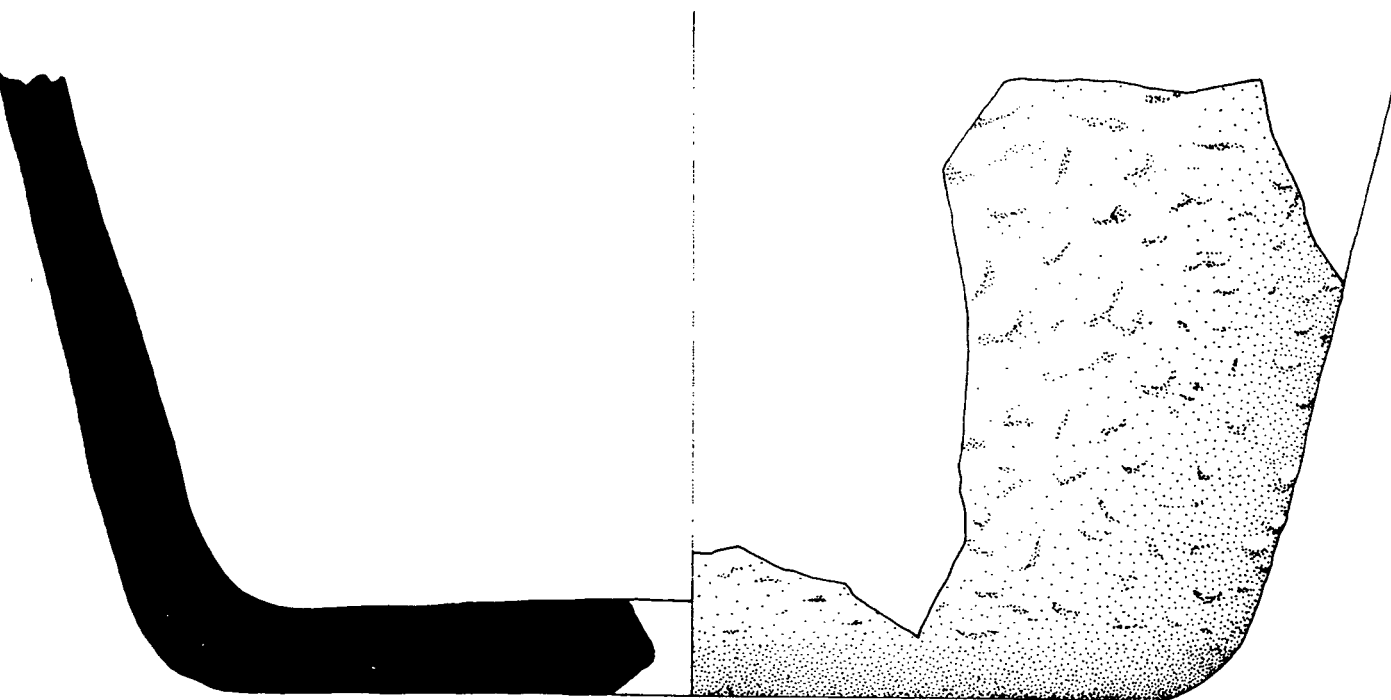


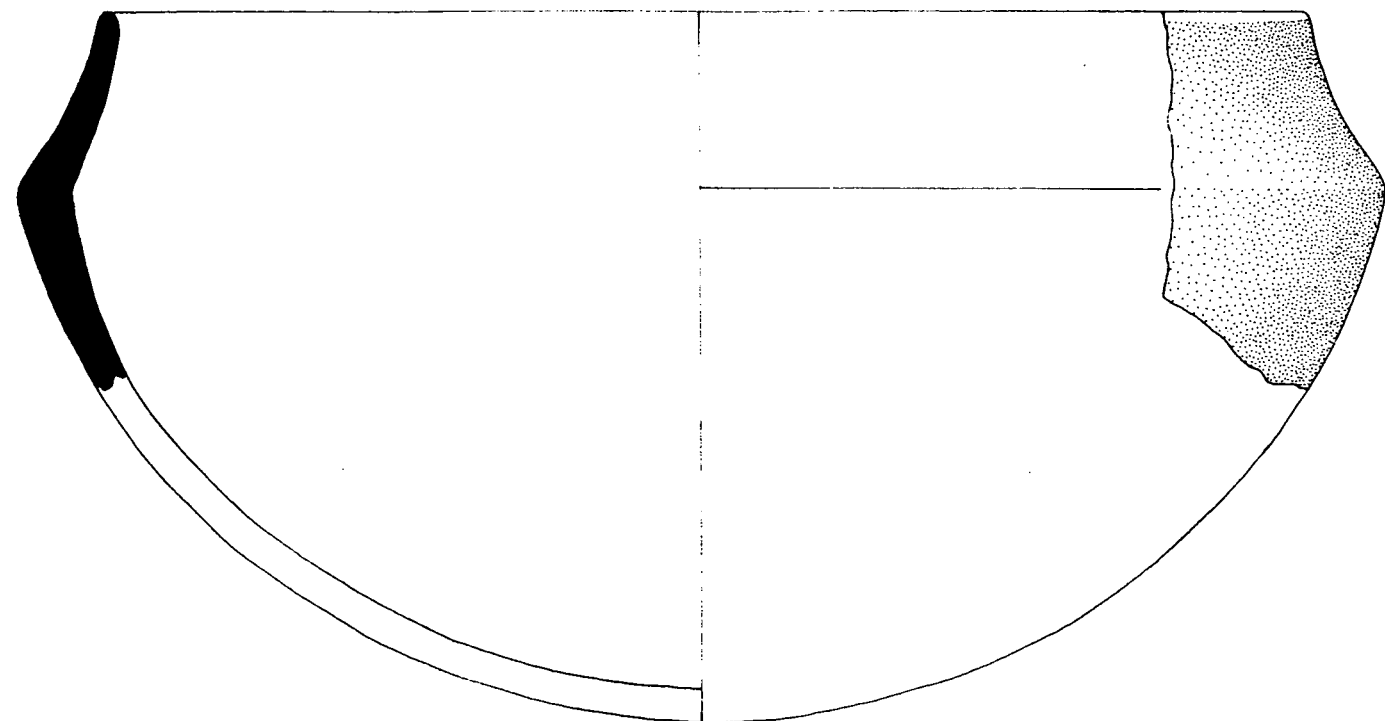
FIGURA 9. Fragment d'un vas de superfícies rugoses amb vora digitada, de cronologia per determinar (Bronze mitjà-final ?).



Gn/B8/711 i 86  
Gn/C8/125

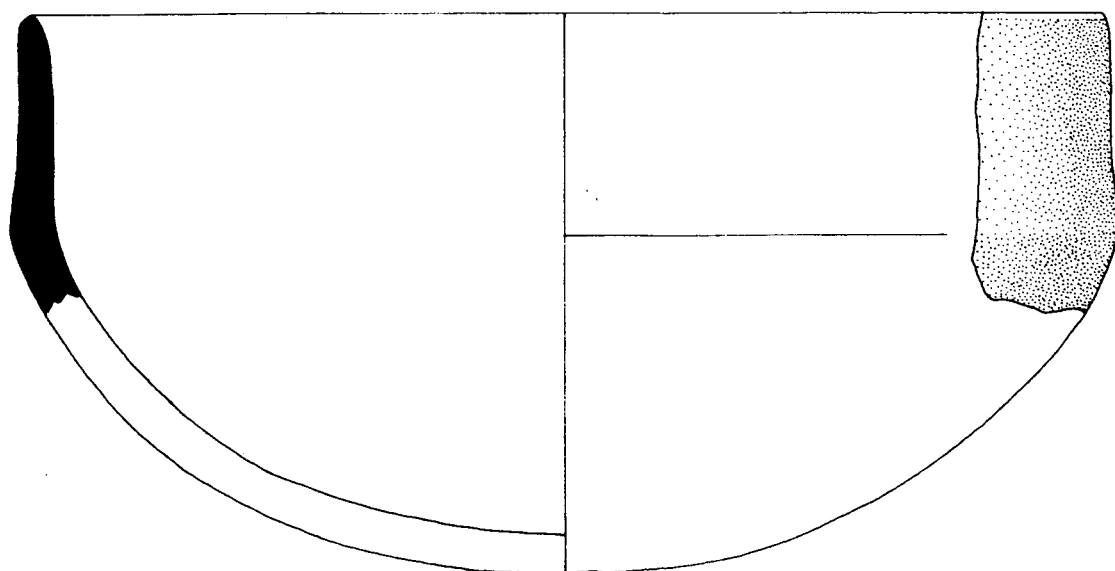
0 3 cm

FIGURA 10. Fons pla d'un gran recipient de superfícies rugoses, atribuïble al Bronze mitjà.



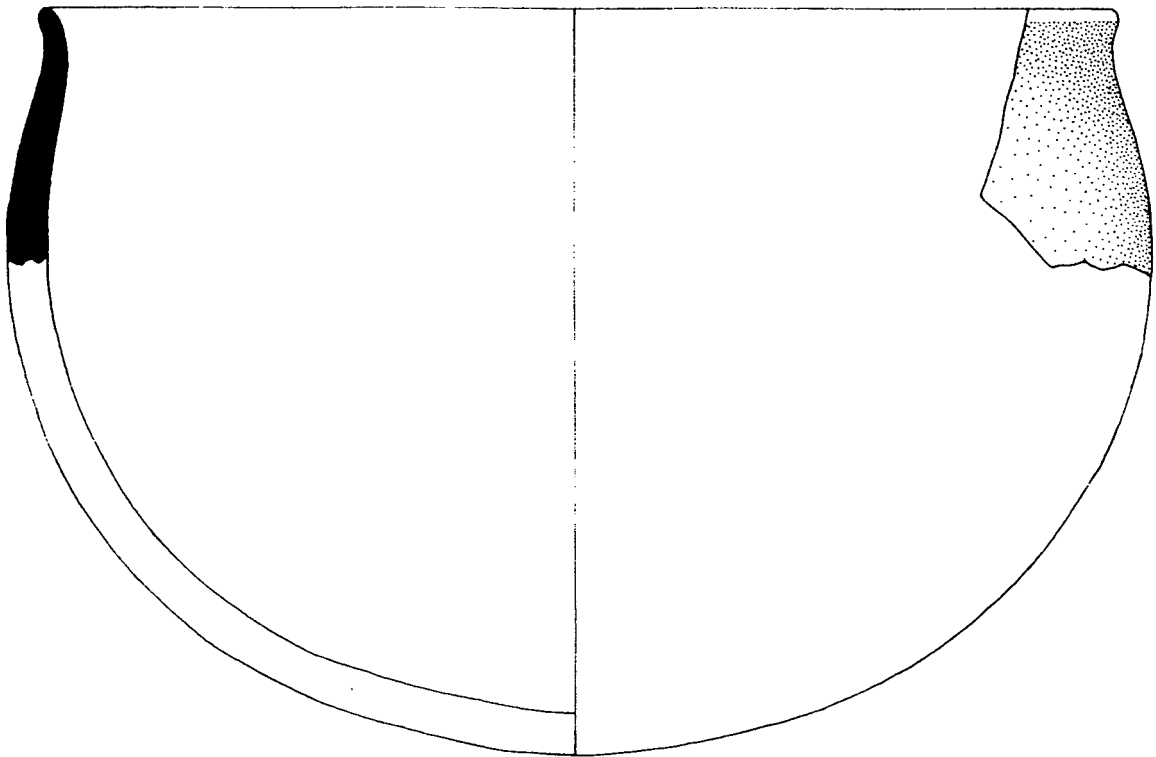
Gn/C9/686

0 3 cm



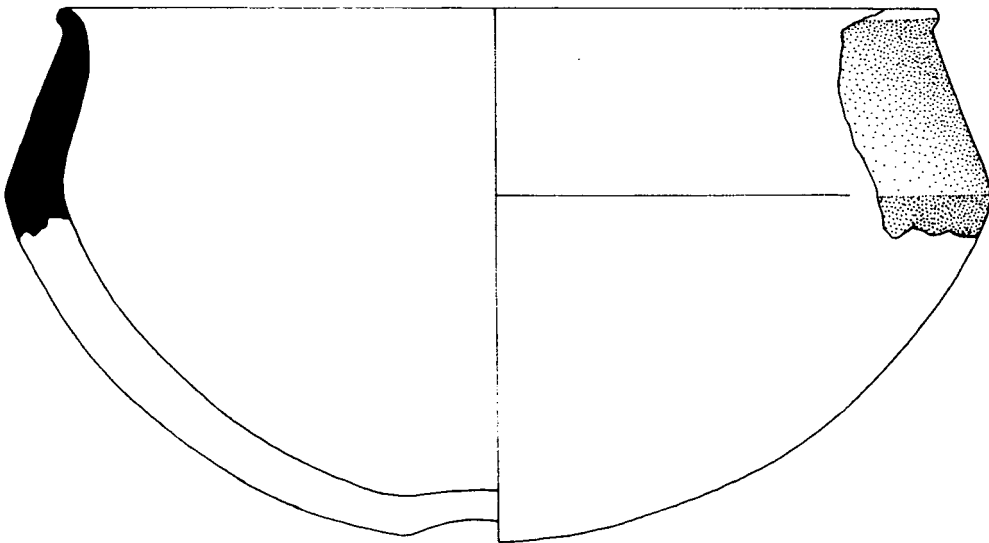
Gn/C9/531

FIGURA 11. Formes carenades del Bronze antic-mitjà.



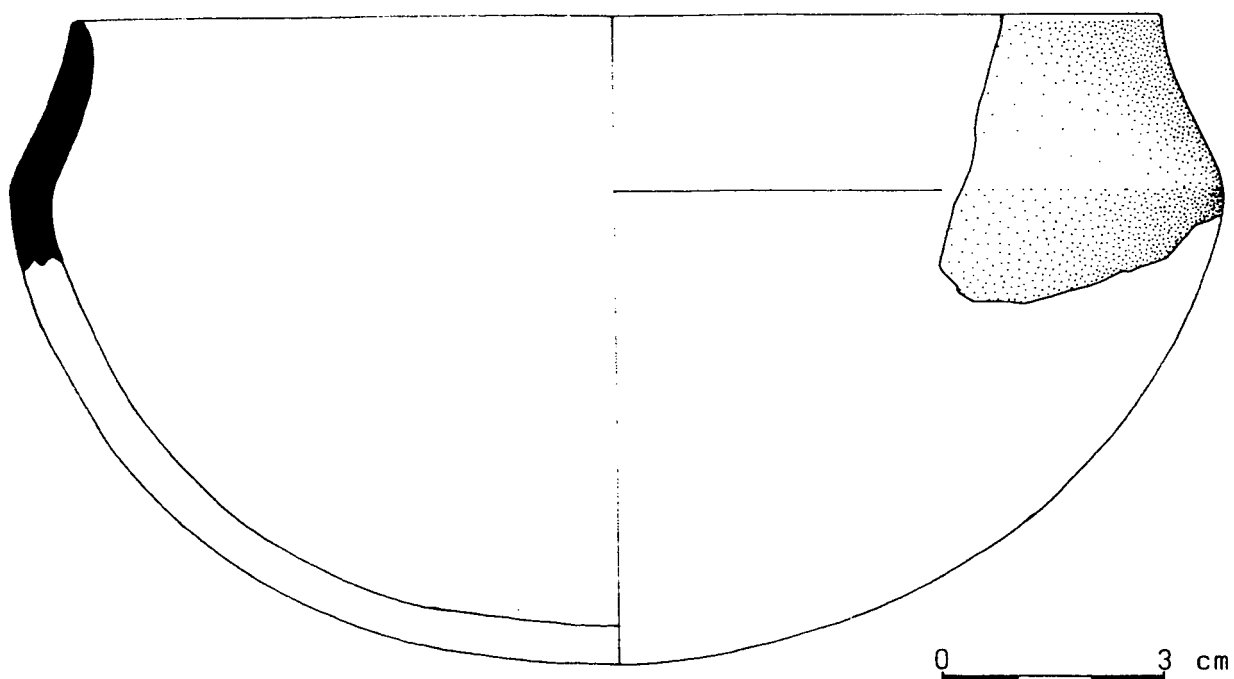
Gn/B7/212

0 3 cm



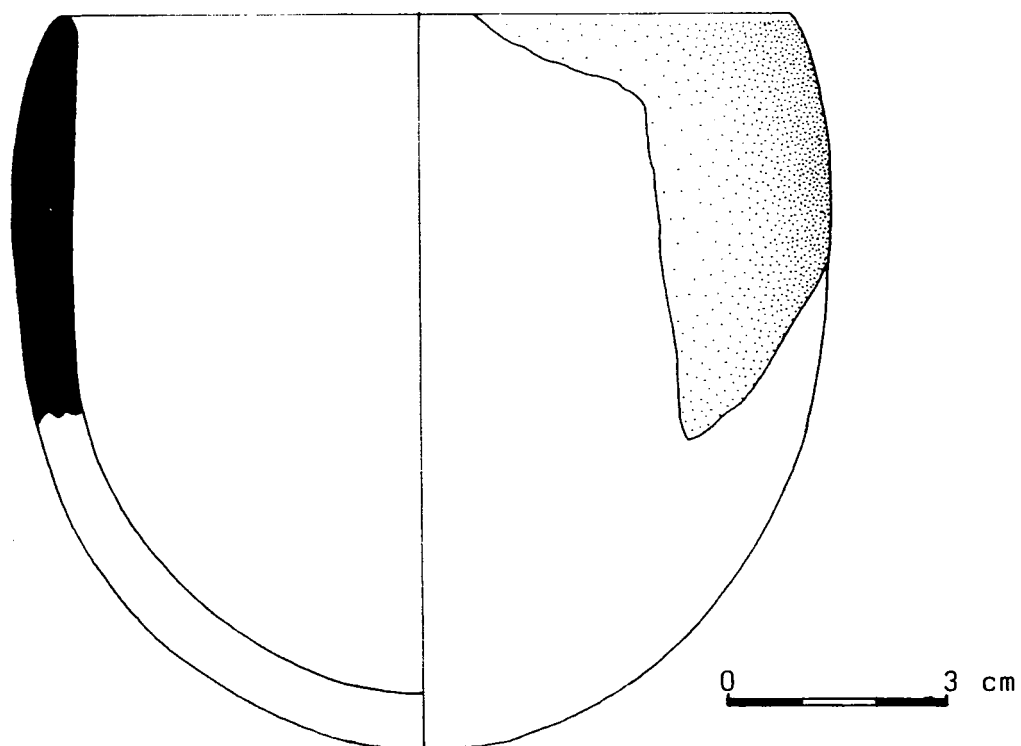
Gn/C9/625

FIGURA 12. Vaset globular i vaset de carena alta, atribuïbles al Bronze mitjà.



Gn/C8/172

FIGURA 13. Dalt: Bol de carena alta atribuïble al Bronze antic-mitjà. A sota: Vaset llis atribuïble al Bronze antic-mitjà (?).



Gn/07/582 i 585

campanya '92, Fig.9, p.35 ) han sortit : C9/549, 730 i D9/754. Això ha permès de refer el dibuix de la peça del bol de l'any 92, que amb els nous fragments dóna un perfil més tancat en la boca (vegeu FIGURA 14).

- S'identifiquen, clarament, ceràmiques amb les superfícies raspallades i algunes decoracions amb cresta característiques del *Neolític antic evolucionat*; malauradament en context estratigràfic dubtós (E6/170, B8/183, D8/558...). Més segur és el cas de D9/788 (vegeu FIGURA 15) que aparegué en l'interior del graó (vegeu FOTO 23) que fa el nivell *1e* en la part W del quadre D9 .

### **2.2.2 La indústria lítica**

El nombre de material industrial lític recuperat durant la campanya d'enguany ha estat relativament elevat, donat el contexte concret del que és el jaciment, tot i que, però, la majoria de peces del conjunt són petites ascles o fragments de sílex que ens aporten poca informació del procés d'elaboració tècnica o d'especialització tecnològica de les comunitats que analitzem.

Entre tot aquest conjunt, però, destaquen una sèrie de peces que sí que són singulars per la seva realització i perquè ens permeten fer alguna inferència respecte al procés de configuració industrial lítica. Aquestes peces són les que describim a continuació :

- Un ganivet de sílex amb retoc pla bifacial (vegeu FIGURA 16, núm. 1), del qual se n'han recuperat dos troços que enganxen dels quatre possibles troços en què segurament es trencà aquest estri. Aquest fou recuperat al quadre E6 i la seva referència d'inventari és Gn/E6 167-

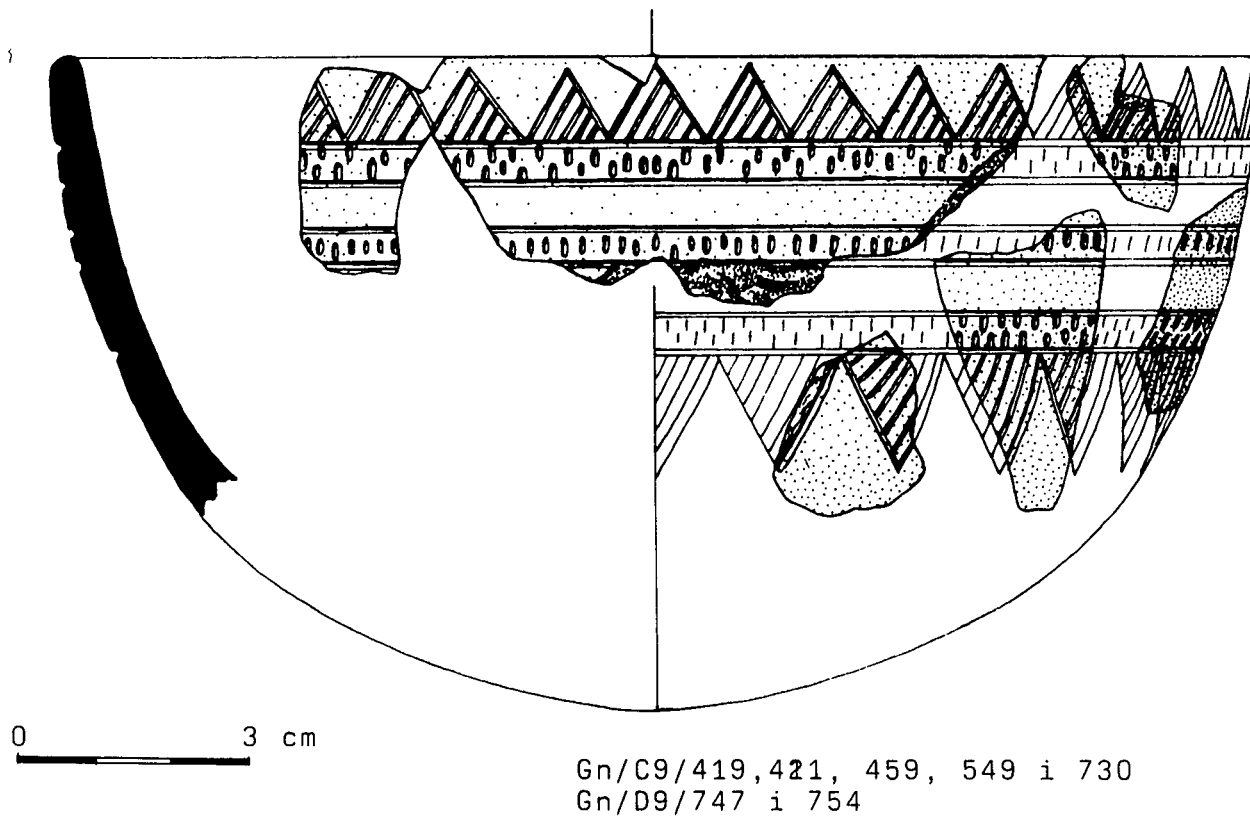


FIGURA 14. Nova reconstrucció del bol campaniforme, d'estil incís-imprès, els fragments del qual s'han localitzat entre les campanyes de l'any 1992 i la d'enguany.

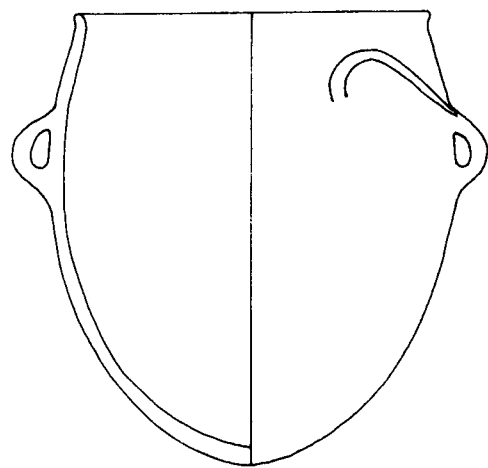
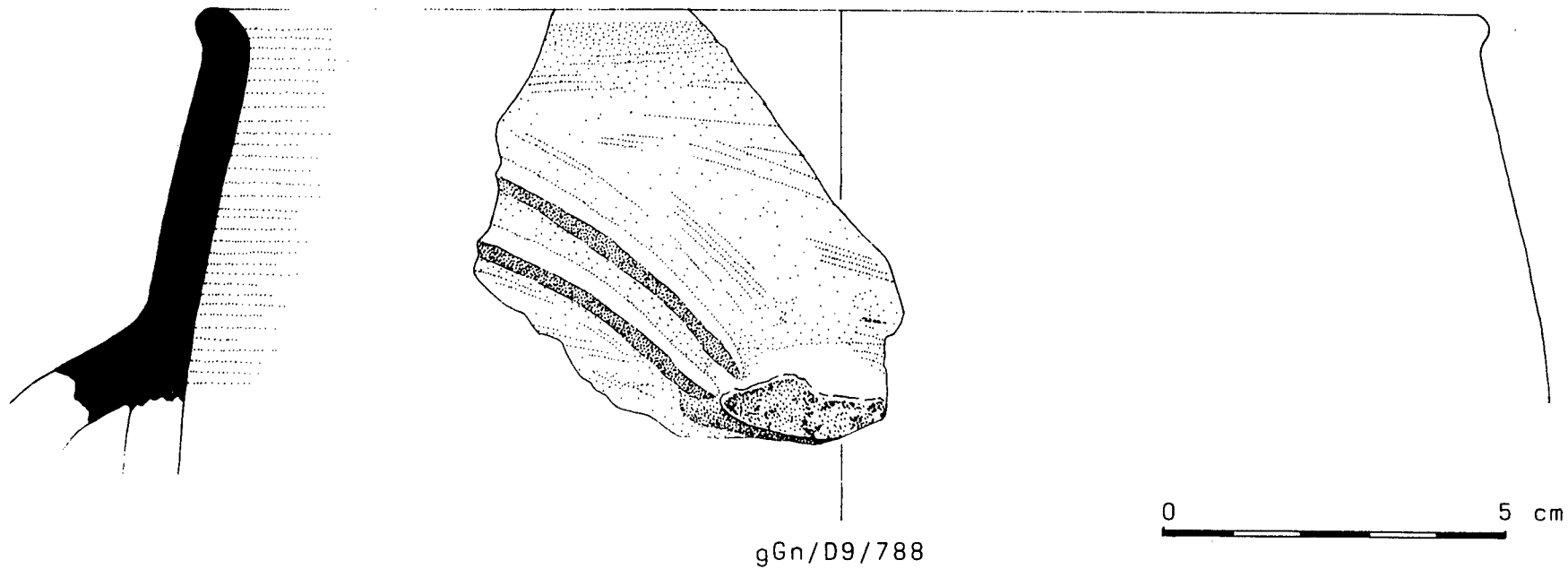


FIGURA 15. Vora amb arrancament de nansa i decoració amb crestes, pertanyent a una gerra característica del Neolític antic evolucionat.



171. El context estratigràfic en el qual se situa aquesta troballa està entre el nivell *Id* o *Ie*, és a dir, entre el nivell *NAE* o *NAC*, tot i que no es descarta que s'hagi pogut produir alguna alteració estratigràfica ja que en aquesta zona de la troballa es configura el talús estratigràfic. Deixant de banda, però, aquesta qüestió, una de les característiques que es desprèn de l'anàlisi d'aquesta peça és que està elaborada sobre un sílex d'origen tabular, molt prim, l'àrea font del qual no el coneixem. No cal descartar, però la seva possible procedència penedesenca, amb nombrosos afloraments de sílex, tot i que nosaltres només en coneixem de nodulars no com els del context geològic triàssic de la *Serra del Bolet-Font-rubí*. Tenim un altre jaciment amb estratigrafia semblant en la qual també sortí un sílex tabular la *Cova de la Font del Molinot*<sup>3</sup>, atribuït al *nivell 2 superior* per Mestres<sup>4</sup>.

- Una làmina de sílex retocada amb un retoc denticulat (vegeu FIGURA. 16, núm. 2). Aquesta peça, també trencada i incompleta, ha estat recuperada al quadre **D9**, i el seu número d'inventari és el següent: Gn/D9 697-777. Es tracta de dos fragments de làmina que enganxen, i sobre la qual s'hi ha desenvolupat una acció de configuració mitjançant un retoc denticulat en una de les seves arestes. El tipus de matèria primera, sílex, és de gra molt fi, de molt bona qualitat; com en el cas anterior també desconeixem si aquest tipus de matèria primera es troba en algun aflorament penedesenc o si bé la seva àrea font es trobaria

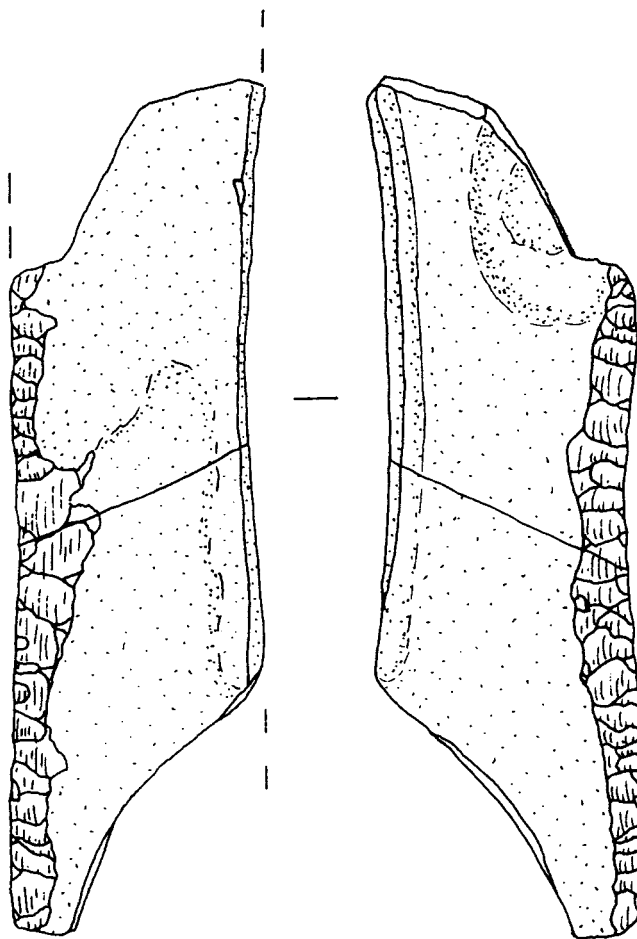
<sup>3</sup> MASACHS, J.Ma. "Valldossera-Pontons, una zona bien delimitada de la cultura en el alto Penedès". Dins *XIV Congreso Nacional de Arqueología, Vitoria, 1975*, Saragossa, 1977, Lám.II.

<sup>4</sup> MESTRES, Josep. *La Cova del Molinot y sus materiales arqueológicos*. 2 vols. Barcelona: Tesi de Llicenciatura, Universitat de Barcelona, juny 1979.

molt més enllà de terres penedesenques (amb tota la sèrie d'implicacions que això comportaria).

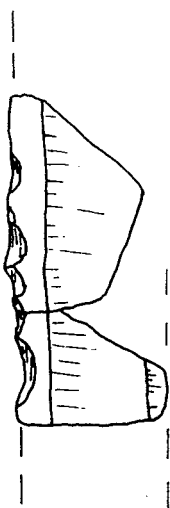
El nivell estratigràfic en el qual ha estat recuperada aquesta peça és el *nivell Id* o nivell del *Neolític antic evolucionat* (NAE).

- Un triangle (vegeu FIGURA 16, núm 3). Aquesta peça, de sílex, ha aparegut al quadre **D8** i el seu número d'inventari és Gn/D8-590. La seva atribució estratigràfica és al nivell Id, és a dir, del *Neolític antic evolucionat*.



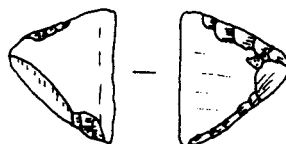
1

Gn/E6 167-171



2

Gn/D9 697-777



3

Gn/D8 590

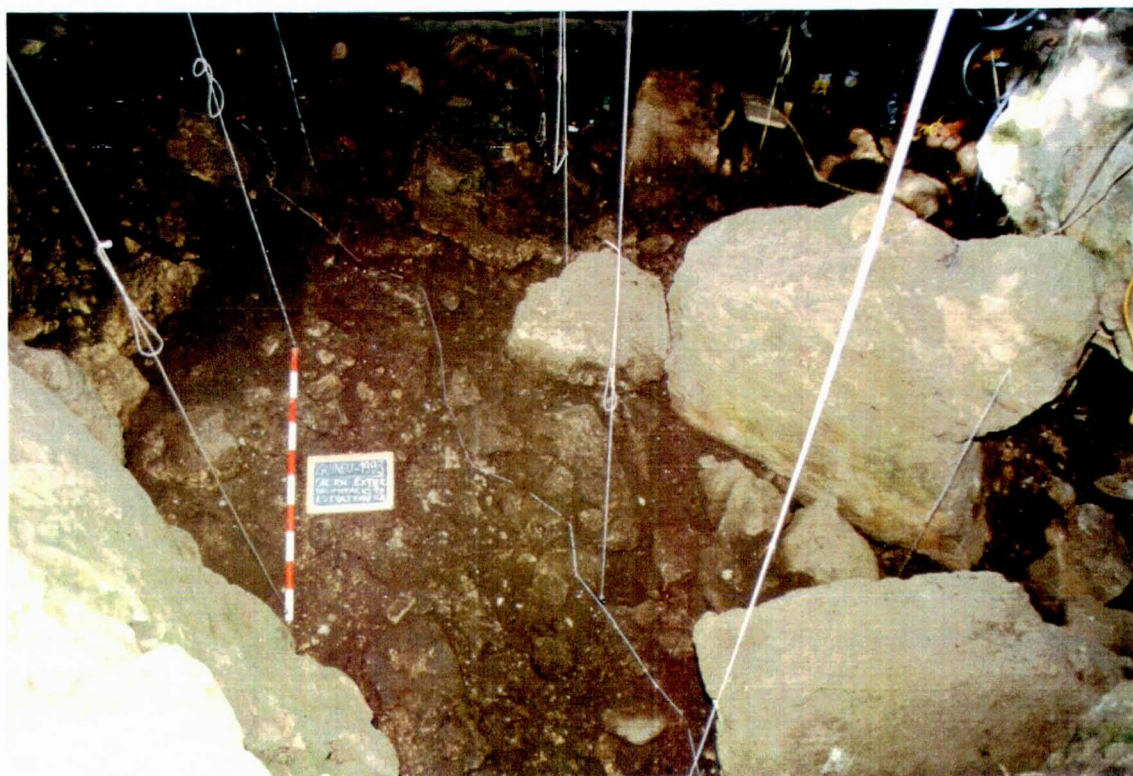
FIG. 16 . Indústria lítica campanya 1993

### 2.3. Observacions i delimitacions estratigràfiques

Tal com hem explicat en el text anterior ha estat buscat el resseguiment del nivell de base *ld* (no del tot ja que als quadres F, aflora el sotsjacent *le*, si bé pràcticament intocat). Als pocs dies de començar la campanya (13 de juliol) intentàrem delimitar-los en planta si bé amb dificultats (vegeu FOTOS 12 i 13). En anar resseguint *lc* cap a la línia dels 6 ens trobàrem amb la superposició ja documentada anys anteriors de *la/lc* sobre el pendent del vessant de la cova, adquirint així *ld* d'aquesta zona un aspecte amb molts més blocs, producte del gran moment de caiguda posterior.

Per això, per a poder resseguir el nivell ens trobàrem amb la problemàtica de tenir que aixecar les grans lloses documentant al màxim el seu volum i aspecte superficial per tal d'intentar veure el seu possible encaix i remontatge. Enlloc de martellejar-les en tenir-les descarnades i dibuixades in situ, un cop fet això es mouen i giren, fotografien i dibuixen per totes les seves cares i arestes (vegeu FOTOS 5 a la 11). Per a poder tenir espai per continuar excavant, i donat que són a més de dos metres de la superfície actual i no disposar de mitjans mecànics, hem de partir-les i extreure-les.

Efectuant aquesta operació hem pogut guanyar força espai a **C9-D9** (vegeu FOTOS 17 i 18) un cop extreta la llosa *B* (per apreciar l'abans i el després compari's les FOTOS 3, 18 i 30), així com poder treballar en l'espai que se'ns ha obert, al baixar el terreny, per sota la volta als quadres **B7-9**. En fer la mateixa operació amb les lloses C-D-E s'ha guanyat força espai a **D7-D6-C6** entorn la gran llosa vertical *o A* (vegeu per a l'estat d'abans la FOTO 27, per a després d'extreure-les FOTOS 30 i 32). Com a l'any passat a **C7-C6** l'acció dels degotalls



FOTOS 12 i 13. Procés d'excavació, dia 13 de juliol. Delimitació estratigràfica segons dinàmiques sedimentàries diferenciades; a la part est, prop de les parets i la volta de la cova, es detecta una important acumulació de blocs amb sediment intercalat, i la lectura dels nivells arqueològics, ben distingits en la banda oest (F-G), es complica.

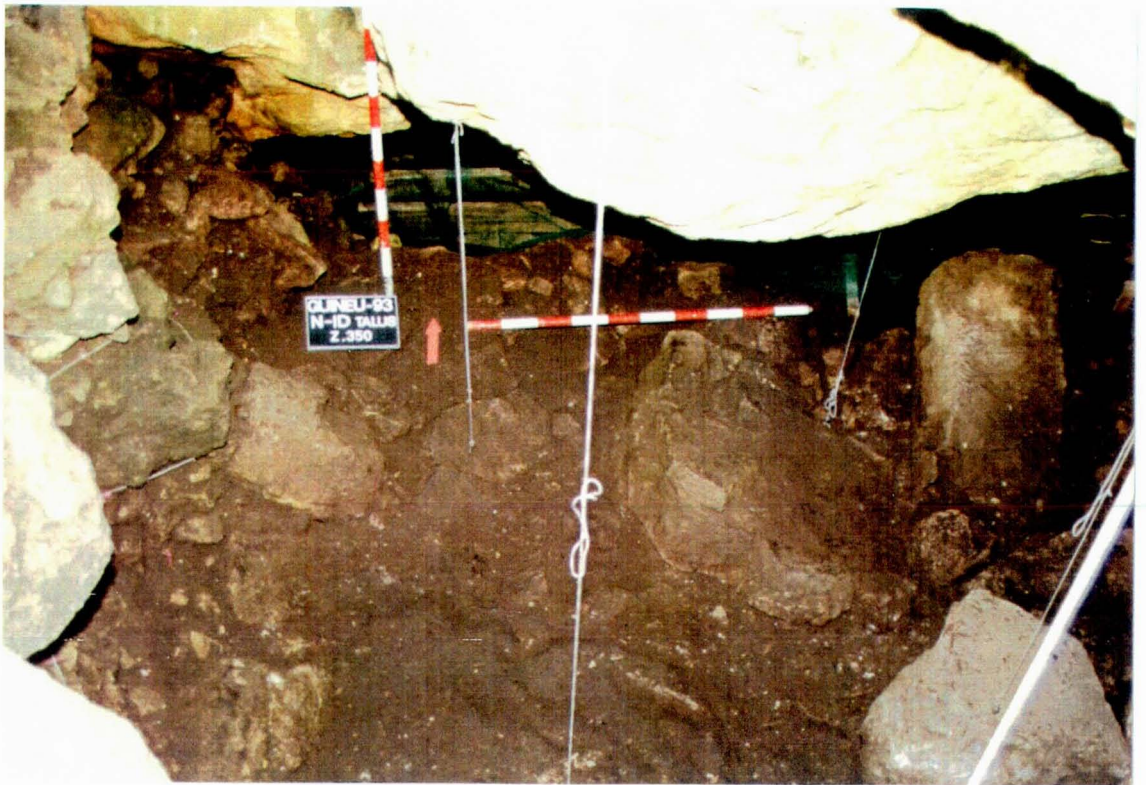
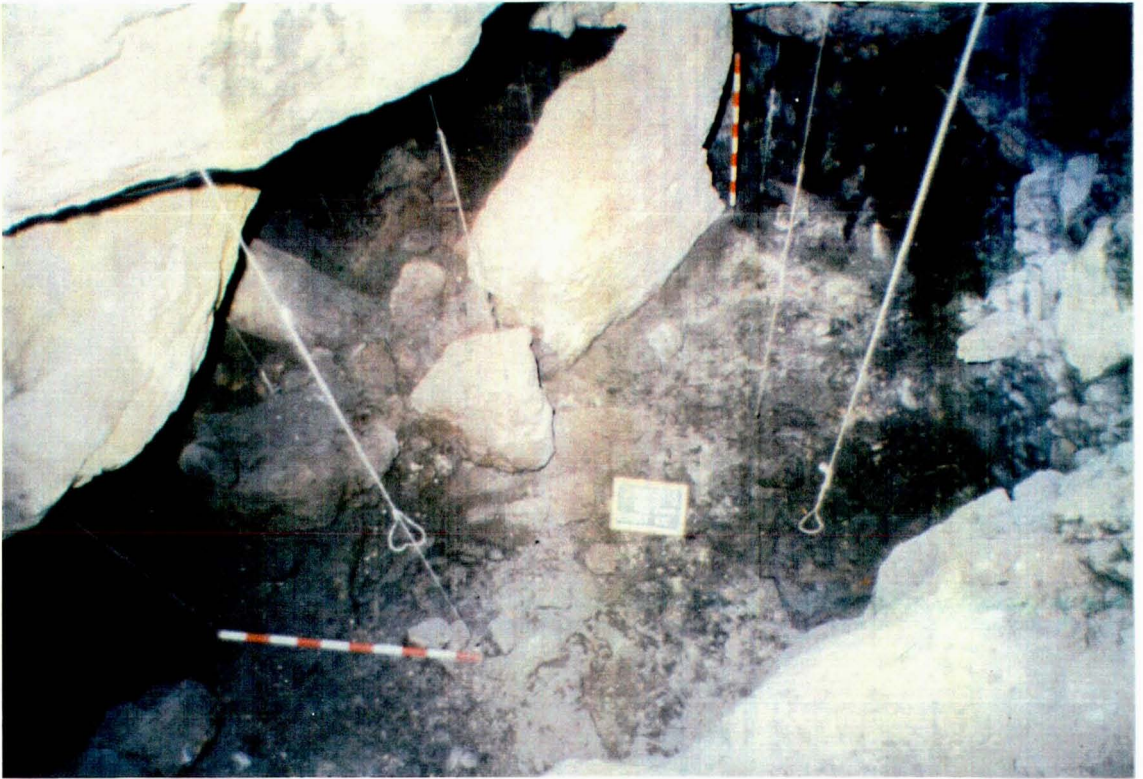


FOTO 14. Procés d'excavació del Nivell Id-talús (z: 350), en els quadres E-F.



FOTOS 15 i 16. Estat de l'excavació el dia 18 de juliol.  
Nivell Id, z: 358.



FOTOS 17 i 18. Estat de l'excavació el dia 20 de juliol.  
Vistes generals.



ha provocat la formació de terres concrecionades i crostres en els nivells més superficials (vegeu FOTOS 19 i 20), generalment pertanyents a *la* o al talús *la-1c* més endins la cova. Encastades en elles és freqüent trobar grans fragments de ceràmiques medievals i ossos d'èquid o bòvid, probable producte d'abocaments subrecents pagesos.

A l'anar entrant sota el nou espai obert, la gran pendent ja citada, ens trobem en que més al fons probablement estem treballant en nivells molt equivalents a *a* / *b* (blocs solts) tacats per *la*. Pràcticament no hi ha sediment, són blocs amb material solt entre ells (vegeu FOTOS 21 a la 26), mantenint certa coherència cronològica que ens els fa situar com abans hem citat. Si bé han estat seriosament rebaixats als quadres **B** a **A** a puntes penes han estat tocats.

Apart d'aquests àmbits citats l'excavació d'enguany s'ha concentrat en el nou espai guanyat a l'extreure la *llosa de tanca B* (vegeu FOTO 28). Ens cridà l'atenció el graó que la textura de la terra i la disposició del material ens mostrà a **C9-D9** (vegeu FIGURA 3 i FOTOS 38 i 39) entre *ld* i estrats posteriors, cosa que fa que les seves cotes siguin molt baixes. Hi ha en aquesta zona una notable riquesa arqueològica si bé sembla que en la fase més recent de la *E del Ferro* es remena d'alguna manera i aprofundeix per tal d'adaptant-se a la topografia fer servir la zona com accés a la cova. En *1c* han sortit més fragments de vas campaniforme, element molt datador i algunes restes humanes -destaquen 2 mandíbules que hem hagut de consolidar (vegeu FOTO 29)-.

Al final de campanya passada faltaven 20 cm per a empalmar la cota més alta de la primera campanya de 1983 (3,60 m) amb la mitja de les assolides en els quadres **7** del '92 (3,40 m). Aquest any en alguns indrets hem arribat a més de



FOTOS 19 i 20. Diferents aspectes de les concrecions que apareixen en el sector dels quadres B i C, sota la volta de la cova en la part est. Nivell Ic, z: 341.



FOTO 21. Detall de la blocallà que apareix en els quadres B6\_B7, i que dificulta els treballs d'excavació i enregistrament estratigràfic.



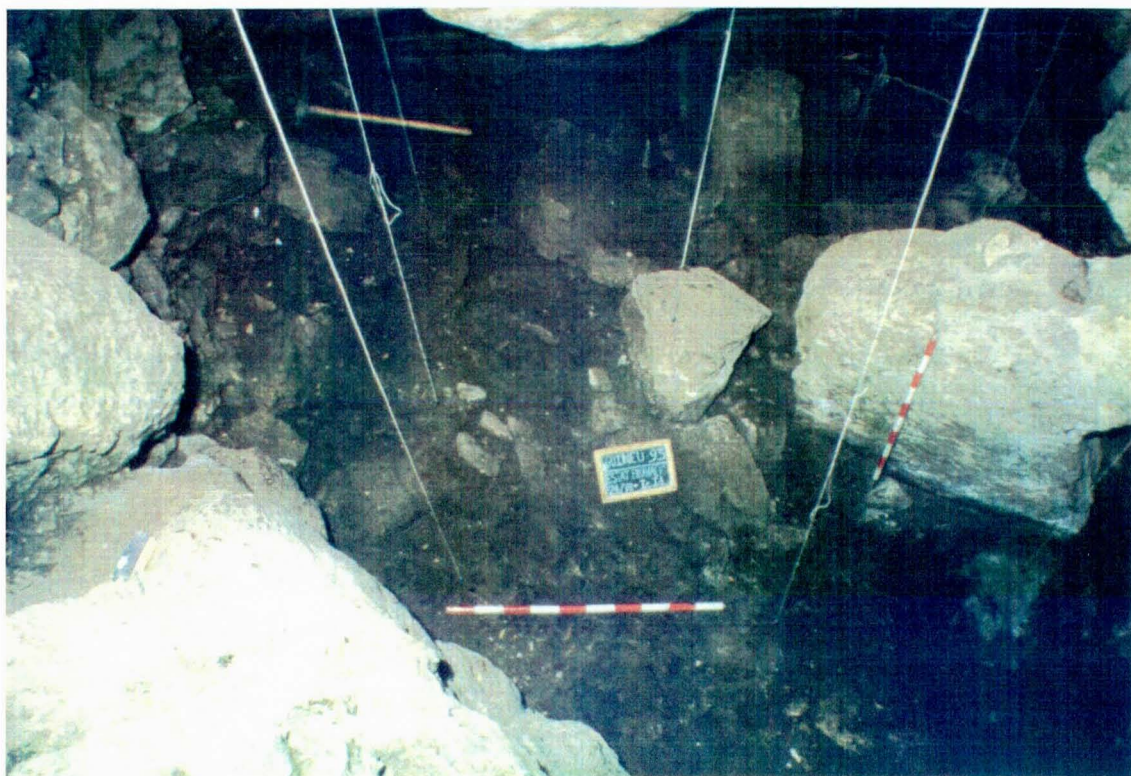
FOTOS 22 i 23. Procés d'excavació dels nivells Ia/Id en els quadres C (z: 370).



FOTO 24. Excavació dels quadres A-B/7, z: 420, en un sector d'estratigrafia formada per grans blocs i sediment intercalat.



FOTOS 25 i 26. Estat de l'excavació el dia 24 de juliol.  
Nivells Ic/Id.



FOTOS 27 i 28. Estat de l'excavació el dia 24 de juliol.  
Nivells Ic/Id.

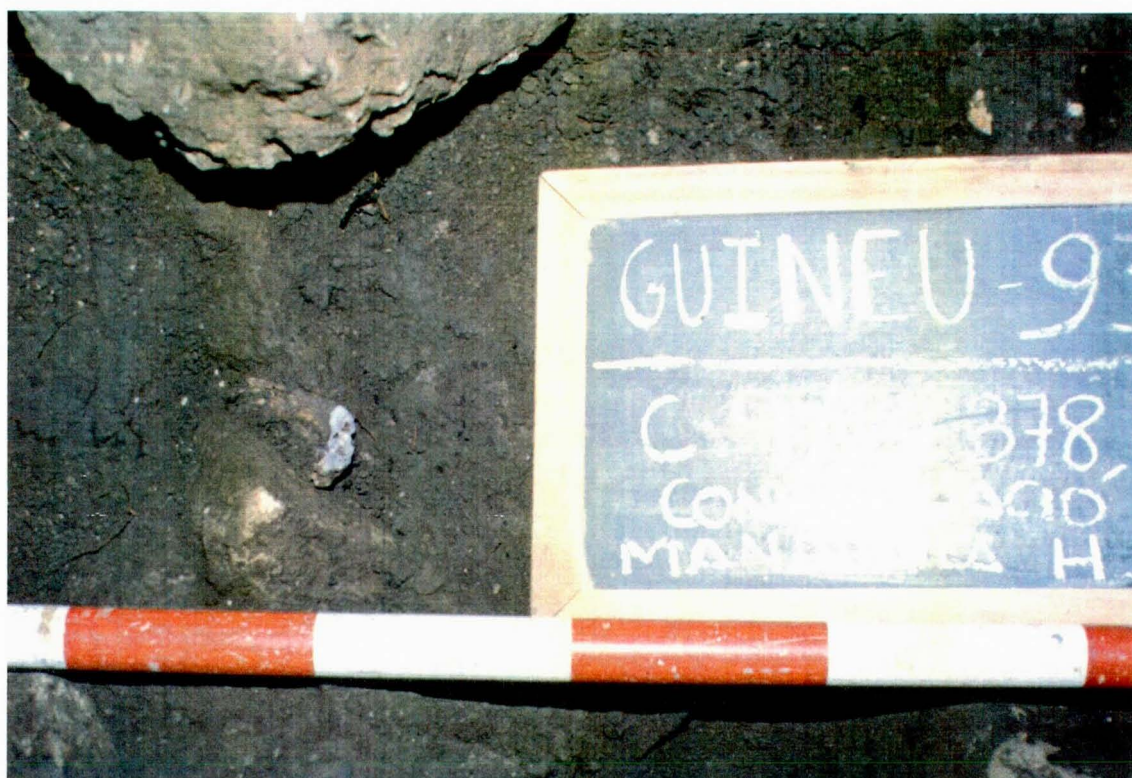
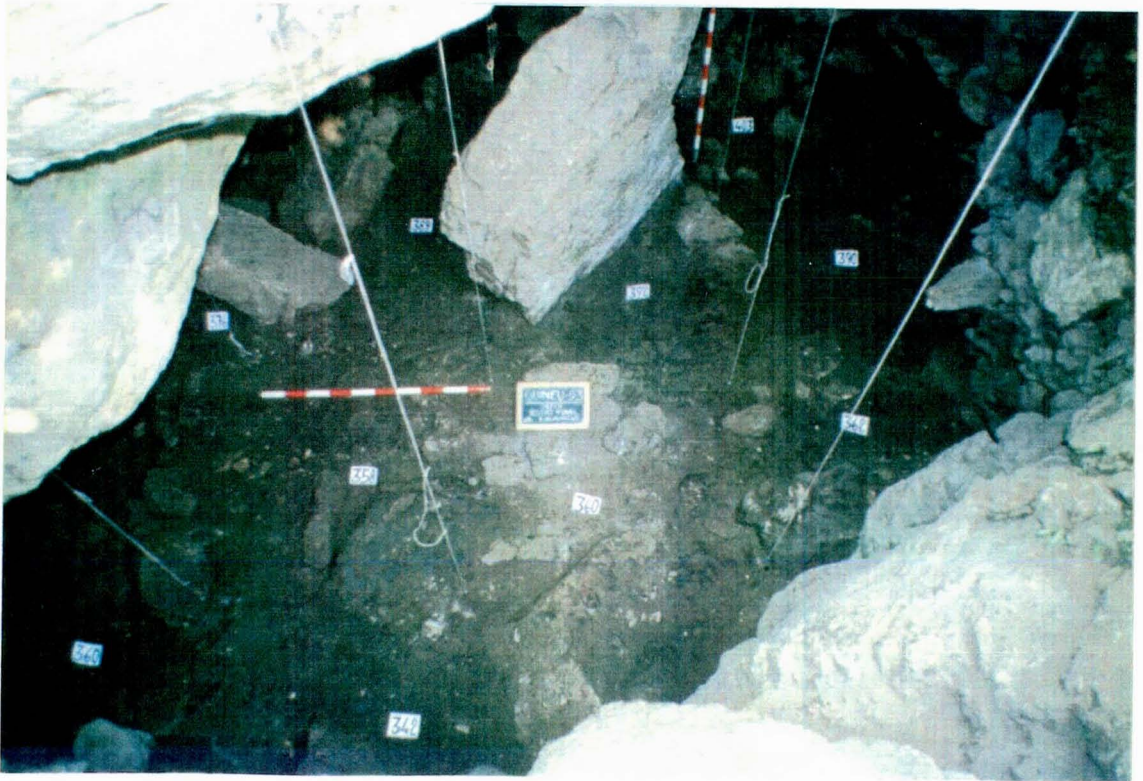
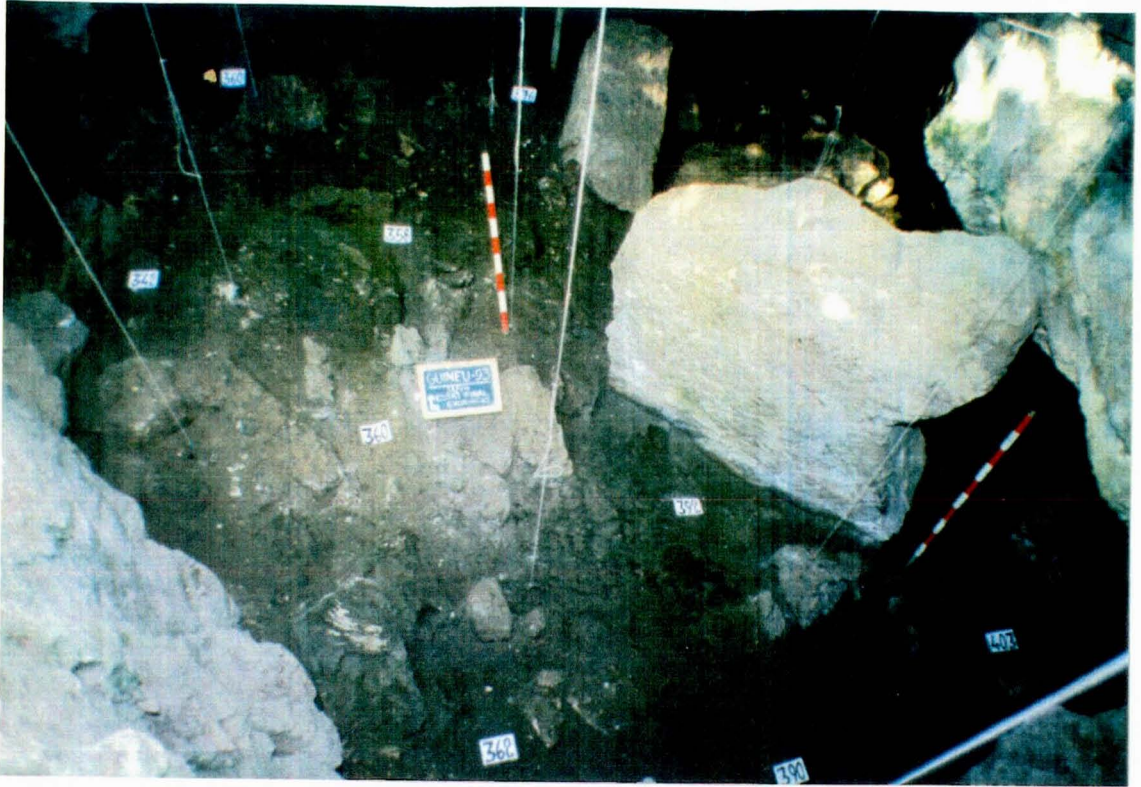


FOTO 29. Detall de la mandíbula humana consolidada en el quadre C-9 (z: 378). Nivell Ic.



4mts, en general entorn 3,8-3.9 de promig. Si bé ,hem de tenir en compte que per la pendent cap al NE que fa tota la sedimentació són a estrats equivalents, no acabem de veure la correlació entre el trobat el '83 i el '88-'89. Ens plantejem per tant si ha un límit a entre 6 i 5 que fa que hi hagi una dinàmica interior diferent, probablement alteradíssima per animals, i els enterraments successius.

Caldrà alguna campanya més per a contrastar les hipòtesis plantejades i a la vegada intentar posar l'excavació en un nivell asimilable abans d'extendre'ns a nous quadres i estrats a l'interior (per a comprovar l'estat final vegeu FOTOS 30 a la 37).



FOTOS 30 i 31. Estat final de l'excavació (31 de juliol), amb indicació de les cotes.



FOTOS 32 i 33. Detall de l'estat final d'ex cavació (31-VII), amb indicació de les cote en els quadres B-C-D.



FOTOS 34 i 35. Detall de l'estat final d'excavació en el sector dels quadres A-B-C/6-7.



FOTOS 36 i 37. Estat final de l'excavació; diferents perspectives des de l-interior de la cavitat (quadres A-B).



FOTO 38. Secció 9/10, on es distingeix la seqüència des del nivell superficial fins el nivell Id. Cal assenyalar el graó del nivell Ic en un possible punt de pas en relació amb la llosa A (tanca sepulcral).



FOTO 39. Detall de l'estratigrafia documentada en la secció 9/10.

### **3. SONDEIG ESTRATIGRÀFIC E5**

Aquest any s'ha profunditzat lleugerament (entre 30 i 40 cm) acabant de perfilar el nivell de base X, travessant XI i descobrint lleugerament XII (vegeu FOTOS 42 i 43) (vegeu FIGURA 5).

#### **3.1. Descripció estratigràfica.**

**N.X.-** Potència 33 cm. Està format per graves i blocs de dolomia d'unes dimensions que oscil·len entre 20 i 15 cm, de morfologia sub-angulosa. La matriu està formada per llims i argiles, de coloració marronosa (10YR 6/4). Pel que fa al cabussament segueix essent el mateix que la resta dels nivells. En aquest nivell és potser on s'intensifiquen més les taques d'òxids-hidròxids.

**N.XI.-** Potència 20 cm. Està format per sorres fines. De color marronós (10YR 6/4). El cabussament segueix el mateix que la resta dels nivells anteriors, és a dir de SW a NE.

**N.XII.-** Potència indeterminada (12 cm. vistos). Està format per graves i blocs de morfologia subangulosa i de la mateixa litologia que la de la resta dels nivells anteriorment descrits. La matriu és argilosa de color vermellós-marronós (7,5 YR 6/4).



### 3.2 Nivells IX a XII. Comença un nou cicle sedimentari ?

Des d'un punt de vista arqueològic, solament en els nivells X i XII han aparegut algunes restes òssies i carbons. En el nivell X es va registrar dues estelles de conill .

En el nivell XII , a última hora del dia 29 es va documentar una hemimandíbula de guineu jove (*Vulpes vulpes* ), quasi sencera i ennegrida (cremada?) (vegeu FOTOS. 40 i 41). Al dia següent, intensificant l'excavació en aquest estrat, força difícil per l'estretor de la cala, aconseguirem trobar un calcani, una estella de diàfisi , una epífisi de cúbit, i un fragment d'os plà, tot de conill, amb aspecte també ennegrit. A més també es documenten dos carbons petits. L'equip està dividit entorn la interpretació d'aquestes restes, alguns defenen que són productes d'una alteració tèrmica (de bastant probable origen antròpic), altres d'una alteració química, si bé s'ha de tenir en compte que el medi sedimentari és argilós, i la fracció grollera no presenta traces de lixiviació com passa amb els estrats superiors a partir d'Id . En resum, medi poc propici a formacions manganèsiques, però el diagnòstic del qual no sabrem sense anàlisis ni datacions.

### 3.3 Mostreig micromorfològic

El dia 2 d'octubre es montà una petita expedició per tal de completar la columna de mostres de microsedimentologia, que per les troballes paleontològiques dels últims moments , ja explicades anteriorment , feren que prosequirem el sondeig fins a última hora i no donguèssim temps a fer les



FOTOS 40 i 41. Mandíbula de guineu localitzada en el principi del nivell XII del sondeig E5.



FOTOS 42 i 43. Estat final de l'excavació del sondeig E<sub>5</sub> (cota final: 910).

preparacions. Pel procediment de fer un encaix a una caixa de cartró i encofrar amb guix extraguem 9 mostres ( la numeració segueix el mostreig anterior :

M.6.- *N.VIII*. Secció Sud. z= 745-763 cm.

M.7.- *N.VIII*. Secció Sud. z= 753- 771 cm.

M.8.- *N.VIII*. Secció Sud. z= 769- 790 cm.

M.9.- *N.VIII*. Secció Sud. z= 780- 800 cm.

M.10.-*N.VIII*. Secció Sud. z=806-825 cm.

M.11.- *N.IX*..Secció Sud. z=839- 856 cm.

M.12.- *N.IX-N.X*. Secció E. .z=870-888 cm.

M.13.- *N.XI*. Secció W. z=869-885 cm.

M.14.- *N.XI-N.XII*. - Secció W. z=885-900 cm.

#### 4. RECERCA I DIFUSIÓ

Continuant amb l'interès, per part de l'Equip Guineu, de divulgar els coneixements que es van adquirint a través del desenvolupament del projecte Guineu, enguany s'ha elaborat un article de difusió bàsica de caràcter local. Així, gràcies a l'encàrrec del Sr. Jordi Mañà, un dels responsables de la revista Montòneg (Revista Independent d'Informació Local de Font-rubí), es publicà el mes d'agost el treball "**Serres, turons i planes. Font-rubí i rodalla, temps enrera-1**", primera part d'un dossier que tracta de resumir la dinàmica històrica d'aquesta zona a partir de la documentació arqueològica dividint-la cronològica en dos grans apartats (del Paleolític a l'edat del Bronze, objecte del nostre article, i de la 1a Edat del Ferro fins l'Edat Mitjana, en fase d'elaboració a càrrec de M.Rosa Senabre i Joan Socias) (Vegeu ANNEX-1).

De diferent signe és la nostra participació en la Tribuna d'Arqueologia 1993-1994 (Servei d'Arqueologia-Departament de Cultura/Generalitat de Catalunya), amb la presentació de la conferència "**Elaboració d'una crono-estratigrafia per a la Prehistòria del Penedès: la Cova de la Guineu (Font-rubí, Alt Penedès)**", on es sintetitzarà l'estat actual del coneixement després de 5 anys d'intervencions sistemàtiques a la Guineu, i on també es pretén de contextualitzar les informacions generades amb les dades procedents del Projecte de Sondetjos de la Serra de Font-rubí (*Cova del Bolet, Cova del Toixó, Cova de la Plana Pineda*) (Vegeu ANNEX-2).

ANNEX 1

# Montòneg

REVISTA INDEPENDENT D'INFORMACIÓ LOCAL

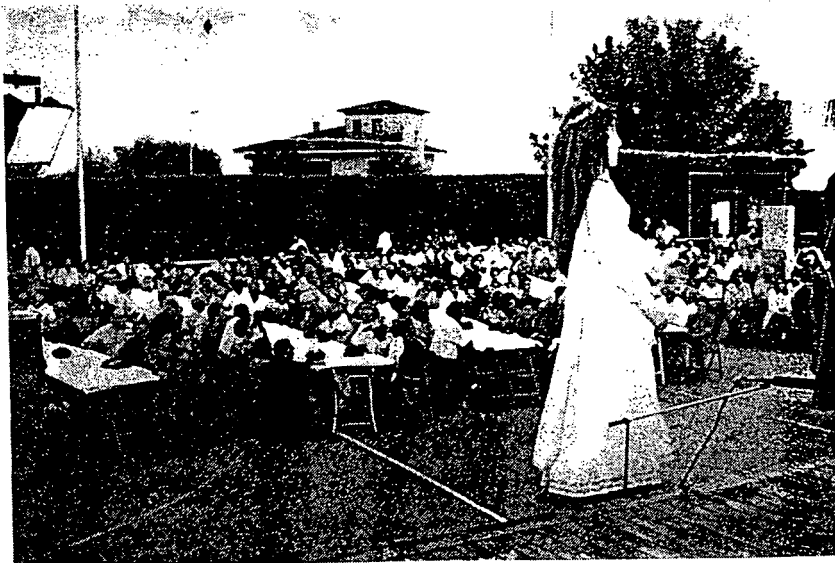
de FONT·RUBÍ

AGOST 1993

ANY III

Nº 18

## III FESTA DELS ÀVIS



- Programa Festa Major 1993
- Entrevista amb l'Alcalde Jaume Llopart
- Dossier: Serres, Turons i Planes
- Notícies Locals, Col.laboracions, Veïns, ...

# SERRES, TURONS I PLANES

Font-rubí i rodalia, temps enrera (I)

## Introducció

Aquest article és la primera part d'una síntesi actualitzada sobre quin és l'estat actual del nostre coneixement de la història més remota del terme font-rubíenc (1): volem dibuixar quina ha estat la dinàmica d'ocupació d'aquest territori des dels primers pobladors prehistòrics fins a les traces que han condicionat i configurat el poblament modern.

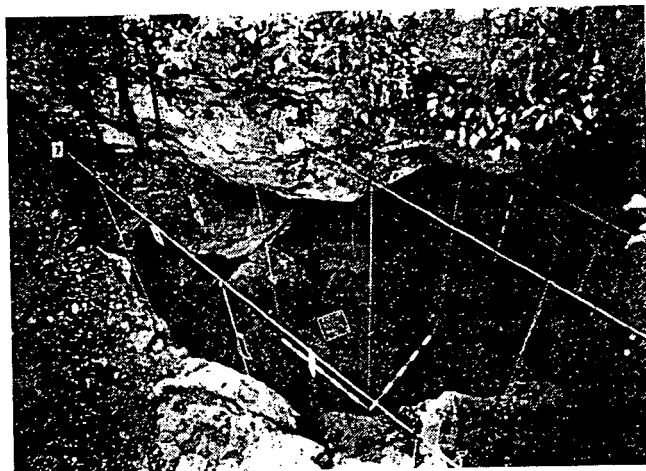
Actualment, la nostra visió és força complexa, i no podem afirmar que es tingui un parentiu directe amb aquells grups primitius, així doncs, pensem que és un eufemisme denominar-los *avantpassats* si ens referim més enllà de finals del segle IX, principis del X, època en la qual es repobla la Marca del Penedès.

Les restes arqueològiques (2) localitzades a Font-rubí confereixen al seu terme municipal una posició mitjana quant al nombre de jaciments localitzats dins del context penedesenc (3), en la qual destaquen més les troballes de l'època prehistòrica que les d'èpoques posteriors. Cal tenir en compte que disposar d'un potencial important no és equivalent a riquesa, perquè per a desenvolupar-lo cal que «s'inverteixin» recerques que facin intel·ligibles els «escampalls de pedres i ceràmiques, els munts de runes i les coves misterioses plenes de tresors» que de sempre ha percebut la pagesia natural de l'indret, i per tant resulta inadequat parlar de «descobriments», ja que la immensa majoria de jaciments

arqueològics sí que són tradicionalment coneguts, però des d'una posició no científica i havent passat pel filtre de les llegendes i dels misteris.



Al vessant esquerre del coll de la Barraca, situat en el sector muntanyós de la serra de Font-rubí, és situada la cova de la Guineu (foto: Genís Ribé).



Detall de les excavacions a la Guineu (foto: Genís Ribé).

1. Font-rubí ja compta amb una història que fa referència, extensament, a la seva part documental i, per tant, té una certa concisió a partir de la baixa edat mitjana; ens referim a l'obra de Salvador Llorac *Font-rubí. Passeig pel temps i el territori*, editada per l'Ajuntament de Font-rubí l'any 1991.
2. Aquí us volem recordar que les excavacions arqueològiques a Catalunya estan regulades per la Llei del patrimoni històric espanyol i per diversos decrets de la Generalitat de Catalunya. Les accions realitzades fora d'aquest marc legal constitueixen delictes i poden ser objecte de sanció penal o administrativa.
3. CEBRIA, A., RIBE, G. i SENABRE, M.R. *L'arqueologia a l'Alt Penedès. Estat de la qüestió als anys 90*. Miscel·lània Penedesenca XV, (1991), Vilafranca del Penedès - Vilanova i la Geltrú, Institut d'Estudis Penedesencs, pàg. 56.





En el contacte entre muntanya i plana, sobre turons de situació privilegiada, s'eixampla l'emplaçament de les primeres comunitats pageses del terme, en el neolític (fa 5.000 anys). Turó de la font del Roure (foto: Maria Rosa Senabre).

En aquest sentit, des del segle passat aquest territori ha comptat amb «senyors de Barcelona i de Vilafranca» que passant per aquí han fet les seves «recerques». Això fa que Font-rubí, a nivell geopaleontològic i arqueològic tingui certa anomenada i que també se n'hagin fet nombroses referències en publicacions específiques sobre aquests temes.

Primer de tot, hem d'entendre els condicionants geogràfics que han estat els que, amb els diferents interessos i percepcions que tenien les cultures primitives, han

fet que els habitants prehistòrics ocupessin determinats indrets de la zona. Per això hem de tenir present el relleu geogràfic, fonamentalment similar al d'avui i que només ha sofert transformacions notables en el període quaternari amb la formació de terrasses, pseudomunts i glacis. A Font-rubí cal destacar dues grans unitats de relleu:

a) la serra de Clivelleres, de Font-rubí o de Bolet, segons les diferents accepcions, dins la serralada pre-litoral. Quant a la seva base geològica, destaca la

coneguda seqüència dels tres estadis del Muschelkalk (de l'era secundària, amb dolomies, calcàries, gresos i terres silícies, de dalt a baix), força carstificada i amb nombroses cavitats i abrics fets servir des de temps immemorials.

b) la depressió prelitoral, coneguda popularment per «la plana». Dintre seu es poden distingir dues parts: una sèrie de suaus turons i pujols en els sectors més propers a les serres i la fossa tectònica farcida de sediments miocènics i quaternaris i, probablement, antigament plena de zones empegades amb petites llacunes.

Pertant, cal entendre que no estem parlant d'un espai natural homogeni sinó d'una delimitació espacial que hem de considerar com un producte històric, principalment fruit dels límits terminals del castell alt-medieval de Font-rubí, encaixat entre els de Torrelles de Foix, Mediona, Castellví de la Marca i Olèrdola.

Aquest seria el medi amb el que es trobaren els primers éssers humans que trepitjaren el nostre entorn.



**CONSTRUCCIONS  
FONT-RUBÍ, S.C.**

**BONA FESTA MAJOR**

Cal Mestre Estores  
Barri l'Alzinar, 39 - Tel. 897 84 60  
Can Parellada, s/n - Tel. 897 81 64  
08739 Guardiola de Font-rubí

**MELITON MATEU  
I CORAL**

**CONSTRUCCIONS**

Barri Alzinar  
Tel. 897 84 13  
GUARDIOLA DE FONT-RUBÍ  
(Barcelona)



**instal·lacions  
font-rubí, s.c.p.**

GAS • ELECTRICITAT  
CALEFACCIÓ • AIGUA  
AIRE CONDICIONAT

Les Casetes  
Tel. 898 84 59  
GUARDIOLA DE FONT-RUBÍ  
(Barcelona)

**Fred i calor, cacera i recol·lecció**

Avui en dia estan acceptats els primers testimonis de presència humana a Europa sud-occidental d'acord amb els objectes tallats de pedra, amb dates lleugerament inferiors al milió d'anys, però amb tendència a recular cada vegada més. Aquest entorn de cultura humana primitiva es denomina paleolític inferior. La resta humana més primitiva és la de Mauer a Alemanya (datada en una mica més de mig milió d'anys), la qual pertany a un grup humà d'*Homo erectus* emigrat des d'Àfrica (4) possiblement gràcies al seu èxit amb el domini del foc. Les que sonen més en el nostre entorn són, però, les de Talteüll (al Rosselló, amb un gran museu monogràfic) i les recents troballes d'Atapuerca (Burgos), representants de formes tardanes dels primers europeus. Respecte als canvis de climatologia constatats en aquest llarg període, a grans trets cal considerar que engloba dues glaciacions amb períodes intermedis temperats, fins i tot càlids. Pel que fa a la fauna, començarà amb una de tipus similar -però antecedent- a la que hi ha avui a Àfrica, per acabar amb una de semblant a la dels boscos de taigà del nord d'Europa (si bé, amb grans depredadors com ara el lleó, la hiena i l'ós de les cavernes). Pel que fa al seu estudi en el Penedès en general, i a Font-rubí en particular, encara està per registrar en restes concretes. Les restes arqueològiques adscribibles a aquests grups -les més antigues dins del període del paleolític inferior- que s'han pogut testimoniar pels voltants de Font-rubí són el possible bifaç (una eina de pedra realitzada sobre un còdol gran de sílex,

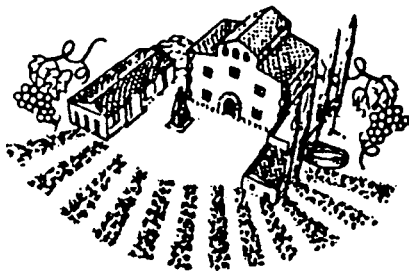
treballat, a cops, que pren una forma com de destreal) de Pereres (Mediona) i les restes axelianes (200.000 anys aC) de la Noguera i de la zona de la Bòria, a Sant Pere de Riudebitlles.

A partir de fa uns 90.000 anys, es produí un fort refredament del clima i de la fauna, i a la llum de les més recents investigacions, una evolució continuada dels primers pobladors d'Europa i del Pròxim Orient que, en quedar aïllats d'Àsia i d'Àfrica, evolucionaren vers un nou tipus humà típic només d'aquesta zona explicitada abans: l'Home de Neanderthal. Justament a Capellades (Anoia), a l'Abric Romani, s'han trobat restes d'aquest gènere (4 dents); a aquests grups, els associen les restes lítiques del tecnocomplex denominat Mosterià: instruments de pedra tallada que s'han localitzat a Capellades mateix i al jaciment de Mediona 1, en un campament estacional.

Així, podem apuntar que els primers grups que s'establiren a la zona foren caçadors de grans mamífers que fabricaven grans estris de pedra; probablement realitzaven operacions de cacera vora els rius i torrents tan nombrosos per Font-rubí, d'aquí que s'hagin localitzat restes d'aquestes activitats a les antigues terrasses fluvials. El clima devia ser rigorós, fred, i la vegetació de caràcter estèpic, és a dir, amb espais molt oberts i plantes baixes i molt sofertes a les temperatures baixes. D'aquest període hem trobat restes als tallers lítics (sobre dipòsits de glaci) en diferents terrasses fluvials a banda i banda de la carretera de Font-rubí (km 13, km 9, taller de mas Moió, terrasses de la Massana, can Grau, etc.)

4. Àfrica és considerat des de fa uns seixanta anys el bressol de la humanitat. Els descobriments geològics i paleontològics confirmen la regió de l'est d'Àfrica anomenada *Gran Rift*, com l'indret en el qual un grup de primats superiors respongué als desafiaments d'un entorn canviant, fa uns sis milions d'anys, amb una sèrie d'adaptacions: unes de caràcter físic -l'adaptació al bipedisme, l'alliberació de les mans, el creixement de la capacitat craniana-, i sobretot el desenvolupament d'una cultura transmissible per aprenentatge a través del llenguatge, la fabricació d'instruments i l'estructuració d'uns complicats lligams socials i familiars.

Celler  
Jordi  
Lluich



Masia Casa Nova  
Barri Les Casetes  
Tels. 898 81 38 - 897 80 35  
08777 SANT QUINTÍ DE MEDIONA

Elaboració de  
Vins  
Venda de vi a  
l'engròs, al detall  
i embotellats

En un moment posterior és quan comencem a detectar traces de les primeres ocupacions de certs grups en cavitats de la serra: hem de recular 10.000 anys, quan alguns grups ocuparen les coves de la Guineu (Font-rubí) i del Bolet (Mediona). Des d'aquests punts realitzaren expedicions de cacera, hi trobaren refugi per a aixoplugar-se, cuinar i dormir... Aquest període es coneix per l'epipaleolític. Gràcies als treballs arqueològics que d'ençà del 1988 es van realitzant a la Guineu<sup>5</sup>, hem pogut veure com aquesta població nòmada passà per la serra de Font-rubí i hi deixà les empremtes de focs, restes d'aliments (caçaven i s'alimentaven sobretot de conill, cabirol i cérvol), deixalles dels instruments (gratadors i petits ganivets de sílex) que feien servir per a treballar les pells i descarnar els animals, etc. Al Bolet també s'hi establí un grup que recol·lectava i caçava aprofitant-se dels recursos vegetals i animals dels boscos del seu entorn.

#### **L'aparició dels primers pagesos**

Després d'un llarg període sense que tinguem coneixement de cap implantació de grups de caçadors-recol·lectors ni a la zona muntanyosa ni a la plana (entre el 9000 i el 5000 aC), als jaciments de la cova de la Guineu i del Bolet apareixen les primeres mostres de ceràmiques i estris que per les seves característiques ens indiquen que per primera vegada s'explotava agrícolament el territori font-rubinenc; fins i tot trobem restes d'animals que havien estat domesticats (el més important és l'ovella), fet pel qual podem parlar dels primers ramats que, de ben segur, circulaven pels passatges clau de Font-rubí (el coll de la Barraca, per exemple), buscant, o bé les pastures d'hivern, cap a la plana prelitoral, o bé les de l'estiu, vers l'interior (a través de EQUIP GUINEU (1990). «El procés d'un estudi recent sobre la prehistòria de la Serra de Font-rubí: la Cova de la Guineu.» Dins *Gran Penedès*, butlletí de l'Institut d'Estudis Penedesencs, núm. 20 (juny), pàg. 22-26.

BARTROLI, R. i altres (1993). «El model microlaminar geomètric a la Catalunya meridional: aportacions del projecte d'investigació de la Serra de Font-rubí (Alt Penedès)». Dins *9è Col·loqui Internacional d'Arqueologia de Puigcerdà*, Estat de la investigació

sobre el neolític a Catalunya, (Puigcerdà-Andorra, 1991), pàg. 34-37.

l'Anoia, cap al Bages, vers l'Alt Urgell i el Pre-pirineu).

Per primera vegada, doncs, localitzem els primers indicadors de la neolitització, les empremtes d'activitats econòmiques substancialment diferents a les dels caçadors-recol·lectors de l'epipaleolític ja que, amb tot, es continua caçant i recol·lectant els recursos silvestres de la zona. Aquesta nova manera d'obtenir recursos per a la subsistència ja havia aparegut al Pròxim Orient molt més aviat (vers el 9000 aC), però aquí ens arribà, via mar, amb força retard.

Ara, però, ja en ple neolític, en un procés que situariem entre el IV i III mil·lenni aC, disposem de dades sobre nous utilitges que reflecteixen noves maneres de cuinar (amb l'ús de la ceràmica), noves formes d'emmagatzemar els aliments (dins de grans recipients de ceràmica es podia guardar el gra de cereal fruit de la collita, o bé dins de forats excavats en el subsòl, les sitges, etc.) Així, les eines de sílex prenen noves morfologies (estris de falç, perforadors per al treball de la pell, etc.), apareixen nous instruments com ara els molins de mà per a la mòlta del gra, o bé les destrals per a les tasques de deforestació (calia obrir clarianes per a conrear), etc.

Aquestes comunitats, que conreen camps de cereal i pasturen petits ramats d'ovelles, que ja guarden el producte de les collites per a temps de mancances i que, a més, no deixen de caçar i explotar els recursos del bosc i els entorns hidrològics (rius, llacunes, etc.), són grups molts més fixats al territori. És per això que comencem a veure com ens deixen traces més fermes i diversificades, quant als medis d'explotació, als estreps i als turons de la plana del terme: jaciments com ara els de la cova del Vapor (penyes de Salomó, sobre el nucli de Font-rubí) i la cova de la Plana Pineda (situada al cingle del vessant dret del fondal de Llinars), al sector muntanyós i els de cal Peretó - ca l'Escuder (prop de Puigdàlber) i el del turó de la font del Roure (6), a l'àmbit de la plana, en són un bon exemple. Fins i tot, es documenten els

5. Dins del Programa de Recerca del Seminari de Recerques Paleolítiques (SERP) de la Universitat de Barcelona, les intervencions a la cova de la Guineu han estat dirigides per l'Equip Guineu. Vegeu sobre això:

6. Excavació d'urgència realitzada per Josep Mestres, Maria Rosa Senabre i Joan Socias, l'any 1991, finançada pel Servei d'Arqueologia de la Generalitat de Catalunya.

primers enterraments a l'aire lliure, amb l'execució d'uns rituals funeraris força acurats: els cadàvers es sepulden de manera arronsada en tombes individuals (excepcionalment s'ha trobat alguna sepultura doble, com ara al pujolet de Moja, prop de Vilafranca del Penedès) excavades en una fossa a terra i al costat s'hi dipositen objectes diversos: recipients ceràmics, peces d'ornament (de collarets o altres tipus de penjolls, braçalets, etc.), instruments de sílex i molins de mà, entre d'altres.

### **Les traces d'una economia més pastoril**

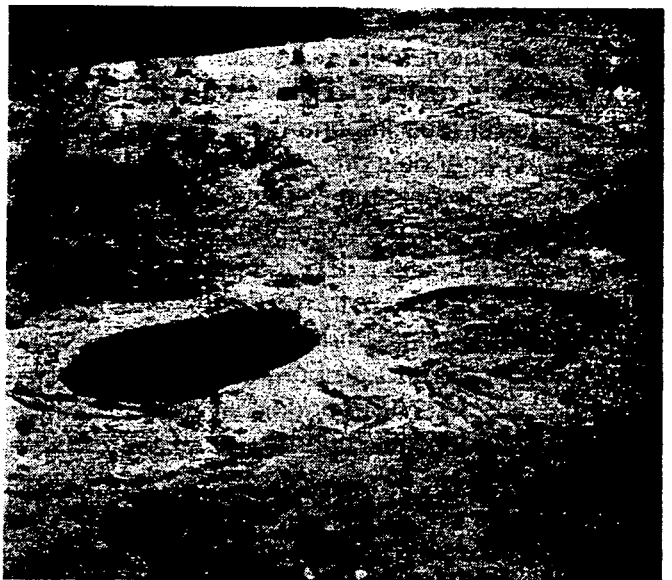
Ben entrat el III mil·lenni aC, tornem a trobar l'empremta humana en aquesta zona i una altra vegada la cova de la Guineu ens serveix d'obligada referència. Així és; en el període que denominem eneolític-bronze antic, la cavitat s'utilitzà com a lloc d'enterrament col·lectiu. Van sepultar-hi més de 35 persones (dones i homes, petits, joves, adults i grans). Amb els enterrats es dipositaren ceràmiques i diversos estris fabricats amb sílex (grans làmines, puntes de sageta, etc.) Com es pot veure, en aquest moment la manera d'enterrar ha fet un gir ben sobtat; l'enterrament col·lectiu implica una atenció diferent a la persona difunta, que sembla condicionar força el factor social comunitari: la sepultura successiva dels morts en un mateix indret, segurament ens està indicant una nova organització social més cohesionada.

En aquesta mateixa cova, com en altres cavitats del Penedès (cova de la font del Molinot, a Pontons, i l'esquerda de les roques del Pany, a Torrelles de Foix, per exemple), cap al 2.000 abans de la nostra era, trobem restes d'unes ceràmiques força característiques: vasos campaniformes del tipus Salomó, uns recipients de forma acampanada, o bé, bols decorats amb incisions i motius geomètrics en bandes, força complexos, a més d'algun material singular com ara una punta de fletxa feta d'os, amb aletes i peduncle. Totes aquestes troballes s'associen, bàsicament, a usos funeraris.

En aquestes fases, cada cop es fa més palesa una ocupació prioritària de les àrees muntanyoses, i això és així per a la totalitat del territori penedesenc: és per això queensem que el despoblament de la plana es pot relacionar amb el desenvolupament

d'una economia pastoril. En aquests moments apareixen els primers sepulcres megalítics de la comarca que, o bé aprofiten les cavitats naturals (cova de la Masia, a Torrelles de Foix), o bé es construeixen, de manera monumental, en sectors oberts a l'aire lliure (ja un xic més lluny tenim l'exemple de Mas Pla, una galeria megalítica amb túmul complex).

Els elements més recents de la prehistòria font-rubinenca ja pertanyen a l'edat del bronze, i els relacionem amb grups que segurament practicaven la ramaderia com a font de subsistència principal. A la Guineu hem pogut datar del 1.500 aC un d'aquests grups (fase que anomenem del bronze mitjà), mitjançant l'anàlisi del radiocarboni(7) pel tipus de materials que han sortit. Val a dir que aquestes comunitats ja coneixien els metalls que per primera vegada apareixien en alguns jaciments penedesencs: cova de cal Magí Rossell (Torrelles de Foix), on aparegué una punta de fletxa de bronze; l'esquerda de les roques del Pany, amb la presència d'una fletxa, anells i una destal, fets de coure i bronze, etc. Probablement d'una fase més tardana (bronze final), a la Guineu també es documenten els primers elements metàl·lics: un anell de bronze.



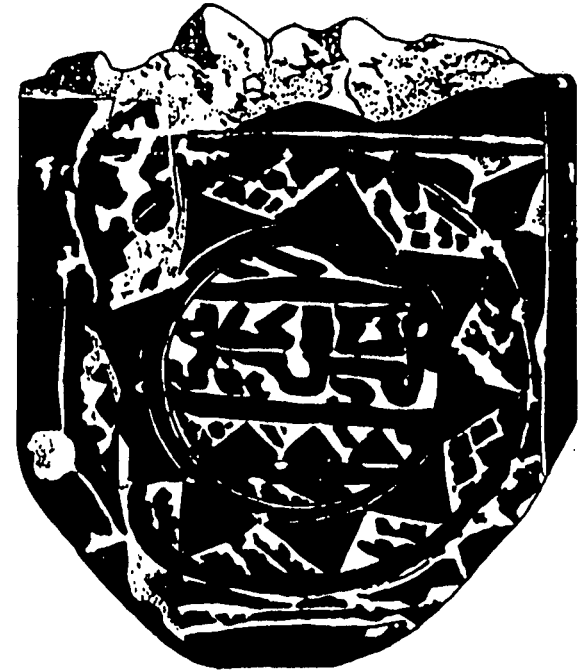
Els primers agricultors guardaven el blat en estructures excavades en el sòl natural que s'anomenen sitges. Al turó de la font del Roure se n'han trobat dues, amb deixalles domèstiques abocades al seu interior (ceràmica, pedres, sílex, etc.), (foto: Josep Mestres).

7. El carboni 14 és una substància que reté un ésser orgànic; un cop mort aquest ésser, la quantitat acumulada en vida va desapareixent progressivament segons una proporció constant. Mesurant-ne la quantitat que resta en un objecte d'origen orgànic (carbó, os, etc.), hom pot arribar a conèixer, amb força precisió, l'edat d'aquell objecte. Aquesta anàlisi físico-química rep el nom d'anàlisi radiocarbònica o de C 14.

ANNEX 2

# TRIBUNA D'ARQUEOLOGIA

1993 - 1994



- Desembre  
dijous, 16 **Alto de la Cruz (Cortes de Navarra). Investigacions 1989-1994.**  
Francesc Gràcia i Glòria Munilla.  
Moderador: Joaquim Arxé.
- dimecres, 22 **Intervenció al jaciment Mas Manolo (Caldes de Montbui, Vallès Oriental), 1992-1993.**  
Eulàlia Barrasetes i Anna Monleon.  
Moderadora: Araceli Martín.
- Gener  
dimecres, 12 **Pla de la Bruguera-Centre de Distribució Sony (Castellar del Vallès, Vallès Occidental), una necròpolis de la Primera Edat del Ferro.**  
Xavier Clops, Miquel Faura, Mercè Gangonells, Araceli Martín, Miquel Molist, Carles Navarro.  
Moderadora: Enriqueta Pons.
- dimecres, 19 **El Call jueu i el convent de Sant Francesc de Puigcerdà (la Cerdanya): recerca documental i arqueològica.**  
Sebastià Bosom, Claude Denjean, Oriol Mercadal, Carme Subiranas.  
Moderador: Iñaki Padilla.
- dimecres, 26 **El poblat ibèric de Les Toixoneres (Calafell, Baix Penedès). Projecte de reconstrucció.**  
Pilar Carrasco, Josep Pou, Joan Santacana, Joan Sanmartí.  
Moderador: Emili Junyent.
- Febrer  
dimecres, 2 **Excavacions arqueològiques al Pla d'Almatà (Balaguer, la Noguera) del 1982 al 1993.**  
Josep Giralt, M. Ferràndez, Àlex Camí, Josep Benseny.  
Moderador: Francesc Tuset.
- dimecres, 9 **Excavacions al carrer de Pere Martell de Tarragona (Tarragonès): Mil anys d'evolució urbana.**  
Maria Adserias, Lourdes Burés, Ester Ramon (CODEX SCCL).  
Moderadora: Margarida Genera.
- dimecres, 16 **L'establiment ibero-romà del Camp de les Lloses (Tona, Osona).**  
M. Dolors Molas, Immaculada Mestres, Montserrat Duran, Josep Pujades.  
Moderador: Antoni Caballé.
- dimecres, 23 **El castell de Farners (Santa Coloma de Farners, La Selva).**  
Josep M. Llorenç.  
Moderadora: Aurora Martín.
- Març  
dimecres, 2 **Una instal·lació pel tractament del lli al poblat del Coll del Moro de Gandesa (Terra Alta).**  
Mònica Blasco, Núria Rafel.  
Moderadora: Gemma Hernández.
- dimecres, 9 **Vilaclara (Castellfollit del Boix, Bages). Un assentament rural de l'antiguitat tardana.**  
Joan Enrich, Jordi Enrich, Lluís Pedraza.  
Moderadora: Gemma Hernández.
- dimecres, 16 **Elaboració d'una crono-estratigrafia per a la prehistòria del Penedès: la Cova de la Guineu (Font-Rubí, Alt Penedès).**  
EQUIP GUINEU.  
Moderador: Magí Miret.
- dimecres, 23 **El projecte arqueològic "Baixa Califòrnia": Excavacions arqueològiques i estudi de les pintures rupestres.**  
Josep M. Fullola, M. Àngels Petit, Albert Rubio, Victòria del Castillo, M. Mercè Bergadà.  
Moderador: Ramon Ten.
- Portada: Peça tallada en fusta d'eben procedent del Call jueu de Puigcerdà.  
Les conferències tindran lloc a la sala d'actes del Centre d'Art Santa Mònica, Rambla de Santa Mònica 7, de Barcelona, a les 19,30 h.

5. INVENTARIS



### 5.1. Mostres de sediment

DATA	QUADRE	NIVELL	CABASSOS
11/7/93	E-9	Id	0,5
	E-7	Id	0,5
	C-7	Ic	1
	D-7	Id	1,5
	E-8	Id	0,5
	C-7	Ia/Ic	0,5
	D-8	Id	0,5
	C-8	Ia/Ic	0,5
	D-6	Ia/talús	0,5
	12/7/93	D-7	Id
C-7		Ia/Ic	0,5
B-7		Ia/Ic	0,5
13/7/93	C-8	Ia/Ic	1
	C-6	Ia/Id	3
	E-7	Id/Ie	1
	D-8	Ic/Id	0,5
	E-8	Id/Ie	0,5
	E-6	Ia/Ic	1
14/7/93	C-7	Ia/Ic	1,5
	F-6	Id/Ie	0,5
	C-8	Ia/Ic	1,5
	D-8	Ic	0,5
	C-9	Ia/Ic	2
	E-6	talús	2,5
	D-7	Ic/Id	3
	B-7	Ia/Ic	1
15/7/93	E-6	talús	2
	C-9	Ia/Ic	1,5
	C-8	Ia/Ic	2
	C-7	Ia/Ic	2
	D-8	Ic	1
17/7/93	C-9	Ia/Ic	2,5
	E-6	talús	1
	F-6	Id/talús	2
	D-9	Ic	1,5
	C-8	Ic/talús	1,5
	B-7	Ic/talús	1
18/7/93	E-6	Id/talús	0,5
	C-7	Ic/talús	0,5
	D-6	Id/talús	0,5
	C-8	Ic/talús	1

Quadre 1. Volum de sediment garbellat i no guardat com a mostra.

DATA	QUADRE	NIVELL	CABASSOS
19/7/93	C-9	Ic	0,5
	C-7	Ic/talús	1
	F-6	Id/talús	2
	B-7	Ic/talús	0,5
	E-7	Id	0,5
20/7/93	D-9	Ic	2
	C-7	Id/talús	1
	F-6	Id/talús	1
	C-9	Ic	1
21/7/93	F-6	Id	1
	C-9	Ic	2
	D-7	Ic/Id	2,5
	D-9	Ic/Id	2,5
	B-7	Ic/talús	0,5
22/7/93	B-7	Ic/talús	2
	D-8	Ic	1
	D-9	Ic/Id	3
	F-6	Ic/Id	3
	C-9	Ic	2
	B-8	Ic/talús	1,5
	A-7	Ia/Ic	1
	E-9	Ic/Id	0,5
	E-6	Id/talús	2
	D-7	Ic/Id	0,5
	C-7	Ic	0,5
	24/7/93	F-6	Ic/Id
E-6		Id/talús	1
D-9		Ic/Id	3
B-8		Ic/Id	1
F-7		Ic/Id	0,5
B-7		Ia/Ic	0,5
25/7/93	B-8	Ia/Ic	1
	C-9	Ic	0,5
	D-6	Ic/Id	0,5
	F-6	Id	1
	C-6	Ic/Id	1
	C-7	Ib/Ic	0,5
	B-7	Ib/Ic	0,5

Quadre 2. Volum de sediment garbellat i no guardat com a mostra.

DATA	QUADRE	NIVELL	CABASSOS
26/7/93	C-6	Ic	1
	D-7	Ic/Id	3
	E-7	Id	0,5
	C-9	Ic/Id	1
	C-7	Ic/Id	1
	B-8	Ic	0,5
	D-9	Ic	0,5
27/7/93	B-8	Ic	0,5
	D-7	Ic/Id	1
	C-7	Ic/Id	1
	D-7	Id	1,5
	F-6	Ib/Id	1,5
	C-9	Ib	1
	E-5	X	6,5
28/7/93	E-5	X	5,5
	B-8	Ia/Ic	1,5
	E-5	IX	1
29/7/93	D-6	Ic/Id	0,5
	C-7	Ic/Id	1,5
	C-9	Ic	1
	C-6	Ic/Id	1
	Net. sup.	-	0,5
	D-9	Ic/Id	0,5
	B-8	Ib/Ic	1
	E-7	Ic/Id	1
	E-5	XI/XII	1
	D-7	Ic/Id	0,5
	C-8	Ib/Ic	0,5
	30/7/93	E-7	Id
C-6		Ic/Id	0,5
E-6		Id	0,5
A-7		Ib/Ic	0,5
D-6		Ic/Id	0,5
E-5		XI	2,5
E-5		XI/XII	2
E-5		XII	3,5

Quadre 3. Volum de sediment garbellat i no guardat com a mostra.

DATA	QUADRE	NIVELL	CABASSOS
11/7/93	E-9	Id	2,5
	D-7	Id	0,5
	E-8	Id	0,5
12/7/93	C-8	Ia	0,5
	C-7	Ia/Ic	1
	E-9	Id	1,5
	D-8	Id	0,5
	E-7	Id	1,5
	E-8	Id	1
	D-7	Id	2,5
	D-9	Ic	0,5
	C-6	Ia/Ic	2
	B-7	Ia/Ic	0,5
13/7/93	E-7	Id	2
	B-7	Ia/Ic	1
	E-8	Id	3
	E-9	Id	1
	D-7	Id	0,5
	D-6	Id	1
	D-8	Id	1
	C-7	Ic	1
14/7/93	E-8	Id	0,5
	E-7	Id	0,5
	E-9	Id	0,5
	D-7	Ic/Id	1
15/7/93	D-8	Ic/Id	3
	D-7	Ic/Id	3
	E-6	Ic/Id	1,5
	F-6	Ic/Id	0,5
	C-7	Ia/Ic	3,5
	E-8	Ic/Id	1
	C-6	Ia/Ic	1
	C-9	Ic	1
	17/7/93	D-9	Ic
C-7		Ic	1,5
D-6		Ic/talús	1
F-6		Id	1
E-6		Ic/talús	0,5

Quadre 4. Volum de sediment garbellat i guardat com a mostra.

DATA	QUADRE	NIVELL	CABASSOS
18/7/93	C-9	Ic	1
	D-6	Ic/Id	0,5
	C-7	Ic/talús	0,5
	F-6	Id	1,5
	E-6	Ic/Id	1,5
	D-8	Ic/Id	0,5
	B-7	Ic/talús	0,5
	E-8	Ic/Id	0,5
19/7/93	F-6	Id/talús	2
	F-6	Id/Ie	1
	E-7	Id	2
20/7/93	D-7	Id	0,5
	F-6	Id/Ie	0,5
	F-7	Id	0,5
	D-9	Ic	1
21/7/93	E-7	Id	1,5
	D-7	Id/talús	1
	F-6	Id	0,5
	D-9	Ic/c. tall	1
22/7/93	F-6	Ic/c. tall	1
	D-9	Ic/c. tall	1
	D-7	Ic/talús	1
	D-8	Ic/Id	0,5
	E-6	Id/talús	1
24/7/93	E-6	Id/Ie	0,5
	F-7	Ie	0,5
	D-6	Ic/Id	0,5
25/7/93	F-6	Id	3
	E-6	Id	4
	F-7	Id	0,5
	D-9	Ic	1
	C-9	Ic	1
26/7/93	C-9	Ic	3
	E-6	Id/talús	0,5
	D-9	Ic/Id	2

Quadre 5. Volum de sediment garbellat i guardat com a mostra.

DATA	QUADRE	NIVELL	CABASSOS
27/7/93	D-9	Ic/Id	1
	D-7	Ic/Id	4,5
	B-7	Ic	0,5
	C-9	Ic	1,5
	B-8	Ic	0,5
	E-5	X	5,5
28/7/93	E-5	X	2,5
	C-9	Ic	1
	E-6	Id/talús	1
	C-7	Ic/Id	0,5
	E-5	XI	1
29/7/93	E-5	XI	5
	C-9	Ic	0,5
	E-7	Id	1,5
	E-5	XI/XII	1,5
	E-5	XII	0,5
30/7/93	E-5	XI	1
	E-5	XII	0,5

Quadre 5. Volum de sediment garbellat i guardat com a mostra.

Volum de sediment garbellat i no guardat com a mostra	144 cabassos
Volum de sediment garbellat i guardat com a mostra	119,5 cabassos
Volum total de sediment excavat 263,5 cabassos	

**Quadre 6.** Volum total de sediment excavat



5.2. Materials arqueològics.

GUINEU-A7

Nivell	Q.a.	Q.n.	Nº	Matèria	Sup.	Taló	Cort.	Alt.	Conc.	Long.	Amp.	Gruix	X	Y	Z	Orient.	Pend.	Tipus prim.	Formes cer.	Observacions
1a/lc	A	7	1	ceràmica	torn					75	42	7	10,0	47,0	417,0				vora	vidrada 2 frag. terrissa comur
1a/lc	A	7	2	os	micro								3,0	43,0	416,0			conill		pelvis
1a/lc	A	7	3	os	micro								13,0	40,0	416,0			conill		crani
1a/lc	A	7	4	os	micro								19,0	42,0	416,0					det
1a/lc	A	7	5	ceràmica	mà					41	32	10	34,0	46,0	412,0				informe	frag.
1a/lc	A	7	6	os	humà								34,0	36,0	412,0					humer
1a/lc	A	7	7	os	micro								10,0	16,0	390,0					vèrtebra
1a/lc	A	7	8	os	micro								0,0	14,0	387,0					mandíbula
1a/lc	A	7	9	ceràmica	mà					29	13	10	34,0	36,0	416,0				informe	frag.
1a/lc	A	7	10	os	micro								10,0	16,0	391,0			conill		epifisi
1a/lc	A	7	11	os	micro								0,0	14,0	387,0					
1a/lc	A	7	12	os	Macro															estella
1a/lc	A	7	13	os	Macro								12,0	40,0	421,0					estella diáfisi
1a/lc	A	7	14	os	micro								4,0	30,0	418,0			conill		vèrtebra
1a/lc	A	7	15	os	micro								4,0	30,0	418,0					frag. costella
1a/lc	A	7	16	os	micro													conill		2 epifisi
1b/lc	A	7	17	os	micro													conill?		4 det. i un frag. diáfisi
1b/lc	A	7	18	os	micro															
1b/lc	A	7	19	copròlit																
1b/lc	A	7	20	copròlit																

GUINEU-A8

Nivell	Q.a.	Q.n.	Nº	Matèria	Sup.	Taló	Cort.	Alt.	Conc.	Long.	Amp.	Gruix	X	Y	Z	Orient.	Pend.	Típus prim.	Formes cer.	Observacions
lc	A	8	1	ceràmica	mà					45	41	6	6,0	56,0	411,0		v		informe	talús
lc	A	8	2	os	Macro								5,0	64,0	410,0	E-w	w			estella diaf.talús
lc	A	8	3	ceràmica	mà					23	15	7	14,0	63,0	414,0				informe	talús
lc	A	8	4	ceràmica	mà					25	22	9	12,0	68,0	414,0				informe	polida.talús
lc	A	8	5	os	micro								13,0	64,0	412,0			au		det.talús
lc	A	8	6	os	micro								14,0	58,0	416,0			conill		coxis.talús
lc	A	8	7	ceràmica	mà					25	21	9	17,0	60,0	412,0				informe	talús
lc	A	8	8	os	Macro								18,0	55,0	414,0					frag. crani.talús
lc	A	8	9	os	micro								32,0	88,0	400,0			conill		vertebra.talús
lc	A	8	10	os	micro								10,0	100,	420,0					mandibula.talús
lc	A	8	11	os	micro								98,0	79,0	417,0			conill		epifisi det.talús

GUINEU-B6

Nivell	Q.a.	Q.n.	Nº	Matèria	Sup.	Taló	Cort.	Alt.	Conc.	Long.	Amp.	Gruix	X	Y	Z	Orient.	Pend	Tipus prim.	Formes cer.	Observacions
1a/lc	B	6	1	os	micro														conill	ornóplat
1a/lc	B	6	2	os	humà															fragment crani
1a/lc	B	6	3	os	Macro															epifisi
1a/lc	B	6	4	os																epifisi
1a/lc	B	6	5	os	humà															dent
1a/lc	B	6	6	os	humà															vèrtebra
1a/lc	B	6	7	os	Macro															estella diàfisi

Nivell	Q.a.	Q.n.	Nº	Materia	Sup.	Taló	Cort.	Alt.	Conc.	Long.	Amp.	Gruix	X	Y	Z	Orient.	Pend.	Tipus prim.	Formes cer.	Observacions
la	B	7	8	carbó									12,0	30,0	337,0					
la	B	7	9	carbó									13,0	47,0	345,0					
la	B	7	10	malacologia	cargol								15,0	47,0	344,0					
la	B	7	11	malacologia	cargol								20,0	45,0	343,0					
la	B	7	12	os	micro								13,0	42,0	342,0			conill		
la	B	7	13	os	Macro								20,0	24,0	348,0					frag diàfisi
la	B	7	14	os	micro								29,0	30,0	347,0			conill		calcani
la	B	7	15	carbó									33,0	45,0	347,0					
la	B	7	16	os	Macro								38,0	41,0	348,0					dent
la	B	7	17	carbó									34,0	42,0	348,0					
la	B	7	18	os	micro								33,0	41,0	348,0			conill		frag det
la	B	7	19	os	micro								38,0	45,0	353,0	NW-SE		conill		det
la	B	7	20	carbó									35,0	44,0	346,0					
la	B	7	21	carbó									37,0	48,0	347,0					
la	B	7	22	carbó									40,0	48,0	350,0					
la	B	7	23	carbó									40,0	43,0	350,0					
la	B	7	24	os	micro								42,0	45,0	346,0	E-w		conill		det
la	B	7	25	os	Macro								42,0	45,0	346,0					estella
la	B	7	26	os	Macro															frag diàfisi
la	B	7	27	ceràmica	torn					70	61	18	18,0	16,0	348,0			romà	peu	
la	B	7	28	carbó																
la	B	7	29	os	micro								4,0	95,0	381,0			conill		determ
la	B	7	30	os	micro															estella
la	B	7	31	carbó																
la	B	7	32	malacologia	cargol															
la/lc	B	7	33	ceràmica	torn					58	42	13	38,0	18,0	356,0			campaniforme	informe	
	B	7	34	ceràmica	torn					47	42	11	38,0	41,0	357,0				informe	
	B	7	35	os	Humà															estella
	B	7	36	os	Macro															frag det
	B	7	37	os	Macro															frag costella
	B	7	38	os	Macro															frag costella
	B	7	39	os	Humà															dent
	B	7	40	os.	Macro															frag det
	B	7	41	os	Macro															frag det
	B	7	42	os	Macro															frag costella
	B	7	43	os	Macro															costella
	B	7	44	os	Macro															frag costella
	B	7	45	os	Macro															frag det diàfisi
	B	7	46	os	Macro															frag cimentat
	B	7	47	malacologia	cargol															l cargol
	B	7	48	carbó																
	B	7	49	os	Macro															det
	B	7	50	os	Macro															estella
	B	7	51	os	micro													conill		determinable
	B	7	52	os	micro															estella

Nivell	Q.a.	Q.n.	Nº	Materia	Sup.	Taló	Cort.	Ait.	Conc.	Long.	Amp.	Gruix	X	Y	Z	Orient.	Pend.	Tipus prim.	Formes cer.	Observacions
B	7	53	os		Macro															estella
B	7	54	os		ma					26	16	3							informe	
B	7	55	os		micro															mandíbula
B	7	56	os		micro															determ
B	7	57	os		micro															determ
B	7	58	os		micro															diáfisi
B	7	59	os		micro															diáfisi
B	7	60	os		micro															diverses estelles
B	7	61	os		micro								9,0	14,0	365,0			conill		
B	7	62	os		micro								33,0	29,0	368,0					astràgal
B	7	63	os		micro								34,0	17,0	367,0			conill		vèterbra
B	7	64	malacologia										1,0	88,0	373,0					
B	7	65	carbó										9,0	88,0	380,0					
B	7	66	os		micro								13,0	80,0	374,0			conill		estelles
B	7	67	malacologia										23,0	87,0	380,0					2 frags ?
B	7	68	carbó										18,0	76,0	377,0					
B	7	69	carbó										20,0	60,0	373,0					
B	7	70	carbó										30,0	60,0	371,0					
B	7	71	os		micro								12,0	51,0	371,0	NE-SE	P	conill		vèterbra
B	7	72	os		Macro								0,0	51,0	378,0					costella
B	7	73	os		micro								3,0	90,0	375,0					costella?
B	7	74	os		micro								14,0	86,0	380,0			batraci		frag det
B	7	75	os		micro								6,0	65,0	370,0			conill		1 frag costella
B	7	76	Mostra mineral										6,0	65,0	370,0					frag estalagmita
B	7	77	carbó										19,0	54,0	374,0					
B	7	78	os		micro								34,0	49,0	375,0					dent rossegador
B	7	79	os		micro								9,0	92,0	378,0					det
B	7	80	os		micro								14,0	79,0	383,0			conill		det
B	7	81	os		micro								21,0	75,0	385,0	E-W	P			det estella
B	7	82	ceràmica		ma								10,0	72,0	374,0	E-W	S		informe	
B	7	83	os		micro								16,0	74,0	382,0					
B	7	84	os		Humà?								18,0	75,0	384,0					frag crani
B	7	85	os		micro								17,0	56,0	375,0					( perdut! )
B	7	86	os		micro								31,0	27,0	355,0					costella
B	7	87	os		Humà								36,0	100,	398,0					diáfisi fèrnur reconstruït
B	7	88	os		Macro								8,0	70,0	382,0			N		frag crani
B	7	89	os		Macro								56,0	100,	405,0					estella costella
B	7	90	os		Humà								85,0	100,	410,0					mastoide
B	7	91	os		Macro								60,0	87,0	410,0					costella ( coord aprox )
B	7	92	os		Macro								76,0	87,0	412,0					estella costella
B	7	93	carbó										56,0	74,0	412,0					
B	7	94																		

GUINEU-B8

Nivell	Q.a.	Q.n.	Nº	Matèria	Sup.	Taló	Cort.	Alt.	Conc.	Long.	Amp.	Gruix	X	Y	Z	Orient.	Pend	Tipus prim.	Formes cer.	Observacions
Ia	B	8	3	os	Macro								15,0	10,0	357,0					estella
Ia	B	8	4	os	Macro								10,0	40,0	354,0					det
Ib/Ic	B	8	5	os	micro								14,0	80,0	366,0					det
Ib/Ic	B	8	6	os	micro								21,0	83,0	367,0			conill?		húmer
Ib/Ic	B	8	7	os	Macro								25,0	80,0	372,0					frag det pelvis
Ib/Ic	B	8	8	os	Macro															frag det ( 2 enganxats )
Ib/Ic	B	8	9	os	Humà								60,0	40,0	381,0					cap d'húmer
Ib/Ic	B	8	10	os	Macro								10,0	54,0	372,0					vèrtebra
Ib/Ic	B	8	11	os	Macro								30,0	33,0	376,0					frag diàfisi
Ib/Ic	B	8	12	os	micro								30,0	33,0	376,0			conill		escàpula
Ib/Ic	B	8	13	os	Macro								30,0	33,0	376,0					frag det
Ib/Ic	B	8	14	os	micro								12,0	65,0	376,0			conill		falange
Ib/Ic	B	8	15	os	Macro								11,0	71,0	373,0			conill		frag estella diàfisi
Ib/Ic	B	8	16	os	micro								16,0	88,0	372,0			conill?		det
Ib/Ic	B	8	17	os	micro								29,0	81,0	371,0					epifisi
Ib/Ic	B	8	18	os	micro								55,0	88,0	383,0			conill		vèrtebra
Ib/Ic	B	8	19	carbó									31,0	70,0	376,0					
Ib/Ic	B	8	20	os	micro								26,0	77,0	378,0			conill		Mandibula
Ib/Ic	B	8	21	carbó									28,0	74,0	378,0					
Ib/Ic	B	8	22	os	micro								34,0	73,0	374,0			conill		epifisi
Ib/Ic	B	8	23	os	micro								37,0	79,0	374,0			conill		det
Ib/Ic	B	8	24	os	Macro								17,0	40,0	404,0			suid		entre blocs frag mandibula
	B	8	25	os	Macro								17,0	41,0	404,0					det ( entre blocs )
Ia/Ic	B	8	26	os	micro								39,0	75,0	373,0					det
Ia/Ic	B	8	27	carbó									40,0	73,0	373,0					
Ia/Ic	B	8	28	carbó									47,0	72,0	374,0					
	B	8	29																	
Ia/Ic	B	8	30	os	micro								38,0	65,0	377,0					det
Ia/Ic	B	8	31	carbó									37,0	57,0	382,0					
Ia/Ic	B	8	32	carbó									62,0	55,0	383,0					
Ia/Ic	B	8	33	carbó									52,0	53,0	380,0					
Ia/Ic	B	8	34	os	micro								30,0	45,0	381,0			conill		mandibula
Ia/Ic	B	8	35	os	micro								54,0	40,0	386,0			conill		det
Ia/Ic	B	8	36	os	micro								47,0	73,0	375,0					2 frags det
Ia/Ic	B	8	37	os	Macro								42,0	68,0	375,0	NW-SE	SE			frag costella
Ia/Ic	B	8	38	os	micro								52,0	63,0	381,0			conill		frag diàfisi
Ia/Ic	B	8	39	os	micro								52,0	56,0	385,0			conill		pelvis
Ia/Ic	B	8	40	os	micro								59,0	54,0	386,0			llebre?		calcàni
Ia/Ic	B	8	41	os	micro								42,0	50,0	386,0			conill		det
Ia/Ic	B	8	42	os									42,0	48,0	387,0			V		epifisi
Ia/Ic	B	8	43	os	micro								38,0	56,0	387,0			conill		det
Ia/Ic	B	8	44	os	micro								49,0	38,0	388,0			conill		frag vèrtebra
Ia/Ic	B	8	45	os									52,5	56,5	385,0			conill		frag costella
Ia/Ic	B	8	46	carbó																
Ia/Ic	B	8	47	carbó																

GUINEU-B9

Nivell	Q.a.	Q.n.	Nº	Matèria	Sup.	Taló	Cort.	Alt.	Conc.	Long.	Amp.	Gruix	X	Y	Z	Orient.	Pend	Tipus prim.	Formes cer.	Observacions
lb/lc	B	9	4	os	Macro															dent (varis, frag.)
lb/lc	B	9	5	os	Macro								3,0	30,0	387,0					frag.det.
lb/lc	B	9	6	os	micro								3,0	26,0	386,0					det.



GUINEU-C6

Nivell	Q.a.	Q.n.	Nº	Matèria	Sup.	Taló	Cort.	Alt.	Conc.	Long.	Amp.	Grux	X	Y	Z	Orient.	Pend	Tipus prim.	Formes cer.	Observacions
Ia/lc	C	6	6	os	micro								10,0	26,0	361,0			conill		estella
Ia/lc	C	6	7	ceràmica	mà					19	10	6	20,0	34,0	364,0				informe	
Ia/lc	C	6	8	carbó																
Ia/lc	C	6	9	os	Macro								48,0	32,0	375,0					epifisi
Ia/lc	C	6	10	carbó									78,0	3,0	375,0					
Ia/lc	C	6	11	os	micro								78,0	8,0	376,0			conill		maxil.lar
Ia/lc	C	6	12	os	micro								80,0	12,0	375,0					det.
Ia/lc	C	6	13	os	micro								92,0	13,0	379,0					frag.det
Ia/lc	C	6	14	os	micro								78,0	0,0	377,0			conill		mandibula
Ia/lc	C	6	15	os	micro								82,0	5,0	377,0			conill		vèrtebra
Ia/lc	C	6	16	os	Macro								97,0	5,0	380,0					frag.diàfisi
Ia/lc	C	6	17	os	micro								95,0	16,0	380,0					frag.diàfisi
Ia/lc	C	6	18	os	Macro								91,0	21,0	379,0					estella diàfisi
Ia/lc	C	6	19	os	Macro								85,0	28,0	380,0					costella
Ia/lc	C	6	20	ceràmica	mà					68	50	7	73,0	35,0	382,0	E-W	V		informe	2 frags.sup. brunyida
Ia/lc	C	6	21	os	micro															2 det.
Ia/lc	C	6	22	ceràmica	mà					27	24	5							informe	
Ia/lc	C	6	23	os	Macro															varis det.
Ia/lc	C	6	24	os	humà															dent
Ia/lc	C	6	25	os	Macro															frag.det.
Ia/lc	C	6	26	os	micro															frag. det.
Ia/lc	C	6	27	os	micro														conill	falange
Ia/lc	C	6	28	os	micro														conill	frag.det.
Ia/lc	C	6	29	os	micro														conill	pelvis
Ia/lc	C	6	30	os	micro															2 det.
Ia/lc	C	6	31	malacologia	cargó															
Ia/lc	C	6	32	carbó																
Ia/lc	C	6	33	malacologia	cargó															
Ia/lc	C	6	34	carbó																
Ia/lc	C	6	35	carbó									71,0	36,0	392,0					
Ic	C	6	36	carbó									71,0	34,0	392,0					
Ia/lc	C	6	37	ceràmica	mà					32	22	7	69,0	50,0	395,0					informe
Ia/lc	C	6	38	ceràmica	mà					35	31	11	95,0	46,0	399,0					informe
Ia/lc	C	6	39	os	Macro								7,0	20,0	370,0					frag. mandibula
Ia/lc	C	6	40	os	Macro								28,0	43,0	384,0					mandibula
Ia/lc	C	6	41	ceràmica	mà					57	48	10	64,0	18,0	386,0		V	acanalats	informe	Bronze final
Ia/lc	C	6	42	ceràmica	mà					63	42	9	74,0	13,0	385,0		P	acanalats	informe	concreció
Ia/lc	C	6	43	ceràmica	mà					57	54	14	71,0	17,0	386,0		SW		informe	2 frags. enganxats concreció
Ia/lc	C	6	44	ceràmica	mà					21	25	5	70,0	19,0	390,0		V		vora	
Ia/lc	C	6	45	ceràmica	mà					21	15	7	74,0	25,0	391,0		P		informe	
Ia/lc	C	6	46	os	Macro								68,0	46,0	397,0					estella
Ia/lc	C	6	47	os	Macro								54,0	27,0	387,0	SE-NW	SE			mandibula bovi
Ia/lc	C	6	48	ceràmica	mà					37	28	17	82,0	51,0	394,0				informe	2 frag.enganxats. concreció
Ia/lc	C	6	49	ceràmica	mà					42	30	17	85,0	49,0	397,0					2 frag.enganxats.concreció
Ia/lc	C	6	50	ceràmica	mà					65	50	12	94,0	48,0	390,0					concrecionada. 2 frag.

GUINEU-C6

Nivell	Q.a.	Q.n.	Nº	Materia	Sup.	Taló	Cort.	Alt.	Conc.	Long.	Amp.	Gruix	X	Y	Z	Orient.	Pend.	Tipus prim.	Formes cer.	Observacions
Ic/Id	C	6	51	os	Macro															3 frag.
Ic/Id	C	6	52	ceràmica	mà					39	19	5	92,0	4,0	387,0				Informe	
Ic/Id	C	6	53	ceràmica	mà					43	42	10	93,0	11,0	390,0	SE-NW	V		base	
Ic/Id	C	6	54	carbó																
Ic/Id	C	6	55	carbó																
Ic	C	6	56	os	micro															5 ossos det.(26-7)
Ic	C	6	57	os	micro															6 ossos det.(26-7)
Ic/Id	C	6	58	os	micro								17,0	22,0	377,0					estella diaf.
Ic/Id	C	6	59	ceràmica	mà								15,0	13,0	383,0	E-W	V		Informe	5 frags. a i d enganxats a d i
Ic/Id	C	6	60	ceràmica	mà					23	19	9	13,0	21,0	383,0				vora	
Ic/Id	C	6	61	ceràmica	mà					23	19	7	6,0	20,0	383,0		V		Informe	
Ic/Id	C	6	62	ceràmica	mà					27	22	12	10,0	21,0	384,0				Informe	
Ic/Id	C	6	63	ceràmica	mà					65	37	10	8,0	31,0	384,0	NE-SW	P	acanalats	vora	decorada
Ic/Id	C	6	64	ceràmica	mà					40	30	10	12,0	27,0	384,0			acanalats	Informe	Bronze final
Ic/Id	C	6	65	ceràmica	mà					47	36	9	18,0	28,0	384,0		V		Informe	
Ic/Id	C	6	66	ceràmica	mà					32	22	7	13,0	13,0	383,0	E-W	V		Informe	
Ic/Id	C	6	67	ceràmica	mà					24	18	6							Informe	
Ic/Id	C	6	68	os	Macro															frag. det (28-7)
Ic/Id	C	6	69	os	Macro															estella diaf. (28-7)
Ic/Id	C	6	70	ceràmica	mà					25	18	5							Informe	(28-7)
Ic/Id	C	6	71	os	micro															7 det. (28-7)
Ic/Id	C	6	72	ceràmica	mà					32	26	8	13,0	29,0	385,0	N-S	P		Informe	
Ic/Id	C	6	73	os	Macro								8,0	18,0	384,0					frag. diaf
Ic/Id	C	6	74	ceràmica	mà					50	36	10	5,0	17,0	384,0					
Ic/Id	C	6	75	malacologia	carago															
Ia/Ic	C	6	76	ceràmica	mà					32	16	9							Informe	(29-7)
Ia/Ic	C	6	77	ceràmica	mà					27	17	8								carena? (29-7)
Ia/Ic	C	6	78	ceràmica	mà					34	23	10							Informe	(29-7)
Ia/Ic	C	6	79	os	micro															7 det. i 2 mandíbules (29-7)
Ia/Ic	C	6	80	os	Macro															dent (29-7)
Ia/Ic	C	6	81	os	Macro															3 estelles (29-7)
Ia/Ic	C	6	82	os	Macro															frag. det. (29-7)

GUINEU-C7

Nivell	Q.a	Q.n	Nº	Matèria	Sup.	Taló	Cort.	Ait.	Conc.	Long.	Amp.	Gruix	X	Y	Z	Orient.	Pend	Tipus prim.	Formes cer.	Observacions
	C	7	230	carbó									26,0	0,0	350,0					
IA/IC	C	7	231	os	macro								75,0	0,0	354,0					Estella diáfisi
IA/IC	C	7	232	carbó									65,0	58,0	361,0					
IA/IA/C	7	233	carbó										80,0	69,0	233,0					
IA/IC	C	7	234	os	macro								86,0	13,0	339,0	NW-SE	NW			Frag. costella
IA/IC	C	7	235	cargol									90,0	25,0	337,0	NE-SW	NW			
IA/IC	C	7	236	os	macro								90,0	31,0	338,0					Frag. diáfisi
IA/IC	C	7	237	ceràmica	mà					39	18	6	99,0	10,0	341,0				informe	
IA/IC	C	7	238	os	macro															Garbell, Estella
IA/IC	C	7	239	os	micro								86,0	10,0	345,0	E-W	W	conill		Frag, costella
IA/IC	C	7	240	os	macro								92,0	23,0	346,0					Dent
IA/IC	C	7	241	os	micro								93,0	43,0	356,0			conill		Frag. diáfisi
IA/IC	C	7	242	os	micro								98,0	8,0	344,0	E-W	P			Epifisi
IA/IC	C	7	243	os	micro								90,0	8,0	344,0	E-W	P	conill		Ulna
IA/IC	C	7	244	os	micro															Garbell, Dent
IA/IC	C	7	245	os	micro															Garbell, Diáfisi
IA/IC	C	7	246	os	macro								87,0	0,0	345,0					Vèrtebra concrecionada
IA/IC	C	7	247	os	macro								90,0	2,0	347,0					Dent
	C	7	248	ceràmica	mà					36	28	6	98,0	16,0	343,0				informe	
	C	7	249	os	micro								5,0	6,0	347,0			conill		Det.
	C	7	250	carbó																Garbell.
	C	7	251	os	macro								98,0	95,0	379,0					Costella
IC	C	7	252	os	macro								44,0	35,0	358,0	E-W	P			Epifisi, costella, humà?, inte
IC	C	7	253	os	micro								35,0	50,0	364,0	E-W	P	conill		Epifisi, interior
IC	C	7	254	os	macro								61,0	30,0	365,0	N-S	P			Frag. costella, interior
IC	C	7	255	ceràmica	mà					48	25	9	87,0	53,0	366,0				informe	Enganxa amb 263, interior
IC	C	7	256	os	micro								39,0	50,0	366,0			conill		Estella, frag. diáfisi, interior
IC	C	7	257	os	macro								5,0	6,0	347,0					Det. frag. costella, interior
IC	C	7	258	os	micro								5,0	6,0	347,0					Det., interior
IC	C	7	259	os	micro								6,0	5,0	347,0			conill		Epifisi, interior
IC	C	7	260	os	micro								6,0	5,0	347,0			conill		Diáfisi, interior
IC	C	7	261	os	micro								15,0	55,0	363,0	NE-SW				Frag. diáfisi, interior
IC	C	7	262	carbó																garbell, interior
IC	C	7	263	ceràmica	mà					23	13	8							informe	garbell, interior, enganxa am
IC	C	7	264	os	micro													conill		Garbell, frag. diáfisi, interior
IC	C	7	265	os	macro															garbell, frag. coset
IC	C	7	266	os	micro															garbell, det. interior
IC	C	7	267	ceràmica	mà					28	26	10							informe	garbell, interior
IC	C	7	268	os	humà															garbell, frag. cranr. (a, b), in
IC	C	7	269	os	micro													conill		garbell, frag. diáfisi, interior
IC	C	7	270	os	micro															garbell, frag. crani, (a,b), inte
IC	C	7	271	os	macro															garbell, estella diáfisi, varis
IC	C	7	272	os	micro															garbell, 2 frag. de erior
IC	C	7	273	os	micro													conill		garbell, 3 ossos det., interior
IC	C	7	274	os	micro															garbell, varis osss, interior

GUINEU-C7

Nivell	Q.a.	Q.n.	Nº	Matèria	Sup.	Taló	Cort.	Alt.	Conc.	Long.	Amp.	Gruix	X	Y	Z	Orient.	Pend.	Tipus prim.	Formes cer.	Observacions
IC	C	7	275	os	micro															garbell, 2 ossos det., interior
IC	C	7	276	os	micro													conill		garbell, frag. maxilar, interior
IC	C	7	277	malacologia	cargó															garbell, 11 exemplars, interior
IC	C	7	278	carbons																garbell, interior
IC	C	7	279	os	macro								14,0	16,0	362,0					3 frags. costella, talús
IC	C	7	280	ceràmica	mà					35	30	6	44,0	5,0	368,0					Talús
IC	C	7	281	os	macro								57,0	25,0	362,0					Costella, talús
IC	C	7	282	ceràmica	mà					52	45	10	65,0	30,0	366,0			Informe		Talús
IC	C	7	283	os	macro								99,0	7,0	367,0					Frag. costella, talús
IC	C	7	284	os	macro															garbell, epifisi, tl
IC	C	7	285	os	macro															garbell, det. talús
IC	C	7	286	os	micro															garbell, det., talús
IC	C	7	287	os	micro															garbell, 2 estelles, talús
IC	C	7	288	os	macro								30,0	18,0	367,0					Frag. mandíbula, talús
IC	C	7	289	ceràmica	mà					19	30	7	48,0	10,0	368,0			vora		Talús
IC	C	7	290	quars	AF	L				10	9	4	49,0	24,0	360,0					Talús
IC	C	7	291	carbó									58,0	14,0	367,0				Talús	Talús
IC	C	7	292	ceràmica	mà					49	21	15	47,0	10,0	366,0			Informe		Talús
IC	C	7	293	ceràmica	mà					50	46	10	67,0	66,0	372,0	N-S		Informe		Talús
IC	C	7	294	os	micro								75,0	65,0	372,0					Mandíbula, talús
IC	C	7	295	silix	FN								78,0	29,0	374,0					
IC	C	7	296	os	micro								85,0	25,0	374,0			Conill		Frag det. Talús
IC	C	7	297	os	micro								94,0	21,0	373,0			Conill		Pèlvis det. Talús
IC	C	7	298	ceràmica	mà					28	20	6	48,0	10,0	368,0			Informe		Talús
IC	C	7	299	ceràmica	mà					33	25	13	90,0	5,0	375,0	N-S	V	Informe		4 frag. Talús
IC	C	7	300	os	macro								52,0	25,0	375,0					Estella. Talús
IC	C	7	301	os	macro								52,0	33,0	370,0	N-S				Estella. Talús
IC	C	7	302	os	macro								48,0	30,0	374,0	E-O	E			Estella diáfisi. Talús
IC	C	7	303	os	macro								48,0	34,0	371,0	NO-SE	NO			3 estelles. Talús
IA/IC	C	7	304	ceràmica	mà					32	20	15						Informe		Garbell. Amb concreció. Talús
IA/IC	C	7	305	os	macro															Frag det. Talús. Garbell.
IC	C	7	306	ceràmica	mà					12	13	2						Informe		Garbell. Talús
IC	C	7	307	os	micro															Garbell. 12 estelles Talús.
IC	C	7	308	os	micro															Garbell. Talús. 14 ossos det.
IC	C	7	309	os	micro															5 dents Garbell. Talús
IC	C	7	310	Os	micro													Conill		Garbell. Talús. Vèrtebra
IC	C	7	311	Os	micro															Garbell. Talús. Det.
IC	C	7	312	Os	micro														Ocell	Garbell. Talús.
IC	C	7	313	Os	micro													Conill		Garbell. Talús. Ulna.
IC	C	7	314	Os	macro															Garbell. Talús. Estella crema
IC	C	7	315	Os	micro															Garbell. Talús. 5 estelles
IC	C	7	316	Os	micro															Garbell. talús. Mandíbula rose
IC	C	7	317	Os	micro															Garbell. talús. Dent
IC	C	7	318	Os	micro															Garbell. talús. Mandíbula
IC	C	7	319	Os	micro															Garbell. Talús. 7 ossos det.

Nivell	Q.a.	Q.n.	Nº	Matèria	Sup.	Taló	Cort.	Ait.	Conc.	Long.	Amp.	Gruix	X	Y	Z	Orient.	Pend.	Tipus prim.	Formes cer.	Observacions
1c	C	7	320	Ceràmica	mà					22	15	10								Garbell.Talús.Frag.
1c	C	7	321	Ceràmica	mà					15	13	14								Garbell.talús
1c	C	7	322	Ceràmica	mà					26	18	14								Garbell.Talús
1c	C	7	323	Os	macro															Garbell.Talús 12 fragments.
1c	C	7	324	Ceràmica	mà					50	43	7	81,0	8,0	376,0	E-W			informe	4 frags.enganxats,Talús.
1c	C	7	325	Os	micro								92,0	13,0	376,0			Conill		Talús Estella
1c	C	7	326	Os	macro								83,0	18,0	375,0	E-W				Estella costella. Talús
1c	C	7	327	Ceràmica	mà					35	35	5	83,0	22,0	376,0	SW-NE			Vora	Talús
1c	C	7	328	Ceràmica	mà					25	17	7	79,0	34,0	374,0				informe	Talús
1c	C	7	329	Ceràmica	mà					31	18	5	70,0	51,0	374,0				informe	Talús
1c	C	7	330	Os	macro								54,0	34,0	374,0	N-S	S			3 frags, estella. Talús
1c	C	7	331	Os	macro								48,0	40,0	372,0					Talús
1c	C	7	332	Os	macro								30,0	40,0	371,0					Talús frag. estella
1c	C	7	333	Os	macro								21,0	30,0	371,0					talús. Frag.diàfisi cremat.
1c	C	7	334	Os	macro								16,0	34,0	371,0	NW-SE				Talús. Diàfisi
1c	C	7	335	Carbons																Garbell.Talús
1c	C	7	336	Cargols																Garbell. Talús
1c	C	7	337	Mostra mineral																Garbell.Talús
1c	C	7	338	Os	micro															Garbell talús. 6 frags.det. (4
1c	C	7	339	Ceràmica	mà					69	32	6	0,0	74,0	374,0	E-W	P		informe	Talús
1c	C	7	340	Os	micro								11,0	39,0	370,0	E-W	P	Conill		Estella (talús)
1c	C	7	341	Os	macro								22,0	51,0	372,0	E-W	P			Estella Talús
1c	C	7	342	Os	macro								14,0	24,0	369,0					Frag. mandíbula, talús
1c	C	7	343	Mostra mineral									27,0	29,0	374,0					Talús
1c	C	7	344	Dent									97,0	93,0	383,0	N-S	P	Carnivor		Talús
1c	C	7	345	Os	micro													Conill		Garbell.Talús Vèrtebra
1c	C	7	346	Ceràmica	mà					17	13	5							informe	Garbell.Talús
1c	C	7	347	Mostra mineral																Garbell.Talús estalagmita
1c	C	7	348	Os	micro													Conill		Garbell.Talús.Frag.pelvis
1c	C	7	349	Os	micro															Garbell.talús.Epifisi.
1c	C	7	350	Os	micro								26,0	56,0	373,0	E-W	P			Estella, costella, talús
1c	C	7	351	Os	macro								33,0	56,0	374,0	E-W				Estella, talús
1c	C	7	352	Os	macro								38,0	28,0	373,0					Estella, cremada, talús
1c	C	7	353	Os	macro								44,0	10,0	372,0	N-S	N			Estella, talús
1c	C	7	354	Os	macro								45,0	10,0	371,0					Dent, talús
1c	C	7	355	ceràmica	mà					37	18	6	42,0	60,0	373,0	SE-NW	P		informe	Talús
1c	C	7	356	Os	macro								45,0	61,0	375,0					Cremat, estella, talús
1c	C	7	357	Os	macro								32,0	26,0	373,0					Estella, cremada, talús
1c	C	7	358	Os	macro								15,0	7,0	373,0	E-W	P			Diàfisi, estella, talús
1c	C	7	359	silex	AF	L	NC	B		20	20	5	30,0	21,0	374,0				P	no té punt vermell.
1c	C	7	360	carbó									38,0	19,0	375,0					Talús
1c	C	7	361	Os	macro								62,0	18,0	376,0	N-S	N			Estella, costella, talús
1c	C	7	362	Os	macro	13	8	372					13,0	8,0	372,0					Estella, diàfisi, talús
1c	C	7	363	carbó									19,0	14,0	372,0					Talús
1c	C	7	364	ceràmica	mà					7	5	3	53,0	14,0	377,0				informe	Talús

GUINEU-C7

Nivell	Q.a.	Q.n.	Nº	Matèria	Sup.	Taló	Cort.	Alt.	Conc.	Long.	Amp.	Gruix	X	Y	Z	Orient.	Pend	Tipus prim.	Formes cer.	Observacions	
IC	C	7	365	carbó									61,0	28,0	379,0					Talús	
IC	C	7	366	os	macr								64,0	3,0	377,0	N-S	P	ovicapri		Dent, talús	
IC	C	7	367	os	macr								64,0	12,0	375,0	N-S	N			Estella, talús	
IC	C	7	368																	Garbell, estella diàfisi, talús	
IC	C	7	369	os	macr															Garbell, cremat, det., talús	
IC	C	7	370	os	micr															Garbell, varis frags. (mandíb)	
IC	C	7	371	os	macr															4 frags. estella, talús	
IC	C	7	372	carbó									10,0	14,0	373,0					Frag. diminut, talús	
IC	C	7	373	carbó									21,0	10,0	373,0					Talús	
IC	C	7	374	ceràmica	mà					35	28	15	58,0	30,0	377,0	E-W	P			Talús	
IC	C	7	375	ceràmica	ma					63	35	9	65,0	44,0	375,0	E-W	P	informe		Talús	
IC	C	7	376	ceràmica	mà					44	36	11	41,0	31,0	377,0	N-S	N			Talús	
IC	C	7	377	os	micr								59,0	21,0	374,0	NO-SE	P	conill		Hümer.Talús	
IC	C	7	378	cargol																Garbell. Talús	
IC	C	7	379	carbó																Garbell. Talús	
IC	C	7	380	os	macr								15,0	5,0	374,0					2 estelles costella ( a,b ). Ta	
IC	C	7	381	carbó									12,0	12,0	373,0					Varis. Talús	
IC	C	7	382	cargol																Garbell. Talús . 2	
IC	C	7	383	carbó									45,0	35,0	372,0					no té punt vermell	
IC	C	7	384	os	macr								44,0	45,0	380,0					Vèrtebra. Talús	
IC	C	7	385	os	macr								44,5	45,5	380,0					Costella. Talús	
IC	C	7	386	os	macr								44,0	45,0	380,0					Estella. Talús	
IC	C	7	387	silex	F		INC	B		17	14	11								Garbell.	
IC	C	7	388	os	micr																Garbell. Tibia. Talús
IC	C	7	389	os	macr																2 estelles. Talús
IC	C	7	390	os	macr																Garbell. Frag. banya. Talús
IC	C	7	391	os	micr																Garbell. Det. Talús
IC	C	7	392																		Salt llibreta
IC	C	7	393																		salt llibreta
IC	C	7	394																		salt llibreta
IC	C	7	395																		salt llibreta
IC	C	7	396																		salt llibreta
IC	C	7	397																		salt llibreta
IC	C	7	398																		salt llibreta
IC	C	7	399																		salt llibreta
IC	C	7	400	carbons																	Garbell. Talús
IC	C	7	401	malacologia																	Garbell. 2 frags. Talús
IC	C	7	402	os	micr								15,0	5,0	374,0					Dent. Talús	
IC	C	7	403	os	micr								15,0	5,0	374,0						Fémur. Talús
IC	C	7	404	os	micr								15,0	5,0	374,0						Det. Talús
IC	C	7	405	os	macr								18,0	18,0	379,0						Estella. Talús
IC	C	7	406	os	macr								18,0	18,0	375,5						Estella. Talús
IC	C	7	407	os	macr								18,0	18,0	371,0						Frag costella Talús
IC	C	7	408																		No té punt vermell
IC	C	7	409	os	micr								68,0	19,0	379,0						Frag talús

GUINEU-C7

Nivell	Q.a	Q.n.	Nº	Matèria	Sup.	Taló	Cort.	Alt.	Conc.	Long.	Amp.	Gruix	X	Y	Z	Orient.	Pend.	Tipus prim.	Formes cer.	Observacions
IC	C	7	410	os	micro								99,0	23,0	372,0			conill		Epifisi, talús
IC	C	7	411	os	micro								99,0	29,0	372,0					Estella, talús
IC	C	7	412	os	macro															Garbell, estella, talús
IC	C	7	413	os	micro															Garbell, 8 frags. (2 epi, 5 ma)
IC	C	7	414	os	macro								54,0	39,0	375,0					Estella, talús
IC	C	7	415	os	macro								58,0	39,0	378,0					Estella, talús
IC	C	7	416	os	humà								66,0	33,0	378,0					Estella, talús
IC	C	7	417	sil·lex	F		NC	B		38	36	12	59,0	35,0	378,0					Retocada?, talús
IC	C	7	418	ceràmica	mà					40	39	8	95,0	21,0	374,0				informe	Talús
IC	C	7	419	mostra minera																Garbell, talús
IC	C	7	420	os	macro															Garbell, 3 estelles (a,b,c, a=)
IC	C	7	421	os	micro															Garbell, 2 frags. ta
IC	C	7	422	carbó									64,0	31,0	379,0					Talús
IC	C	7	423	os	macro								69,0	25,0	378,0					2 estelles (a, b siglats), talús
IC	C	7	424	ceràmica	mà					28	35	8	85,0	9,0	380,0				informe	Talús
IC	C	7	425	os	macro								91,0	10,0	376,0					Estella, talús
IC	C	7	426	os	macro								98,0	22,0	376,0					Talús
IC	C	7	427	os	humà								91,0	28,0	374,0					Talús
IC	C	7	428	os	humà															Garbell, dent, talús
IC	C	7	429	os	macro															Garbell, 2 frags., talús
IC	C	7	430	ceràmica	mà					12	8	4							informe	Garbell, 3 frags. (a siglat)
IC	C	7	431	carbó																Garbell, talús
IC	C	7	432	malacologia																Garbell, talús
IC	C	7	433	ceràmica	mà					26	42	7	58,0	62,0	379,0				Vora	Talús
IC	C	7	434	os	macro								70,0	22,0	380,0					Estella cremat. Talús
IC	C	7	435	ceràmica	mà					20	18	7							informe	Garbell. Talús
IC	C	7	436	ceràmica	mà					42	32	12	83,0	38,0	382,0				informe	5 frags ( a,b,c,d, siglats i enc)
IC	C	7	437	os	micro								80,0	40,0	379,0					Tibia. Talús
IC	C	7	438	os	micro								77,0	30,0	378,0			conill		Estella det. Talús
IC	C	7	439	ceràmica	mà					107	90	12	72,0	50,0	394,0		V		informe	2 frags enganxats ( parets ru)
IC	C	7	440	ceràmica	mà					35	25	12	72,0	50,0	396,0	SE			informe	Talús
IC	C	7	441	ceràmica	mà					38	24	7	72,0	50,0	396,0				informe	Talús
IC	C	7	442	ceràmica	mà					11	11	6								Garbell. 2 frags no siglats. T
IC	C	7	443	os	macro								92,0	97,0	390,0	NO-SE	SE			Vèrtebra Talús
IC	C	7	444	ceràmica	mà					48	42	15	84,0	93,0	385,0	NO-SE	P		informe	Talús
IC	C	7	445	os	macro								8,0	10,0	375,0	NE-SO	NE			Frag estella diáfisi. Talús
IC	C	7	446																	no té punt vermell
IC	C	7	447	os	macro								40,0	2,0	370,0					frag crani, nunà ? Talús
IC	C	7	448	ceràmica	mà					34	28	5	52,0	15,0	383,0				informe	Talús
IC	C	7	449	os	macro								0,0	2,0	376,0					Estella diáfisi. Talús
IC	C	7	450	ceràmica	mà					32	22	8	0,0	27,0	382,0	N-S	P		informe	frag. Talús
IC	C	7	451	carbó									5,0	38,0	383,0					Talús
IC	C	7	452	ceràmica	mà					32	26	7	7,0	47,0	379,0	NE-SO	NE		informe	Talús
IC	C	7	453	ceràmica	mà					29	30	6	16,0	22,0	384,0		P		carena	Talús
IC	C	7	454	os	humà								48,0	60,0	377,0					Frag. epifisi, 5 frags ( a i b s

GUINEU-C7

Nivell	Q.a.	Q.n.	Nº	Matèria	Sup.	Taló	Cort.	Alt.	Conc.	Long.	Amp.	Gruix	X	Y	Z	Orient.	Pend.	Tipus prim.	Formes cer.	Observacions			
IC	C	7	455	os	macro															Garbell. 7 frags (estelles i a			
IC	C	7	456	os	micro														conill	Garbell. 2 frags. Talús			
IC	C	7	457	ceràmica	mà					43	56	7								informe	Garbell. Carena. Talús		
IC/ID	C	7	458	malacologia	cargol																Garbell. 2 frags.		
IC/ID	C	7	459	ceràmica	mà					11	9	6									informe	Garbell	
IC/ID	C	7	460	os	micro																	Garbell, 7 ossos det.	
IC/ID	C	7	461	ceràmica	mà					15	8	6	12,0	63,0	382,0					V	informe	Frag.	
IC/ID	C	7	462	os	macro								27,0	61,0	381,0	E-W				E		Estella diàfisi	
IC/ID	C	7	463	malacologia																		Garbell	
IC/ID	C	7	464	cargol																		Garbell	
IC/ID	C	7	465	carbó																		Garbell	
IC/ID	C	7	466	cargol																		Garbell	
IC/ID	C	7	467	os	macro								13,0	30,0	487,0							Estella, diàfisi	
IC/ID	C	7	468	silex	AF	L	CN			24	25	12	13,0	46,0	389,0								
IC/ID	C	7	469	os	macro								7,0	64,0	386,0	NW-SE				SE		Estella diàfisi	
IC/ID	C	7	470	Carbó																		Garbell	
IC/ID	C	7	471	ceràmica	mà					18	14	6	42,0	1,0	377,0							informe	
IC/ID	C	7	472	ceràmica	mà					25	15	8	7,0	8,0	386,0	E-W				P		informe	
IC/ID	C	7	473	os	macro								12,0	16,0	386,5	N-S				P		Estella diàfisi	
IC/ID	C	7	474	ceràmica	mà					17	14	5	17,0	8,0	384,5							informe	2 frags. (a, b no enganxen; a
IC/ID	C	7	475	ceràmica	mà					45	26	12	9,0	31,0	386,5	NW-SE				V		Fons	
IC/ID	C	7	476	ceràmica	mà					31	27	7	16,0	38,0	386,0	NW-SE				P		vora	
IC/ID	C	7	477	carbó									23,0	41,0	384,5								
IC/ID	C	7	478	os	micro								24,0	52,0	384,5								Mandíbula
IC/ID	C	7	479	os	macro																	Garbell, 7 frags. diàf., 1 frag.	
IC/ID	C	7	480	os	micro																	Garbell, 2 det., 1 mandib, 1 e	
IC/ID	C	7	481	os	micro																	Garbell, 2 estelles diàfisi	
IC/ID	C	7	482	os	humà																	Garbell	
IC/ID	C	7	483	ceràmica	mà					14	12	5										informe	Garbell, 2 frags.
IC/ID	C	7	484	ceràmica	mà					20	10	8	7,0	0,0	377,5							informe	2 frags. (a i b siglats), no eng
IC/ID	C	7	485	carbó									9,0	0,0	377,5								
IC/ID	C	7	486	os	macro								10,0	4,0	382,0	N-S				N		Estella diàfisi	
IC/ID	C	7	487	ceràmica	mà					23	15	5	16,0	5,0	383,5							informe	
IC/ID	C	7	488	os	macro								17,0	7,0	384,0								Estella diàfisi
IC/ID	C	7	489	carbó									19,0	27,0	385,0								
IC/ID	C	7	490	os	macro								26,0	30,0	384,0	E-W				W		Frag. epifisi	
IC/ID	C	7	491	os	macro								43,0	65,0	382,0						P		Frag.
IC/ID	C	7	492	ceràmica	mà					34	23	7	33,0	62,0	384,0							informe	
IC/ID	C	7	493	ceràmica	mà					42	38	7	27,0	63,0	384,5	E-W				P		informe	Brunyida
IC/ID	C	7	494	ceràmica	mà					50	43	10	28,0	63,0	384,0	E-W				P		informe	
IC/ID	C	7	495	ceràmica	mà					49	40	7	14,0	8,0	384,0							informe	
IC/ID	C	7	496	ceràmica	mà					23	14	7	21,0	12,0	386,0	NE-SO				SO		informe	No té punt vermell
IC/ID	C	7	497	os	macro								29,0	18,0	384,5								Estella diàfisi
IC/ID	C	7	498	os	micro								23,0	26,0	385,5								Mandíbula
IC/ID	C	7	499	ceràmica	mà					29	20	7	40,0	26,0	386,0	NE-SW				P		informe	



Nivell	Q.a.	Q.n.	Nº	Matèria	Sup.	Taló	Cort.	Alt.	Conc.	Long.	Amp.	Gruix	X	Y	Z	Orient.	Pend.	Tipus prim.	Formes cer.	Observacions
IC/ID	C	7	500	os	macr								31,0	63,0	382,5	NE-SW	SW			Estella diáfisi
IC/ID	C	7	501	os	macr								40,0	74,0	382,0	NE-SW	V			Frag. costella
IC/ID	C	7	502	os	micro								12,0	16,0	386,5	N-S	P			Os det.
IC/ID	C	7	503	Mostra mineral	Gres															Garbell
IC/ID	C	7	504	os	macr															Garbell, Frag- estella diáfisi
IC/ID	C	7	505	os	micro													conill		Garbell, frag. diáfisi
IC/ID	C	7	506	os	macr															Garbell, Frag. cremat
IC/ID	C	7	507	ceràmica	mà					38	27	11	27,0	66,0	386,5	N-S	S		informe	
IC/ID	C	7	508	os	macr								33,0	65,0	383,5	N-S	S			Frag. costella
IC/ID	C	7	509	os	micro								39,0	64,0	382,0					Estella diáfisi
IC/ID	C	7	510	ceràmica	mà					36	34	8	42,0	74,0	383,5		S		Carena	
IC/IC	C	7	511	os	macr								54,0	56,0	374,0					Frag. epifisi
IC/ID	C	7	512	ceràmica	mà					50	33	11	67,0	30,0	388,0		NE		informe	a,b,c, enganxats
IC/ID	C	7	513	ceràmica	mà					24	19	9	73,0	24,0	381,0		NE		informe	20 frags. de vora siglats, eis
IC/ID	C	7	514	ceràmica	mà					21	18	6	76,0	23,0	378,0				informe	
IC/ID	C	7	515																	no té punt vermell
IC/ID	C	7	516	os	micro								92,0	84,0	421,0			ocell		zona terra solta i blocs talús
IC/ID	C	7	517	carbó																Garbell.
IC/ID	C	7	518	malacologia																Garbell.
IC/ID	C	7	519	ceràmica	mà					31	21	6							informe	Garbell
IC/ID	C	7	520	os	macr															Garbell. Estella diáfisi
IC/ID	C	7	521	os	macr															Garbell. Estella diáfisi.
IC/ID	C	7	522	ceràmica	mà					19	18	6							informe	Garbell
IC/ID	C	7	523	ceràmica	mà					9	10	4							informe	Garbell. 2 frags no siglats.
IC/ID	C	7	524	os	micro															Garbell. 1 vèrtebra + 1 os det
IC/ID	C	7	525	os	macr								56,0	56,0	372,0	N-S	N			Frag. diáfisi.
IC/ID	C	7	526	os	macr								45,0	65,0	372,0	N-S	S	ovicapri		Os det.
IC/ID	C	7	527	os	macr								53,0	68,0	384,0	NO-SE	S			Estella diáfisi ( det. )
IC/ID	C	7	528	os	macr								61,0	62,0	384,0	E-O				Estella diáfisi concrecionada
IC/ID	C	7	529	ceràmica	mà					24	22	8	72,0	42,0	393,0				informe	a i b no enganxats ; a mesura
IC/ID	C	7	530	ceràmica	mà					26	20	12	67,0	41,0	384,5	NE-SO	V		informe	
IC/ID	C	7	531	ceràmica	mà					28	23	8	59,0	12,0	380,5		S		informe	
IC/ID	C	7	532	os	humà															Garbell. Frag. vèrtebra
IC/ID	C	7	533	os	macr															Garbell. Estella diáfisi crema
IC/ID	C	7	534	os	micro															Garbell. Vèrtebra
IC/ID	C	7	535	carbó																Garbell.
IC/ID	C	7	536	malacologia																Garbell.

Nivell	Q.a.	Q.n.	Nº	Matèria	Sup.	Taló	Cort.	Alt.	Conc.	Long.	Amp.	Gruix	X	Y	Z	Orient.	Pend.	Típus prim.	Formes cer.	Observacions
IB/IC	C	8	66	Os	Macro								67,0	22,0	361,0					Vèrtebra.
IB/IC	C	8	67	Os	Macro								68,0	13,0	350,0					Costella.
IB/IC	C	8	68	Ceràmica	Mà					51	33	6	40,0	4,0	367,0				vora	Llavi pla.
IB/IC	C	8	69	Ceràmica	Mà					52	34	7	43,0	4,0	367,0				informe	
IA	C	8	70	Ceràmica	Mà					43	32	8	70,0	21,0	353,0		W		vora	
IA	C	8	71	Os	humà								44,0	7,0	381,0		V			Frag. diàfisi
IA	C	8	72	Ceràmica	torn					52	25	8	61,0	40,0	346,0				vora	Romà
IA	C	8	73	Ceràmica	Mà					26	10	6	64,0	44,0	340,0				informe	
IA	C	8	74	Os	Micro								58,0	48,0	340,0					Frag. costella
IA	C	8	75	Os	Micro								83,0	54,0	344,0			Conill		Determinable
IA	C	8	76	Os	Micro								56,0	60,0	345,0			Conill		Vèrtebra
IA	C	8	77	Os	Macro								54,0	32,0	348,0					Vèrtebra
IA/IC	C	8	78	Os	Micro															Garbell.Epifisi
IA/IC	C	8	79	Os	Micro															Garbell. Frag.diàfisi
IA/IC	C	8	80	Os	Micro								13,0	89,0	352,0					Determinable
IA/IC	C	8	81	Os	Micro								30,0	100,0	352,0					Frag. mandibula
IA/IC	C	8	82	Ceràmica	Mà					45	43	12	43,0	10,0	380,0				Vora	
IA/IC	C	8	83	Carbó																Garbell
IA/IC	C	8	84	Malacologia	cargó															Garbell
IA/IC	C	8	85	Ceràmica	Mà					55	37	11	55,0	48,0	352,0				Informe	
IA/IC	C	8	86	Os	Macro								100,0	30,0	351,0					Frag. epifisi
IA/IC	C	8	87	Carbó									81,0	48,0	350,0					
IA/IC	C	8	88	Os	Macro								47,0	54,0	354,0					Frag. diàfisi cimentat
IA/IC	C	8	89	Os	Macro															Garbell. 2 estelles
IA/IC	C	8	90	Os	Macro								35,0	92,0	354,0					Epifisi
IA/IC	C	8	91	Os	Humà								40,0	64,0	346,0					Costella
IA/IC	C	8	92	Malacologia	cargó															Garbell.8 exemplars.
IA/IC	C	8	93	Carbons																Garbell
IA/IC	C	8	94	Ceràmica	Mà					27	20	11							informe	Garbell
IA/IC	C	8	95	Ceràmica	Mà					20	21	16							informe	Garbell
IA/IC	C	8	96	Os	Micro															Garbell.2 ossos det.
IA/IC	C	8	97	Os	Micro															Garbell. Frag. costella
IA/IC	C	8	98	Os	Macro															Garbell. Frag. epifisi
IA/IC	C	8	99	Os	Macro															Garbell. Estella diàfisi
IA/IC	C	8	100	Os	Micro															Garbell. Mandibula
IA/IC	C	8	101	Os	Micro													Conill		Garbell. Falange
IA/IC	C	8	102	Carbó																Garbell
IA/IC	C	8	103	Os	Macro								64,0	33,0	387,0					Frag. mandibula
IA/IC	C	8	104	Os	Macro								65,0	32,0	384,0					Estella
IA/IC	C	8	105	Os	Macro								85,0	23,0	389,0					Frag. costella (sota pedra)
IA/IC	C	8	106	Os	Macro								44,0	75,0	352,0					Frag. costella
IA/IC	C	8	107	Os	Macro															Garbell. Estella
IA/IC	C	8	108	Os	Macro															Garbell. Estella
IA/IC	C	8	109	Ceràmica	Mà					20	15	3							informe	Garbell
IA/IC	C	8	110	Ceràmica	Mà					27	18	5							informe	Garbell

Nivell	Q.a	Q.n	Nº	Matèria	Sup.	Taló	Cort.	Alt.	Conc.	Long.	Amp.	Guix	X	Y	Z	Orient.	Pend.	Tipus prim.	Formes cer.	Observacions
IA/IC	C	8	111	Os	Micro															Garbell.Vèrtebra
IA/IC	C	8	112	Os	Micro															Garbell. 2 estelles
IA/IC	C	8	113	Ceràmica	Mà					36	15	10							informe	Garbell
IA/IC	C	8	114	Os	Macro															Garbell. Vèrtebra
IA/IC	C	8	115	Os	Micro															Garbell.Diversos frags. det
IA/IC	C	8	116	Ceràmica	Mà					62	36	12							informe	Garbell
IA/IC	C	8	117	Os	Macro															Garbell. Estella
IA/IC	C	8	118	Ceràmica	Mà					17	9	4							informe	Garbell
IA/IC	C	8	119	Os	Macro															Garbell. Frag. costella
IA/IC	C	8	120	Os	Macro															Garbell. Concessió d'os
IA/IC	C	8	121	Os	Macro															Garbell.Estella
IA/IC	C	8	122	Os	Micro															Garbell. Varis frags. det.
IA/IC	C	8	123	Os	Micro															Garbell. 2 estelles
IA/IC	C	8	124	Ceràmica	Mà					36	23	20	45,0	88,0	367,0				informe	2 frags. enganxats (a,b)
IA/IC	C	8	125	Ceràmica						115	70	10	94,0	82,0	375,0				fons	Pla. 5 frags.( a-e enganxats)
IA/IC	C	8	126	Carbons																Garbell
IA/IC	C	8	127	Malacologia	Cargol															Garbell
IA/IC	C	8	128	Os	Macro								42,0	75,0	364,0	N-S	P	Ovicapri		Húmer ?
IA/IC	C	8	129	Os	Macro								50,0	78,0	362,0	NW-SE	NW			Fragment
IA/IC	C	8	130	Ceràmica	Mà					110	88	68	48,0	85,0	364,0	E-W	E		Fons	a,b,c,d informes/ 2 frags. cor
IA/IC	C	8	131	Os	Macro								49,0	83,0	365,0		NW			Bloc concessió. Frag.diàfisi
IA/IC	C	8	132	Ceràmica	Mà					51	41	14	94,0	82,0	375,0				Arranc cell	(Vora exvasada)
IA/IC	C	8	133	Ceràmica	Mà					67	62	10	55,0	83,0	365,0				informe	8 frags. (a,b,c siglats) enganxats
IA/IC	C	8	134	Ceràmica	Mà								65,0	80,0	371,0				Fons	1 frag. enganxat en dos, 2 frags.
IA/IC	C	8	135	Ceràmica	Mà					61	36	10	23,0	90,0	362,0	N-S	V			3 Frags enganxats
IA/IC	C	8	136	Os	Macro								35,0	99,0	365,0	E	SW			Frag. inserció barra
IA/IC	C	8	137	Ceràmica	Mà					15	14	10	25,0	80,0	373,0				informe	
IA/IC	C	8	138	Os	Macro								23,0	91,0	370,0					Frag cremat. Estella diàfisi
IA/IC	C	8	139	Ceràmica	Mà					35	27	16	32,0	100,0	369,0					
IA/IC	C	8	140	Os	Macro								40,0	100,0	367,0	E-W	P	Ovicapri		Mandíbula amb dents.
IA/IC	C	8	141	Os	Macro								39,0	96,0	370,0					Dent.
IA/IC	C	8	142	Os	Micro								39,0	93,0	370,0				Conill?	Vèrtebra
IA/IC	C	8	143	Ceràmica	Mà					22	14	11							informe	Garbell.3 frags.
IA/IC	C	8	144	Ceràmica	Mà					17	11	7							informe	Garbell
IA/IC	C	8	145	Os	Micro															Garbell. 2 estelles
IC	C	8	146	ceràmica	Mà					40	35	11	21,0	83,0	371,0					2 frags enganxats. Talús
IC	C	8	147	ceràmica	Mà					17	16	10	36,0	91,0	373,0					Talús
IC	C	8	148	os	micro								43,0	97,0	369,0				Conill	Frag. diàfisi, tibia. Talús
IC	C	8	149	ceràmica	mà					43	29	10	27,0	77,0	373,0					
IC	C	8	150	os	Macro								54,0	75,0	380,0					Frag. Concreció. Talús
IC	C	8	151	ceràmica	Mà					29	28	10	25,0	78,0	373,0			P		Talús
IC	C	8	152	ceràmica	Mà				si	43	32	14	70,0	70,0	378,0			P		Talús
IC	C	8	153	Sílex	FA		NC	B	si	32	31	15	72,0	70,0	378,0			V		Talús
IC	C	8	154	os	macro								75,0	50,0	378,0			P		Frag cremat Talús
IC	C	8	155	sílex	F		CM	B	si	31	21	17	56,0	90,0	378,0			V		Talús

GUIBEU-C8

Nivell	Q.a.	Q.n.	Nº	Matèria	Sup.	Taló	Cort.	Ait.	Conc.	Long.	Amp.	Gruix	X	Y	Z	Orient.	Pend	Tipus prim.	Formes cer.	Observacions
IC	C	8	156	os	macr								89,0	62,0	373,0	E-O	E	Ovicaprid		Diàfisi. Frag. talús
IC	C	8	157	os	macr								39,0	80,0	380,0					Frag. Talús
IC	C	8	158	os	macr								41,0	79,0	380,0					Estella. Talús
IC	C	8	159	carbó																Garbell. Talús
IC	C	8	160	cargols																Garbell. Talús
IC	C	8	161	os	macr								78,0	42,0	374,0					3 estelles ( a siglat i enganxats)
IC	C	8	162	os	humà								80,0	48,0	371,0	N-S	N			Costella , 2 frags enganxats.
IC	C	8	163	os	micr															Garbell. Frag. epifisi . Talús
IC	C	8	164	ceràmica	mà					46	31	9	70,0	58,0	371,0	N-S	N		informe	2 frags enganxats. Talús
IC	C	8	165	ceràmica	mà					33	20	8	73,0	50,0	372,0				Informe	2 frags. enganxats . Talús
IC	C	8	166	Malacologia	carg															Garbell. Talús
IC	C	8	167	carbó																Garbell. Talús
IC	C	8	168	os	micr													Conill		Garbell. Vèrtebra. Talús
IC	C	8	169	os	micr															Garbell. Talús
IC	C	8	170	os	micr															Garbell. Estella . Talús
IC	C	8	171	os	micr								52,0	94,0	374,0					Det. Talús
IC	C	8	172	ceràmica	mà					35	53	6	56,0	72,0	387,0					Voa Talús
IC	C	8	173	ceràmica	mà					24	18	6	62,0	72,0	378,0				Informe	Talús
IC	C	8	174	ceràmica	mà					16	15	6	75,0	80,0	378,0				Informe	2 frag. ( a siglat). Talús
IC	C	8	175	Ceràmica	mà					115	84	13	93,0	22,0	388,0	N-S	V		Fons pla	Entre blocs. Talús
IC	C	8	176	os	micr								49,0	13,0	391,0			Conill		Frag. costella . Talús
IC	C	8	177	os	micr								44,0	9,0	390,0			Conill		Ulna det. Talús
IC	C	8	178	os	micr								53,0	4,0	390,5			Rossegador		Pelvis det. Talús
IC	C	8	179	os	macr								51,0	0,0	392,0					Varis frags. dent. Talús
IC	C	8	180	malacologia	carg															Garbell. Talús
IC	C	8	181	carbó																Garbell. Talús

Nivell	Q.a.	Q.n.	Nº	Matèria	Sup.	Taló	Cort.	Alt.	Conc.	Long.	Amp.	Gruix	X	Y	Z	Orient.	Pend.	Tipus prim.	Formes cer.	Observacions	
Ic / Id	C	9	521	Os	Humà								38,0	95,0	361,0					vértebra	
Ic / Id	C	9	522	Ceràmica	mà								72,0	90,0	367,5				informe	desapareguda percolada avall	
Ic / Id	C	9	523	Ceràmica	mà					48	25	6	22,0	81,0	367,5				vora		
Ic / Id	C	9	524	Os	micro								39,0	63,0	369,0			conill		epífisi	
Ic / Id	C	9	525	Os	micro								50,0	92,0	360,0					epífisi	
Ic / Id	C	9	526	Ceràmica	torn			24	19	3								vidriada	informe	(garbell) int. marró i ext. gr	
Ic / Id	C	9	527	Os	micro															(garbell) epífisi	
Ic / Id	C	9	528	Os	Macro															(garbell) estella	
Ic / Id	C	9	529	Os	Macro															(garbell) estella	
Ic / Id	C	9	530	Ceràmica	mà			51	44	13			17,0	79,0	380,0				informe		
Ic / Id	C	9	531	Ceràmica	mà			44	38	10			17,0	78,0	380,0				vora/carena		
Ic / Id	C	9	532	Os	Humà								16,0	71,0	380,0					frag. crani cremat	
Ic / Id	C	9	533	Os	Macro								15,0	87,0	370,0					frag. epífisi	
Ic / Id	C	9	534	Os	Macro								29,0	90,0	372,0					vértebra	
Ic / Id	C	9	535	Os	Macro								39,0	60,0	390,0					2 frags. determ. (a i b)	
Ic / Id	C	9	536	Os	Macro								84,0	75,0	373,0					estella diáfisi (a,b,c,d,e)	
Ic / Id	C	9	537	carbó									74,0	69,0	370,0						
Ic / Id	C	9	538	Ceràmica	mà			82	59	20									informe	(garbell)	
Ic / Id	C	9	539	Ceràmica	torn			31	27	10								Moderna	informe	(garbell) terrissa	
Ic	C	9	540	carbó																(garbell)	
Ic	C	9	541	Malacologia	cargó															(garbell) 3 cargols	
Ic	C	9	542	Os	Macro								90,0	0,0	249,0					determ. 3 frags.	
Ic	C	9	543	Os	Macro								94,0	0,0	249,0					costella	
Ic	C	9	544	Os	Macro								100,0	0,0	249,0					epífisi	
Ic	C	9	545	Os	Macro								50,0	100,0	391,0					epífisi	
Ic	C	9	546	Os	Macro								90,0	40,0	361,0					epífisi determ	
Ic	C	9	547	Os	Macro								98,0	26,0	324,0					determ.	
Ic	C	9	548	Os	Macro								81,0	20,0	341,0					frag. determ.	
Ic	C	9	549	Ceràmica	mà			35	30	5			41,0	43,0	378,0			Campaniforme	informe	2 frags. (enganxer) Vas '92,	
Ic	C	9	550	Ceràmica	mà			35	29	9			53,0	40,0	376,0				informe		
Ic	C	9	551	Os	micro								78,0	50,0	384,0					epífisi	
Ic	C	9	552	Os	Macro								79,0	45,0	388,0					costella	
Ic	C	9	553	carbó									84,0	49,0	386,0						
Ic	C	9	554	Ceràmica	mà			22	25	6									vora	(garbell) concrecionada	
Ic	C	9	555	Os	micro													conill		(garbell) frag. pelvis	
Ic	C	9	556	Os	micro															(garbell) 2 frags. determ.	
Ic	C	9	557	carbons																(garbell)	
Ic	C	9	558	Malacologia	cargó															(garbell)	
Ic	C	9	559	Os	micro								72,0	20,0	373,0					sencer determ.	
Ic	C	9	560	Os	micro								72,0	17,0	375,0					frag. diáfisi	
Ic	C	9	561	Os	Macro								75,0	23,0	353,0					costella	
Ic	C	9	562	Os	micro								76,0	8,0	379,0				conill ?	vértebra	
Ic	C	9	563	carbó									65,0	5,0	383,0						
Ic	C	9	564	Malacologia	cargó								68,0	3,0	386,0						
Ic	C	9	565	Os	Macro																(garbell) 8 estelles

Nivell	Q.a.	Q.n.	Nº	Materia	Sup.	Taló	Cort.	Ait.	Conc.	Long.	Amp.	Grutx	X	Y	Z	Orient.	Pend	Tipus prim.	Formes cer.	Observacions
lc	C	9	566	Os	micro															(garbell) 2 frags. diáfisis
lc	C	9	567	Os	micro															(garbell) 6 frags (det. 1 vér
lc	C	9	568	Os	micro															(garbell) 3 estelles
lc	C	9	569	Os	Macro								43,0	33,0	384,0					estella
lc	C	9	570	Os	micro								44,0	33,0	384,0					estella
lc	C	9	571	Os	micro								45,0	33,0	384,0					pelvis
lc	C	9	572	Os	Macro								39,0	50,0	380,0					estella
lc	C	9	573	Ceràmica	mà					60	22	10	49,0	50,0	386,0				informe	2 frags.
lc	C	9	574	Os	Macro								56,0	48,0	387,0			conill		vèrtebra (3 frags)
lc	C	9	575	Os	micro								100,	39,0	391,0					dent (incisiva superior)
lc	C	9	576	carbó									93,0	36,0	390,0					
lc	C	9	577	carbó									95,0	34,0	387,0					
lc	C	9	578	Ceràmica	mà					27	22	7	48,0	14,0	325,0				informe	nivell lb
lc	C	9	579	carbó									68,0	10,0	324,0					nivell lb
lc	C	9	580	Os	micro								69,0	9,0	318,0			conill		nivell lb pelvis
lc	C	9	581	Ceràmica	mà					41	27	9	43,0	54,0	382,0					2 frags. enganxats
lc	C	9	582	carbó									60,0	55,0	388,0					
lc	C	9	583	Os	Macro								53,0	41,0	387,0					2 frags. enganxats
lc	C	9	584	Ceràmica	mà					27	24	7								(garbell)
lc	C	9	585	Os	micro													conill		(garbell) diversos frags. (det
lc	C	9	586	Os	Macro															(garbell) estella diáfisi calc
lc	C	9	587	Os	micro															(garbell) diversos frags. (7 e
lc	C	9	588	Ceràmica	mà					49	45	8	4,0	0,0	342,0				informe	
lc	C	9	589	Os	Macro								7,0	4,0	343,0					estella
lc	C	9	590	Os	Macro								13,0	4,0	340,0			ovella		tibia distal
lc	C	9	591	Os	Humà								67,0	34,0	371,0					frag. diáfisi sig. amb 591A
lc	C	9	592	Ceràmica	mà					82	78	10	77,0	16,0	362,0					superfície allisada
lc	C	9	593	Malacologia	cargó															(garbell)
lc	C	9	594	Malacologia	cargó															(garbell)
lc	C	9	595	Ceràmica	mà					12	8	6							informe	(garbell)
lc	C	9	596	Os	micro															(garbell) 2 frags. epífisi det.
lc	C	9	597	Os	Humà								29,0	80,0	374,0	NO-E	N			vèrtebra (humana?)
lc	C	9	598	Os	micro								92,0	23,0	381,0					epífisi
lc	C	9	599	Os	micro								95,0	21,0	382,0			conill		epífisi i costella
lc	C	9	600	Os	Macro								97,0	16,0	383,0					dent
lc	C	9	601	Os	Macro								92,0	17,0	381,0					estella diáfisi
lc	C	9	602	Ceràmica	tonn					32	21	6	88,0	18,0	382,0			ibèrica ?	informe	dec. cordó digitat
lc	C	9	603	Os	Macro								80,0	47,0	378,0					enganxat núm. 591, amb 591b
lc	C	9	604	Ceràmica	mà					13	17	4	68,0	64,0	384,0				informe	
lc	C	9	605	Os	micro								60,0	65,0	384,0					frag. (ornitofauna?)
lc	C	9	606	Ceràmica	mà					75	75	12								(garbell) 2 frags. enganxats,
lc	C	9	607	Ceràmica	tonn					15	14	4								(garbell)
lc	C	9	608	Os	?															(garbell) estella
lc	C	9	609	carbó																(garbell)
lc	C	9	610	Malacologia	cargó															(garbell) 5 exemplars

GUINEU-C9

Nivell	Q.a.	Q.n.	Nº	Matèria	Sup.	Taló	Cort.	Alt.	Conc.	Long.	Amp.	Gruix	X	Y	Z	Orient.	Pend.	Tipus prim.	Formes cer.	Observacions
Ic	C	9	611	Os	micro															(garbell) determ.
Ic	C	9	612	carbó																(garbell)
Ic	C	9	613	Malacologia	cargo															(garbell)
Ic	C	9	614	Ceràmica	mà					43	35	13	95,0	21,0	379,0		N		informe	
Ic	C	9	615	Os	Macro								81,0	23,0	378,0	N-S	P			costella
Ic	C	9	616	Ceràmica	mà					49	47	10	84,0	42,0	384,0		P		informe	
Ic	C	9	617	Os	Macro								65,0	48,0	387,0	NW-SE	NW			3 estelles (siglades: a,b,c)
Ic	C	9	618	Os	micro								100,0	93,0	402,0	N-S	S	conill		frag. pelvis
Ic	C	9	619	carbó									14,0	0,0	363,0					
Ic	C	9	620	Os	Macro								13,0	13,0	373,0	NW-SE	NW			dent: decidua
Ic	C	9	621	Ceràmica	mà					19	12	5	5,0	24,0	372,0	NW-SE	NW		informe	3 frags. (siglats a,b)
Ic	C	9	622	Os	Macro								21,0	41,0	380,0	E-W	P			estella diáfisi
Ic	C	9	623	Ceràmica	mà					25	22	8	44,0	36,0	382,0	N-S	N		informe	
Ic	C	9	624	Os	micro								44,0	36,0	382,0	N-S	N			frag. diáfisi
Ic	C	9	625	Ceràmica	mà					30	24	6	50,0	45,0	388,0				vora	regruixida i exvasada
Ic	C	9	626	Os	micro								0,0	20,0	374,0	E-W	P	rossegador		mandíbula
Ic	C	9	627	Ceràmica	mà					30	19	11	0,0	43,0	383,0	NE-SW	N		informe	
Ic	C	9	628	Ceràmica	?					60	45	9	40,0	11,0	360,0				informe	
Ic	C	9	629	Ceràmica	?					32	19	7	44,0	15,0	365,0	N-S	N		informe	
Ic	C	9	630	Os	Macro															(garbell) teixit ossi
Ic	C	9	631	carbó																(garbell)
Ic	C	9	632	carbó																(garbell)
Ic	C	9	633	Malacologia	cargo															(garbell)
Ic	C	9	634	Os	Macro								7,0	15,0	377,0					fèmur
Ic	C	9	635	Os	Macro								12,0	32,0	375,0					frag. costella
Ic	C	9	636	Ceràmica	mà					15	14	6	48,0	37,0	395,5				informe	
Ic	C	9	637	Ceràmica	mà					42	29	8	50,0	32,0	383,0				informe	
Ic	C	9	638	Ceràmica	mà								56,0	32,0	395,0				informe	2 frags. enganxats
Ic	C	9	639	Ceràmica	mà					50	44	9	60,0	28,0	381,0				informe	
Ic	C	9	640	Ceràmica	mà					33	22	7	60,0	3,0	343,0				informe	
Ic	C	9	641	Os	micro								65,0	7,0	349,0			conill		hemimandíbula
Ic	C	9	642	Os	micro								65,0	8,0	350,5			conill		costella
Ic	C	9	643	Os	micro								70,0	16,0	350,0					determ.
Ic	C	9	644	Os	Macro								72,0	11,0	369,0					frag. determ.
Ic	C	9	645	Os	Macro								6,0	34,0	380,0					estella diáfisi
Ic	C	9	646	Os	Macro								14,0	30,0	380,0					estella diáfisi
Ic	C	9	647	Os	micro								40,0	6,0	356,0			conill		hemimandíbula
Ic	C	9	648	Ceràmica	mà					49	37	7	53,0	11,0	357,5				informe	
Ic	C	9	649	Ceràmica	mà					38	37	8							informe	(garbell)
Ic	C	9	650	Os	Macro															(garbell) estella diáfisi
Ic	C	9	651	Os	Macro															(garbell) estella diáfisi
Ic	C	9	652	Os	Macro															(garbell) frag. determ.
Ic	C	9	653	Os	micro													conill		(garbell) hemimandíbula
Ic	C	9	654	Os	micro													conill		(garbell) vèrtebra
Ic	C	9	655	Os	Macro															(garbell) 3 estelles diáfisi

Nivell	Q.a.	Q.n.	Nº	Matèria	Sup.	Taló	Cort.	Alt.	Conc.	Long.	Amp.	Gruix	X	Y	Z	Orient.	Pend.	Tipus prim.	Formes cer.	Observacions	
lc	C	9	656	Os	micro															(garbell) epifisi determ.	
lc	C	9	657	Malacologia	cargó																(garbell)
lc	C	9	658	Ceràmica	mà					36	25	6	10,0	0,0	368,0				informe		
lc	C	9	659	Ceràmica	mà					38	38	8	3,0	14,0	383,5				informe		
lc	C	9	660	Ceràmica	mà					23	21	9	10,0	32,0	391,0				informe		
lc	C	9	661	Ceràmica	mà					25	20	8	14,0	29,0	391,0				informe		
lc	C	9	662	Os	Macro								23,0	30,0	386,0			conill		epifisi fèmur	
lc	C	9	663	Os	Macro								30,0	34,0	387,0					estella diáfisi	
lc	C	9	664	Os	micro								36,0	37,0	394,5			conill		costella	
lc	C	9	665	Os	micro								41,0	40,0	395,0			conill		frag. costella	
lc	C	9	666	Os	Macro								52,0	40,0	394,5					estella diáfisi	
lc	C	9	667	Os	micro															(garbell) 5 frags. (mandíbules)	
lc	C	9	668	Os	Macro															(garbell) 3 estelles (1 crema)	
lc	C	9	669	Ceràmica	mà					71	41	9	53,0	20,0				SE		informe	
lc	C	9	670	Os	Macro								57,0	20,0		NW-SE	SE			informe	diáfisi
lc	C	9	671	Ceràmica	mà					45	36	8	38,0	0,0	344,0	S	S			informe	tall
lc	C	9	672	Ceràmica	mà					27	19	8								informe	(garbell)
lc	C	9	673	Os	micro																(garbell) 7 determs.
lc	C	9	674	Os	micro													conill		(garbell) falange	
lc	C	9	675	Os	micro													conill		(garbell) 2 estelles	
lc	C	9	676	Os	Macro															(garbell) 3 estelles	
lc	C	9	677	Malacologia	cargó																(garbell)
lc	C	9	678	Malacologia	cargó																(garbell)
lc	C	9	679	carbó																	(garbell) diversos
lc	C	9	680	Os	Humà								15,0	16,0	393,0						dent
lc	C	9	681	carbó																	(garbell) diversos
lc	C	9	682	Malacologia	cargó																(garbell) diversos
lc	C	9	683	Os	micro								6,0	26,0	384,0				conill		frag. diáfisi (perdut)
lc	C	9	684	Os	Macro								24,0	2,0	375,0						estella diáfisi (2 frags. enganxats)
lc	C	9	685	Os	micro								47,0	0,0	364,0				conill		fèmur
lc	C	9	686	ceràmica	mà					50	49	9	49,0	12,0	374,0	N-S	V			informe	vora/carena
lc	C	9	687	ceràmica	mà					51	40	11	37,0	0,0	371,0	E-W	N			informe	
lc	C	9	688	os	Macro																varis frags.
lc	C	9	689	os	micro																varis frags.
lc	C	9	690	ceràmica	mà					35	23	10	58,0	21,0	384,0					informe	
lc	C	9	691	os	Macro								62,0	10,0	383,0						estella diáfisi
lc	C	9	692	os	micro								53,0	23,0	390,0						fèmur
lc	C	9	693	os	micro								47,0	30,0	390,0						mandíbula
lc	C	9	694	os	micro								39,0	16,0	390,0						mandíbula
lc	C	9	695	os	micro								35,0	9,0	390,0						vèrtebra
lc	C	9	696	os	micro								27,0	18,0	391,0						tibia
lc	C	9	697	os	humà								24,0	3,0	390,0						frag.det.
lc	C	9	698	os	Macro								21,0	19,0	383,0						frag.epifisi
lc	C	9	699	os	Macro								20,0	16,0	393,0						teixit ossi
lc	C	9	700	os	micro								64,0	15,0	354,0				conill		os sencer det.



GUINEU-C9

Nivell	Q.a.	Q.n.	Nº	Matèria	Sup.	Taló	Cort.	Alt.	Conc.	Long.	Amp.	Gruix	X	Y	Z	Orient.	Pend.	Tipus prim.	Formes cer.	Observacions
lc	C	9	701	os	micro															varis frags. det.
lc	C	9	702	os	micro								68,0	13,0	358,0					fragment diàfisi
lc	C	9	703	os	Macro								66,0	16,0	360,0					estella diàfisi
lc	C	9	704	os	Macro								46,0	27,0	389,0					fragment indet
lc	C	9	705	os	micro								79,0	33,0	380,0					det.
lc	C	9	706	os	Macro								78,0	15,0	381,0					4 frags. base de crani
lc	C	9	707	os	Macro								59,0	8,0	387,0					frag. diàfisi
lc	C	9	708	malacologia																
lc	C	9	709	carbó																
lc	C	9	710	os	Macro								47,0	0,0	372,0					estella diàfisi
lc	C	9	711	os	Macro								35,0	0,0	386,0					estella diàfisi, 4 frags, siglat
lc	C	9	712	ceràmica	mà					36	30	10	33,0	0,0	384,0				informe	
lc	C	9	713	os	micro								25,0	13,0	386,0					epifisi
lc	C	9	714	os	Macro								21,0	18,0	388,0					estella diàfisi
lc	C	9	715	carbó									99,0	15,0	382,0					
lc	C	9	716	os	micro								89,0	44,0	388,0					os det.
lc	C	9	717	os	Macro								82,0	33,0	388,0					estella diàfisi cremada
lc	C	9	718	os	Macro															frag. epifisi
lc	C	9	719	ceràmica	mà					34	23	7	34,0	9,0	392,0				informe	a,b, siglats i enganxats
lc	C	9	720	ceràmica	mà					32	34	6	30,0	13,0	392,0	E-W	P	campaniforme	informe (arr	vas '91
lc	C	9	721	os	Macro								26,0	13,0	392,0					
lc	C	9	722	os	micro								24,0	12,0	392,0					2 frags costella (a,b siglats)
lc	C	9	723	os	Macro								35,0	0,0	249,0					vértebra
lc	C	9	724	os	Macro								38,0	0,0	372,0					estella diàfisi
lc	C	9	725	os	Macro								38,0	0,0	372,0					frag. diàfisi ( a,b i c siglats )
lc	C	9	726	ceràmica	torn?					20	15	6	33,0	0,0	384,0				informe	estella diàfisi
lc	C	9	727	os	micro															
lc	C	9	728	os	micro														conill	3 frags. ( dent, estella, os det
lc	C	9	729	ceràmica	torn					17	12	3							vora?	falange
lb/lc	C	9	730	ceràmica	mà								20,0	0,0	387,0	N-S		campaniforme	vora	vas '92, lleugeres escantonad
lb/lc	C	9	731	os	Macro								73,0	13,0	385,0					estella cremada
lb/lc	C	9	732	carbó									69,0	23,0	387,0					
lb/lc	C	9	733	os	micro								79,0	22,0	386,0				conill	frag. det.
lb/lc	C	9	734	os	micro								84,0	19,0	385,0	N-S				femur (ornitofauna?)
lb/lc	C	9	735	os	macro								94,0	28,0	388,0					estella diàfisi
lb/lc	C	9	736	ceràmica	mà					24	17	6	100,	89,0	390,0	E-W			vora	
lc	C	9	737	ceràmica	mà					64	53	10	49,0	32,0	397,0	E-W			informe	
lc	C	9	738	ceràmica	mà					56	43	7	42,0	29,0	392,0	NE-SW			informe	
lc	C	9	739	os	Macro								47,0	20,0	392,0	NE-SW				estella diàfisi ( enganxa amb
lb/lc	C	9	740	ceràmica	mà					63	37	8	48,0	25,0	393,0	NE-SW	NE		informe	
lb/lc	C	9	741	os	Macro								57,0	29,0	394,0	E-W	N			Fragment costella
lb/lc	C	9	742	os	Macro								55,0	24,0	392,0	E-W	P			mandibula carnicer
lb/lc	C	9	743	os	Macro								57,0	26,0	390,0					estella diàfisi (enganxa amb
lb/lc	C	9	744	ceràmica	mà					32	32	8	18,0	17,0	295,0				informe	polit?
	C	9	745	carbó																

GUINEÛ-C9

Nivell	Q.a.	Q.n.	Nº	Matèria	Sup.	Taló	Cort.	Alt.	Conc.	Long.	Amp.	Gruix	X	Y	Z	Orient.	Pend	Tipus prim.	Formes cer.	Observacions
	C	9	746	malacologia	cargol															
lc	C	9	747	os	micro															4 femurs, tibia i peronè, peïv
lc	C	9	748	os	micro															3 frags, 1 os det, 2 estelles,
lb/lc	C	9	749	ceràmica	mà					25	22	6							Informe	
lb/lc	C	9	750	os	Macro															estella diáfisi cremada
lb/lc	C	9	751	os	micro															estella diáfisi
lb/lc	C	9	752	os	Macro															fragment
lb/lc	C	9	753	os	micro															4 mandíbules
lb/lc	C	9	754	os	Macro															2 estelles + frag. costella
lb/lc	C	9	755	os	micro															1 epífisi, 1 tibia-peronè, 2 e
lb/lc	C	9	756	os	micro															frag. epífisi
lb/lc	C	9	757	carbó									83,0	30,0	386,0					
lb/lc	C	9	758	os	Macro								81,0	14,0	351,0					frag. costella ( 2 frags engan
lb/lc	C	9	759	os	Macro								57,0	15,0	373,0	N-S	N			dent
lb/lc	C	9	760	os	Macro								43,0	16,0	392,0					frag. diáfisi
lb/lc	C	9	761	os	Macro								43,0	16,0	392,0					estella diáfisi
lb/lc	C	9	762	os	Macro								43,0	16,0	392,0					estella diáfisi
lc	C	9	763	os	Humà								79,0	27,0	392,0					frag. mandíbula (consolidada)
lc	C	9	764	os	Macro								90,0	30,0	387,0	N-S	N			estella diáfisi
lc	C	9	765	os	macro								73,0	12,0	391,0					frag, det.
lc	C	9	766	os	micro								60,0	16,0	399,0			V		Det.
lc	C	9	767	os	Macro								55,0	10,0	392,0					frsq. det
lc	C	9	768	os	micro								50,0	20,0	393,0	NW-SE	N	conill		estella diáfisi cremada
lc	C	9	769	os	micro								52,0	39,0	396,0	N-S	P	conill		estella diáfisi cremada
lb	C	9	770	carbó																
lc	C	9	771	carbó																
lc	C	9	772	os	Macro															fragment det.
lc	C	9	773	os	micro														conill	1 epífisi (separat de 755)
lc	C	9	774	os	Macro															estella diáfisi
lc	C	9	775	os	micro															1 diáfisi, 1 epífisi, 1 frag. de
lc	C	9	776	os	Macro								48,0	13,0	402,0	E-W	P			estella diáfisi
lc	C	9	777	os	micro								38,0	60,0	397,0					frag. costella
lc	C	9	778	os	humà								32,0	86,0	393,0	N-S	P			os det.
lc	C	9	779	ceràmica	mà					20	17	9	11,0	80,0	393,0				Informe	
lc	C	9	780	os	Macro								21,0	50,0	397,0					estella, 2 frags diáfisi (a i b
lc	C	9	781	os	Macro								22,0	20,0	400,0			V	cervol	dent
lc	C	9	782	os	Macro								25,0	10,0	398,0					frag. crani
lc	C	9	783	os	Macro															fragment
lc	C	9	784	ceràmica	mà					14	13	6							Informe	
lc	C	9	785	os	micro														conill	4 estelles diáfisi
lc	C	9	786	os	Macro															estella diáfisi
lc	C	9	787	os	Macro								74,0	29,0	393,0					estella diáfisi cremada
lc	C	9	788	os	micro								71,0	16,0	394,0					vertebra
lc	C	9	789	os	micro								70,0	20,0	394,0					epífisi det.
lc	C	9	790	os									62,0	19,0	396,0					estella diáfisi

GUINEU-C9

Nivell	Q.a	Q.n	Nº	Materia	Sup.	Taló	Cort.	Ait.	Conc.	Long.	Amp.	Gruix	X	Y	Z	Orient.	Pend.	Tipus prim.	Formes cer.	Observacions	
lc	C	9	791	os	Macro								59,0	25,0	398,0					falange?	
lc	C	9	792	os	micro								57,0	38,0	399,0					estella diáfisi	
lc	C	9	793	os	Macro								50,0	39,0	397,0					estella diáfisi	
lc	C	9	794	os	Macro								51,0	20,0	405,0					estella calcinada	
lc	C	9	795	os	Macro								58,0	38,0	399,0		V	ovicapri		estella dent	
lc	C	9	796	os	Macro								27,0	25,0	400,0					estella, deter?	
lc	C	9	797	os	Macro								30,0	24,0	399,5	NE-SW	NE			estella diáfisi	
lc	C	9	798	os	Macro								14,0	32,0	396,0					frag. omóplat	
lc	C	9	799	carbó																	
lc	C	9	800	carbó																	
lc	C	9	801	os	micro															frag. crani?	
lc	C	9	802	ceràmica	mà					19	8	6							informe		
lc	C	9	803	os	Macro								90,0	34,0	393,0					Det	
lc	C	9	804	os	Macro								94,0	18,0	386,5					det	
lc	C	9	805	os	micro								61,0	60,0	397,0					frag. diáfisi det	
lc	C	9	806	os	micro								56,0	31,0	393,0			conill		mand'bul	
lc	C	9	807	ceràmica	mà					25	25	6	29,0	39,0	398,0				vora		
lc	C	9	808	os	Macro															dent	
lc	C	9	809	os	Macro															4 estelles diáfisi	
lc	C	9	810	os	micro															3 estelles diáfisi/ 4 os det.	
lc	C	9	811	silex	F		NC			14	6	4									
lc	C	9	812	os	micro													conill		1 tibia/ 2 det/ 3 estelles	
lc	C	9	813	os	micro													conill		epifisi	
lc	C	9	814	os	micro															2 os det.	
lc	C	9	815	os	Macro															estella diáfisi cremada	
lc	C	9	816	carbó																	
lc	C	9	817	malacologia																	varis fragments

GUINEU-C10

Nivell	Q.a.	Q.n.	Nº	Matèria	Sup.	Taló	Cort.	Alt.	Conc.	Long.	Amp.	Gruix	X	Y	Z	Orient.	Pend	Tipus prim.	Formes cer.	Observacions
Ic	C	10	1	os	micro								37,0	94,0	301,0			ocell		tibia
Ic	C	10	2	ceràmica	mà					26	20	7	34,0	95,0	383,0				informe	
Ic	C	10	3	ceràmica	mà					54	35	10	17,0	88,0	366,0				informe	
Ic	C	10	4	os	Macro								41,0	93,0	379,0					vèrtebra
Ic	C	10	5	os	micro								39,0	89,0	382,0			conill		vèrtebra

Nivell	Q.a	Q.n	Nº	Matèria	Sup.	Taló	Cort.	Alt.	Conc.	Long.	Amp.	Gruix	X	Y	Z	Orient.	Pend.	Tipus prim.	Formes cer.	Observacions
la/lid	D	6	81	ceràmica	mà					29	16	7	90,0	3,0	356,0				informe	arrancament coll
la/lid	D	6	82	os	Macro								97,0	25,0	357,0					frag. diaf
la/lid	D	6	83	os	Macro								95,0	27,0	357,0					estella
la/lid	D	6	84	os	Macro								82,0	31,0	354,0					epifisi
la/lid	D	6	85	ceràmica	mà					21	20	5	81,0	35,0	354,0				informe	vas urna
la/lid	D	6	86	metall									83,0	50,0	354,0					no recuperat
la/lid	D	6	87	carbó									33,0	24,0	346,0					
la/lid	D	6	88	malacologia	cargó								19,0	25,0	346,0					
la/lid	D	6	89	malacologia	cargó								15,0	16,0	342,0					2 exemplars
la/lid	D	6	90	malacologia	cargó								9,0	20,0	343,0					
la/lid	D	6	91	os	Macro								14,0	41,0	340,0					estella diaf.
la/lid	D	6	92	malacologia	cargó								12,0	22,0	345,0					
la/lid	D	6	93	malacologia	cargó								7,0	22,0	345,0					2 exemplars
la/lid	D	6	94	os	Macro								14,0	46,0	340,0					frag.det
la/lid	D	6	95	carbó									18,0	17,0	347,0					
la/lid	D	6	96	malacologia	cargó								18,0	12,0	342,0					4 exemplars
la/lid	D	6	97	os	Macro								12,0	14,0	348,0					2 estelles diaf.
la/lid	D	6	98	os	Macro								5,0	10,0	343,0					estella diaf.
ld	D	6	99	malacologia	cargó								5,0	23,0	344,0					
ld	D	6	100	carbó									14,0	31,0	338,0					
ld	D	6	101	carbó									10,0	33,0	338,0					
ld	D	6	102	carbó									13,0	28,0	342,0					
ld	D	6	103	os	Macro								19,0	8,0	350,0	E-W	S			frag.diaf.
ld	D	6	104	ceràmica	mà					37	32	10	85,0	8,0	364,0	E-W	V		fons	
ld	D	6	105	os	Macro															estella diaf.
ld	D	6	106	malacologia	cargó															10 exemplars
ld	D	6	107	carbó																
ld	D	6	108	os	micro															frag.det
ld	D	6	109	os	micro								30,0	17,0	352,0			conill		vertebra
ld	D	6	110	carbó									20,0	50,0	360,0					
ld	D	6	111	carbó									27,0	53,0	358,0					
ld	D	6	112	ceràmica	mà					17	15	4	80,0	8,0	372,0				informe	
ld	D	6	113	malacologia	cargó								32,0	12,0	317,0					
ld	D	6	114	malacologia	cargó								14,0	33,0	313,0					
ld	D	6	115	os	Macro								14,0	19,0	309,0					estella
ld	D	6	116	carbó									10,0	7,0	307,0					
ld	D	6	117	silex	F			B		15	10	4								
ld	D	6	118	silex	F			B		15	14	7								
ld	D	6	119	os	micro															frag. pelvis
ld	D	6	120	carbó									34,0	21,0	362,0					
ld	D	6	121	ceràmica	mà					29	28	8	20,0	16,0	359,0				vora	
ld	D	6	122	os	micro								48,0	51,0	363,0			rosegador		mandibula
ld	D	6	123	carbó																
ld	D	6	124	os	Macro															estella
ld	D	6	125	ceràmica	mà					10	8	3	26,0	33,0	369,0				informe	5 frags.

Nivell	Q.a.	Q.n.	Nº	Matèria	Sup.	Falò	Cort.	Alt.	Conc.	Long.	Amp.	Gruix	X	Y	Z	Orient.	Pend.	Tipus prim.	Formes cer.	Observacions
Id	D	6	126	nul																
Id	D	6	127	malacologia	cargó															10 exemplars
Id	D	6	128	os	micro															frag. det.
Id	D	6	129	ceràmica	mà					16	12	6							informe	frag. det.
Id	D	6	130	os	micro															
Id	D	6	131	carbó																
Ic/Id	D	6	132	os	micro								6,0	71,0	361,0					frag. diaf.
Ic/Id	D	6	133	os	micro								14,0	54,0	363,0					omòplat.
Ic/Id	D	6	134	os	Macro								10,0	58,0	363,0					estella diaf.
Ic/Id	D	6	135	os	micro								12,0	49,0	363,0					epifisi
Ic/Id	D	6	136	os	micro								9,0	29,0	362,0					2 frag. det.
Ic/Id	D	6	137	os	micro								7,0	36,0	368,0					frag. diaf
Ic/Id	D	6	138	os	micro								7,0	37,0	368,0					frag.
Ic/Id	D	6	139	os	Macro								6,0	35,0	367,0					2 frag. estella
Ic/Id	D	6	140	mostra mineral									3,0	24,0	364,0					
Ic/Id	D	6	141	os	Macro								3,0	38,0	371,0		N			estella
Ic/Id	D	6	142	os	Macro								2,0	36,0	368,0		N			frag.
Ic/Id	D	6	143	os	micro								8,0	33,0	364,0			serp		dent. vèrtebra
Ic/Id	D	6	144	tevat									33,0	35,0	369,0					
Ic/Id	D	6	145	ceràmica	mà					62	49	11	31,0	38,0	374,0			P	informe	2 frag. enganxats
Id	D	6	146	malacologia	cargó															
Id	D	6	147	carbó																
Id	D	6	148	malacologia	cargó															7 Pomatias elegans
Ic/Id	D	6	149	os	micro															estella diaf
Ic/Id	D	6	150	os	micro														conill	2 estelles dent
Ic/Id	D	6	151	os	micro															3 epifisi, 2 det
Ic/Id	D	6	152	os	Macro															estella diaf.
Ic/Id	D	6	153	ceràmica	mà					39	28	4	81,0	1,0	372,5				informe	2 frags. a i b enganxats
Ic/Id	D	6	154	os	Macro								97,0	14,0	383,0					mandibula. var. frag.
Ic/Id	D	6	155	os	Macro								76,0	17,0	385,0	N-S	P			frag.epifisi
Ic/Id	D	6	156	os	Macro								76,0	17,0	385,0	N-S	P			frag.diaf.
Ic/Id	D	6	157	os	Macro															estella diaf.
Ic/Id	D	6	158	os	Macro															frag.
Ic/Id	D	6	159	ceràmica	mà					41	25	7	90,0	0,0	381,0	E-W	P		vora	
Ic/Id	D	6	160	os	Macro								79,0	14,0	383,0					estella diaf.
Ic/Id	D	6	161	os	Macro								77,0	17,0	381,0					frag.crani
Ic/Id	D	6	162	os	Macro								86,0	7,0	382,0					estella diaf.
Ic/Id	D	6	163	os	Macro								72,0	3,0	380,0					frags. crani
Ic/Id	D	6	164	malacologia	cargó															
Ic/Id	D	6	165	carbó																
Ic/Id	D	6	166	os	Macro															cremat?
Ic/Id	D	6	167	os	Macro								72,0	3,0	380,0					estella diaf.
Ic/Id	D	6	168	os	Macro															2 frag. diaf
Ic/Id	D	6	169	os	Macro															estella dif. cremat
Ic/Id	D	6	170	os	micro															4 det. i dent, 2 f. mandibula

GUINEU-D6

Nivell	Q.a.	Q.n.	Nº	Matèria	Sup.	Taló	Cort.	Alt.	Conc.	Long.	Amp.	Gruix	X	Y	Z	Orient.	Pend	Tipus prim.	Formes cer.	Observacions
Ic/Id	D	6	171	os	micr															6 estelles diaf.
Ic/Id	D	6	172	silex	A	ind			si	35	33	12								retoc bifacial

Nivell	Q.a.	Q.n.	Nº	Matèria	Sup.	Taló	Cort.	Alt.	Conc.	Long.	Amp.	Gruix	X	Y	Z	Orient.	Pend.	Tipus prim.	Formes cer.	Observacions
Id	D	7	262	carbó																
Id	D	7	263	ceràmica	mà															
Id	D	7	264	ceràmica	mà															
Id	D	7	265	carbó																
Id	D	7	266	ceràmica	mà															
Id	D	7	267	os	Macro															
Id	D	7	268	carbó																
Id	D	7	269	ceràmica	mà															
Id	D	7	270	ceràmica	mà															
Id	D	7	271	os	Macro															
Id	D	7	272	malacologia	cargol															
Id	D	7	273	malacologia	cargol															
Id	D	7	274	carbó																
Id	D	7	275	malacologia	cargol								57,0	90,0	349,0	NE-SW				Helix. Possic. semivertical
Id	D	7	276	carbó									95,0	58,0	353,0					
Id	D	7	277	os	Macro															estella cremada
Id	D	7	278	silex	A	L.	NC	P		10	7	2								
Id	D	7	279	os	micro								0,0	73,0	344,0			conill		falange
Id	D	7	280	carbó									10,0	67,0	350,0					
Id	D	7	281	os	Macro								25,0	81,0	353,0					estella
Id	D	7	282	os	Macro								45,5	79,0	352,0					estella
Id	D	7	283	os	Macro								44,0	100	354,0					frag canya
Id	D	7	284	os	Macro								46,0	13,0	355,0					frag banya ( canya )
Id	D	7	285	malacologia									49,0	11,0	355,0					
Id	D	7	286	ceràmica	mà								46,0	71,0	347,0	NE-SW	P		informe	varis frags petits
Id	D	7	287	ceràmica	mà								47,0	69,0	348,0	NE-SW	NW		informe	
Id	D	7	288	carbó									59,0	32,0	351,0					
Id	D	7	289	carbó									53,0	43,0	352,0					
Id	D	7	290	carbó									55,0	50,0	352,0					
Id	D	7	291	carbó									49,0	42,0	352,0					
Id	D	7	292	carbó									39,0	65,0	354,0					
Id	D	7	293	malacologia	cargol								45,0	68,0	353,0					
Id	D	7	294	malacologia	cargol								40,0	70,0	354,0					
Id	D	7	295	malacologia	cargol								42,0	62,0	355,0					
Id	D	7	296	os	micro								46,0	74,0	355,0					epifisi
Id	D	7	297	ceràmica	mà								59,0	63,0	354,0	NE-SW	V		informe	
Id	D	7	298	carbó									51,0	12,0	346,0					
Id	D	7	299	os	Macro								43,0	15,0	346,0	NE-SW	V			estella diafisi cremat
Id	D	7	300	malacologia	cargol								77,0	30,0	350,0					



GUINEU-D8

Nivell	Q.a.	Q.n.	Nº	Màteria	Sup.	Taló	Cort.	Alt.	Conc.	Long.	Amp.	Gruix	X	Y	Z	Orient.	Pend	Tipus prim.	Formes cer.	Observacions
ID	D	8	482	Os	Macro								8,0	38,0	359,0	NO-SE	S-E			Estella diàfisi
ID	D	8	483	Carbó									4,0	70,0	357,0					
ID	D	8	484	Carbó									28,0	5,0	358,0					
ID	D	8	485	Carbó									13,0	2,0	358,0					
ID	D	8	486	Os	Macro															Garbell . Estella diàfisi
ID	D	8	487	Carbó									34,0	13,0	361,0					
ID	D	8	488	Os	Macro								10,0	13,0	360,0					Dent
ID	D	8	489	Carbó									9,0	27,0	360,0					
ID	D	8	490	Carbó									96,0	5,0	360,0					
ID	D	8	491	Carbó									33,0	16,0	362,0					
ID	D	8	492	Ceràmica	Mà					56	36	9	19,0	20,0	362,0	NE-SO	P		Informe	
ID	D	8	493	Carbó									15,0	22,0	361,0					
ID	D	8	494	Os	Macro								15,0	27,0	361,0					Estella
ID	D	8	495	Os	Macro															Garbell. Estella
ID	D	8	496	Os	Micro															Garbell. Diàfisi det.
ID	D	8	497	Carbó									17,0	26,0	363,0					
ID	D	8	498	Os	Macro								12,0	48,0	366,0	E-O				Frag. Diàfisi
ID	D	8	499	Carbó									3,0	91,0	359,0					
ID	D	8	500	Ceràmica	Mà								10,0	91,0	363,0		P		Vora	Matxucada . ( Varis fragment
IC/ID	D	8	501	Carbó									25,0	88,0	363,0					
IC/ID	D	8	502	Ceràmica	Mà					17	15	6	13,0	61,0	364,0				Informe	
IC	D	8	503	Cargol									75,0	3,0	370,0					
IC	D	8	504	Cargol									65,0	16,0	370,0					
IC	D	8	505	Cargol									64,0	25,0	369,0					
IC	D	8	506	Os	Macro								20,0	23,0	369,0					Estella
IC	D	8	507	Os	Macro								20,0	25,0	369,0					Frag. det.
IC	D	8	508	Ceràmica	Mà					22	19	6	35,0	14,0	366,0				Informe	
IC	D	8	509	Os	Macro								8,0	19,0	374,0					Estella
IC	D	8	510	Cargol									3,0	23,0	372,0					
IC	D	8	511	Os	Macro								26,0	45,0	376,0	NO-SE	V			Estella diàfisi
IC	D	8	512	Carbó																Garbell .
IC	D	8	513	Cargol																Garbell .
IC	D	8	514	Os	Macro															Garbell . Frag. diàfisi cremat
IC	D	8	515	Os	Micro															Garbell . Incisiva
IC	D	8	516	Os	Macro															Garbell . Estella
IC	D	8	517	Ceràmica	Mà					23	18	5	67,0	21,0	373,0		V		Informe	
IC	D	8	518	Ceràmica	Mà					8	8	5	60,0	20,0	373,0				Informe	2 frag.
IC	D	8	519	Carbó									56,0	4,0	370,0					
IC	D	8	520	Silex	AF	L	NC	B		20	12	2	33,0	9,0	372,0					
IC	D	8	521	Os	Micro								24,0	2,0	367,0					Estella .
IC	D	8	522	Os	Macro								29,0	9,0	371,0	E-O	V			Estella ( 7 )
IC	D	8	523	Carbó									12,0	8,0	375,0					
IC	D	8	524	Carbó									2,0	19,0	373,0					
IC	D	8	525	Ceràmica	Mà					28	20	4	7,0	23,0	376,0				Informe	
IC	D	8	526	Os	Macro								2,0	88,0	370,0					Estella . 2 Frags.

## GUINEU-D8

Nivell	Q.a.	Q.n.	Nº	Matèria	Sup.	Taló	Cort.	Alt.	Conc.	Long.	Amp.	Gruix	X	Y	Z	Orient.	Pend.	Tipus prim.	Formes cer.	Observacions
IC	D	8	527	Carbó									28,0	71,0	372,0					
IC	D	8	528	Ceràmica	Mà					27	15	5	28,0	66,0	373,0				Informe	
Ic	D	8	529	Os	Macro								49,0	12,0	370,0					Estella.
IC	D	8	530	Carbó									31,0	7,0	373,0					
IC	D	8	531	Os	Micro								12,0	24,0	378,0					Estella.
IC	D	8	532	Ceràmica	Mà					23	17	5	58,0	20,0	373,0				Vora	2 Frags
Ic	D	8	533	Ceràmica	Mà					41	23	7	31,0	91,0	364,0	E-O	V		Informe	
Ic	D	8	534	Carbó																Garbell.
IC	D	8	535	Cargol																Garbell. 5 cargols
IC	D	8	536	Os	Macro															Garbell. Estella.
IC	D	8	537	Os	Micro															Garbell. Diàfisi
Ic	D	8	538	Os	Micro															Garbell. Epifisi.
IC	D	8	539	Os	Micro															Garbell. 2 estelles
Ic	D	8	540	Ceràmica	Mà					27	23	5	28,0	40,0	380,0				Informe	
Ic	D	8	541	Ceràmica	Torn					16	10	5	45,0	26,0	383,0				Informe	
IC	D	8	542	Os	Macro								44,0	25,0	383,0		V			Mandibula. ( 3 frags, 2 dents
IC	D	8	543	Ceràmica	Mà					20	17	8	46,0	65,0	380,0				Informe	
Ic	D	8	544	Ceràmica	Mà					28	17	7	59,0	57,0	383,0				Informe	
IC	D	8	545	Ceràmica	Mà					33	26	6	57,0	59,0	383,0				Informe	
IC	D	8	546	Ceràmica	Mà					22	17	7	54,0	60,0	383,0				Informe	
IC	D	8	547	Os	Micro								51,0	38,0	385,0			conill		Tibia
IC	D	8	548	ceràmica	Mà					35	27	6	38,0	40,0	384,0	NW-SE	NE		informe	
IC	D	8	549	Carbó									30,0	67,0	380,0					
IC	D	8	550	Ceràmica	Mà					31	23	4	62,0	25,0	374,0				vora	2 frags. enganxats
IC	D	8	551	Ceràmica	Mà					16	11	4	63,0	18,0	373,0				informe	
IC	D	8	552	Os	Macro															Garbell. Epifisi
IC	D	8	553	Os	Macro															Garbell. Estella
IC	D	8	554	Ceràmica	Mà					16	8	4							informe	Garbell
IC	D	8	555	Os	Micro															Garbell. Estella cremada
IC	D	8	556	Os	Micro															Garbell. Det.
IC	D	8	557	Ceràmica	Mà					20	13	7	58,0	18,0	376,0					
IC	D	8	558	Ceràmica	Mà					35	19	9	65,0	40,0	391,0			Raspatllada	informe	Coordenades aprox.
Ic	D	8	559	Ceràmica	Mà					20	24	8	68,0	57,0	393,0				vora	
IC	D	8	560	Ceràmica	Mà					21	21	8	68,0	55,0	393,0				informe	
IC	D	8	561	Ceràmica	Mà					28	15	8	70,0	52,0	393,0				informe	2 frags. enganxats
IC	D	8	562	Ceràmica	Mà					25	15	6							informe	Garbell
IC	D	8	563	Silex	F		NC			24	22	13								Garbell
IC	D	8	564	Ceràmica	Mà					20	19	7							informe	Garbell.
IC	D	8	565	Ouars	F					28	15	8								Garbell.
IC	D	8	566	Ceràmica	Mà					26	15	8							informe	Garbell.
IC	D	8	567	Ceràmica	Mà					31	25	11								Garbell.
IC	D	8	568	Os	Micro													Conill		Garbell. Frag. de pelvis
IC	D	8	569	Ceràmica	Mà					12	12	8							informe	Garbell
IC	D	8	570	Ceràmica	Mà					20	15	10							informe	Garbell.
IC	D	8	571	Os	Micro													Conill		Garbell. 3 diàfisis det.

Nivell	Q.a.	Q.n.	Nº	Matèria	Sup.	Taló	Cort.	Alt.	Conc.	Long.	Amp.	Gruix	X	Y	Z	Orient.	Pend.	Tipus prim.	Formes cer.	Observacions		
IC	D	8	572	Os	Micro															Garbell. 2 frags. det.		
IC	D	8	573	Os	Micro															Garbell. 9 estelles. 4 cremad		
IC	D	8	574	Ceràmica	Mà					25	21	5								informe	Garbell.	
IC	D	8	575	Ceràmica	Mà					30	23	9								informe	Garbell.	
IC	D	8	576	Banya																	Garbell. Frag.	
IC	D	8	577	Ceràmica	Mà					18	12	8								informe	Garbell.	
IC	D	8	578	Ceràmica	Mà					17	14	9								informe	Garbell.	
IC	D	8	579	Os	Micro																Garbell. 3 estelles.	
IC	D	8	580	Os	Micro																Garbell. Epifisi det	
IC	D	8	581	Os	Micro																Garbell. Mandíbula rossegada	
IC	D	8	582	Carbó																	Garbell	
IC	D	8	583	Malaco																	Garbell	
IC	D	8	584	Carbó									10,0	9,0	375,0							
IC	D	8	585	Carbó									5,0	12,0	376,0							
IC	D	8	586	Os	Macro								0,0	22,0	375,0						Estella.	
IC	D	8	587	Carbó									19,0	4,0	376,0							
IC	D	8	588	Os	Macro								22,0	8,0	377,0						Estella	
IC	D	8	589	Sílex	A	IN	NC		Si	18	26	6	16,0	0,0	373,0							
IC/ID.	D	8	590	Sílex	FA		NC			17	14	3	4,0	7,0	373,0						Triangle.	
IC	D	8	591	Carbó									4,0	18,0	376,0							
IC	D	8	592	Carbó									2,0	20,0	375,0							
IC	D	8	593	Os	Macro								0,0	70,0	375,0						Estella.	
IC	D	8	594	Sílex	AF	L	NC	B		10	10	1	5,0	36,0	378,0							
IC	D	8	595	Os	Macro								6,0	50,0	374,0						Frag. epifisi	
IC	D	8	596	Os	Humà								10,0	45,0	378,0			Humà?			Frag. cremat epifisi?	
IC	D	8	597	Ceràmica	Mà					24	14	7	63,0	68,0	395,0				informe			
IC	D	8	598	Os	Macro								64,0	20,0	392,0						Estella diáfisi.	
IC	D	8	599	Ceràmica	Mà					13	9	5	44,0	100,	357,0					informe		
IC	D	8	600	Ceràmica	Mà					30	19	7	44,0	95,0	363,0					informe		
IC	D	8	601	Carbó									37,0	98,0	360,0							
IC	D	8	602	Ceràmica	Mà					20	18	5	35,0	100,	360,0					informe		
IC	D	8	603	Os	Macro								30,0	100,	364,0						Estella diáfisi	
IC	D	8	604	Malacologia																	Garbell	
IC	D	8	605	Ceràmica	Mà					28	22	8	38,0	100,	364,0					informe		
IC	D	8	606	Os	Macro								35,0	99,0	366,0						Estella diáfisi.	
IC	D	8	607	Os	Micro								30,0	100,	359,0	N-S	P	conill			Estella diáfisis cremada.	
IC	D	8	608	Ceràmica	Mà					15	12	5								informe	Garbell.	
IC	D	8	609	Os	Micro																Garbell. Varis frags. det.	
IC	D	8	610	Os	Macro																Garbell. 3 estelles diáfisi.	
IC	D	8	611	Os	Macro																Garbell. Estella diáfisis.	
IC	D	8	612	Os	Micro								20,0	47,0	369,0	N-S	S	conill			Frag. pelvis	
IC	D	8	613	Ceràmica	Mà								25,0	93,0	371,0					informe	3 frags.	
IC	D	8	614	Mostra mineral									23,0	99,0	368,0							Fragment
IC	D	8	615	Carbó																	Garbell. Varis frags.	
IC	D	8	616	Malacologia																		Garbell. Varis frags.

## GUINEU-D8

Nivell	Q.a.	Q.n.	Nº	Matèria	Sup.	Taló	Cort.	Ait.	Conc.	Long.	Amp.	Gruix	X	Y	Z	Orient.	Pend	Tipus prim.	Formes cer.	Observacions
1C	D	8	617	Cargol																Garbell.
1c	D	8	618	Ceràmica	Mà					7	5	5								Garbell. 2 frags.
1c	D	8	619	Silex	FA		NC	B		11	20	5	90,0	67,0	379,0					Retocat.

GUINEU-D10

Nivell	Q.a.	Q.n.	Nº	Matèria	Sup.	Taló	Cort.	Alt.	Conc.	Long.	Amp.	Gruix	X	Y	Z	Orient.	Pend	Tipus prim.	Formes cer.	Observacions
Ic	D	10	1	os	micro								100,0	96,0	375,0			conill		frag. diaf.
Ic	D	10	2	ceràmica	mà					39	18	7	90,0	95,0	376,0				Informe	
Ic	D	10	3	os	Macro								69,0	91,0	381,0					frag. crani

GUINEU-E5

Nivell	Q.a.	Q.n.	Nº	Matèria	Sup.	Taló	Cort.	Alt.	Conc.	Long.	Amp.	Gruix	X	Y	Z	Orient.	Pend	Tipus prim.	Formes cer.	Observacions
X	E	51.536	os	micro											875,0			conill		estella diáfisi
X	E	51.537	os	macro											875,0					fragment
	E	51.538	malacologia	carcò																garbell; realment bo?
XI	E	51.539	material silici	F						9	9	5			898,0					
XII	E	51.540	os	macro									22,0	60,0	905,0	E-W	P	guineu		frag. hemimandibula
XII	E	51.541	os	macro									14,0	15,0	905,0					estella (2 frags.)
XII	E	51.542	os	micro									50,0	22,0	908,0					
XII	E	51.543	os	Macro									78,0	30,0	904,0	NE-SW	NE			estella crenada
XII	E	51.544	os	micro									48,0	65,0	915,0			conill		calcani
XII	E	51.545	os	micro									40,0	63,0	916,0	NE-SW	NE	conill		epifisi de cúbit
XII	E	51.546	os	micro									35,0	53,0	917,0			conill		
XII	E	51.547	carbó?										40,0	10,0	910,0					
XII	E	51.548	mat. silici	F											905,0					
XII	E	51.549	carbó										15,0	10,0	913,0					
XII	E	51.550	os	micro											913,0			conill		1 frag
XII	E	51.551	carbó												912,5					Z entre 910 i 915
XII	E	51.552	carbó												912,5					
XII	E	51.553	os	micro														conill		frag diáfisi
XII	E	51.554	os	micro														conill		
XII	E	51.555	mat. silici	F																

Nivell	Q.a.	Q.n.	Nº	Matèria	Sup.	Taló	Cort.	Alt.	Conc.	Long.	Amp.	Gruix	X	Y	Z	Orient.	Pend.	Tipus prim.	Formes cer.	Observacions
Id	E	6	80	os	Macro								40,0	8,0	346,0					talús.estella cremada
Id	E	6	81	carbó									55,0	25,0	345,0					talús.
Id	E	6	82	ceràmica	ma					44	30	14	99,0	41,0	340,0	N-S	V		fons	talús.
Id	E	6	83	os	micro								92,0	52,0	347,0			conill		talús.2 frag.epifisi/diaf.
Id	E	6	84	os	Macro								87,0	48,0	347,0					talús. frag. diaf.
Id	E	6	85	os	Macro								83,0	36,0	346,0					talús.estella
Id	E	6	86	os	Macro								83,0	70,0	352,0					talús.epifisi estella
Id	E	6	87	os	micro								78,0	56,0	246,0					talús.estella
Id	E	6	88	os	Macro								78,0	56,0	246,0					talús.frag. diaf.
Id	E	6	89	os	micro								67,0	70,0	246,0			conill		talús.epifisi
Id	E	6	90	os	Macro								67,0	75,0	342,0					talús.costella
Id	E	6	91	os	micro								64,0	73,0	342,0			conill		talús.dent
Id	E	6	92	os	micro								63,0	63,0	342,0					talús.det.
Id	E	6	93	os	Macro								52,0	42,0	347,0					talús.estella
Id	E	6	94	os	micro								31,0	41,0	348,0					talús.pelvis
Id	E	6	95	os	micro								28,0	41,0	348,0					talús.pelvis enganxa
Id	E	6	96	os	micro															talús.dent.(14-7)
Id	E	6	97	os	micro															talús.maxil lar(14-7)
Id	E	6	98	os	humà								97,0	32,0	347,0	E-W	S			talús.crani.
Id	E	6	99	os	Macro								85,0	63,0	349,0					talús.2 frag. det.
Id	E	6	100	os	Macro								78,0	50,0	349,0					talús.estella
Id	E	6	101	os	micro								70,0	67,0	350,0			conill		talús.vèrtebra
Id	E	6	102	os	micro								50,0	79,0	351,0					talús.det.
Id	E	6	103	os	humà								99,0	29,0	347,0	N-S	P			talús.frag. crani
Id	E	6	104	carbó																talús. (14-7)
Id	E	6	105	malacologia	cargó															talús.varis. (14-7)
Id	E	6	106	os	micro								85,0	63,0	349,0			conill		talús.frag. diaf.
Id	E	6	107	os	micro															talús.dent.(14-7)
Id	E	6	108	os	micro															talús.estella. (14-7)
Id	E	6	109	os	Macro															talús.frag. dent.(14-7)
Id	E	6	110	os	micro													conill		talús.dent i frag. mandibula.(
Id	E	6	111	os	micro															talús.dent.(14-7)
Id	E	6	112	os	micro															talús.3 frag. estella.(14-7)
Id	E	6	113	os	micro															talús.vèrtebra.(14-7)
Id	E	6	114	os	micro															talús.dent.(14-7)
Id	E	6	115	os	micro															talús.diverses estelles.(14-7)
Id	E	6	116	os	humà								100,	28,0	346,0	E-W	v			talús.frag. crani
Id	E	6	117	os	Macro															talús.det.(14-7)
Id	E	6	118	os	Macro															talús.falange.(14-7)
Id	E	6	119	os	micro															talús.estelles.(14-7)
Id	E	6	120	os	Macro															talús.det.(14-7)
Id	E	6	121	os	micro															talús.frag. det.(14-7)
Id	E	6	122	os	micro															talús.frag.estella.(14-7)
Id	E	6	123	os	Macro								89,0	30,0	354,0					talús.estella
Id	E	6	124	os	micro								73,0	73,0	355,0					talús.det.

GUINEU-E6

Nivell	Q.a.	Q.n.	Nº	Matèria	Sup.	Taló	Cort.	Alt.	Conc.	Long.	Amp.	Gruix	X	Y	Z	Orient.	Pend.	Típus prim.	Formes cer.	Observacions
Id	E	6	125	ceràmica	mà					55	39	11	67,0	35,0	350,0				informe	talús
Id	E	6	126	os	Macro								65,0	49,0	353,0					talús.frag.
Id	E	6	127	os	Macro								64,0	44,0	353,0					talús.estella
Id	E	6	128	os	Macro								58,0	48,0	359,0					talús.estella
Id	E	6	129	os	Macro								56,0	43,0	359,0					talús.frag indet.
Id	E	6	130	os	Macro								64,0	80,0	346,0		v			talús.diaf. det.
Id	E	6	131	os	micro															talús.2 frag. det (15-7)
Id	E	6	132	os	micro															talús. det. (15-7)
Id	E	6	133	os	Macro								36,0	68,0	356,0					talús.panya
Id	E	6	134	os	Macro								22,0	57,0	348,0					talús.panya
Id	E	6	135	carbó									10,0	47,0	343,0					talús.
Id	E	6	136	os	Macro								50,0	65,0	362,0			ovicapri		talús.dent
Id	E	6	137	carbó																talús.(15-7)
Id	E	6	138	malacologia	cargó															talús.(15-7)
Id	E	6	139	os	Macro															talús.6 estelles (15-7)
Id	E	6	140	os	micro															talús.2 epifisis (15-7)
Id	E	6	141	ceràmica	mà					34	20	7							informe	talús.(15-7)
Id	E	6	142	os	Macro								66,0	57,0	365,0					talús.costella 2 frag.
Id	E	6	143	ceràmica	mà					40	34	10	50,0	57,0	362,0	SE-NW		informe		talús. vora?
Id	E	6	144	os	Macro								49,0	82,0	360,0					talús.2 frags cremats
Id	E	6	145	os	micro								25,0	76,0	350,0		p	conill		talús.costella
Id	E	6	146	os	Macro								78,0	62,0	368,0					talús.costella 2 frags
Id	E	6	147	os									65,0	70,0	364,0					talús
Id	E	6	148	carbó																talús.(15-7)
Id	E	6	149	malacologia	cargó															talús.(15-7)
Id	E	6	150	malacologia	cargó															talús.(15-7)
Id	E	6	151	carbó									7,5	74,5	347,0					talús
Id	E	6	152	os	Macro								18,0	78,5	342,0					talús.2 frag estelles
Id	E	6	153	ceràmica	mà					40	39	5	17,0	54,0	351,0				vora	talús
Id	E	6	154	os	humà								27,0	47,5	358,0					talús.dent
Id	E	6	155	mostra mineral									25,0	44,0	357,0					talús.gres. 2 frag.
Id	E	6	156	mostra mineral									12,0	44,0	353,0					talús.gres
Id	E	6	157	malacologia	cargó															talús.5 elements(18-7)
Id	E	6	158	carbó																talús.(18-7)
Id	E	6	159	malacologia	cargó															talús.(18-7). 15 exemplars
Id	E	6	160	malacologia	cargó															talús.5 exemplars (18-7)
Id	E	6	161	ceràmica	mà					38	30	7	16,0	3,0	350,0	SE-NW		informe		talús.2 frag enganxats
Id	E	6	162	os	humà								40,0	18,0	338,0					talús.frag crani
Id	E	6	163	os	Macro								12,0	72,0	350,0					talús.frag banya
Id	E	6	164	ceràmica	mà					50	51	8	9,0	36,0	349,0			NAE	informe	talús.raspallada.2 frag
Id	E	6	165	os	Macro								44,0	95,0	361,0					talús.2 frag costella
Id	E	6	166	os	Macro								32,0	56,0	360,0					talús.estella
Id	E	6	167	sil·lex	FT					112	32	6	57,0	65,0	362,0	NE-SW	p	R. ganivet		talús.sil·lex tabular.enganxa 1
Id	E	6	168	ceràmica	mà					30	28	8	27,0	34,0	360,0	E-W	W		informe	talús.
Id	E	6	169	os	Macro								67,0	34,0	360,0		v			talús.epifisi



Nivell	Q.a.	Q.n.	Nº	Matèria	Sup.	Taló	Cort.	Alt.	Conc.	Long.	Amp.	Gruix	X	Y	Z	Orient.	Pend.	Tipus prim.	Formes cer.	Observacions
Id	E	6	170	ceràmica	mà					38	33	6	70,0	36,0	363,0		v		informe	talús.
Id	E	6	171	sillex									42,0	85,0	369,0	N-S	v			talús.enganxa amb 167
Id	E	6	172	os	humà								45,0	75,0	369,0					talús.esternó
Id	E	6	173	carbó																talús.(18-7)
Id	E	6	174	carbó									76,0	61,0	373,0					talús
Id	E	6	175	os	Macro								76,0	58,0	373,0					talús.estella diaf.
Id	E	6	176	os	Macro								73,0	80,0	366,0					talús.frag crani
Id	E	6	177	malacologia	cargó															talús.2 pots (24-7)
Id	E	6	178	carbó									74,0	45,0	367,0					talús
Id	E	6	179	ceràmica	mà					24	12	6	73,0	45,0	367,0				informe	talús
Id	E	6	180	os	Macro								73,0	55,0	368,0					talús.frag.epifisi
Id	E	6	181	ceràmica	mà					39	22	6	85,0	71,0	367,0	NE-SW	v	acanalada	informe	talús.Bronze final
Id	E	6	182	os	Macro								85,0	71,0	367,0	NE-SW	v			talús.crani
Id	E	6	183	os	humà								87,0	72,0	367,0					talús.crani
Id	E	6	184	os	Macro								93,0	77,0	370,0					talús.estella
Id	E	6	185	carbó																talús.(24-7)
Id	E	6	186	malacologia	cargó															talús.(24-7)
Id	E	6	187	malacologia	cargó															talús.(24-7)
Id	E	6	188	ceràmica	mà					42	28	10	16,0	83,0	364,0				informe	talús.
Id	E	6	189	os	Macro								44,0	73,0	369,0					talús.frag. det.
Id	E	6	190	os	Macro								46,0	78,0	371,0					talús.frag. det.
Id	E	6	191	os	micro								51,0	72,0	371,0			conill		talús.det.
Id	E	6	192	os	Macro								70,0	87,0	368,0					talús.estella
Id	E	6	193	os	Macro								72,0	43,0	366,0					talús.frag.
Id	E	6	194	ceràmica	mà					14	15	8	72,0	44,0	373,0				informe	talús
Id	E	6	195	os	humà															talús.Id/1e (24-7)
Id	E	6	196	ceràmica	mà					24	17	8							informe	talús.2 frag. (21-7)
Id	E	6	197	ceràmica	mà					20	15	7	2,0	66,0	371,0				informe	talús.
Id	E	6	198	os	Macro								63,0	75,0	373,0					talús.estella
Id	E	6	199	os	Macro								75,0	77,0	374,0					talús.epifisi det.
Id	E	6	200	os	Macro								75,0	74,0	374,0					talús.estella
Id	E	6	201	ceràmica	mà					27	38	9	2,0	43,0	359,0				nansa	talús.2 frag. enganxats
Id	E	6	202	os	Macro								74,0	70,0	375,0					talús.2 frag. estella
Id	E	6	203	carbó									75,0	50,0	365,0					talús.
Id	E	6	204	os	Macro								72,0	41,0	367,0					talús.frag. epifisi
Id	E	6	205	os	Macro								76,0	37,0	361,0		v			talús.3 estelles
Id	E	6	206	os	Macro								76,0	37,0	368,0		v			talús.humà?
Id	E	6	207	os	Macro															talús.varies estelles (25-7)
Id	E	6	208	ceràmica	mà					26	19	8							informe	talús.(25-7)
Id	E	6	209	os	Macro															talús.estella diaf.
Id	E	6	210	os	humà								75,0	77,0	377,0					talús.estella diaf.
Id	E	6	211	ceràmica	mà					42	22	8							informe	talús.(25-7)
Id	E	6	212	ceràmica	mà					20	20	10							informe	talús.(25-7)
Id	E	6	213	ceràmica	mà					16	16	7			370,0				informe	talús.(25-7)
Id	E	6	214	os	Macro										370,0					talús.dent. (25-7)

Nivell	Q.a.	Q.n.	Nº	Matèria	Sup.	Taló	Cort.	Alt.	Conc.	Long.	Amp.	Gruix	X	Y	Z	Orient.	Pend	Típus prim.	Formes cer.	Observacions
Id	E	6	215	os	Macro										370,0					talús.estella.(25-7)
Id	E	6	216	carbó																talús.(25-7)
Id	E	6	217	malacologia	cargo															talús.(25-7)
Id	E	6	218	carbó																(25-7)talus
Id	E	6	219	malacologia	cargo															talús.(25-7)
Id	E	6	220	os	Macro								85,0	45,0	366,0		v			talús.estella diaf
Id	E	6	221	carbó																talús.var.frag.(25-7)
Id	E	6	222	malacologia	cargo															talús.(25-7)
Id	E	6	223	os	micro															talús.epifisi (28-7)
Id	E	6	224	os	Macro															talús.estelles (28-7)
Id	E	6	225	os	Macro								80,0	18,0	369,0					talús.estelles diaf.
Id	E	6	226	os	Macro															talús.estella diaf.(29-7)
Id	E	6	227	os	micro															talús.estella diaf. (29-7)
Id	E	6	228	os	micro															talús.det. (29-7)

Nivell	Q.a.	Q.n.	Nº	Matèria	Sup.	Taló	Cort.	Alt.	Conc.	Long.	Amp.	Gruix	X	Y	Z	Orient.	Pend.	Tipus prim.	Formes cer.	Observacions	
Id	E	7	452	carbó									35,0	78,0	340,5						
Id	E	7	453	ceràmica	mà					17	11	6	48,0	60,5	343,0	NE-SW	P		informe		
Id	E	7	454	os	Macro								54,0	53,0	344,0					calcinat	
Id	E	7	455	carbó									67,0	50,0	344,0						
Id	E	7	456	carbó									75,0	49,0	345,0						
Id	E	7	457	carbó									83,0	16,0	343,0						
Id	E	7	458	malacologia	cargó								70,0	56,0	342,0						
Id	E	7	459	malacologia	cargó								52,0	55,0	343,0						
Id	E	7	460	os	Macro								65,0	55,0	345,5					estella fragmentada	
Id	E	7	461	carbó									68,0	50,0	344,0						
Id	E	7	462	carbó									73,0	50,0	344,0						
Id	E	7	463	carbó									81,0	40,0	344,5						
Id	E	7	464	carbó									9,0	39,0	342,0						
Id	E	7	465	carbó									20,0	26,0	344,0						
Id	E	7	466	carbó									30,0	14,0	348,0						
Id	E	7	467	malacologia	cargó								24,0	69,0	343,0						
Id	E	7	468																		
Id	E	7	469	carbó									32,0	53,0	345,0						
Id	E	7	470	malacologia	cargó								42,0	85,0	343,0						
Id	E	7	471	malacologia	cargó								56,0	65,0	345,0					fragment	
Id	E	7	472	carbó									61,0	62,0	345,0						
Id	E	7	473	malacologia	cargó								63,0	53,0	346,0						
Id	E	7	474	os	Macro															estella diàfisi	
Id	E	7	475	carbó									35,0	52,0	346,0						
Id	E	7	476	malacologia	cargó								45,0	40,0	345,0						
Id	E	7	477	malacologia	cargó								59,0	53,0	346,0						
Id	E	7	478	malacologia	cargó								70,0	42,0	349,0						
Id	E	7	479	carbó									72,0	33,0	349,0						
Id	E	7	480	ceràmica	mà					26	18	5	85,0	46,0	346,0		P		informe		
Id	E	7	481	carbó									87,0	34,0	344,0						
Id	E	7	482	carbó									92,0	26,0	343,0						
Id	E	7	483	ceràmica	mà					19	16	2	62,0	52,0	350,0					vora	
Id	E	7	484	silex	A	L	NC	B		12	10	4	69,0	53,0	350,0						
Id	E	7	485	carbó									74,0	33,0	348,0						
Id	E	7	486	ceràmica	mà					20	15	9	80,0	21,0	346,0					informe	
Id	E	7	487	ceràmica	mà					30	21	8	85,0	25,0	345,0	E-W			informe	2 frag. enganxats	
Id	E	7	488	carbó									96,0	47,0	351,0						
Id	E	7	489	ceràmica	mà					32	31	9	97,0	37,0	352,0	E-W	V		vora		
Id	E	7	490	carbó																	
Id	E	7	491	malacologia	cargó																2 exemplars
Id	E	7	492	carbó									52,0	20,0	348,0						
Id	E	7	493	silex	A	L	NC	B		14	13	5	58,0	16,0	350,0						
Id	E	7	494	os	Macro								75,0	19,0	347,0					dent	
Id	E	7	495	os	Macro								66,0	33,0	354,0					estella diàfisi cremat	
Id	E	7	496	carbó									78,0	42,0	357,0						

Nivell	Q.a.	Q.n.	Nº	Matèria	Sup.	Taló	Cort.	Ait.	Conc.	Long.	Amp.	Gruix	X	Y	Z	Orient.	Pend.	Tipus prim.	Formes cer.	Observacions
ld	E	7	497	carbó									90,0	26,0	352,0					
ld	E	7	498	os	micro															diáfisi
ld	E	7	499	carbó									24,0	81,0	346,0					
ld	E	7	500	sílex	A	D	NC	B		12	16	4	63,0	100,	355,0	N-S	P			16 exemplars
ld	E	7	501	malacologia	cargo															
ld	E	7	502	carbó																frag.det.
ld	E	7	503	os	Macro															3 cargols
ld	E	7	504	malacologia	cargo															
ld	E	7	505	carbó									41,0	51,0	348,0					
ld	E	7	506	carbó									51,0	52,0	349,0					
ld	E	7	507	carbó									56,0	36,0	349,0					
ld	E	7	508	carbó									63,0	50,0	349,0					
ld	E	7	509	sílex	A	L	NC			26	10	8	19,0	8,0	351,0					
ld	E	7	510	quars									33,0	50,0	354,0					
ld	E	7	511	carbó									73,0	39,0	359,0					
ld	E	7	512	carbó									88,0	46,0	357,0					
ld	E	7	513	os	Macro								93,0	51,0	354,0					estella diaf.
ld	E	7	514	carbó									94,0	31,0	355,5					
ld	E	7	515	carbó									79,0	44,0	361,0					
ld	E	7	516	carbó																
ld	E	7	517	malacologia	cargo															
ld	E	7	518	carbó																
ld	E	7	519	malacologia	cargo															
ld	E	7	520	ceràmica	mà					38	22	6	25,0	89,0	349,0		V	informe		3 frag.
ld	E	7	521	os	Macro								39,0	68,0	350,0					fragment
ld	E	7	522	carbó									0,0	81,0	96,0					
ld	E	7	523	carbó									21,0	93,0	101,0					
ld	E	7	524	malacologia	cargo															
ld	E	7	525	carbó																
ld	E	7	526	malacologia																
ld	E	7	527	os	Macro															estella diaf. (21-7)
ld	E	7	528	ceràmica	mà					9	7	3						vora		(21-7)
ld	E	7	529	os	micro															estella.(21-7)
ld	E	7	530	os	micro													conill		estella (21-7)
ld	E	7	531	carbó																
ld	E	7	532	malacologia	cargo															
ld	E	7	533	carbó									67,0	97,0	358,0					
ld	E	7	534	carbó									73,0	93,0	359,0					
ld	E	7	535	carbó									65,0	90,0	357,0					
ld	E	7	536	os	Macro								69,0	81,0	357,0					5 frags. det.
ld	E	7	537	os	micro								65,0	72,0	356,0					det.
ld	E	7	538	carbó									65,0	51,0	357,0					
ld	E	7	539	carbó									39,0	91,0	359,0					
ld	E	7	540	os	Macro								68,0	86,0	355,0					fragment
ld	E	7	541	os	Macro								75,0	95,0	361,0					diaf.det.

GUINEU-E7

Nivell	Q.a.	Q.n.	Nº	Matèria	Sup.	Taló	Cort.	Alt.	Conc.	Long.	Amp.	Gruix	X	Y	Z	Orient.	Pend.	Tipus prim.	Formes cer.	Observacions
Id	E	7	542	carbó									91,0	82,0	367,0					
Id	E	7	543	malacologia																
Id	E	7	544	silex	F		NC			10	8	4								
Id	E	7	545	ceràmica	mà					18	19	6	95,0	95,0	368,0		P		vora	
Id	E	7	546	carbó									93,0	55,0	360,0					
Id	E	7	547	ceràmica	mà					18	5	6	3,0	82,0	349,0				informe	2 frags.enganxats
Id	E	7	548	os	micro															dent
Id	E	7	549	os	micro													conill		estella cremada
Id	E	7	550	carbó																
Id	E	7	551	malacologia																2 estelles diaf.
Id	E	7	552	os	Macro															det.
Id	E	7	553	os	Macro															
Id	E	7	554	silex	FA		CM	B		13	8	3								

Nivell	Q.a.	Q.n.	Nº	Matèria	Sup.	Taló	Cort.	Alt.	Conc.	Long.	Amp.	Gruix	X	Y	Z	Orient.	Pend	Tipus prim.	Formes cer.	Observacions
Id	E	81.179		carbó									62,0	97,0	351,0					
Id	E	81.180		os	Macro								75,0	78,0	352,0	N-S	P			estella diáfisi
Id	E	81.181		silèx	FA		CM			18	18	6								
Id	E	81.182		carbó									27,0	74,0	350,0					
Id	E	81.183		carbó									33,0	82,0	350,5					
Id	E	81.184		carbó									34,0	61,0	349,0					
Id	E	81.185		carbó									55,0	42,0	357,0					
Id	E	81.186		os	Macro								57,0	52,0	356,0	N-S	P			estella
Id	E	81.187		carbó									54,0	63,5	354,0					
Id	E	81.188		carbó									50,0	73,0	353,0					
Id	E	81.189		carbó									71,0	66,0	354,0					
Id	E	81.190		carbó									90,0	82,0	355,0					
Id	E	81.191		carbó									19,0	25,0	351,0					
Id	E	81.192		carbó									27,0	25,0	351,0					
Id	E	81.193		carbó									35,0	76,0	350,0					
Id	E	81.194		carbó									6,0	41,0	347,0					
Id	E	81.195		carbó									75,0	53,0	355,0					
Id/le	E	81.196		os	Macro								93,0	51,0	360,0	N-S	S			estella
Id/le	E	81.197		os	Macro															estella
Id/le	E	81.198		gres																mostra mineral
Id	E	81.199		os	micro								0,0	7,0	348,0					
Id	E	81.200		os	Macro								4,0	19,0	351,0					frag. epifisi
Id	E	81.201		os	micro								38,0	19,0	352,0					det
Id	E	81.202		carbó									28,0	67,0	352,0					
Id	E	81.203		carbó									32,0	64,0	353,0					
Id	E	81.204		carbó									42,0	69,0	352,0					
Id	E	81.205		carbó									53,0	50,0	356,0					
Id	E	81.206		carbó									82,0	21,0	357,0					
Id	E	81.207		carbó									82,0	23,0	357,0					
Id	E	81.208		carbó									92,0	82,0	356,0					
Id	E	81.209		carbó									39,0	66,0	353,0					
Id	E	81.210		carbó									54,0	63,0	357,0					
Id	E	81.211		carbó																
Id	E	81.212		os	Macro															estella diáfisi
Id	E	81.213		os	Macro								45,0	28,0	358,0					frag. diáfisi
Id	E	81.214		os	Macro								77,0	87,0	359,0					dent
Id	E	81.215		ceràmica	mà					37	24	9	33,0	80,0	357,0					informe
Id	E	81.216		ceràmica	mà					7	5	5								1 frag.
Id	E	81.217		ceràmica	mà					23	18	8								informe
Id	E	81.218		os	Macro								90,0	0,0	359,0					estella
Id	E	81.219		ceràmica	mà					33	26	10	34,0	78,0	359,0					vora
Id	E	81.220		os	Macro								38,0	88,0	357,0					estella diáfisi
Id	E	81.221		malacologia	cargó															9 exemplars
Id	E	81.222		carbó																
Id	E	81.225		os	Macro															estella

## GUINEU-E8

Nivell	Q.a.	Q.n.	Nº	Matèria	Sup.	Taló	Cort.	Alt.	Conc.	Long.	Amp.	Gruix	X	Y	Z	Orient.	Pend	Tipus prim.	Formes cer.	Observacions
lc/ld	E		81.224	os	Macro															estella
lc/ld	E		81.225	malacologia	cargo															
lc/ld	E		81.226	carbó																
lc/ld	E		81.227	quars	F					20	20	13								
lc/ld	E		81.228	malacologia	cargo															
lc/ld	E		81.229	carbó																
lc	E		81.230	carbó									78,0	13,0	364,0					
lc	E		81.231	carbó									84,0	8,0	364,0					
lc	E		81.232	carbó									94,0	9,0	368,0					
lc	E		81.233	carbó									89,0	19,0	367,0					
lc	E		81.234	carbó									94,0	19,0	372,0					
lc/ld	E		81.235	os	Macro								90,0	46,0	371,0					estella
lc/ld	E		81.236	os	Macro								98,0	2,0	369,0					frag. dent
lc/ld	E		81.237	dent	Macro								95,0	0,0	368,0			Sus		molar
lc/ld	E		81.238	carbó									76,0	8,0	364,0					
lc/ld	E		81.239	carbó									84,0	15,0	367,0					
lc/ld	E		81.240	os	Macro								93,0	35,0	373,0					estella cremada
lc/ld	E		81.241	carbó									98,0	51,0	373,0					
lc/ld	E		81.242	malacologia	cargo															
lc/ld	E		81.243	carbó																varis frags
lc/ld	E		81.244	malacologia	cargo															2 cargols

## GUINEU-E9

Nivell	Q.a.	Q.n.	Nº	Matèria	Sup.	Taló	Cort.	Alt.	Conc.	Long.	Amp.	Gruix	X	Y	Z	Orient.	Pend	Tipus prim.	Formes cer.	Observacions
Id	E	9	838	ceràmica	mà					20	10	8	94,0	40,0	355,0					
Id	E	9	839	os	Macro								80,0	70,0	357,0					estella diàfisi
Id	E	9	840	carbó									58,0	82,0	358,0					
Id	E	9	841	os	Macro								92,0	48,0	355,0					estella diàfisi
Id	E	9	842	carbó									78,0	76,0	357,0					
Id	E	9	843	carbó									68,0	95,0	352,0					
Id	E	9	844	carbó									65,0	75,0	360,0					
Id	E	9	845	carbó									50,0	53,0	348,0					
Id	E	9	846	carbó									19,0	41,0	346,0					
Id	E	9	847	os	Macro								18,0	62,0	347,0					estella diàfisi
Id	E	9	848	carbó									16,0	73,0	343,0					
Id	E	9	849	carbó									10,0	60,0	349,0					
Id	E	9	850	carbó									7,0	73,0	344,0					
Id	E	9	851	os	Macro								12,0	16,0	356,0					estella diàfisi
Id	E	9	852	carbó									75,0	10,0	351,0					
Id	E	9	853	os	Macro															13 estrelles diàfisi
Id	E	9	854	os	Macro								15,0	86,0	351,0					epifisi
Id	E	9	855	os	Macro								7,0	84,0	348,0					dent
Id	E	9	856	os	Macro								3,0	73,0	341,0					estella diàfisi
Id	E	9	857	nul																
Id	E	9	858	os	Macro								5,0	52,0	348,0					estella
Id	E	9	859	os	Macro								5,0	50,0	348,0					dent
Id	E	9	860	carbó									5,5	50,0	344,0					
Id	E	9	861	os	Macro								9,5	40,0	343,0					falange
Id	E	9	862	carbó									17,0	43,0	343,0					
Id	E	9	863	os	Macro								33,0	10,0	349,0					dent
Id	E	9	864	carbó									20,0	68,0	346,0					
Id	E	9	865	os	Macro								8,0	57,0	348,0					dent
Id	E	9	866	carbó									7,5	81,0	347,5					
Id	E	9	867	carbó									5,0	71,0	351,0					
Id	E	9	868	os	Macro								8,5	47,0	351,0					frag det
Id	E	9	869	os	Macro								12,0	50,0	353,0					frag. diáf.
Id	E	9	870	os	Macro								17,0	42,5	350,0					frag diáf.
Id	E	9	871	carbó									11,5	51,0	351,0					
Id	E	9	872	carbó									10,0	68,0	353,5					
Id	E	9	873	carbó									100,	61,0	354,0					
Id	E	9	874	os	Macro															estella
Id	E	9	875	os	Macro															epifisi falange
Id	E	9	876	os	Macro															estella
Id	E	9	877	os	Macro															det.
Id	E	9	878	os	Macro															estella
Id	E	9	879	os	Macro								91,0	92,0	357,0					2 frags.
Id	E	9	880	os	Macro								4,0	50,0	345,0					frag. diàfisi
Id	E	9	881	carbó									90,0	30,0	357,0					
Id	E	9	882	carbó									82,0	35,0	358,0					



Nivell	Q.a.	Q.n.	Nº	Matèria	Sup.	Taló	Cort.	Alt.	Conc.	Long.	Amp.	Gruiu	X	Y	Z	Orient.	Pend.	Tipus prim.	Formes cer.	Observacions
Id	E	9	883	carbó									62,0	40,0	358,0					
Id	E	9	884	os	Macro								16,0	48,0	346,0					dent
Id	E	9	885	carbó									15,0	53,0	352,0					
Id	E	9	886	os	Macro								10,0	67,0	351,0					falange
Id	E	9	887	carbó									1,0	55,0	347,0					
Id	E	9	888	carbó									79,0	47,0	361,0					
Id	E	9	889	ceràmica	mà					28	25	9	73,0	18,0	357,0	E-W	P		informe	
Id	E	9	890	carbó									90,0	19,0	358,0					
Id	E	9	891	carbó									96,0	17,0	358,0					
Id	E	9	892	os	Macro															2 frags diàfisi
Id	E	9	893	os	micro															frag. banya cremat
Id	E	9	894	os	Macro															det?
Id	E	9	895	os	Macro															epifisi 2 frags. enganxats
Id	E	9	896	os	Macro															frag. banya cremat
Id	E	9	897	os	Macro															epifisi cremat
Id	E	9	898	os	Macro								76,0	43,0	361,0			ovicapri		incisiva
Id	E	9	899	ceràmica	mà								72,0	24,0	360,0					12 frags. siglats a i b
Id	E	9	900	carbó									84,0	21,0	359,0					
Id	E	9	901	carbó									76,0	43,0	361,0					
Id	E	9	902	carbó									78,0	15,0	358,0					
Id	E	9	903	carbó									94,0	30,0	364,0					
Id	E	9	904	ceràmica	mà					22	16	7	100,	23,0	361,0					
Id	E	9	905	os	Macro								42,0	34,0	354,0					3 frags estella
Id	E	9	906	os	Macro								9,0	50,0	349,0					estella
Id	E	9	907	carbó									65,0	40,0	357,0					
Id	E	9	908	carbó									90,0	19,0	358,0					
Id	E	9	909	carbó									96,0	42,0	361,0					
Id	E	9	910	carbó									99,0	26,0	361,0					
Id	E	9	911	malacologia	cargó								80,0	37,0	360,0					
Id	E	9	912	os	Macro								87,0	36,0	358,0					
Id	E	9	913	ceràmica	mà					21	18	6	94,0	23,0	360,0		V			te nº erroni 885. rectificar
Id	E	9	914	carbó																
Id	E	9	915	malacologia	cargó															
Id	E	9	916	ceràmica	mà					39	38	8						raspallada	informe	2 frags. enganxats a i b
Id	E	9	917	ceràmica	mà					19	14	4							informe	2 frags. enganxats
Id	E	9	918	ceràmica	mà					16	11	8							informe	
Id	E	9	919	ceràmica	mà					21	14	13	4,0	86,0	349,0				informe	a i b
Id	E	9	920	ceràmica	mà					20	17	19	23,0	81,0	350,0				informe	
Id	E	9	921	carbó									9,0	70,0	345,0					
Id	E	9	922	os	Macro								18,0	63,0	351,0					epifisi frag.
Id	E	9	923	os	Macro								4,0	54,0	349,0					varis frags. det.
Id	E	9	924	os	Macro								1,0	47,0	349,0					estella diàfisi (a i b)
Id	E	9	925	os	Macro								4,0	47,0	349,0					frag. dent
Id	E	9	926	os	Macro								12,0	47,0	348,0					estella diàfisi 6 frags.
Id	E	9	927	os	Macro								87,0	80,0	360,0					frag. dent

## GJINEU-E9

Nivell	Q.a.	Q.n.	Nº	Matèria	Sup.	Taló	Cort.	Alt.	Conc.	Long.	Amp.	Gruix	X	Y	Z	Orient.	Pend.	Tipus prim.	Formes cer.	Observacions
Id	E	9	928	os	Macro								96,0	62,0	360,0					estella
Id	E	9	929	carbó									77,0	38,0	363,0					
Id	E	9	930	carbó																
Id	E	9	931	ceràmica	mà					20	12	9								informe
Id	E	9	932	ceràmica	mà					17	15	9								informe
Id	E	9	933	ceràmica	mà					23	14	11								informe
Id	E	9	934	ceràmica	mà					22	20	9								informe
Id	E	9	935	carbó									96,0	100,	366,0					
Id	E	9	936	malacologia	cargo															varis frags.
Id	E	9	937	carbó																varis frags.
Id	E	9	938	os	micro															2 frags.

## GUINEU-F6

Nivell	Q.a.	Q.n.	Nº	Matèria	Sup.	Taló	Cort.	Alt.	Conc.	Long.	Amp.	Gruix	X	Y	Z	Orient.	Pend.	Típus prim.	Formes cer.	Observacions
IA/IC	F	6	187	Os	Macro															Garbell (14/VII), Estella
IA/IC	F	6	188	Carbó																Garbell
IA/IC	F	6	189	Os	Macro								93,0	35,0	347,0					4 frags. indet.
IA/IC	F	6	190	Os	Macro								88,0	91,0	338,0					Estella
IA/IC	F	6	191	Os	Micro								85,0	45,0	328,0					Estella
IA/IC	F	6	192	Ceràmica	Mà					23	18	11							informe	Garbell
IA/IC	F	6	193	Ceràmica	Mà					21	15	7							informe	Garbell
IA/IC	F	6	194	Silex	F			B		13	12	8	88,0	16,0	344,0					Garbell
IA/IC	F	6	195	Cargols																Garbell
IA/IC	F	6	196	Carbons																Garbell
ID	F	6	197	Os	Macro								37,0	74,0	314,0		W-E			ID correcció tall. 3 estelles
ID	F	6	198	Os	Micro								28,0	45,0	317,0		P			ID correcció tall. Estella
ID	F	6	199	Os	Micro								53,0	44,0	326,0	E-W	P			ID correcció tall. Estella
ID	F	6	200	Carbó									27,0	23,0	318,0		W-E			ID correcció tall.
ID	F	6	201	Ceràmica	Mà					46	36	11	40,0	29,0	328,0		E		vora?	ID correcció tall. 4 frags. eng
ID	F	6	202	Os	Macro								40,0	58,0	325,0					ID correcció tall. Dent
ID	F	6	203	Os	Macro								50,0	75,0	330,0					ID correcció tall. Frag.
ID	F	6	204	Banya	Macro															ID correcció tall. Garbell.
ID	F	6	205	Ceràmica	Mà					29	28	10	50,0	15,0	311,0			informes		ID correcció tall. 2 inf. eng
ID	F	6	206	Malacologia	cargol															Garbell, Tal. iús
ID	F	6	207	Carbons																Garbell, Tal. iús
ID	F	6	208	Cargol																Garbell
ID	F	6	209	Carbó																Garbell
ID	F	6	210	Carbó									35,0	31,0	316,0					
IA/IC	F	6	211	Carbó									48,0	24,0	330,0					
IA/IC	F	6	212	Os	Macro								48,0	55,0	334,0	N-S	S			Frag. indet.
IA/IC	F	6	213	Malacologia																Garbell
IA/IC	F	6	214	Ceràmica	Mà					15	13	8							informe	Garbell
ID	F	6	215	Carbó									40,0	25,0	329,0					
ID	F	6	216	Carbó									40,0	55,0	332,0					
ID	F	6	217	Ceràmica	Mà					23	20	7	54,0	34,0	335,0				informe	
ID	F	6	218	Cargol																Garbell
ID	F	6	219	Carbó																Garbell
ID	F	6	220	Malacologia	Cargol															Garbell, 3 exmplars
ID	F	6	221	Silícia						11	9	3	52,0	40,0	336,0					
ID	F	6	222	Silex	A	L	NC	B		18	11	3								Garbell
ID	F	6	223	Silex	FA		NC	B		12	15	2								Garbell, Retocada.
ID/IC	F	6	224	Silex	F		NC	B		21	17	6	75,0	28,0	340,0					
ID/IC	F	6	225	Mat. silici									64,0	47,0	345,0					
ID/IC	F	6	226	Os	Micro															Garbell, Estella costella?
ID/IC	F	6	227	Os	Macro															Garbell, 2 frags estella (1 cr
ID/IC	F	6	228	Ceràmica	Mà					10	9	7							informe	Garbell
ID/IC	F	6	229	Silex	F		NC			13	11	3								Garbell
ID/IC	F	6	230	Silex	A	F	NC	B		16	22	5	55,0	55,0	347,0					
ID/IC	F	6	231	Ceràmica	Mà					31	19	8							informe	Garbell

Nivell	Q.a.	Q.n.	Nº	Matèria	Sup.	Taló	Cort.	Alt.	Conc.	Long.	Amp.	Gruix	X	Y	Z	Orient.	Pend.	Tipus prim.	Formes cer.	Observacions		
ID/IC	F	6	232	Os	Macro															Garbell, 2 frags.		
ID/IC	F	6	233	Carbó																	Garbell	
ID/IC	F	6	234	Cargols																	Garbell	
ID	F	6	235	Os	Macro								82,0	16,0	343,0						2 estella diàfisi (a,b)	
ID/IC	F	6	236	Ceràmica	Mà					26	20	6	78,0	30,0	349,0				informe		A i B siglats	
ID	F	6	237	Os	Macro								90,0	50,0	351,5						Estella diàfisi ( a,b sense siglats)	
ID	F	6	238	Ceràmica	Mà					24	12	7	97,0	57,0	351,0				Informe		3frags ( a siglat). Talús	
ID	F	6	239	Carbó																	Garbell. Talús	
ID	F	6	240	Malacologia																	Garbell. Talús	
ID	F	6	241	Ceràmica	Mà					19	17	5	5,0	89,0	354,0		V		Informe		Talús	
ID	F	6	242	Os	Macro								84,0	17,0	349,0						Estella . 2 frags a,b . Talús	
ID	F	6	243	Os	Macro																Garbell. Estella . Talús	
ID	F	6	244	Ceràmica	Mà					15	12	6							Informe		Garbell. Talús	
ID	F	6	245	Os	Macro																Garbell. Estella diàfisi crema	
ID	F	6	246	Os	Macro																Garbell . Varies estrelles . Talús	
ID	F	6	247	Os	Micro																Garbell . 2 frag. det. Talús	
ID	F	6	248	Carbó																	Garbell. Varies frag. Talús	
ID	F	6	249	Malacologia																	Garbell. Varies frag. Talús	
ID	F	6	250	Os	Macro								38,0	99,0	326,0	NO-SE	P				Estella diàfisi Talús	
ID	F	6	251	Ceràmica	Mà					16	8	6							Informe		Garbell. Talús	
ID	F	6	252	Os	Macro								31,0	92,0	330,0	NO-SE	P				Estella 2 frags. enganxats. Talús	
ID	F	6	253	Os	Macro																Garbell . Estella diàfisi. Talús	
ID	F	6	254	Silex	A	L	NC	B		16	10	5	20,0	50,0	312,0			P			Talús	
ID	F	6	255	Os	Macro								26,0	61,0	325,0						Dent. Talús	
ID	F	6	256	Silex	AF	C	NC			14	14	4	30,0	20,0	311,0			P				
IC	F	6	257	Os	Macro								30,0	95,0	288,0						Dent . Coordenades aprox.	
IC	F	6	258	Os	Humà								30,0	95,0	288,0						Coordenades aprox.	
IC	F	6	259	Os	Macro								30,0	95,0	288,0						Estella diàfisi. Coord. aprox.	
IC	F	6	260	Silex	FA		NC	B	Si	22	8	8	30,0	95,0	288,0						Retocat. Coordenades aprox.	
IC	F	6	261	Silex	A	L	NC	B		12	6	3	30,0	95,0	288,0						Retocat. Coordenades aprox.	
IC	F	6	262	Os	Micro								30,0	95,0	288,0						Epifisi. Coordenades aprox.	
IC	F	6	263	Os	Micro								30,0	95,0	288,0						Frag diàfisi . Coord. aprox.	
IC	F	6	264	Os	Micro								30,0	95,0	288,0						Epifisi . Coordenades aprox.	
IB/IC	F	6	265	Os	Micro																Garbell. Det	
ID	F	6	266	Carbó									31,0	32,0	310,0							
IB/IC	F	6	267	Malacologia	Cargol																	Garbell. Varies frag.
IC	F	6	268	Quarç	FA		NC			9	12	3	23,0	28,0	296,0	NE-50	50					
ID	F	6	269	Silex	AF	L	NC	B	Si	36	22	8	33,0	30,0	322,5			P			Retocat.	
ID	F	6	270	Mostra mineral									24,0	68,0	322,0							
ID	F	6	271	Silex	FA		NC		Si	37	16	4	20,0	89,0	319,0	NE-50	50					
ID	F	6	272	Silex	AF	L	NC	B		22	16	6	16,0	58,0	306,0			V				
ID	F	6	273	Os	Macro								25,0	99,0	310,0	NE-50	P				Estella .	
ID	F	6	274	Os	Macro								20,0	90,0	326,0			V			Estella diàfisi.	
ID	F	6	275	Os	Macro																Garbell. Estella.	
ID	F	6	276	Carbó																	Garbell.	

## GUINEU-F6

Nivell	Q.a.	Q.n.	Nº	Matèria	Sup.	Taló	Cort.	Alt.	Conc.	Long.	Amp.	Gruix	X	Y	Z	Orient.	Pend	Tipus prim.	Formes cer.	Observacions
ID	F	6	277	Malacologia	Cargd															Garbell.
ID	F	6	278	Os	Micro															Garbell. Costella
ID	F	6	279	Carbó																Garbell.
IB	F	6	280	Malacologia	Cargd															Garbell.
ID	F	6	281	Malacologia	Cargd															Garbell.
IC/ID	F	6	282	Os	Micro															Garbell. Vèrtebra.
IC/ID	F	6	283	Os	Macro															Garbell. 4 Estelles diáfisi.
IC/ID	F	6	284	Os	Micro													Conill		Garbell.Frag.Determinable.
IC/ID	F	6	285	Malacologia	Cargd															Garbell

GUINEU-F7

Nivell	Q.a.	Q.n.	Nº	Matèria	Sup.	Taló	Cort.	Alt.	Conc.	Long.	Amp.	Gruix	X	Y	Z	Orient.	Pend.	Tipus prim.	Formes cer.	Observacions
IE	F	7	736	Carbó																Garbell
IE	F	7	737	Malacologia																Garbell
IE	F	7	738	Carbó									36,0	91,0	308,0					
IE	F	7	739	Carbó									38,0	87,0	327,0					
IE	F	7	740	Carbó																Garbell
IE	F	7	741	Malacologia																Garbell

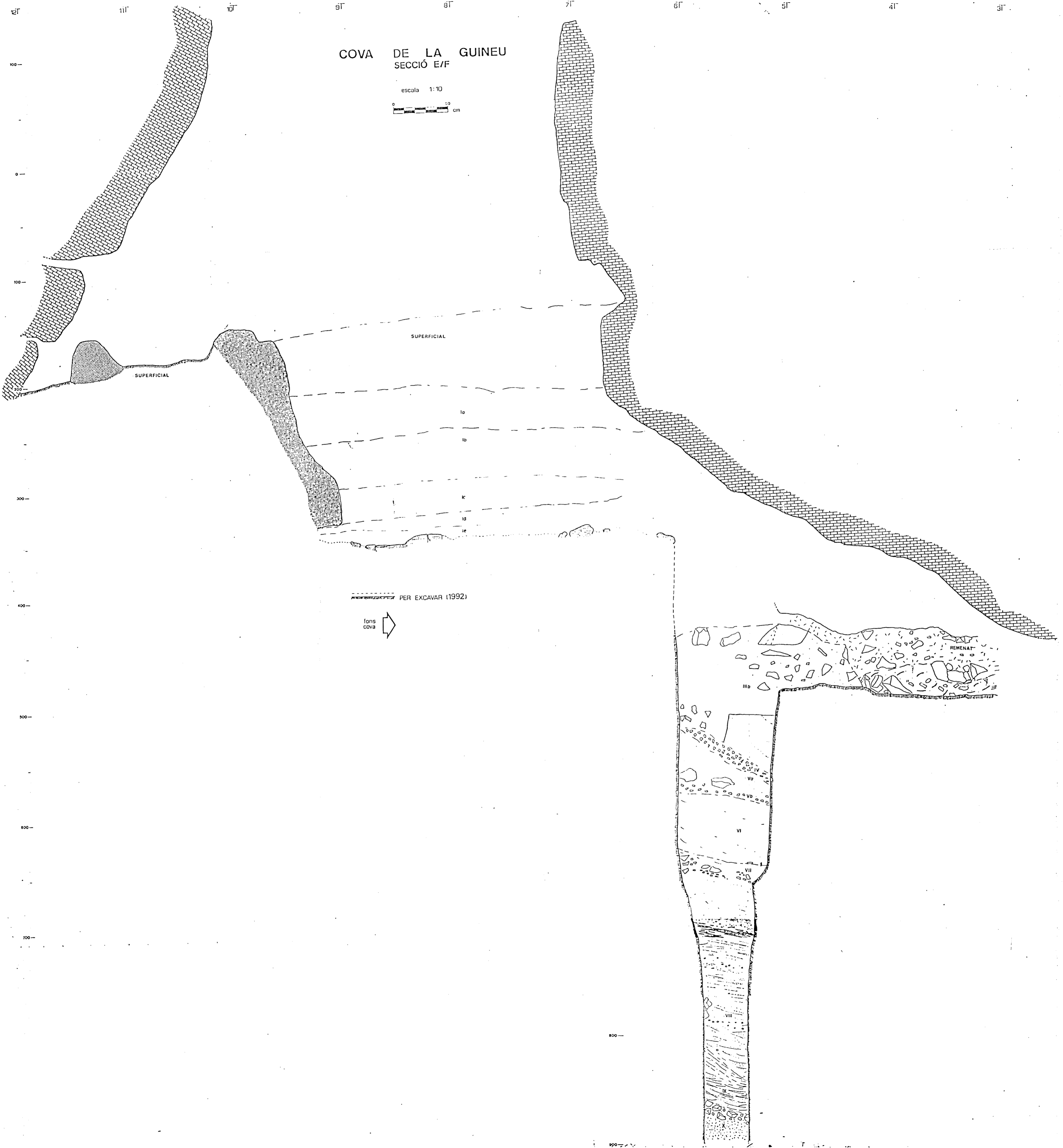
GUINEU-D9

Nivell	Q.a.	Q.n.	Nº	Matèria	Sup.	Taló	Cort.	Alt.	Conc.	Long.	Amp.	Gruix	X	Y	Z	Orient.	Pend.	Tipus prim.	Formes cer.	Observacions
lc/lid	D	9	581	os	micro								90,0	63,0	383,0	N-S	N	conill		crani
lc/lid	D	9	582	os	Macro															estella
lc/lid	D	9	583	os	Macro															estella diàfisi
lc/lid	D	9	584	os	Macro															estella diàfisi
lc/lid	D	9	585	os	Macro															estella diàfisi
lc/lid	D	9	586	carbó																
lc/lid	D	9	587	malacologia	cargol															
lc/lid	D	9	588	os	Macro															Frag costella
lc/lid	D	9	589	os	Macro															estella
lc/lid	D	9	590	ceràmica	torn					27	19	4							informe	vidrada
lc/lid	D	9	591	os	Macro								41,0	96,0	364,5	NW-SE				estella (cremada )
lc/lid	D	9	592	carbó									24,0	87,0	361,0					
lc/lid	D	9	593	Mostra mineral	sorrenc					18	21	15	27,0	29,0	353,5					
lc/lid	D	9	594	os	Humà?								23,0	30,0	353,5		P			frag crani (cremat)
lc/lid	D	9	595	os	micro								18,0	23,0	354,0	NE-SW	P			epifisi
lc/lid	D	9	596	os	Macro								11,0	80,0	359,0					grup frags i estelles (11)
lc/lid	D	9	597	ceràmica	mà					35	36	6	5,0	69,0	360,0	NW-SE	SE		vora	
lc/lid	D	9	598	ceràmica	mà					23	18	6	5,5	69,5	360,0		P		informe	
lc/lid	D	9	599	ceràmica	mà					25	25	6	6,0	68,5	360,0				informe	
lc/lid	D	9	600	sílex	A			B		11	18	5	3,0	19,0	359,0		E			
lc/lid	D	9	601	os	Humà								22,0	31,0	354,0	NW-SE	P			frag crani (cremat)
lc/lid	D	9	602	os	Macro								26,0	56,0	351,0	NW-SE	P			estella
lc/lid	D	9	603	os	micro								23,0	19,0	354,0		P			epifisi
lc/lid	D	9	604	os	Humà								30,0	23,0	354,5	NW-SE	P			dent incisiva
lc/lid	D	9	605	malacologia	cargol															2 cargols
lc/lid	D	9	606	carbó																
lc/lid	D	9	607	ceràmica	mà					39	25	6	8,0	70,0	362,0		S		Vora	
lc/lid	D	9	608	os	Macro												P			frag crani
lc/lid	D	9	609	os	Macro															2 estelles
lc/lid	D	9	610	ceràmica	mà					61	38	8	10,0	40,0	362,0	N-S	P		carena	espatulat interior
lc/lid	D	9	611	os	Macro								17,0	6,0	323,0					estella
lc/lid	D	9	612	os	micro															ressegador: 2 mandib; 7 dents
lc/lid	D	9	613	os	micro															4 epífisis
lc/lid	D	9	614	os	micro															6 estelles
lc/lid	D	9	615	os	Humà															frag crani

12Γ 11Γ 10Γ 9Γ 8Γ 7Γ 6Γ 5Γ 4Γ 3Γ 2Γ

# COVA DE LA GUINEU SECCIÓ E/F

escala 1:10



100—  
0—  
100—  
200—  
300—  
400—  
500—  
600—  
700—  
800—

PER EXCAVAR (1992)

l'ons  
cova

REMENAT

I  
II  
III  
IV  
V  
VI  
VII  
VIII  
IX  
X

800—



150-

100-

0-

100-

200-

300-

CM-

400-

**COVA DE LA GUINEU**

SECCIÓ 718

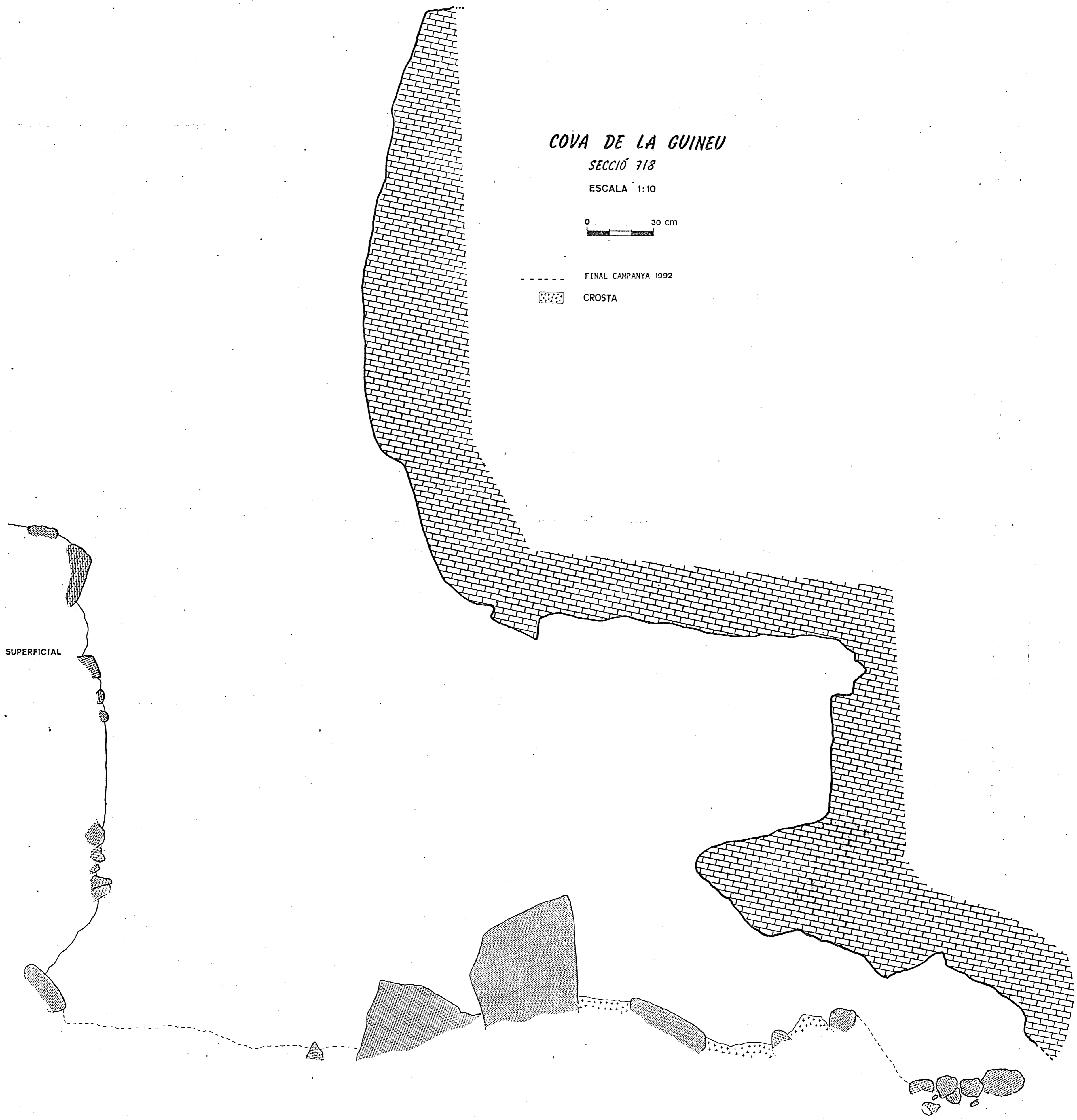
ESCALA 1:10

0 30 cm

FINAL CAMPANYA 1992

CROSTA

SUPERFICIAL



FIE

EID

DIC

CIB

BIA

AT

150-

100-

0-

100-

200-

300-

300-

cm

400-

400-

### COVA DE LA GUINEU

SECCIÓ 718

ESCALA 1:10

0 30 cm

FINAL CAMPANYA 1993



CROSTA



SUPERFICIAL

FIE

COVA DE LA GUINEU  
SECCIÓ E/F

escala 1:10

